



อิทธิพลของแสงจากหลอดแอลอีดีต่อการเจริญเติบโต และการผลิต  
เมล็ดพันธุ์ของต้นพิทูเนียในระบบกึ่งปิด



วิทยานิพนธ์นี้เป็นส่วนหนึ่งของความสมบูรณ์ของการศึกษาตามหลักสูตร

ปริญญาวิทยาศาสตรมหาบัณฑิต

สาขาวิชาสหวิทยาการเกษตร

บัณฑิตวิทยาลัย มหาวิทยาลัยแม่โจ้

พ.ศ. 2560

ลิขสิทธิ์ของมหาวิทยาลัยแม่โจ้

อิทธิพลของแสงจากหลอดแอลอีดีต่อการเจริญเติบโต และการผลิต  
เม็ดพันธุ์ของต้นพิทูเนียในระบบกึ่งปิด

ทิวา จำเรี๊ย

วิทยานิพนธ์นี้ได้รับการพิจารณาอนุมัติให้เป็นส่วนหนึ่งของความสมบูรณ์ของการศึกษา

ตามหลักสูตรปริญญาไทยศาสตรมหาบัณฑิต

สาขาวิชาสาขาวิชาการเกษตร

พิจารณาเห็นชอบโดย

อาจารย์ที่ปรึกษาหลัก

อาจารย์ที่ปรึกษา

(ผู้ช่วยศาสตราจารย์ ดร.สิริวัฒน์ สาราวาสี)  
วันที่ 30 เดือน ๗ ค.ศ. 2560

J. ล. ล.

อาจารย์ที่ปรึกษาร่วม

(รองศาสตราจารย์ ดร.สมเกียรติ จตุรงค์ล้ำเลิศ)  
วันที่ 30 เดือน ๗ ค.ศ. 2560

ป.ร. ช. ๗.๖.๖

อาจารย์ที่ปรึกษาร่วม

(อาจารย์ ดร.ปราtie กาญจนประโอะ)  
วันที่ 30 เดือน ๗ ค.ศ. 2560

.....  
(ศาสตราจารย์ ดร.สิริวัฒน์ วงศ์ศิริ)  
วันที่ 30 เดือน ๗ ค.ศ. 2560

J.

(รองศาสตราจารย์ ดร.กรียงศักดิ์ เม่งอามัน)

คณบดีบัณฑิตวิทยาลัย

วันที่ 30 เดือน ๗ ค.ศ. 2560

บัณฑิตวิทยาลัยรับรองแล้ว

ชื่อเรื่อง	อิทธิพลของแสงจากหลอดแอลอีดีต่อการเจริญเติบโต และการผลิตเมล็ดพันธุ์ของต้นพิทูเนียในระบบกึ่งปิด
ชื่อผู้เขียน	นายทิวา จามารี
ชื่อปริญญา	วิทยาศาสตรมหาบัณฑิต สาขาวิชาสหวิทยาการเกษตร
อาจารย์ที่ปรึกษาหลัก	ผู้ช่วยศาสตราจารย์ ดร.สิริวัฒน์ สาราวاسي

### บทคัดย่อ

พิทูเนีย เป็นไม้ดอกล้มลุกหลายฤดู โดยปกติการผลิตเมล็ดพันธุ์พิทูเนียในประเทศไทย สามารถผลิตได้โดยเฉลี่ยปีละ 1 รอบเท่านั้น เนื่องจากสภาพแวดล้อมไม่เอื้ออำนวยต่อการปลูก อีกทั้งยังประสบปัญหาการแพร่ระบาดของโรคจากไวรัสใบยาสูบดำ ซึ่งส่งผลต่อคุณภาพเมล็ดพันธุ์ ระบบปลูกพืชแบบกึ่งปิดในสภาวะที่มีการควบคุมปัจจัยแวดล้อมภายใต้แสงเทียมเป็นอีกหนึ่งทางเลือกที่จะแก้ไขปัญหาดังกล่าวได้ จึงทำการศึกษาอิทธิพลของคุณภาพแสง ความเข้มแสง และช่วงแสงต่อการเจริญเติบโต และการผลิตเมล็ดพันธุ์ของต้นพิทูเนียในระบบกึ่งปิด ผลการทดลองแสดงให้เห็นว่า แสงจากหลอดไฟ LED (Light Emitting Diode) สีขาวทุกตัวรับ มีช่วงความยาวคลื่นแสงสีน้ำเงินที่เหมือนกัน ในขณะที่ช่วงความยาวคลื่นแสงสีอื่น ๆ จะมีความแตกต่างกันตามชนิดของชิปเปล่งแสง ใน การศึกษาอิทธิพลของช่วงแสงทำการทดลองโดยใช้ช่วงแสง 3 ระดับ ได้แก่ 8 12 และ 16 ชั่วโมงต่อวัน พบว่า การได้รับช่วงแสง 16 ชั่วโมงต่อวัน ส่งผลให้ต้นพิทูเนียมีการเจริญเติบโตมากที่สุด อีกทั้งสามารถกระตุ้นการออกดอกได้ไว มีจำนวนดอกต่อต้น การติดฝัก จำนวนเมล็ดต่อฝัก และเมล็ดต่อต้น สูงอีกด้วย นอกจากนี้การศึกษาอิทธิพลของคุณภาพแสงที่แตกต่างกัน 4 ตัวรับ ได้แก่ 6500 K 3200 K 6500 K : 3200 K และ RB โดยแบ่งความเข้มแสงเป็นสองระดับ คือ 150 และ 200  $\mu\text{mol}\cdot\text{m}^{-2}\cdot\text{s}^{-1}$  พบว่า การให้แสง 3200 K และ 6500 K : 3200 K ที่ความเข้มแสง 200  $\mu\text{mol}\cdot\text{m}^{-2}\cdot\text{s}^{-1}$  ส่งผลให้ต้นพิทูเนียมีการเจริญเติบโตมากที่สุดและทำให้การออกดอก การติดฝัก ผลผลิตเมล็ดพันธุ์ต่อต้นสูง อีกทั้งเมล็ดยังมีคุณภาพที่สูงกว่าเมล็ดที่ผลิตโดยบริษัท เอ เอฟ เอ็ม พลาราเวอร์ ชีดส์ จำกัด ประเทศไทย (AFM) โดยวิธีการแบบดั้งเดิม

Title	THE EFFECT OF LED LIGHT ON GROWTH AND SEED PRODUCTION OF PETUNIA UNDER SEMI-CLOSED PLANT PRODUCTION SYSTEM
Author	Mr. Thiva Jamaree
Degree	Master of Science in Agricultural Interdisciplinary
Advisor Committee chairperson	Assistant Professor Dr. Siriwat Sakhonwasee

## ABSTRACT

Petunia is an herbaceous perennial flowering plant. Normally, Petunia seed production in Thailand can only be done once a year because of unsuitable conditions and outbreak of diseases which negatively affects the quality of the petunia seeds. Using of semi-closed plant production system with artificial light in which environmental factors can be controlled is an alternative cultivation system that could solve these problems. Therefore, this research studied the influence of light quality, light intensity and photoperiod on growth and seed production of petunia under semi-closed system. The results showed that all white LEDs have a similar wavelength of blue light, while other light colors are different in wavelength depending on types of LED chip. In light photoperiods experiments, three levels of photoperiods were used, namely, 16/8 (Light/Drak), 12/12 and 8/16. It was found that petunia plants exposed to 16/8 has the highest growth. Moreover, 16/8 can also induce rapid flowering, high number of flowers, high number of pods and high number of seeds per plant. In light quality experiment, Petunia were grown under 4 different light qualities which are 6500 K, 3200 K, 6500 K : 3200 K and RB under two light intensities, namely 150 and 200  $\mu\text{mol}\cdot\text{m}^{-2}\cdot\text{s}^{-1}$ . Overall it was found that Petunia grown under 3200 K and 6500 K : 3200 K at 200  $\mu\text{mol}\cdot\text{m}^{-2}\cdot\text{s}^{-1}$  exhibited the highest growth with higher number of flowers, number of pods and number of seeds per plant than other treatments. In addition, Seeds of 3200 K and 6500 K : 3200 K at 200  $\mu\text{mol}\cdot\text{m}^{-2}\cdot\text{s}^{-1}$  were of higher quality than those conventionally produced by AFM Flower Seed (Thailand) Co., Ltd.

กิตติกรรมประกาศ

ข้าพเจ้าขอขอบพระคุณผู้ช่วยศาสตราจารย์ ดร.สิริวัฒน์ สาราวاسي รองศาสตราจารย์ ดร.สมเกียรติ จตุรงค์ล้ำเลิศ และอาจารย์ ดร.ประวี กัญจนประโตช ที่ให้คำปรึกษา แนะนำแนวทางในการศึกษาวิจัย ทั้งในเรื่องของการค้นคว้าข้อมูล การวางแผนการทดลอง การวิเคราะห์ข้อมูล ตลอดจนการเขียนรูปเล่มวิทยานิพนธ์จนกระทั่งสำเร็จ

ขอขอบคุณสาขาสาขาวิชาการเกษตร คณะบัณฑิตวิทยาลัย และสาขาวิชผัก คณะผลิตกรรมการเกษตร มหาวิทยาลัยแม่โจ้ ที่ให้ความอนุเคราะห์ในด้านสถานที่ และอุปกรณ์ในการทำงาน  
วิจัย

ขอขอบคุณบริษัท เอ เอฟ เอ็ม ฟลายเวอร์ ชีดส์ จำกัด ที่ให้ความอนุเคราะห์เมล็ดพันธุ์  
พิทุนเยเพื่อใชในการศึกษาครั้งนี้

ขอขอบพระคุณบิดา และมารดาที่ให้ความช่วยเหลือ และสนับสนุนการศึกษามาตลอดเวลา ทั้งในด้านทุนการศึกษา สถานที่พัก ยานพาหนะในการเดินทาง กำลังใจ และคำปรึกษา อีกทั้งเปิดโอกาสให้มีอิสระทางความคิดทั้งในเรื่องของการดำเนินชีวิต และการศึกษา ซึ่งสิ่งเหล่านี้ ส่งผลให้ ข้าพเจ้ามีความมั่นคง และตั้งใจทำงานที่ชอบ จนกระทั่งสำเร็จการศึกษาในครั้งนี้ได้ด้วยดี

ทิวา จามะรี  
ตุลาคม 2560

## สารบัญ

	หน้า
บทคัดย่อ	(3)
ABSTRACT	(4)
กิตติกรรมประกาศ	(5)
สารบัญ	(6)
สารบัญตาราง	(9)
สารบัญภาพ	(11)
บทที่ 1 บทนำ	1
วัตถุประสงค์ของการวิจัย	2
ประโยชน์ที่คาดว่าจะได้รับ	3
ขอบเขตของการวิจัย	3
บทที่ 2 การตรวจเอกสาร	4
ข้อมูลทางพฤกษาศาสตร์ของพิทูเนีย	4
คุณสมบัติของแสง	6
แหล่งกำเนิดแสงเทียม ประเภทหลอด LED	7
ความคุ้มค่าของการปลูกพืชภายใต้แสงเทียมประเภท LED	10
การสังเคราะห์แสงของพืช	11
คุณภาพแสง ความเข้มแสง และช่วงแสง ต่อการเจริญเติบโตของพืช	12
อิทธิพลของแสงเทียมต่อการพัฒนาและการเจริญเติบโตของพิทูเนีย	15
บทที่ 3 วิธีการวิจัย	18
การเตรียมพืชทดลอง	18
การทดลองที่ 1 การตรวจวัดคุณภาพแสงเชิงสเปกตรัมของหลอด LED	18
การทดลองที่ 2 อิทธิพลของช่วงแสงจากหลอด LED ต่อการเจริญเติบโตของต้นพิทูเนีย	20
การทดลองที่ 3 อิทธิพลของคุณภาพ และความเข้มแสงจากหลอด LED ต่อการเจริญเติบโตของต้นพิทูเนีย	22
การทดลองที่ 4 อิทธิพลของคุณภาพแสง ต่อการเจริญเติบโต การอุดกอก การให้ผลผลิต และคุณภาพเมล็ดพันธุ์ของต้นพิทูเนีย	23

	หน้า
การวัดระดับมาลอนไดอะอลดีไฮด์ (Malondialdehyde content; MDA)	24
การวัดปริมาณคลอโรฟิลล์	24
การวัดเปอร์เซ็นต์ความออก และความมีชีวิตของเรณู	25
การวัดเปอร์เซ็นต์ความออกของเมล็ด และค่าเฉลี่ยจำนวนวันที่ใช้ในการออก	25
การวัดความแข็งแรง และความชื้นของเมล็ด	26
การวัดปริมาณโปรตีนในเมล็ด	27
การวัดดัชนีที่เกี่ยวข้องกับกระบวนการแลกเปลี่ยนก๊าซ	27
การวัดค่าดัชนีที่เกี่ยวข้องกับการเรืองแสงของคลอโรฟิลล์	27
การวัดประสิทธิภาพการใช้พลังงานแสง (Energy use efficiency; EU)	28
การวิเคราะห์ผลการทดลองทางสถิติ	28
สถานที่ดำเนินงานวิจัย	29
ระยะเวลาในการวิจัย	29
<b>บทที่ 4 ผลการทดลอง</b>	<b>30</b>
การทดลองที่ 1 การตรวจวัดคุณภาพแสงเชิงสเปคตรัมของหลอด LED	30
การทดลองที่ 2 อิทธิพลของช่วงแสงจากหลอด LED ต่อการเจริญเติบโตของต้นพิทูเนีย	34
การทดลองที่ 3 อิทธิพลของคุณภาพ และความเข้มแสงจากหลอด LED ต่อการเจริญเติบโตของต้นพิทูเนีย	54
การทดลองที่ 4 อิทธิพลของคุณภาพแสง ต่อการเจริญเติบโต การอุดอก การให้ผลผลิต และคุณภาพเมล็ดพันธุ์ของต้นพิทูเนีย	70
<b>บทที่ 5 วิจารณ์ และสรุปผลการทดลอง</b>	<b>84</b>
คุณภาพแสงเชิงสเปคตรัมของหลอดเอลอีดี	84
อิทธิพลของช่วงแสงจากหลอดเอลอีดีต่อการเจริญเติบโตของต้นพิทูเนีย	85
อิทธิพลของคุณภาพ และความเข้มแสงจากหลอดเอลอีดีต่อการเจริญเติบโตของต้นพิทูเนีย	87
อิทธิพลของคุณภาพแสง ต่อการเจริญเติบโต การอุดอก การให้ผลผลิต และคุณภาพเมล็ดพันธุ์ของต้นพิทูเนีย	89
สรุปผลการทดลอง	91

หน้า	
ข้อเสนอแนะ	91
บรรณานุกรม	93
ภาคผนวก	103
ภาคผนวก ก ประวัติผู้วิจัย	104



## สารบัญตาราง

ตารางที่	หน้า
1 ส่วนประกอบของธาตุอาหารในสารละลายน้ำ Modified Hoagland	19
2 การวิเคราะห์ความแปรปรวนแบบจำแนกทางเดียวของค่าจุดสูงสุดของเส้นกราฟของแสง LED ในลูกคลื่นที่ 1 และ 2 ของทั้ง 4 ตัวรับ	32
3 การวิเคราะห์ความแปรปรวนแบบจำแนกทางเดียวของค่าร้อยละของพื้นที่ใต้กราฟในแต่ละช่วงความยาวคลื่นของแสง LED ทั้ง 4 ตัวรับ	32
4 การวิเคราะห์ความแปรปรวนแบบจำแนกทางเดียวของค่าร้อยละของ PAR ทั้ง 4 ตัวรับ	33
5 การวิเคราะห์ความแปรปรวนแบบจำแนกทางเดียวของความกว้าง และความสูงของทรงพุ่ม จำนวนใบ พื้นที่ใบ และจำนวนยอดของต้นพิทูเนียที่ได้รับช่วงแสงแตกต่างกันเป็นเวลา 35 วันหลังเพาะเมล็ด	36
6 การวิเคราะห์ความแปรปรวนแบบจำแนกทางเดียวของช่วงแสง (A) อายุพืช (B) และการวิเคราะห์ความแปรปรวนแบบจำแนกสองทางของช่วงแสงกับอายุพืช ( $A \times B$ ) ที่มีผลต่อมวลน้ำหนักสด และมวลน้ำหนักแห้งส่วนลำต้น ( $n=4$ )	36
7 ความหนาใบ และความยาวของเซลล์พอลิสต์ และสปานจิของใบพิทูเนียที่ได้รับช่วงแสงแตกต่างกันเป็นเวลา 35 วันหลังเพาะเมล็ด	38
8 การวิเคราะห์ความแปรปรวนแบบจำแนกทางเดียวของช่วงแสง (A) และอายุพืช (B) และการวิเคราะห์ความแปรปรวนแบบจำแนกสองทางของปฏิสัมพันธ์ระหว่างช่วงแสงกับอายุพืช ( $A \times B$ ) ที่มีผลต่อความกว้าง ความสูง และค่าดัชนีที่เกี่ยวข้องกับการแลกเปลี่ยนกําชั้งที่ทำการตรวจวัดเป็นค่าต่อหนึ่งหน่วยพื้นที่ใบต่อหนึ่งหน่วยเวลา ( $\mu\text{mol} \cdot \text{m}^{-2} \cdot \text{s}^{-1}$ ) และค่าผลรวมต่อวัน ( $\mu\text{mol} \cdot \text{m}^{-2} \cdot \text{s}^{-1}$ )	47
9 การวิเคราะห์ความแปรปรวนแบบจำแนกทางเดียวของค่าความชันของเส้นแนวโน้ม และ $R^2$ ของความสัมพันธ์ระหว่างความเข้มแสง (50-200 $\mu\text{mol} \cdot \text{m}^{-2} \cdot \text{s}^{-1}$ ) กับค่าอัตราการสังเคราะห์แสงภายใต้คุณภาพแสงทั้ง 4 ตัวรับ	56
10 การวิเคราะห์การถดถอยเพื่อเปรียบเทียบอัตราผลของการดูดซึม CO <sub>2</sub> (Quanta/CO <sub>2</sub> uptake) ที่ส่งผลต่อประสิทธิภาพการใช้พลังงานแสงในการตรึง CO <sub>2</sub> (Quanta/CO <sub>2</sub> uptake)	57

ตารางที่		หน้า
11	การวิเคราะห์การตอบอยเพื่อเปรียบเทียบอิทธิพลของคุณภาพแสง และความเข้มแสง (พื้นที่สีขาวในภาพที่ 23 ; $200-1000 \mu\text{mol}\cdot\text{m}^{-2}\cdot\text{s}^{-1}$ ) ที่ส่งผลต่อประสิทธิภาพการใช้พลังงานแสงในการตรึง $\text{CO}_2$ (Quanta/ $\text{CO}_2$ uptake)	57
12	การวิเคราะห์ความแปรปรวนแบบจำแนกทางเดียว สองทาง และสามทางของอายุพีช (A) คุณภาพแสง (B) และความเข้มแสง (C) ที่มีผลต่อค่าพารามิเตอร์ต่าง ๆ ของค่าดัชนีที่เกี่ยวข้องกับการแลกเปลี่ยนกําช และประสิทธิภาพการใช้แสงสูงสุดของ PSII	66
13	วิเคราะห์ความแปรปรวนแบบจำแนกทางเดียว และสองทางของคุณภาพแสง (A) และความเข้มแสง (B) ที่มีผลต่อมวนน้ำหนักสด และมวลน้ำหนักแห้งส่วนลำต้น มวนน้ำหนักแห้งราก สัดส่วนมวลน้ำหนักแห้งส่วนลำต้นต่อมวนน้ำหนักแห้งส่วนราก และประสิทธิภาพการใช้พลังงานแสงเพื่อการเจริญเติบโตทางลำต้น และใบ (EUE for plant growth)	68
14	สรุปผลการวิเคราะห์สหสัมพันธ์แบบ Pearson ระหว่างคุณภาพแสงกับค่าพารามิเตอร์ที่เกี่ยวข้องกับการเจริญเติบโต การออกดอก และการติดฝัก	81
15	สรุปผลการวิเคราะห์สหสัมพันธ์แบบ Pearson ระหว่างคุณภาพแสงกับค่าพารามิเตอร์ที่เกี่ยวข้องกับผลผลิตเมล็ด และคุณภาพเมล็ด	82

## สารบัญภาพ

ภาพที่	หน้า
1 ลักษณะต้นพิทูเนียที่มีดอกสีปวย	4
2 แสดงลักษณะใบของพิทูเนีย	5
3 แสดงลักษณะดอกของพิทูเนีย	5
4 แสดงลักษณะของฝัก และเมล็ดของพิทูเนีย	6
5 แสดงลักษณะของช่วงความยาวคลื่นแสงที่สามารถมองเห็นได้ โดยมี พลังงานไฟฟอนที่เป็นปฏิภาคกลับกับความยาวคลื่นแสง	7
6 แสดงลักษณะของหลอดไฟ LED-T8 (a) หลอดไฟ LED ที่ให้เฉพาะแสงสีนำ เงินในช่วงความยาวคลื่น 446 nm และสีแดงในช่วงความยาวคลื่น 660 nm (b) หลอดไฟ LED ที่ ให้อุณหภูมิสีของแสง 6500 K (c) หลอดไฟ LED ที่ให้ อุณหภูมิสีของแสง 3200 K	7
7 แสดงส่วนประกอบของหลอด LED (a) ชุดของหลอดไฟ (LED module) (b) อุปกรณ์รับประทานความร้อนของหลอด (Heat sink) (c) อุปกรณ์เปลี่ยน กระแสไฟฟ้าเข้าสู่ตัวหลอด (Driver)	8
8 แสดงการเปรียบเทียบประสิทธิภาพของหลอดไฟแต่ละชนิดในการใช้พลังงาน เพื่อให้แสงสว่าง	9
9 แสดงการเปรียบเทียบอายุการใช้งานของหลอด LED กับหลอดไฟชนิดอื่น ๆ	10
10 ปฏิกริยาการสัมเคราะห์แสง	11
11 แสดงลักษณะต้นพิทูเนียที่ปลูกภายในได้แสงเที่ยมที่แตกต่างกัน	17
12 แสดงลักษณะการตรวจวัดคุณภาพแสงเชิงสเปกตรัมของหลอด LED ด้วย เครื่อง Spectroradiometer	20
13 แสดงลักษณะการตรวจวัดช่วงความยาวคลื่นแสงที่พืชสามารถนำไปใช้ใน กระบวนการสัมเคราะห์แสงได้ด้วยเครื่อง PAR meter	20
14 แสดงกระบวนการเตรียมต้นกล้าพิทูเนีย และการทดลองจนกระทั่งเก็บเกี่ยว ผลผลิต	23
15 แสดงสมการคำนวณปริมาณ MDA	24
16 แสดงลักษณะเส้นกราฟของแสงจากหลอด LED ทั้ง 4 ตัวรับ	31

ภาพที่	หน้า
17 การเปรียบเทียบค่าร้อยละของพื้นที่ได้กราฟของแสงในช่วงความยาวคลื่นแสงสีน้ำเงิน (400-500 nm) ช่วงความยาวคลื่นแสงสีเขียว (500-600 nm) ช่วงความยาวคลื่นแสงสีแดง (600-700 nm) และช่วงความยาวคลื่นฟาร์เด (700-800 nm) ของแสง LED ทั้ง 4 ตัวรับ	33
18 การเปรียบเทียบค่าร้อยละของ PAR ในช่วงความยาวคลื่นแสงสีน้ำเงิน (400-500nm) ช่วงความยาวคลื่นแสงสีเขียว (500-600 nm) และช่วงความยาวคลื่นแสงสีแดง (600-700 nm) ของแสง LED ทั้ง 4 ตัวรับ	34
19 ลักษณะต้น และรากของพิทูเนียที่มีอายุ 35 วันหลังจากเพาะเมล็ด โดยได้รับชั่วโมงแสงที่แตกต่างกัน 3 ช่วง คือ 8 12 และ 16 ชั่วโมงต่อวัน	35
20 ลักษณะใบของพิทูเนียที่มีอายุ 35 วันหลังจากเพาะเมล็ด โดยได้รับชั่วโมงแสงที่แตกต่างกัน 3 ช่วง คือ 8 12 และ 16 ชั่วโมงต่อวัน ซึ่งในแต่ละช่วงแสงแสดงตัวอย่างใบที่ได้มาจากต้นพิทูเนีย 3 ต้น (Petunia 1 2 และ 3) ในแต่ละต้นถูกเก็บตัวอย่างมา 5 ใบ โดยใบแรก คือใบลำดับที่ 4 จากยอดบนสุดของต้นพิทูเนีย	35
21 การเจริญเติบโตของต้นพิทูเนียในแต่ละช่วงอายุ ภายใต้การได้รับชั่วโมงแสงที่แตกต่างกัน 3 ช่วง คือ 8 12 และ 16 ชั่วโมงต่อวัน a และ c คือ มวลน้ำหนักสด และมวลน้ำหนักแห้งส่วนลำต้นตามลำดับ ของช่วงอายุ 14 และ 21 วันหลังเพาะเมล็ด b และ d คือ มวลน้ำหนักสด และมวลน้ำหนักแห้งส่วนลำต้นตามลำดับ ตั้งแต่ช่วงอายุ 14 ถึง 42 วันหลังเพาะเมล็ด	37
22 น้ำหนักแห้งส่วนราก (a) และสัดส่วนมวลน้ำหนักแห้งส่วนลำต้นต่อมวลน้ำหนักแห้งส่วนราก (b) ของต้นพิทูเนียที่ได้รับชั่วโมงแสงแตกต่างกันเป็นเวลา 35 วันหลังเพาะเมล็ด	38
23 แสดงความหนาของใบ ความยาวของเซลล์พอลิสต์ และสปันจ์ของต้นพิทูเนีย ที่ได้รับชั่วโมงแสงแตกต่างกันเป็นเวลา 35 วันหลังเพาะเมล็ด	38
24 ความหนาแน่นของปากใบ ขนาดพื้นที่ของรูปากใบ และขนาดพื้นที่รูปากใบต่อพื้นที่ของใบพิทูเนียที่ได้รับชั่วโมงแสงแตกต่างกันเป็นเวลา 35 วันหลังเพาะเมล็ด	39
25 ลักษณะของปากใบด้านบน (Adaxial surface) และด้านล่าง (Abaxial surface) ของใบพิทูเนียที่ได้รับชั่วโมงแสงแตกต่างกันเป็นเวลา 35 วันหลังเพาะเมล็ด	40

ภาพที่	หน้า
26 แสดงปริมาณคลอโรฟิลล์ a และ b คลอโรฟิลล์ทั้งหมด และสัดส่วนของคลอโรฟิลล์ a ต่อ b ของใบพิทูเนียที่ได้รับช่วงแสงแตกต่างกันเป็นเวลา 35 วัน หลังเพาะเมล็ด	41
27 แสดงค่า $F_v/F_m$ (a) $F_0$ (b) $F_m$ (c) และ $\Phi_{PSII}$ (d) ของใบพิทูเนียที่ได้รับช่วงแสงแตกต่างกันเป็นเวลา 35 วันหลังเพาะเมล็ด	43
28 แสดงค่าดัชนีที่เกี่ยวข้องกับการแลกเปลี่ยนกําช ได้แก่ ค่า A คือ อัตราการสังเคราะห์แสง (a และ b) ค่า d, คือ ค่าอัตราการนำไหลงของปากใบ (c และ d) ค่า E คือ ค่าอัตราการรายเหยื่องอน้ำ (e และ f) โดย a c และ e คือ ทำการตรวจวัดเป็นค่าต่อหนึ่งหน่วยพื้นที่ในต่อหนึ่งหน่วยเวลา ( $\mu\text{mol}\cdot\text{m}^{-2}\cdot\text{s}^{-1}$ ) ส่วน b d และ f คือ ทำการตรวจวัดเป็นค่าผลรวมต่อวัน ( $\mu\text{mol}\cdot\text{m}^{-2}\cdot\text{s}^{-1}$ ) ของใบพิทูเนียที่ได้รับช่วงแสงแตกต่างกันเป็นเวลา 35 วันหลังเพาะเมล็ด	43
29 แสดงลักษณะของต้นพิทูเนียที่ได้รับช่วงแสงแตกต่างกัน 3 ช่วง คือ 8 12 และ 16 ชั่วโมงต่อวัน เป็นเวลา 77 วันหลังเพาะเมล็ด ภาพด้านซ้ายคือลักษณะต้นพิทูเนียที่ได้รับช่วงแสงที่แตกต่างกันเป็นเวลา 56 วันหลังเพาะเมล็ด และด้านขวาคือ ลักษณะต้นพิทูเนียที่ได้รับช่วงแสง 63 70 และ 77 วันหลังเพาะเมล็ด	44
30 แสดงความกว้าง (a) และความสูง (b) ของทรงพุ่มต้นพิทูเนียที่ได้รับช่วงแสงแตกต่างกันเป็นเวลา 77 วันหลังเพาะเมล็ด	45
31 แสดงค่าดัชนีที่เกี่ยวข้องกับการแลกเปลี่ยนกําช a c และ e คือ ตรวจวัดเป็นค่าต่อหนึ่งหน่วยพื้นที่ในต่อหนึ่งหน่วยเวลา ( $\mu\text{mol}\cdot\text{m}^{-2}\cdot\text{s}^{-1}$ ) ส่วน b d และ f คือ ตรวจวัดเป็นค่าผลรวมต่อวัน ( $\mu\text{mol}\cdot\text{m}^{-2}\cdot\text{s}^{-1}$ ) ของใบพิทูเนียที่ตั้งแต่อายุ 35 – 77 วันหลังเพาะเมล็ด	46
32 แสดงมวลน้ำหนักสัดส่วนลำต้น ( $n=3$ ) (a) มวลน้ำหนักแห้งส่วนลำต้น ( $n=3$ ) (b) มวลน้ำหนักแห้งส่วนราก ( $n=3$ ) (c) สัดส่วนมวลน้ำหนักแห้งส่วนลำต้นต่อ มวลน้ำหนักแห้งส่วนราก ( $n=3$ ) (d) ความกว้างทรงพุ่ม ( $n=6$ ) (e) และความสูงทรงพุ่ม ( $n=6$ ) (f) ของต้นพิทูเนียในระยะที่พบดอกแรกบาน ของการได้รับช่วงแสงที่แตกต่างกัน	49

ภาพที่	หน้า
33 แสดงจำนวนวันก่อนดอกแรกบาน โดยนับวันแรกหลังจากเพาะเมล็ด ( $n=3$ ) (a) จำนวนใบของกิงก้อนการพบรากออกดอก ( $n=18$ ) (b) จำนวนดอก ( $n=3$ ) (c) จำนวนฝักต่อต้น ( $n=3$ ) (d) และขนาดฝักในช่วงลำดับฝักที่ 1-10 ( $n=34$ ) (e) ของต้นพิทูเนียที่ได้รับช่วงแสงที่แตกต่างกัน	50
34 แสดงลักษณะต้นพิทูเนีย และจำนวนวันที่พบรากออกแรกบาน โดยการได้รับช่วงแสง 16 h พบรากออกแรกบาน ที่อายุเฉลี่ย 53 วันหลังจากเพาะเมล็ด การได้รับช่วงแสง 12 h พบรากออกแรกบาน ที่อายุเฉลี่ย 61 วันหลังจากเพาะเมล็ด และการได้รับช่วงแสง 8 h พบรากออกแรกบาน ที่อายุเฉลี่ย 70 วันหลังจากเพาะเมล็ด โดยจำนวนวันก่อนดอกแรกบาน ของการได้รับช่วงแสง 16 h ต่างจากการได้รับช่วงแสง 12 h จำนวน 8 วัน และต่างจากการได้รับช่วงแสง 8 h จำนวน 17 วัน	51
35 แสดงจำนวนเมล็ดต่อฝัก ( $n=12$ ) (a) จำนวนเมล็ดต่อต้น ( $n=3$ ) (b) มวลน้ำหนักสดของเมล็ด ( $n=9$ ) (c) และมวลน้ำหนักแห้งของเมล็ด ( $n=9$ ) (d) ของต้นพิทูเนียที่ได้รับช่วงแสงที่แตกต่างกัน	52
36 แสดงปริมาณโปรตีนในเมล็ด ( $n=12$ ) (a) ความชื้นเมล็ด ( $n=9$ ) (b) เปอร์เซ็นต์ความออก ( $n=7$ ) (c) และค่าเฉลี่ยจำนวนวันที่ใช้ในการออก ( $n=7$ ) (d) ของต้นพิทูเนียที่ได้รับช่วงแสงที่แตกต่างกัน	53
37 แสดงสัมตอบสนองต่อแสงของคุณภาพแสงทั้ง 4 ตัวรับ ได้แก่ 6500 K 3200 K 6500 K : 3200 K และ RB โดยแสดงความสัมพันธ์ระหว่างความเข้มแสงกับค่าดัชนีที่เกี่ยวข้องกับการแลกเปลี่ยนก๊าซ ได้แก่ ค่าอัตราการสังเคราะห์แสง (a) ค่าอัตราการหายใจของน้ำ (b) ค่าอัตราการนำไอลของปากใบ (c) และปริมาณ $\text{CO}_2$ ในช่องว่างระหว่างเซลล์ของใบพิทูเนีย (d)	54
38 แสดงความสัมพันธ์ระหว่างความเข้มแสง ( $50-200 \mu\text{mol}\cdot\text{m}^{-2}\cdot\text{s}^{-1}$ ) กับค่าอัตราการสังเคราะห์แสงภายในราก ( $\text{Quanta}/\text{CO}_2 \text{ uptake}$ ) ของใบพิทูเนียภายใต้คุณภาพแสงทั้ง 4 ตัวรับ	55
39 แสดงความสัมพันธ์ระหว่างความเข้มแสงกับประสิทธิภาพการใช้พลังงานแสงในการตรึง $\text{CO}_2$ ( $\text{Quanta}/\text{CO}_2 \text{ uptake}$ ) ของใบพิทูเนียภายใต้คุณภาพแสงทั้ง 4 ตัวรับ	56

ภาพที่	หน้า
40 แสดงค่าดัชนีที่เกี่ยวข้องกับการแลกเปลี่ยนก๊าซ ได้แก่ ค่าอัตราการสัมเคราะห์แสง (a) ค่าอัตราการคายระเหยของน้ำ (b) และค่าอัตราการนำไฟลของปากใบ (c) ของใบพิทูเนียในช่วงอายุ 63-70 วันหลังเพาะเมล็ด โดยได้รับคุณภาพแสงที่แตกต่างกัน 4 ตัวรับ ได้แก่ 6500 K 3200 K 6500 K : 3200 K และ RB และได้รับความเข้มแสง 2 ระดับ คือ 200 และ $150 \mu\text{mol}\cdot\text{m}^{-2}\cdot\text{s}^{-1}$	59
41 แสดงค่าดัชนีที่เกี่ยวข้องกับการแลกเปลี่ยนก๊าซ ได้แก่ ค่าอัตราการสัมเคราะห์แสง (a และ b) ค่าอัตราการคายระเหยของน้ำ (c และ d) และค่าอัตราการนำไฟลของปากใบ (e และ f) ของใบพิทูเนียตั้งแต่อายุ 56-77 วันหลังเพาะเมล็ด โดยได้รับคุณภาพแสงที่แตกต่างกัน 4 ตัวรับได้แก่ 6500 K 3200 K 6500 K : 3200 K และ RB และได้รับความเข้มแสง 2 ระดับ คือ 200 $\mu\text{mol}\cdot\text{m}^{-2}\cdot\text{s}^{-1}$ (b d และf) และ $150 \mu\text{mol}\cdot\text{m}^{-2}\cdot\text{s}^{-1}$ (a c และe)	60
42 แสดงค่าความชันของเส้นแนวโน้ม และทิศทางความสัมพันธ์ (ค่าความชันของเส้นแนวโน้มที่ติดลบ หมายถึง อายุพีชที่เพิ่มขึ้นส่งผลให้ค่าดัชนีที่เกี่ยวข้องกับการแลกเปลี่ยนก๊าลดลง ค่าความชันของเส้นแนวโน้มที่เป็นบวก หมายถึง อายุพีชที่เพิ่มขึ้นส่งผลให้ค่าดัชนีที่เกี่ยวข้องกับการแลกเปลี่ยนก๊าซเพิ่มขึ้น) ระหว่างค่าดัชนีที่เกี่ยวข้องกับการแลกเปลี่ยนก๊าชกับอายุพีช	61
43 แสดงปริมาณ MDA ในใบพิทูเนียตั้งแต่อายุ 56-77 วันหลังเพาะเมล็ด โดยได้รับคุณภาพแสงที่แตกต่างกัน 4 ตัวรับ ได้แก่ 6500 K 3200 K 6500 K : 3200 K และ RB และได้รับความเข้มแสง 2 ระดับ คือ $150 \mu\text{mol}\cdot\text{m}^{-2}\cdot\text{s}^{-1}$ ( $n=3$ ) (a) และ $200 \mu\text{mol}\cdot\text{m}^{-2}\cdot\text{s}^{-1}$ ( $n=3$ ) (b) แสดงค่าความชันของเส้นแนวโน้ม และทิศทางความสัมพันธ์ (ค่าความชันของเส้นแนวโน้มด้านลับ คือ อายุพีชที่เพิ่มขึ้นส่งผลให้ปริมาณ MDA ลดลง ค่าความชันของเส้นแนวโน้มด้านบวก คือ อายุพีชที่เพิ่มขึ้นส่งผลให้ปริมาณ MDA เพิ่มขึ้น) ปริมาณ MDA กับอายุพีช ( $n=3$ ) (c) และเบรียบเทียบปริมาณ MDA ระหว่างความเข้มแสง 2 ระดับ ภายใต้คุณภาพแสงทั้ง 4 ตัวรับของใบพิทูเนียในช่วงอายุ 70-77 วันหลังเพาะเมล็ด (d) ( $n=4$ )	62
44 แสดงค่า $F_v/F_m$ (a) $\Phi_{PSII}$ (b) และ ETR (Electron Transport Rate) (d) ของใบพิทูเนียในช่วงอายุ 63-70 วันหลังเพาะเมล็ด โดยได้รับคุณภาพแสงที่แตกต่างกัน 4 ตัวรับได้แก่ 6500 K 3200 K 6500 K : 3200 K และ RB และได้รับความเข้มแสง 2 ระดับ คือ 200 และ $150 \mu\text{mol}\cdot\text{m}^{-2}\cdot\text{s}^{-1}$	63

ภาพที่	หน้า
45 แสดงประสิทธิภาพการใช้แสงสูงสุดของ PSII (maximum quantum efficiency) ได้แก่ $F_v/F_m$ (a และ b) $\Phi_{PSII}$ (c และ d) และ ETR (e และ f) ของใบพิทูเนียตั้งแต่อายุ 56-77 วันหลังเพาะเมล็ด โดยได้รับคุณภาพแสงที่แตกต่างกัน 4 ตัวรับ ได้แก่ 6500 K 3200 K 6500 K : 3200 K และ RB และได้รับความเข้มแสง 2 ระดับ คือ $150 \mu\text{mol}\cdot\text{m}^{-2}\cdot\text{s}^{-1}$ (a c และ e) และ $200 \mu\text{mol}\cdot\text{m}^{-2}\cdot\text{s}^{-1}$ (b d และ f)	64
46 แสดงค่าความชันของเส้นแนวโน้ม และทิศทางความสัมพันธ์ (ค่าความชันของเส้นแนวโน้มด้านลบ คือ อายุพืชที่เพิ่มขึ้นส่งผลให้ประสิทธิภาพการใช้แสงสูงสุดของ PSII ลดลง ค่าความชันของเส้นแนวโน้มด้านบวก คือ อายุพืชที่เพิ่มขึ้นส่งผลให้ประสิทธิภาพการใช้แสงสูงสุดของ PSII เพิ่มขึ้น) ระหว่างประสิทธิภาพการใช้แสงสูงสุดของ PSII กับอายุพืช	65
47 แสดงมวลน้ำหนักสด (a) และมวลน้ำหนักแห้งส่วนลำต้น (b) มวลน้ำหนักแห้งส่วนราก (c) สัดส่วนของมวลน้ำหนักแห้งส่วนลำต้นต่อมวลน้ำหนักแห้งส่วนราก (d) และประสิทธิภาพการเปลี่ยนพลังงานเป็นมวลสารแห้ง (e)	67
48 แสดงลักษณะต้นพิทูเนีย (ภาพชุดด้านซ้ายมือแสดงลักษณะมุ่มมองด้านบน และภาพชุดด้านขวา มือแสดงมุ่มมองด้านข้าง) ที่ได้รับคุณภาพแสงที่แตกต่างกัน 4 ตัวรับ ได้แก่ 6500 K 3200 K 6500 K : 3200 K และ RB และได้รับความเข้มแสง 2 ระดับ คือ $200 \mu\text{mol}\cdot\text{m}^{-2}\cdot\text{s}^{-1}$ (a) และ $150 \mu\text{mol}\cdot\text{m}^{-2}\cdot\text{s}^{-1}$	69
49 แสดงความกว้าง (a) และความสูง (b) ของต้นพิทูเนียตั้งแต่อายุ 35-70 วันหลังเพาะเมล็ด โดยได้รับคุณภาพแสงที่แตกต่างกัน 4 ตัวรับ ได้แก่ 6500 K 3200 K 6500 K : 3200 K และ RB และแสดงค่าความชันของเส้นแนวโน้มด้านลบ คือ อายุพืชที่เพิ่มขึ้นส่งผลให้ขนาดทรงพุ่มลดลง ค่าความชันของเส้นแนวโน้มด้านบวก คือ อายุพืชที่เพิ่มขึ้นส่งผลให้ขนาดทรงพุ่มเพิ่มขึ้น) ของความกว้าง (c) และความสูง (d) กับอายุพืช	70
50 แสดงลักษณะด้านข้างของต้นพิทูเนียที่มีอายุ 70 และ 77 วันหลังเพาะเมล็ด ที่ได้รับคุณภาพแสงที่แตกต่างกัน 4 ตัวรับ ได้แก่ 6500 K 3200 K 6500 K : 3200 K และ RB	71
51 แสดงมวลน้ำหนักสด (a) และมวลน้ำหนักแห้งส่วนลำต้น (b) ของต้นพิทูเนียที่มีอายุ 80 วันหลังเพาะเมล็ด	72

ภาคที่		หน้า
52	แสดงจำนวนวันก่อนดอกแรกบาน โดยนับวันแรกหลังจากเพาะเมล็ด	73
53	แสดงจำนวนใบของกิ่งก่อนการพับการอุดดอกแรก ( $n=12$ ) (a) จำนวนกิ่งที่อุดดอก ( $n=8$ ) (b) จำนวนดอกต่อ กิ่ง ( $n=9$ ) (d) และจำนวนดอกต่อต้น ( $n=8$ ) ของต้นพิทูเนียที่มีอายุ 79 วันหลังเพาะเมล็ด	73
54	แสดงจำนวนดอกในแต่ละวันต่อเนื่องเป็นเวลา 1 เดือน (ตั้งแต่อายุพืช 50-80 วันหลังเพาะเมล็ด) (a) และแสดงค่าความชันของเส้นแนวโน้ม (b) โดยได้รับคุณภาพแสงที่แตกต่างกัน 4 ตัวรับ ได้แก่ 6500 K 3200 K 6500 K : 3200 K และ RB	74
55	แสดงความยาวก้านดอก (a) และขนาดดอก (b) ของต้นพิทูเนียที่ปลูกภายใต้แสง 4 ตัวรับ ได้แก่ 6500 K 3200 K 6500 K : 3200 K และ RB	75
56	แสดงเปอร์เซ็นต์การติดฝักหลังจากการผสมเกสร ( $n=8$ ) (a) จำนวนฝักต่อต้น ( $n=8$ ) (b) และขนาดฝัก ( $n=20$ ) (c) ของต้นพิทูเนียที่ปลูกภายใต้แสง 4 ตัวรับ ได้แก่ 6500 K 3200 K 6500 K : 3200 K และ RB	76
57	แสดงเปอร์เซ็นต์ความมีชีวิตของลูกองเรณู ( $n=8$ ) (a) เปอร์เซ็นต์ความคงอยู่ของลูกองเรณู ( $n=30$ ) (b) จำนวนเมล็ดต่อฝัก ( $n=5$ ) (c) จำนวนเมล็ดต่อต้น ( $n=3$ ) (d) และประสิทธิภาพการใช้พลังงานแสงเพื่อผลิตเมล็ดพันธุ์ ( $n=3$ ) (e) ของต้นพิทูเนียที่ปลูกภายใต้แสง 4 ได้แก่ 6500 K 3200 K 6500 K : 3200 K และ RB	77
58	แสดงจำนวนเมล็ดต่อฝัก (ตั้งแต่ฝักที่ 1-ฝักที่ 100) (a) และแสดงค่าความชันของเส้นแนวโน้ม (b) ของต้นพิทูเนียที่ได้รับคุณภาพแสงที่แตกต่างกัน 4 ตัวรับ ได้แก่ 6500 K 3200 K 6500 K : 3200 K และ RB	78
59	แสดงมวลน้ำหนักสดของเมล็ด (a) และมวลน้ำหนักแห้งของเมล็ด (b) โดยได้รับคุณภาพแสงที่แตกต่างกัน 4 ตัวรับ ได้แก่ 6500 K 3200 K 6500 K : 3200 K RB และเมล็ดที่ผลิตโดยบริษัท เอ เอฟ เอ็ม พลาร์เวอร์ ซีดส์ จำกัด ประเทศไทย (AFM)	79
60	แสดงปริมาณโปรตีนในเมล็ด (a) ความชื้นเมล็ด (b) เปอร์เซ็นต์ความคงอยู่ (c) และค่าเฉลี่ยจำนวนวันที่ใช้ในการอุด (d) ของต้นพิทูเนียที่ได้รับช่วงแสงที่แตกต่างกัน	80
61	แสดงหลักการเปล่งแสงสีขาวจากแหล่งกำเนิดแสงของสารกึ่งตัวนำชนิด Gaillium nitride	85

## บทที่ 1

### บทนำ

พิทูเนีย (Petunia) เป็นไม้ดอกล้มลุกฤดูเดียว ดอกมีสีสันสวยงามจัดอยู่ในวงศ์ solanaceae (Rijpkema et al., 2006) ในปัจจุบันนิยมปลูกพิทูเนียให้เป็นไม้ดอกฤดูเดียว ต้นพิทูเนียมีลักษณะทรงพุ่มเตี้ย และค่อนข้างเลี้ยว ลำต้นสูงประมาณ 30 เซนติเมตร ขนาดดอก และสีแตกต่างกันออกไปตามชนิดพันธุ์ (สมเพียร, 2526; Sink, 1984) ปัจจัยทางสภาพแวดล้อมมีอิทธิพลต่อการออกดอกของต้นพิทูเนีย โดยจะออกดอกได้มาก เมื่อได้รับปัจจัยบางอย่าง เช่น ไดรับช่วงแสงวันยาว ความชื้นแห้งสูง หรืออุณหภูมิสูง เป็นต้น (Adams et al. 1999) เมล็ดพิทูเนียมีลักษณะกลม สีดำปนน้ำตาล และมีขนาดเล็ก โดยมีเส้นผ่าศูนย์กลางประมาณ 0.6 ถึง 0.7 มิลลิเมตร ในหนึ่งฝักอาจมีเมล็ดตั้งแต่ 130 ถึง 1,065 เมล็ด เมล็ด 1 กรัม จะมีจำนวนเมล็ดประมาณ 11,000 เมล็ด ทั้งนี้จำนวนเมล็ด และน้ำหนักของเมล็ดขึ้นอยู่กับชนิดพันธุ์ของพิทูเนียด้วย พิทูเนีย 1 ต้นสามารถออกดอกได้มากกว่า 100 朵 (สมเพียร, 2526; Gunn, 1974)

มูลค่าการซื้อขายเมล็ดพันธุ์พิทูเนียคิดเป็น 30 เปอร์เซ็นต์ ของไม้ดอกประดับทั้งหมดในประเทศไทยหรือเมริกา (Sink, 1984) ในประเทศไทยมูลค่าการส่งออกเมล็ดพันธุ์พิทูเนียในปี พ.ศ. 2550 คิดเป็นอันดับสองของการส่งออกเมล็ดพันธุ์ไม้ดอกประดับทั้งหมด (สมาคมเมล็ดพันธุ์แห่งประเทศไทย, 2550) การผลิตเมล็ดพันธุ์พิทูเนียในประเทศไทย สามารถผลิตได้โดยเฉลี่ยปีละ 1 รอบ เท่านั้น เนื่องจากพิทูเนียจะเจริญเติบโต และติดเมล็ดได้ดีในสภาพอากาศเย็น ปัจจุบันการปลูกในสภาพแวดล้อมปกตินั้น ให้ผลผลิตเมล็ดพันธุ์ต่อหน่วยพื้นที่ค่อนข้างต่ำ นอกจานนี้ ในแต่ละปีสภาพภูมิอากาศมีความแปรปรวนมากขึ้น (อรรถเดช และพัชรี, 2554) ซึ่งอาจส่งผลให้เกิดความเสียหายในการผลิตเมล็ดพันธุ์พิทูเนีย อีกทั้งในปัจจุบันประสบปัญหาการแพร่ระบาดของโรคจากไวรัสใบยาสูบ ด่างในพิทูเนีย ซึ่งส่งผลกระทบต่อคุณภาพของเมล็ดพันธุ์

ระบบโรงงานพืช (Plant factory) คือ ระบบปลูกพืชที่มีการควบคุมปัจจัยสภาพแวดล้อมต่าง ๆ เช่น แสง อุณหภูมิ ความชื้น ปริมาณคาร์บอนไดออกไซด์ ให้เหมาะสมต่อการเจริญเติบโตของพืช จึงสามารถทำการเพาะปลูกได้ตลอดทั้งปี โดยไม่ขึ้นอยู่กับสภาพแวดล้อมภายนอก สามารถให้ผลผลิตต่อหน่วยพื้นที่ได้สูง เพราะสามารถเพาะปลูกในแนวตั้งได้ (Kozai, 2007; Kozai et al., 2015) ระบบการปลูกพืชลักษณะนี้ เป็นอีกหนึ่งทางเลือกที่จะแก้ไขปัญหา สภาพแวดล้อมที่ไม่เหมาะสม รวมทั้งการรับกวนจากโรค และแมลงได้ อย่างไรก็ตามต้นทุนของเทคโนโลยีในการดำเนินการผลิตนั้นค่อนข้างสูง โดยเฉพาะอย่างยิ่งต้นทุนของพัลังงานที่ต้องใช้กับแหล่งกำเนิดแสงในระบบปลูก

ไดโอดเปล่งแสงหรือหลอดไฟแอลอีดี (Light-emitting diode ; LED) เป็นแหล่งกำเนิดแสงที่เป็นทางเลือกใหม่ในยุคปัจจุบัน การเปล่งแสงจาก LED เกิดจากการกระตุ้นสารกึ่งตัวนำสองชนิดที่ประจุบันอยู่ด้วยไฟฟ้ากระแสตรงเพียงเล็กน้อย ซึ่งเหนี่ยวนำให้ประจุของสารกึ่งตัวนำสองชนิดวิ่งมาชนกันบริเวณระหว่างรอยต่อของสารทั้งสองชนิดนี้ ส่งผลให้อิเล็กตรอนเกิดการเปลี่ยนแปลงระดับพลังงาน และคายพลังงานออกมานรูปของคลื่นแสง ทำให้เกิดแสงสว่างในทิศทางด้านหน้าของตัวหลอด (Chang et al., 2012; Singh et al., 2015) LED ถือเป็นหลอดไฟที่ใช้พลังงานในการส่องสว่างอย่างมีประสิทธิภาพมากที่สุดเมื่อเทียบกับหลอดประเภทอื่นๆ โดยมีประสิทธิภาพในการใช้พลังงานที่สูงกว่าหลอดไส้ (incandescent light bulb) และหลอดฟลูออเรสเซนต์ ประมาณ 20 และ 10 เปอร์เซ็นต์ ตามลำดับ มีอายุการใช้งานมากกว่าหลอดไฟชนิดอื่น ๆ ประมาณ 60 ถึง 70 เปอร์เซ็นต์ (Bourget, 2008) อีกทั้งยังสามารถให้กำเนิดแสงสีต่าง ๆ ที่มีความหลากหลาย เช่น ม่วง น้ำเงิน เขียว เหลือง แดง ขาว ในปัจจุบันมีการผลิตหลอด LED ที่ให้แสงในช่วงความยาวคลื่นที่พิเศษสามารถนำไปใช้ในการสังเคราะห์แสงได้อย่างมีประสิทธิภาพมากที่สุด คือ 400 ถึง 500 นาโนเมตร ซึ่งเป็นแสงสีน้ำเงิน และ 600 ถึง 700 นาโนเมตร ซึ่งเป็นช่วงแสงสีแดง (Denbaars et al., 2013; Gupta and Jatohu, 2013) โดยหลอด LED สีน้ำเงินและแดงถูกใช้อย่างแพร่หลายในระบบโรงงานพืช (Kozai et al., 2015)

จากการทดลองปลูกต้นพิทูเนียในสภาพควบคุมปัจจัยแวดล้อมเบื้องต้นภายใต้แสงจากหลอด LED ณ ห้องควบคุมสภาพแวดล้อมของมหาวิทยาลัยแม่โจ้ เชียงใหม่ พบร่วมต้นพิทูเนียสามารถเจริญเติบโตได้ดี แสดงให้เห็นถึงความเป็นไปได้ในการใช้หลอด LED ใน การปลูกต้นพิทูเนียในระบบโรงงานพืชเพื่อผลิตเมล็ดพันธุ์ การศึกษาในครั้งนี้จึงมีจุดมุ่งหมายในการศึกษาอิทธิพลของแสงต่อการเจริญเติบโตและการผลิตเมล็ดพันธุ์ของต้นพิทูเนียภายใต้ระบบโรงงานพืชแบบกึ่งปิด นอกจากนี้จะได้ทำการศึกษาความคุ้มค่าของการปลูกต้นพิทูเนียในระบบกึ่งปิดเพื่อผลิตเมล็ดพันธุ์อีกด้วย

#### วัตถุประสงค์ของการวิจัย

- เพื่อศึกษาอิทธิพลของแสงจากหลอด LED ต่อการเจริญเติบโต และการให้ผลผลิตเมล็ดพันธุ์ของต้นพิทูเนีย
- เพื่อศึกษาความคุ้มค่าของการใช้หลอด LED ในการผลิตเมล็ดพันธุ์พิทูเนียในระบบกึ่งปิด

## ประโยชน์ที่คาดว่าจะได้รับ

1. ข้อมูลสภาพแสงที่เหมาะสมต่อการเจริญเติบโต และให้ผลผลิตเมล็ดพันธุ์ของต้นพิทูเนีย
2. ข้อมูลการเลือกใช้หลอด LED ที่มีความคุ้มค่ามากที่สุดในการผลิตเมล็ดพันธุ์ในระบบกึ่งปิด

### ขอบเขตของการวิจัย

ศึกษาระบบการให้แสงต่อการเจริญเติบโต และผลิตเมล็ดพันธุ์ของต้นพิทูเนียพันธุ์ Purple โดยใช้หลอดไฟ LED เท่านั้น โดยมีการควบคุมปัจจัยต่าง ๆ ภายใต้ระบบกึ่งปิด ได้แก่ อุณหภูมิ ความชื้น ชั่วโมงการให้แสง และองค์ประกอบของสารละลายปุ๋ย ทำการวิจัย ณ ห้องควบคุม สภาพแวดล้อม สาขาวิชาพัฒนาแม่โจ้ เชียงใหม่

## บทที่ 2

### การตรวจเอกสาร

#### ข้อมูลทางพฤกษาศาสตร์ของพิทูเนีย

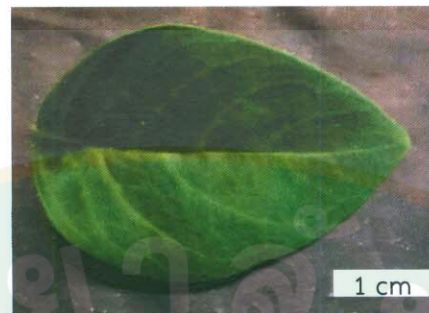
พิทูเนียมีชื่อสามัญว่า Petunia หรือ Sunweed มีชื่อวิทยาศาสตร์ว่า *Petunia × hybrida* Vilm จัดอยู่ในวงศ์ Solanaceae (Rijkema et al., 2006) มีถิ่นกำเนิดเดิมอยู่ในประเทศบราซิล และอาร์เจนตินา ชื่อพิทูเนีย มาจากภาษาบราซิล แปลว่า ต้นยาสูบ เนื่องจากต้นพิทูเนียมีลักษณะคล้ายต้นยาสูบ (นันทิยา, 2535; Sink, 1984)

พิทูเนียจัดเป็นพืชฤดูเดียว (Annuals) ที่มีดอกสวยงาม และมีหลายสี ลำต้นเป็นไม้เนื้ออ่อน มีลักษณะเป็นพุ่มเตี้ย และค่อนข้างเลี้ยวอยู่ มักขยายพันธุ์ด้วยการเพาะเมล็ด สูงประมาณ 30 เซนติเมตร (สมเพียร, 2526; Sink, 1984) (ภาพที่ 1)



ภาพที่ 1 ลักษณะต้นพิทูเนียที่มีดอกสีม่วง

ใบพิทูเนียมีลักษณะคล้ายใบยาสูบแต่มีขนาดเล็กกว่า กว้างประมาณ 5 เซนติเมตร และยาวประมาณ 3 - 10 เซนติเมตร ทั้งนี้ขึ้นอยู่กับชนิดพันธุ์ และความสมบูรณ์ของต้น มีข้ออยู่ทั่วไปตามผิวใบ ทั้งด้านหน้า และด้านหลัง ลักษณะใบเป็นรูปไข่ (ovate) ปลายใบแหลม (acute) เนื้อใบอ่อน (soft) ขอบใบเรียบ (furnelform) (ราชบัณฑิตยสถาน, 2541; สมเพียร, 2526) (ภาพที่ 2)



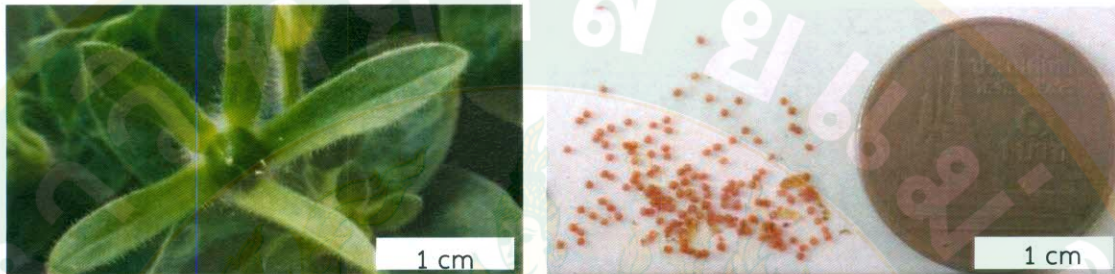
ภาพที่ 2 แสดงลักษณะใบของพิทูเนีย

ดอก มีสีทึ่หลากราย และมีระยะเวลาการบานของดอกนานประมาณ 5-7 วัน บางพันธุ์ มีกลิ่นหอมอ่อน (นันทิยา, 2535) ดอกพิทูเนียเป็นดอกสมบูรณ์เพศ มีลักษณะเป็นดอกเดี่ยว (solitary) มีทั้งชนิดดอกซ้อน (double) และดอกชั้นเดียว (single), ก้านดอกเกิดที่ยอด (terminal) หรือ ตามส่วนข้างของลำต้น วงกลีบเลี้ยง (calyx) และกลีบดอก (corolla) มี 5 แผ่น มีคอหlodดอก (throat) ยาว มีเกรสรेशผู้ (stamen) 5 อัน เกรสรेशเมีย (pistil) 1 อัน ขนาดของดอก และสีแตกต่างกันไป ตามประเภท และพันธุ์ (ราชบัณฑิตยสถาน, 2541; สมเพียร, 2526) พิทูเนีย จะออกดอกได้เร็ว เมื่อได้รับช่วงแสงวันยาว หรือความชื้นแสงสูง หรืออุณหภูมิสูง เป็นต้น (Adams et al., 1999) (ภาพที่ 3)



ภาพที่ 3 แสดงลักษณะดอกของพิทูเนีย

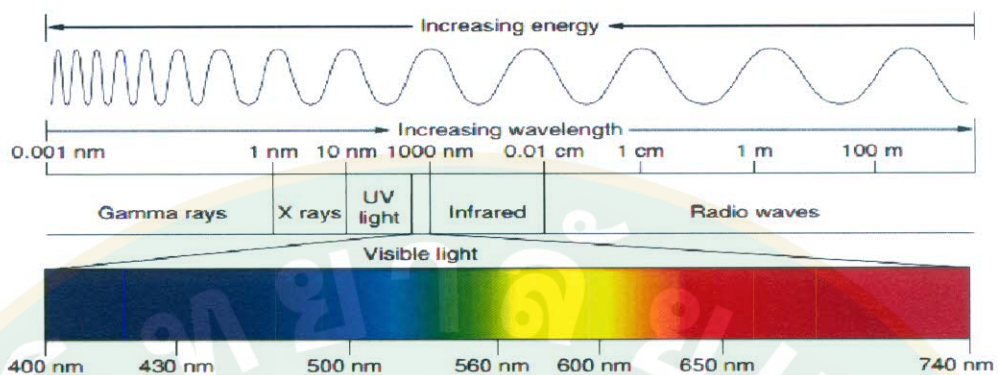
เมล็ดพิทูเนียมีลักษณะกลม สีน้ำตาลปนดำ เมล็ดมีขนาดเล็ก มีเส้นผ่าศูนย์กลางประมาณ 0.5 ถึง 0.6 มิลลิเมตร ในหนึ่งฝักอาจมีตั้งแต่ 100 ถึง 300 เมล็ด น้ำหนักเมล็ด 1 อนซ์ (28.35 กรัม โดยประมาณ) ในหนึ่งต้นจะมีจำนวนเมล็ดประมาณ 11,000 ถึง 250,000 เมล็ด ทั้งนี้จำนวนเมล็ดขึ้นอยู่กับชนิดพันธุ์ของพิทูเนีย (สมเพียร, 2526; Gunn, 1974) (ภาพที่ 4)



ภาพที่ 4 แสดงลักษณะของฝัก และเมล็ดของพิทูเนีย

#### คุณสมบัติของแสง

แสงอาทิตย์นั้น เกิดจากปฏิกิริยาเทอร์โมนิวเคลียร์ที่เกิดขึ้นบนดวงอาทิตย์ เป็นพลังงานที่แพร่ออกมายในรูปของคลื่นแม่เหล็กไฟฟ้า (วนุช, 2553) และมีคุณสมบัติทั้งของคลื่น และของอนุภาค ซึ่งอนุภาคของพลังงานแสงนี้เรียกว่า โฟตอน (Photon) หรือเรียกว่าเป็นควอนตัม (Quantum) ของพลังงาน (Chang et al., 2012) โดยทั่วไปแสงประกอบด้วยช่วงคลื่นที่สำคัญ 3 ช่วง ได้แก่ ช่วงรังสีเหนือม่วง (Ultraviolet) เป็นรังสีที่มีความยาวคลื่นต่ำกว่า 380 นาโนเมตร ช่วงรังสีที่ตามองเห็น (Visible light) เป็นรังสีที่มีความยาวคลื่น 400 ถึง 750 นาโนเมตร และช่วงแสงแดงไกล (Infrared) เป็นรังสีที่มีความยาวคลื่นมากกว่า 760 นาโนเมตร (วนุช, 2553) พลังงานของโฟตอนจะเป็นปฏิกิริยาคลับกับความยาวคลื่น ดังนั้นแสงที่มีความยาวคลื่นต่ำจะมีพลังงานของอนุภาคมากกว่าแสงที่มีความยาวของคลื่นมาก เช่น แสงที่ความยาวคลื่น 400 นาโนเมตร (แสงสีน้ำเงิน) จะมีพลังงานมากกว่าแสงที่มีความยาวคลื่น 680 นาโนเมตร (แสงสีแดง) (ชวนพิศ, 2544) (ภาพที่ 5)



ภาพที่ 5 แสดงลักษณะของช่วงความยาวคลื่นแสงที่สามารถมองเห็นได้โดยมีพัฒนาเป็นปฏิภาณลับกับความยาวคลื่นแสง

ที่มา: Vanninen et al. (2010)

#### แหล่งกำเนิดแสงเทียน ประเภทหลอด LED

LED เป็นอุปกรณ์สารกึ่งตัวนำประเภทหนึ่ง โดยจัดอยู่ในจำพวกไดโอดที่สามารถเปล่งแสงได้ในช่วงสเปกตรัมแคบ เช่น ช่วงแสงสีน้ำเงิน (450-500 nm) สีเขียว (500-570 nm) สีส้ม (590-610 nm) หรือสีแดง (610-760 nm) เป็นต้น สีของแสงที่เปล่งออกมานั้นขึ้นอยู่กับองค์ประกอบทางเคมีของวัสดุกึ่งตัวนำที่ใช้และสารที่ใช้เคลือบชิป นอกจากนี้ LED สามารถเปล่งแสงได้ทั้งในช่วงอัลตราไวโอลেต (ultraviolet) ช่วงแสงที่มองเห็น (visible light) และช่วงแสงแดงแก้ว (Gupta and Jatohu, 2013; Singh et al., 2015)



ภาพที่ 6 แสดงลักษณะของหลอดไฟ LED-T8 (a) หลอดไฟ LED ที่ให้เฉพาะแสงสีน้ำเงินในช่วงความยาวคลื่น 446 nm และสีแดงในช่วงความยาวคลื่น 660 nm (b) หลอดไฟ LED ที่ให้อุณหภูมิสีของแสง 6500 K (c) หลอดไฟ LED ที่ให้อุณหภูมิสีของแสง 3200 K

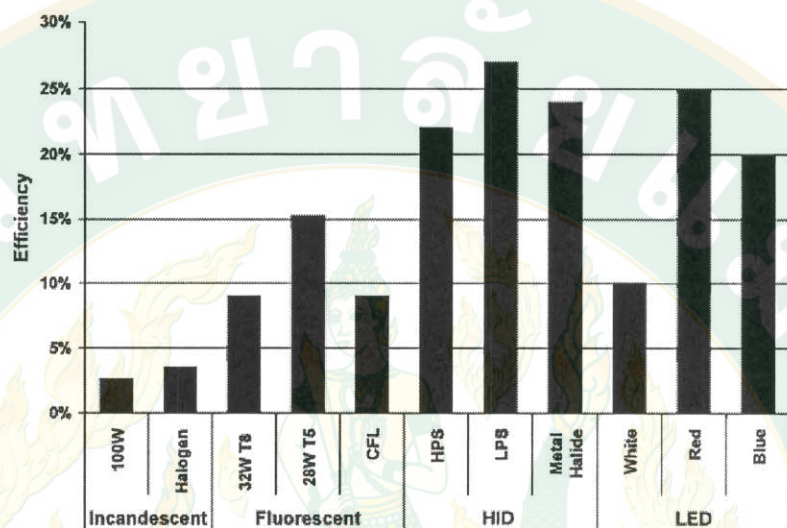
หลอด LED-T8 ประกอบด้วยองค์ประกอบหลักสามส่วน ได้แก่ ชุดของหลอดไฟ (LED module) อุปกรณ์เปลี่ยนกระแสไฟฟ้าเข้าสู่ตัวหลอด (Driver) และอุปกรณ์ระบายความร้อนของหลอด (Heat sink) (ภาพที่ 7)



ภาพที่ 7 แสดงส่วนประกอบของหลอด LED (a) ชุดของหลอดไฟ (LED module)  
(b) อุปกรณ์ระบายความร้อนของหลอด (Heat sink) (c) อุปกรณ์เปลี่ยน  
กระแสไฟฟ้าเข้าสู่ตัวหลอด (Driver)

หลักการทำงานของชิปเปล่งแสง LED ประกอบไปด้วยสารกึ่งตัวนำสองชนิด คือ ขั้วประจุบวกชนิด P (Positively charged material) และสารกึ่งตัวนำขั้วประจุลบชนิด N (Negatively charged material) โดยสารทั้งสองชนิดนี้จะประกอบเข้าด้วยกัน และมีบริเวณซ่องระหว่างรอยต่อเล็กน้อย เรียกว่า รอยต่อ (Junction) เมื่อเปิดสวิตช์ไฟ กระแสไฟฟ้าจะผ่านอุปกรณ์เปลี่ยนกระแสไฟฟ้า เพื่อแปลงไฟฟ้ากระแสสลับให้เป็นไฟฟ้ากระแสตรง และเปลี่ยนจากความต่างศักย์ไฟฟ้าสูงไปสู่ความต่างศักย์ไฟฟ้าค่อนข้างต่ำ (Yeh and Chung, 2009; Gupta and Jatohu, 2013) ประมาณ 2.5 ถึง 3 โวลต์ แล้วจึงจ่ายเข้าตัวชิปของหลอด LED ซึ่งมีเพียงตัวนำแค็国度 และแอนโโนดเท่านั้น หลอด LED จะมีกระแสไฟฟ้าไหลผ่านน้อยมาก ประมาณ 20 มiliampere (Chang et al., 2012) จ่ายไฟขั้วบวกให้ขาแอนโโนด และจ่ายไฟขั้วลบให้ขาแค็国度 ทำให้อิเล็กตรอนที่สารกึ่งตัวนำชนิด N มีพลังงานสูงขึ้น จนสามารถถ่วงขั้มรอยต่อจากสารชนิด N ไปรวมกับไฮล (อิเล็กตรอนวงนอกของสารกึ่งตัวนำที่อยู่ในสภาพขาดอิเล็กตรอนคู่ร่วมพันธะ 1 คู่ ซึ่งมีสภาพเป็นประจุไฟฟ้าบวก) ในสารชนิด P เป็นผลให้เกิดการชนกันของประจุบวก และประจุลบที่บริเวณรอยต่อของสารกึ่งตัวนำทั้งสองชนิด เป็นผลให้ระดับพลังงานของอิเล็กตรอนเปลี่ยนไป และคายพลังงานออกมานิรูปของคลื่นแสง ซึ่งเรียกว่า “อิเล็กโทรลูมิเนสเซนซ์ (Electroluminescence)” ทำให้เกิดแสงสว่างที่บริเวณด้านหน้าตัวหลอด (Gupta and Jatohu, 2013; Singh et al., 2015) โดยมีลักษณะพุ่งออกในทิศทางเดียว แต่ในกรณีที่ต้องการให้แสงกระจายออกในมุมแคบหรือกว้างเพิ่มขึ้น จะใช้อุปกรณ์ที่มีลักษณะเหมือนเลนส์ (Lens package) ครอบหลอด LED ไว้เพื่อบังคับทิศทางของแสงกระจายแสง (Liu et al., 2009)

หลอด LED มีประสิทธิภาพการให้แสงสว่างสูง เมื่อเทียบประสิทธิภาพการใช้พลังงานในการส่องสว่างกับหลอดไฟอินแคนเดสเซนต์ (Incandescent) และหลอดฟลูออเรสเซนต์ (Fluorescent; FL) พบร่วมกันหลอดไฟ LED มีประสิทธิภาพสูงกว่า ประมาณ 1 ถึง 4 เท่า และ 1 ถึง 2 เท่า ตามลำดับ (ภาพที่ 8) (Bourget, 2008)



ภาพที่ 8 แสดงการเปรียบเทียบประสิทธิภาพของหลอดไฟแต่ละชนิด  
ในการใช้พลังงานเพื่อให้แสงสว่าง

หมายเหตุ W คือ กำลังไฟ (Watt)

T5 และ T8 คือ ขนาดเส้นผ่าศูนย์กลางของหลอดไฟ 5 นิ้ว และ 8 นิ้ว

CFL คือ หลอดไฟคอมแพคฟลูออเรสเซนต์ (Compact Fluorescent)

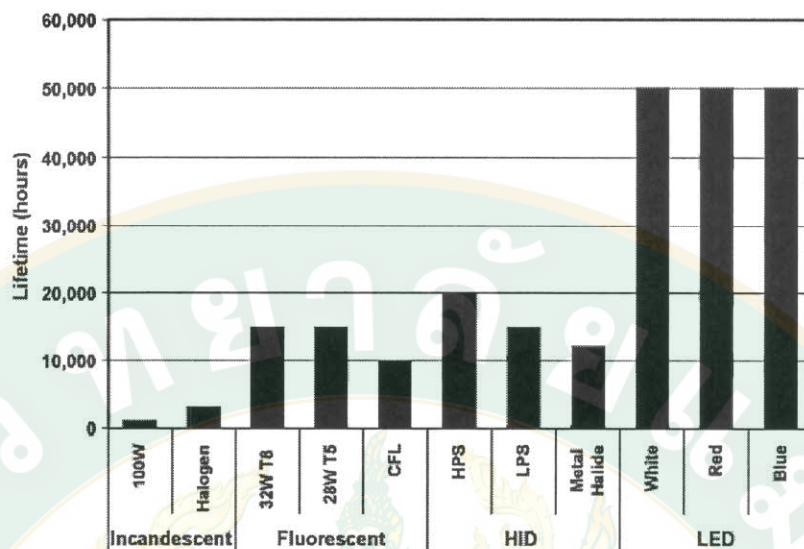
HID คือ หลอดไฟขั้นต้องความดันไออกซ์ (Hyper Intensity Discharge)

HPS คือ หลอดโซเดียมความดันไออกซ์ (High Pressure Sodium)

LPS คือ หลอดโซเดียมความดันไออกซ์ต่ำ (Low Pressure Sodium)

ที่มา: Bourget (2008)

หลอด LED มีน้ำหนักเบา และมีขนาดเล็ก มีความแข็งแรง ทนต่อการสั่นสะเทือน ปลดปล่อยความร้อนอุ่นมากทำให้ลดการสูญเสียพลังงานไฟฟ้าในห้องที่มีเครื่องปรับอากาศได้ เมื่อเปิดจะให้แสงสว่างโดยทันที มีอายุการใช้งานยาวนาน 40,000 ถึง 50,000 ชั่วโมง เมื่อเทียบอายุการใช้งานกับ หลอดไฟอินแคนเดสเซนต์ และ FL พบร่วมกันหลอด LED มีอายุการใช้งานที่สูงกว่าประมาณ 5 ถึง 10 เท่า (ภาพที่ 9) นอกจากนี้ หลอด LED ยังมีหลายชนิดซึ่งสามารถให้กำเนิดแสงที่มีช่วงความยาวคลื่นแตกต่างกันตามความต้องการได้ (Bourget, 2008; Singh et al., 2015)



ภาพที่ 9 แสดงการเปรียบเทียบอายุการใช้งานของหลอด LED กับหลอดไฟชนิดอื่น ๆ

ที่มา: Bourget (2008)

#### ความคุ้มค่าของการปลูกพืชภายใต้แสงเทียนประเภท LED

การปลูกพืชในระบบปิดภายใต้แสงเทียนสามารถให้ผลผลิตที่มีคุณภาพ และปริมาณต่อหน่วยพื้นที่สูง อายุการเก็บเกี่ยวสั้น อีกทั้งสามารถปลูกได้หลายรอบต่อปี เมื่อเปรียบเทียบกับการปลูกในสภาพแวดล้อมปกติ หรือการปลูกในโรงเรือนที่ใช้พลังงานแสงจากดวงอาทิตย์ ซึ่งให้ผลผลิตต่ำกว่า และควบคุมคุณภาพได้ยาก รวมทั้งต้องใช้เวลามากกว่าการปลูกพืชในระบบปิด (Kozai, 2007; Dong et al., 2015) อย่างไรก็ตาม การปลูกพืชในระบบปิดภายใต้แสงเทียนนั้น จะมีต้นทุนผันแปรในการผลิตสูง โดยร้อยละ 25 – 30 เป็นต้นทุนผันแปรของอุปกรณ์ใช้ไฟฟ้า ซึ่งส่วนใหญ่จะเป็นหลอดไฟจำนวนมากที่ให้กำเนิดแสงสว่างสำหรับการปลูกพืช (Kozai et al., 2015) ดังนั้นผู้ปลูกจึงควรให้ความสำคัญกับประเภท และประสิทธิภาพของแหล่งกำเนิดแสงเทียนเป็นพิเศษ โดยจะต้องมีความเหมาะสมต่อการเจริญเติบโตของพืช และผลผลิตที่ได้จะต้องมีความคุ้มค่าต่อพลังงานไฟฟ้าที่ถูกใช้ไปมากที่สุด

เทคโนโลยีแสงเทียนในปัจจุบันมีการพัฒนาอย่างต่อเนื่อง โดยเฉพาะอย่างยิ่งหลอดไฟประเภท LED ซึ่งมีประสิทธิภาพในการใช้พลังงานสูงกว่าหลอดไฟชนิดอื่น ๆ (Bourget, 2008; Nelson and Bugbee, 2014) สามารถเลือกใช้ช่วงความยาวคลื่นได้หลากหลาย (Singh et al., 2015) ซึ่งมีความเหมาะสมต่อการนำมาใช้เป็นแหล่งกำเนิดแสงเทียนในการปลูกพืชจากการศึกษาของ Shimizu et al. (2011) แสดงให้เห็นว่าการใช้หลอดไฟ LED ใน การปลูกผักกาด ส่งผลให้ผักกาดมี

ประสิทธิภาพในการนำพลังงานแสงไปใช้ในการเจริญเติบโต (Production efficiency; g/W) มากกว่า การปลูกภายใต้แสงจากหลอดไฟ FL นอกจากนี้การศึกษาของ Lin et al. (2013) พบว่า การปลูกผักภายใต้แสงเทียมจากหลอดไฟ LED ส่งผลให้ได้ต้นที่มีน้ำหนักสดสูง มีรากติดหัว ครอบ และการสะสมของไนเตรดต่ำกว่าการปลูกภายใต้แสงเทียมจากหลอดไฟ FL อีกด้วย

### การสังเคราะห์แสงของพืช

สิ่งมีชีวิตต่าง ๆ ล้วนมีความเกี่ยวข้องกับการใช้ประโยชน์จากพลังงานแสงอาทิตย์ทั้งในทางตรง และทางอ้อม โดยเฉพาะอย่างยิ่งสิ่งมีชีวิตที่มีคลอโรฟิลล์เป็นองค์ประกอบ เช่น พืช สาหร่าย สีเขียวแกมน้ำเงิน (Cyanobacteria) และ สาหร่าย (Algae) (วันเพ็ญ, 2547; นงลักษณ์ และปรีชา, 2554) แสงจากดวงอาทิตย์นั้น เป็นแหล่งพลังงานที่สำคัญของพืชในกระบวนการสังเคราะห์แสง โดยพืชจะเปลี่ยนพลังงานแสงให้เป็นพลังงานเคมี เพื่อนำมาใช้ในการสร้างอาหาร โดยมีน้ำ และคาร์บอนไดออกไซด์เป็นวัตถุดิบ ผลผลิตที่ได้ คือ น้ำตาล และมีผลพลอยได้จากการปฏิกริยาแสง คือ ออกซิเจน (สมบุญ, 2548) ผลผลิตที่ได้จากการกระบวนการสังเคราะห์ด้วยแสงจะถูกนำไปใช้เป็นพลังงานในการดำรงชีวิตและการเจริญเติบโตของพืช อีกส่วนหนึ่งจะเก็บสะสมไว้ในรูปของแป้ง หรืออาจจะนำไปใช้ในการสร้างไขมัน หรือโปรตีน และเก็บสะสมไว้ในส่วนต่าง ๆ ของพืช (วันเพ็ญ, 2547) ปฏิกริยาของการสังเคราะห์แสงเรียกสูตรได้ดังนี้ (ภาพที่ 10)



ภาพที่ 10 ปฏิกริยาการสังเคราะห์แสง

ที่มา: วันเพ็ญ (2547; สมบุญ, 2548)

กระบวนการสังเคราะห์แสงเกิดขึ้นในคลอโรพลาสต์ (Chloroplast) ซึ่งภายในประกอบไปด้วยถุงไทลากอยด์ (Thylakoid) ที่ข้อนเป็นชั้นอยู่เป็นกลุ่ม ๆ แต่ละกลุ่มเรียกว่ากรานา (Grana) ส่วนสโตรมา (Stroma) ซึ่งเป็นของเหลวในคลอโรพลาสต์ ประกอบไปด้วยสารเคมี และเอนไซม์ต่าง ๆ ที่เกี่ยวข้องกับการสังเคราะห์ด้วยแสง โดยปฏิกริยาแสง (light reaction) จะเกิดขึ้นบนเยื่อหุ้มไทลากอยด์ ซึ่งมีร่องค์วัตถุ เอนไซม์ สารส่งอิเล็กตรอนที่เกี่ยวข้องกับการดูด และเก็บพลังงานแสง และ

เปลี่ยนพลังงานแสงเป็นพลังงานเคมี ในส่วนของปฏิกิริยาการบอน (carbon reaction) จะเกิดขึ้นในสโตรมา (สมบุญ, 2548)

รงควัตถุที่พบในสิ่งมีชีวิตที่สังเคราะห์ด้วยแสงได้ มีหลายชนิด โดยที่พบในสิ่งมีชีวิตชั้นสูง ได้แก่ คลอโรฟิลล์ (Chlorophyll) แครอทีโนยด์ (Carotenoids) และไฟโคบิลิน (Phycobilin) ส่วนรังค์วัตถุที่พบเฉพาะในสิ่งมีชีวิตชั้นต่ำ เช่น แบคเทอเริโอคลอโรฟิลล์ (Bacteriochlorophyll) รงควัตถุแต่ละชนิดจะมีคุณสมบัติในการดูดพลังงานแสงที่มีความยาวคลื่นแตกต่างกัน (ชวนพิศ, 2544) รงควัตถุหลายชนิดไม่ได้ทำหน้าที่ดูดแสงในกระบวนการสังเคราะห์แสงโดยตรง แต่จะทำหน้าที่รับพลังงานแสงจากการคัตถุอื่น แล้วส่งต่อไปตามลำดับจนกระทั่งถึงคลอโรฟิลล์เอโมเลกุลพิเศษ ที่เป็นส่วนประกอบของ ศูนย์กลางของปฏิกิริยา (Reaction center) ของระบบแสง (สมบุญ, 2548) รงควัตถุประกอบจำกัด แครอทีโนยด์ และไฟโคบิลินส์ ได้ชื่อว่าเป็นเม็ดสีสังเคราะห์แสงส่วนเสริม (สัมฤทธิ์, 2544) เนื่องจากสามารถดูดกลืนแสง และส่งผ่านพลังงานแสงไปยังคลอโรฟิลล์เอได้ ส่งผลให้คลอโรพลาสต์มีความสามารถในการเก็บเกี่ยวพลังงานแสงในช่วงความยาวคลื่นอื่น ๆ ที่คลอโรฟิลล์เอ และคลอโรฟิลล์บีไม่สามารถดูดกลืนไว้ได้ (สมบุญ, 2548) โดยทั่วไปคลอโรฟิลล์เอ และบี จะดูดกลืนแสงได้มากในช่วงแสงสีน้ำเงินที่ความยาวคลื่น 428 ถึง 453 nm และช่วงแสงสีแดงที่ความยาวคลื่น 661 ถึง 642 nm ตามลำดับ (Lichtenthaler and Buschmann, 2001)

#### คุณภาพแสง ความเข้มแสง และช่วงแสง ต่อการเจริญเติบโตของพืช

แสงมีผลโดยตรงต่อกระบวนการสังเคราะห์ด้วยแสง ซึ่งเป็นกระบวนการพื้นฐานในการสังเคราะห์อาหารของพืช (ลิลลี, 2546) นอกจากนี้ แสงยังเป็นตัวกระตุ้น และควบคุมรูปแบบการเจริญเติบโต และพัฒนาการต่าง ๆ ของพืชด้วย เช่น การออก การเคลื่อนที่เข้าหาแสง การเจริญเติบโตของลำต้น และการออกดอก เป็นต้น (Sullivan and Deng, 2003; Kami et al, 2010)

ช่วงความยาวคลื่นแสงที่พืชนำไปใช้ในการสังเคราะห์ด้วยแสงนั้น อยู่ในช่วงรังสีที่ด้านมองเห็น ซึ่งประกอบไปด้วยแสงที่มีค่าความถี่หรือความยาวคลื่นต่อเนื่องกัน ได้แก่ แสงสีม่วง คราม น้ำเงิน เขียว เหลือง ส้ม แดง (Aphalo, 2006; Singh et al., 2015) โดยพืชนั้นสามารถดูดกลืนแสงได้มีประสิทธิภาพมากที่สุดที่ความยาวคลื่น 2 ช่วง คือ ช่วงความยาวคลื่นที่อยู่ระหว่าง 400 ถึง 500 nm ซึ่งเป็นแสงสีน้ำเงิน และช่วงความยาวคลื่นที่อยู่ระหว่าง 600 ถึง 700 nm ซึ่งเป็นช่วงแสงสีแดง (Vanninen et al., 2010) ในขณะที่ช่วงความยาวคลื่นระหว่าง 500 ถึง 600 nm นั้น เป็นช่วงความยาวคลื่นแสงสีเขียว ซึ่งในอดีตถูกมองว่ามีความสำคัญน้อยต่อการเจริญเติบโตของพืช (Van et al., 1977) แต่ในปัจจุบันพบว่า การปลูกผักภาคภัยใต้แสงสีเขียว ที่ความเข้มแสงประมาณ  $300\text{-}500 \mu\text{mol}\cdot\text{m}^{-2}\cdot\text{s}^{-1}$  สามารถทำให้ต้นเจริญเติบโตได้เป็นปกติ (Johkan et al., 2012) นอกจากนี้

มีรายงานว่าการให้แสงผสมสีน้ำเงิน แดง และเขียว จากหลอด LED จะช่วยส่งเสริมการเจริญเติบโตของพืชหลายชนิด เช่น ต้นผักกาด แตงกวา แพร์เซีย หรือผักโขม ได้มากกว่าการได้รับแสงสีแดงร่วมกับน้ำเงินเท่านั้น (Yorio et al., 2001; Kim et al., 2004; Wang et al., 2009; Lin et al., 2013) แสงสีเขียวมีความสามารถในการหล่อผ่านใบด้านนอกของทรงพุ่มได้ดีกว่าแสงสีน้ำเงิน และแดง อีกทั้งใบพืชที่มีความหนามาก เนื้อยื่นจะดูดกลืนแสงสีเขียวได้มากกว่าแสงสีน้ำเงิน และแดง อีกด้วย (Sun et al., 1998; Nishio, 2000) ส่งผลให้ใบหักหมัดที่อยู่ทั้งใน และนอกทรงพุ่มได้รับพลังงานจากแสงสีเขียว ดังนั้นกระบวนการการตรึง  $\text{CO}_2$  และการเจริญเติบโตโดยรวมของทรงพุ่มก็จะเพิ่มมากขึ้นเมื่อมีการให้แสงสีเขียวผสมกับแสงสีแดงและน้ำเงิน (Kim et al., 2004; Terashima et al., 2009)

แสงสีน้ำเงิน อยู่ในช่วงความยาวคลื่น 400 ถึง 500 nm มีบทบาทสำคัญต่อการกระบวนการต่างๆ ของพืช เช่น กระบวนการออกดอก (Fukuda et al., 2009; Fukuda et al., 2016) ควบคุม การปิดเปิดของปากใบ (Frechilla et al., 2000; Talbott et al., 2002) การขยายตัวของพืช การนำไหหล่องปากใบ (Muneer et al., 2014) เป็นต้น โดยพืชหลายชนิดจะเปิดปากใบได้กว้างมากขึ้นเมื่อได้รับแสงสีน้ำเงิน (Talbott et al., 2002) อีกทั้งยังปรับตัวให้มีความหนาแน่นของปากใบ และการนำไหหล่องปากใบเพิ่มขึ้นด้วย (Wang et al., 2009; Muneer et al., 2014; Juwei et al., 2016; Wang et al., 2016) นอกจากนี้แสงสีน้ำเงินยังมีผลยับยั้งการยึด牢牢ของลำต้น (Xiaoying et al., 2012; Cope and Bugbee, 2013) แต่ในพืชบางชนิดแสงสีน้ำเงินมีผลชักนำให้เกิดการยึด牢牢ของลำต้น เช่น พิทูเนีย (Fukuda et al., 2016; Gautam et al., 2015; Akbarian et al., 2016) ต้นกล้าจะหล่อปี หรือ แตงกวา (Wang et al., 2015) ในส่วนของการสังเคราะห์แสง พืชหลายชนิด จะมีอัตราการสังเคราะห์แสงสูงขึ้นเมื่อได้รับแสงสีน้ำเงินที่ความยาวคลื่นประมาณ 450-470 nm (Wang et al., 2009; Xiaoying et al., 2012; Muneer et al., 2014; Wang et al., 2015) จากการศึกษาของ Wang et al (2016) แสดงให้เห็นว่าผักกาดที่ได้รับแสงสีน้ำเงินเป็นเวลา 30 วัน มีอัตราการสังเคราะห์แสงสูงกว่าการได้รับแสงสีแดง

แสงสีแดง อยู่ในช่วงความยาวคลื่น 600 ถึง 700 nm มีบทบาทสำคัญต่อกระบวนการออกของเมล็ด โดยเมล็ดที่ได้รับแสงสีแดงจะมีเบอร์เซ็นต์การออกสูง และจะออกได้เร็วมากขึ้นกว่าปกติ (Borthwick et al., 1952; Burdett, 1972) อีกทั้งมีผลทำให้เกิดการยึด牢牢ของลำต้น ก้านใบพืช หรือการขยายขนาดใบพืชอีกด้วย (Nhut et al., 2003; Xiaoying et al., 2012; Johkan et al., 2010) นอกจากนี้แสงสีแดงมีผลในการยับยั้งหรือชะลอการออกดอก (Downs and Thomas, 1982; Fukuda., 2013; Hong et al., 2013; Fukuda et al., 2016) เช่น ต้นพิทูเนียที่เจริญเติบโตภายใต้แสงสีแดงเพียงอย่างเดียว ส่งผลให้อายุการออกดอก และการพัฒนาติดอกช้ากว่าการได้รับแสงสีน้ำเงิน หรือแสงสีขาว (Gautam et al., 2015; Fukuda et al., 2016)

แสงแดงไกล (Far-red) อุปในช่วงความยาวคลื่น 700-1000 nm (Singh et al., 2015) มีอิทธิพลต่อการออกของเมล็ด โดยสามารถยับยั้ง หรือชะลอการออกของเมล็ดได้ (Borthwick et al., 1952; Piskurewicz et al., 2009) นอกจากนี้ สามารถส่งเสริมให้พืชบางชนิดเจริญเติบโตได้เพิ่มมากขึ้น เช่น ต้นผักกาด หรือ *Crepidiastrum denticulatum* (พืชพื้นเมืองของประเทศไทย) (Lee et al., 2016 ; Bae et al., 2017) อีกทั้งสามารถชักนำให้พืชหลายชนิดออกดอกได้ดีขึ้นด้วย เช่น เบญจมาศ (Craig and Runkle, 2013) พิทูเนีย (Kohyama et al, 2014; Park et al, 2016) ถั่วเล็นทิล (Yuan et al, 2017) สตรอว์เบอร์รี่ (Takeda & Glenn, 2008) เป็นต้น

แสงสีน้ำเงิน และแสงนันยังมีปฏิสัมพันธ์ร่วมกันในการควบคุมกระบวนการต่างๆในพืช เช่น มีการศึกษาพบว่าการให้แสงสีแดงอย่างเดียวกับต้นมะเขือเทศ ส่งผลให้มีลักษณะต้นยืดยาว ไม่สมบูรณ์ และมีอัตราการสังเคราะห์แสงต่ำ แต่เมื่อให้แสงสีน้ำเงินร่วมกับแสงสีแดง จะส่งผลให้ต้นมะเขือเทศมีลักษณะต้นปกติ และมีอัตราการสังเคราะห์แสงสูงขึ้น (Yorio et al., 2001; Xiaoying et al., 2012) นอกจากนี้ การให้แสงสีแดงร่วมกับแสงสีน้ำเงินจากหลอด LED โดยให้อัตราส่วนแสงสีแดงต่อแสงสีน้ำเงิน 2 ต่อ 1 พบร้าส่งผลให้ต้นผักกาดหอมสามารถเจริญเติบโตมากกว่าการให้แสงด้วยหลอด FL 1.2 เท่า และเมื่อให้แสงสีแดงสลับกับแสงสีน้ำเงิน โดยได้รับแสงแต่ละสีเป็นเวลาเท่ากัน คือ แสงสีแดง 12 ชั่วโมง และแสงสีน้ำเงิน 12 ชั่วโมง พบร้าทำให้ต้นผักกาดหอมสามารถเจริญเติบโตได้มากกว่าการใช้แสง FL ถึง 2.6 เท่า (Shimokawa et al., 2014)

ความเข้มแสงจัดเป็นตัวแปรที่สำคัญอีกหนึ่งตัวแปร ที่ส่งผลต่อการเจริญเติบโตของพืช อีกทั้งมีความเกี่ยวข้องกับความคุ้มค่าของการใช้พลังงานอีกด้วย เนื่องจากความเข้มแสงจะแพร่ผ่านตระกับปริมาณการบริโภคกระแสไฟฟ้าของอุปกรณ์แหล่งกำเนิดแสงเทียม ยกเว้นการปรับเปลี่ยนความเข้มแสงด้วยการปรับระยะระหว่างพื้นที่ปลูกกับแหล่งกำเนิดแสง โดยวิธีนี้จะทำให้พื้นที่การเจริญเติบโตของพืชแคบลงตามความเข้มแสงที่เพิ่มขึ้น ซึ่งไม่เหมาะสมต่อการเพาะปลูกกับพืชหลายชนิด ดังนั้นการให้ความเข้มแสงอย่างเหมาะสมกับพืชจึงต้องพิจารณาทั้งการเจริญเติบโตของพืช และความคุ้มค่าของพลังงานที่ใช้ โดยมีการศึกษาการให้แสงสมรรถนะว่างสีแดงกับน้ำเงินกับต้นกล้า มะเขือเทศ ที่ความเข้มแสง 50 150 200 300 450 และ 550  $\mu\text{mol}\cdot\text{m}^{-2}\cdot\text{s}^{-1}$  พบร้า การให้แสงที่ความเข้มแสง 300  $\mu\text{mol}\cdot\text{m}^{-2}\cdot\text{s}^{-1}$  มีความคุ้มค่า และมีประสิทธิภาพการใช้พลังงานสูง เนื่องจากต้นมะเขือเทศเจริญเติบโตอย่างสมบูรณ์เทียบเท่ากับการได้รับความเข้มแสงที่ 450 และ 550  $\mu\text{mol}\cdot\text{m}^{-2}\cdot\text{s}^{-1}$  (Fan et al., 2013) โดยปกติ การให้แสงแก่พืชในระดับความเข้มของแสงที่เพิ่มขึ้นจากจุดเชยแสง (light compensation point คือ จุดที่อัตราการสังเคราะห์ด้วยแสงเท่ากับอัตราการหายใจ) ไปเรื่อย ๆ นั้นจะทำให้ อัตราการสังเคราะห์แสงเพิ่มขึ้นสอดคล้องไปตามความเข้มแสงที่เพิ่มขึ้นไปด้วยจนกระทั่งถึงจุดอิมตัวของแสง (light saturation point) ซึ่ง ณ จุดนี้ การเพิ่มความเข้มแสงจะไม่ส่งผลให้อัตราการสังเคราะห์แสงเพิ่มสูงขึ้นต่อไปอีก (Wang et al., 2016;

Xiaoying et al., 2012) ดังนั้นการให้ความเข้มแสงที่สูงเกินจุดอิ่มตัวแสงจะส่งผลให้สีเปลือง พลังงาน และส่งผลให้พืชเกิดสภาพเครียดแสงได้ (Ma et al., 2015) อย่างไรก็ตาม พืชแต่ละชนิดจะ มีจุดอิ่มตัวของแสงที่แตกต่างกัน (Peri et al., 2009; Rakic et al., 2015) และแปรผันไปตาม ปริมาณของ CO<sub>2</sub> และอุณหภูมิ (Rakic et al., 2015) นอกจากนี้ คุณภาพแสงที่แตกต่างกันก็ส่งผลให้ จุดอิ่มตัวแสงในพืชชนิดเดียวกันแตกต่างกันไปด้วย (Wang et al., 2016; Xiaoying et al., 2012)

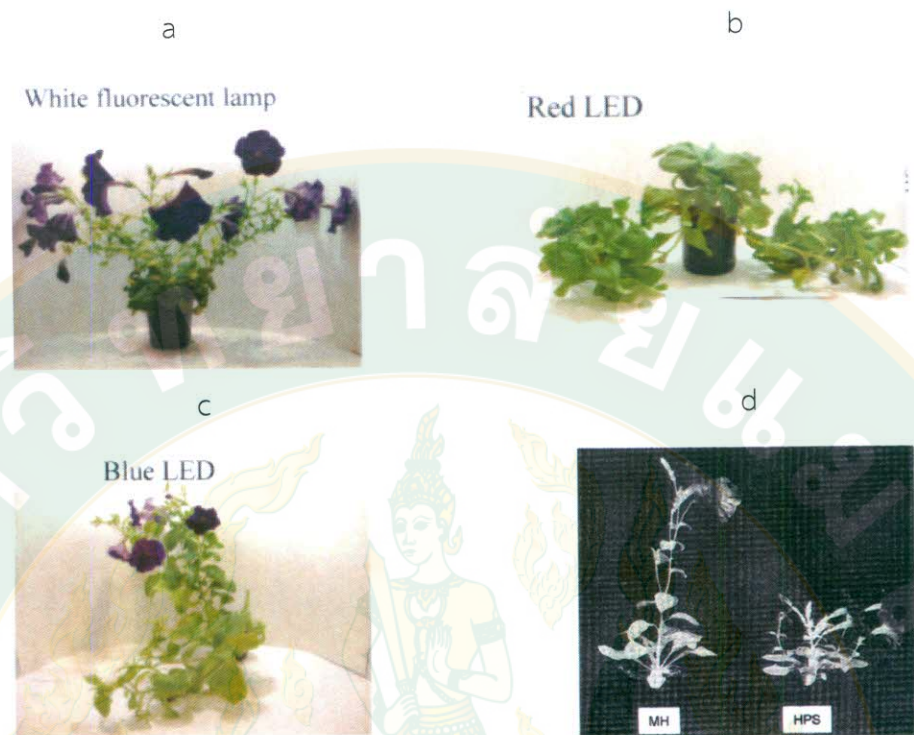
ช่วงแสง (Photoperiod) จัดเป็นอีกหนึ่งปัจจัยที่มีอิทธิพลสูงต่อการเจริญเติบโต และการ ออกดอก ในส่วนของการเจริญเติบโตทางลำต้น และใบ โดยส่วนมากพืชหลายชนิดจะมีการ เจริญเติบโตเพิ่มมากขึ้นเมื่อได้ช่วงแสงที่เพิ่มมากขึ้น เช่น พิทูเนีย (Adams et al., 1999) คงน้ำ (Lefsrud et al., 2006) ถั่วเหลือง (Kasai, 2008) ผักกาดหอม (Shen et al., 2014) หรือมะเขือเทศ (Haque et al., 2015) เป็นต้น อย่างไรก็ตาม การได้รับช่วงแสงที่ยาวมากเกินไป พืชอาจเกิดสภาพ ความเครียดแสง ส่งผลให้ลักษณะของใบมีความผิดปกติ หรือเกิดอาการใบเหลืองได้ (Leaf chlorosis) (Murage et al., 1996; Matsuda et al., 2014; Haque et al., 2015) ส่วนการออกดอก พืชหลาย ชนิดมีความต้องการช่วงแสงที่แตกต่างกันเพื่อกระตุ้นการออกดอก เช่น ต้นสตรอว์เบอร์รีบางชนิด ต้องการช่วงแสงวันสั้นเพื่อกระตุ้นการออกดอก (Ito and Saito, 1962) หรือ ต้นพิทูเนียจะออกดอก ได้เร็วเมื่อได้รับช่วงแสงเพิ่มมากขึ้น (Adams et al., 1999)

#### อิทธิพลของแสงเทียมต่อการพัฒนาและการเจริญเติบโตของพิทูเนีย

ที่ผ่านมา มีงานวิจัยจำนวนหนึ่งที่ศึกษาการตอบสนองของต้นพิทูเนียต่อแสงเทียม เช่น มีการศึกษาพบว่า การปลูกต้นพิทูเนียภายใต้แสงขาวจากหลอด FL สามารถทำให้ต้นพิทูเนีย เจริญเติบโต และออกดอกได้เป็นปกติ (ภาพที่ 11a) แต่เมื่อให้แสงสีแดงจากหลอดไฟ LED อย่าง เดียว นั้น พบร่วมมีผลยับยั้งการยึดตัวของลำต้น และการออกดอก (ภาพที่ 11b) ในขณะที่การให้แสงสี น้ำเงินส่างเสริมการยึดตัวของลำต้น และกระตุ้นการออกดอกของพิทูเนีย (ภาพที่ 11c) (Fukuda et al., 2009; Fukuda, 2013; Fukuda et al., 2016; Gautam et al., 2015; Akbarian et al., 2016) ฉะนั้นหลอดไฟที่มีส่วนประกอบของแสงสีน้ำเงินมาก เช่น หลอดไฟเมทัลไฮเดอไรด์ (Metal halide; MH) เมื่อนำมาใช้ในการปลูกพิทูเนีย จะส่งผลให้ลำต้นยึดยาว ซึ่งเป็นลักษณะทรงพุ่มที่ไม่สมบูรณ์ แต่ สามารถออกดอกได้เป็นปกติ แต่เมื่อใช้หลอดไฟ HPS ซึ่งเป็นหลอดไฟประเภทเดียวกันกับหลอดไฟ MH แต่มีส่วนประกอบของแสงสีน้ำเงินต่ำกว่า จะสามารถลดการยึดยาวของต้นพิทูเนียได้ (ภาพที่ 11d) (Ubukawa et al., 2004) นอกจากคุณภาพแสงแล้ว ความเข้มแสงยังส่งผลต่อการเจริญเติบโต และการออกดอกด้วย เช่น ต้นพิทูเนียที่ได้รับความเข้มแสงสูงประมาณ 360  $\mu\text{mol}\cdot\text{m}^{-2}\cdot\text{s}^{-1}$  มีอัตรา การสังเคราะห์แสง และการเจริญเติบโตสูงกว่าต้นที่ได้รับความเข้มแสงประมาณ 120  $\mu\text{mol}\cdot\text{m}^{-2}\cdot\text{s}^{-1}$

อีกทั้งความเข้มแสงสูงยังชักนำให้เกิดการอุดอกเร็วกว่าการได้รับความเข้มแสงต่ำอีกด้วย (Haliapas et al., 2008) อย่างไรก็ตาม การกำหนดความเข้มแสงที่เหมาะสมสำหรับการปลูกพิทูเนีย นั้น ต้องพิจารณาระยะเวลาที่ให้แสงในแต่ละวันด้วย โดยค่าความเข้มแสง และช่วงเวลาที่ให้แสงนั้น สามารถคำนวณค่า ปริมาณแสงทั้งหมดที่ได้รับในหนึ่งวัน (Daily light integral; DLI) ได้ ซึ่งค่า DLI ที่เหมาะสมกับต้นพิทูเนียอยู่ในช่วง  $12\text{-}19 \text{ mol}\cdot\text{m}^{-2}\cdot\text{d}^{-1}$  โดยต้นพิทูเนียจะเจริญเติบโตและมี น้ำหนักแห้งสูงสุดที่ DLI เท่ากับ  $15 \text{ mol}\cdot\text{m}^{-2}\cdot\text{d}^{-1}$  และจำนวนดอกสูงสุดที่ DLI เท่ากับ  $19 \text{ mol}\cdot\text{m}^{-2}\cdot\text{d}^{-1}$  (Faust et al., 2005; Blanchard et al., 2011)

ในภาพรวมเห็นได้ว่ามีการศึกษาจำนวนมากที่ศึกษาอิทธิพลของความเข้มแสง และคุณภาพ แสงในช่วงความยาวคลื่นสั้น เช่น แสงสีน้ำเงิน แสงสีเขียว แสงสีส้ม และแสงสีแดง ต่อการ เจริญเติบโตของพิทูเนีย ทั้งทางสัณฐานวิทยา และสรีรวิทยา อย่างไรก็ตาม การศึกษาเกี่ยวกับอิทธิพล ของแสงในช่วงคลื่นที่กว้าง เช่น แสงสีขาวที่มีอุณหภูมิสีแตกต่างกัน ต่อการเจริญเติบโต อุดอก และ ผลิตเมล็ดของต้นพิทูเนียนั้นยังไม่พบการรายงาน ดังนั้นงานวิจัยในครั้งนี้จึงจะได้ทำการศึกษาอิทธิพล ของแสงต่อการเจริญเติบโตและการผลิตเมล็ดพันธุ์ของต้นพิทูเนีย นอกจากนี้จะได้ทำการศึกษาความ คุ้มค่าของการปลูกต้นพิทูเนียในระบบกึ่งปิดเพื่อผลิตเมล็ดพันธุ์



ภาพที่ 11 แสดงลักษณะต้นพิทูเนียที่ปลูกภายใต้แสงเทียมที่แตกต่างกัน (a) ต้นพิทูเนียที่เจริญเติบโตภายใต้แสงจากหลอดไฟฟลูออเรสเซนต์ (b) ต้นพิทูเนียที่เจริญเติบโตภายใต้แสงสีแดง (c) ต้นพิทูเนียที่เจริญเติบโตภายใต้แสงสีน้ำเงิน และ (d) ต้นพิทูเนียที่เจริญเติบโตภายใต้แสงหลอดไฟเมทัลไฮเดอร์ด (MH) และหลอดโซเดียมความดันไออกซูม (HPS)

ที่มา: Ubukawa et al. (2004; Fukuda et al., 2009)

## บทที่ 3

### อุปกรณ์ และวิธีการวิจัย

#### การเตรียมพืชทดลอง

นำเมล็ดพันธุ์พิทูเนียจากบริษัทเอฟ เอ็ม ฟลาเวอร์ซีสต์ จำกัด จังหวัดเชียงใหม่ ประเทศไทย มาเพาะใน JAN-PAGE เข็ว ด้วยวัสดุปลูก ที่ประกอบด้วย พิทมอส และทรายละเอียด ในอัตราส่วน 1 : 1 (ปริมาตรโดยปริมาตร) นำไปเพาะในสภาพอุณหภูมิ  $25 \pm 2$  องศาเซลเซียส และ ความชื้นสัมพัทธ์  $90 \pm 10\%$  ภายใต้แสงจากหลอด LED (6500 K : 3200 K อัตราส่วน 1:1) ที่ความเข้มแสง  $150 \mu\text{mol}\cdot\text{m}^{-2}\cdot\text{s}^{-1}$  โดยให้แสง 16 ชั่วโมงต่อวัน เมื่อต้นกล้าพิทูเนียมีอายุ 7 วันหลังเพาะเมล็ด ทำการย้ายลงในถาดหลุมเพาะกล้าที่มีวัสดุปลูกเหมือนเดิม พร้อมด้วยสารละลายน้ำปุ๋ย Modified Hoagland (Epstein and Bloom, 2005) (ตารางที่ 1) ความเข้มข้น 0.25 เท่า จนชุม เมื่ออายุ 21 วันหลังเพาะเมล็ด ทำการย้ายต้นกล้าพิทูเนยลงในกระถางพลาสติกขนาด 3 นิ้ว (เส้นผ่าศูนย์กลาง 75 mm ความลึก 80 mm) ที่วางอยู่ในถาดสีเหลี่ยมโดยใช้วัสดุปลูกขุยมะพร้าวพิทมอส และทรายละเอียด (อัตราส่วน 3:1:1) และให้สารละลายน้ำปุ๋ย Modified Hoagland ความเข้มข้น 1 เท่า เมื่อต้นพิทูเนียมีอายุ 28 วันหลังเพาะเมล็ด ทำการย้ายต้นพิทูเนยลงในกระถางพลาสติกขนาด 6 นิ้ว (เส้นผ่าศูนย์กลาง 150 mm ความลึก 150 mm) ที่มีส่วนผสมของวัสดุปลูกเหมือนเดิม สภาวะความชื้นสัมพัทธ์ในอากาศ  $50 \pm 10\%$  เพาะเลี้ยงต่อไปจนกระทั่งต้นพิทูเนียมีอายุ 35 วันหลังเพาะเมล็ด แล้วทำการย้ายต้นพิทูเนยเข้าการทดลอง

#### การทดลองที่ 1 การตรวจด้วยเครื่อง Spectroradiometer

ตรวจวัดスペกตรัมของแสงหลอด LED ด้วยเครื่อง Spectroradiometer (Manufacturer : Instrument Systems ; Model : CAS140CT-154 (Main unit), EOP-146 (Probe); Serial Number : 104614210 (Main unit), 1046142E1 (Probe)) โดยสถาบันมาตรฐานวิทยาแห่งชาติ กำหนดระยะห่างระหว่างหลอด LED กับหัวเซ็นเซอร์วัดแสง คือ 10 cm (ภาพที่ 12) ทำการวัด 20 ชั้้าต่อตัวรับ นอกเหนือจากการตรวจด้วยวัดช่วงความยาวคลื่นแสงที่พิเศษสามารถนำไปใช้ในกระบวนการสังเคราะห์แสงได้ (Photosynthetically active radiation ; PAR) ทั้ง 3 ช่วงความยาวคลื่น ได้แก่ 400-500 nm 500-600 nm และ 600-700 nm โดยใช้เครื่อง PAR meter (101EG, Nippon Medical & Chemical Instruments Co., LTD., Japan) โดยกำหนดระยะห่างระหว่างหลอด LED

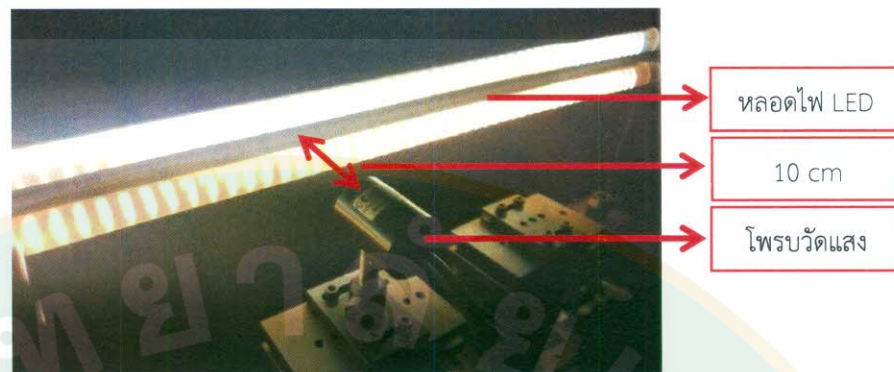
กับหัวเข็นเชอร์วัดแสง คือ 25 cm ทำการวัด 10 ชั้นต่อตัวรับ (ภาพที่ 13) ซึ่งตัวรับการทดลอง  
หันหน้ามี 4 ตัวรับ ดังนี้

1. หลอด LED ชนิด 6500 K (Day light)
2. หลอด LED ชนิด 3200 K (Warm white)
3. หลอด LED ชนิด 6500 K : 3200 K ในอัตราส่วน 1:1
4. หลอด LED-RB (Red light : Blue light ในอัตราส่วน 2:1)

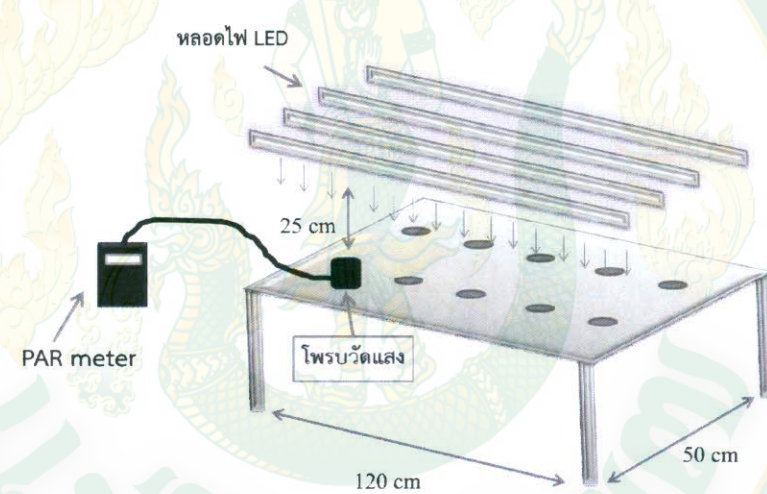
ตารางที่ 1 ส่วนประกอบของธาตุอาหารในสารละลายน้ำปุ๋ย Modified Hoagland

ธาตุอาหาร	g/l
สารละลายน้ำ A	
KNO <sub>3</sub> (Yara Krista-K, Yara Company Ltd; Haifa, Haifa chemicals Ltd.)	60.6
Fe EDTA (Librel-Fe-Lo, Wesco Chemicals Thailand Co.)	3.0
CaNO <sub>3</sub> (Yara Liva Calcium Nitrate, Yara Co. Ltd. Thailand.)	94.46
สารละลายน้ำ B	
NH <sub>4</sub> H <sub>2</sub> PO <sub>4</sub> (Smart-MAP, Y.V.P Fertilizer Ltd.)	23.02
MgSO <sub>4</sub> (สามตันไม้ Y.V.P Fertilizer Ltd.)	24.65
H <sub>3</sub> BO <sub>3</sub> (Rci Labscan, Rci Labscan Ltd.)	0.15
MnCl <sub>2</sub> (Univar, Ajax Finechem Pty Ltd.)	0.03
ZnSO <sub>4</sub> (Rci Labscan, Rci Labscan Ltd.)	0.05
CuSO <sub>4</sub> (Merck, Genius science co. Ltd.)	0.012
NaMoO <sub>4</sub> (Carlo Erba reagent, Farmitalia Carlo Erba.)	0.008
KCl (Univar, Ajax Finechem Pty Ltd.)	0.37
NiSO <sub>4</sub> (Univar, Ajax Finechem Pty Ltd.)	0.013

ที่มา: Epstein and Bloom (2005)



ภาพที่ 12 แสดงลักษณะการตรวจวัดคุณภาพแสงเชิงสเปกตรัมของหลอด LED  
ด้วยเครื่อง Spectroradiometer



ภาพที่ 13 แสดงลักษณะการตรวจวัดช่วงความยาวคลื่นแสงที่พืชสามารถนำไปใช้  
ในกระบวนการสังเคราะห์แสงได้ด้วยเครื่อง PAR meter

การทดลองที่ 2 อิทธิพลของช่วงแสงจากหลอด LED ต่อการเจริญเติบโตของต้นพิทูเนีย

การทดลองที่ 2.1 อิทธิพลของช่วงแสงต่อการเจริญเติบโตทางลำต้น และใบของต้นพิทูเนียใน  
ระยะต้นกล้า (ช่วงอายุ 30 วันหลังจากเพาะเมล็ด)

วางแผนการทดลองแบบ CRD (Complete randomized design) จำนวน 15 ชั้้า โดยนำ  
เมล็ดพันธุ์พิทูเนียมาเพาะในจานเพาะเชือด้วยวัสดุปลูก สภาวะการเพาะ และความเข้มแสงเหมือนกับ  
วิธีการเตรียมพืชทดลอง โดยให้ช่วงแสงที่แตกต่างกัน 3 ชุดการทดลอง ได้แก่

1.1	สว่าง	8	ชั่วโมง	มีด	16	ชั่วโมง
1.2	สว่าง	12	ชั่วโมง	มีด	12	ชั่วโมง
1.3	สว่าง	16	ชั่วโมง	มีด	8	ชั่วโมง

เมื่อต้นกล้าพิทูเนียมอายุ 7 วันหลังเพาะเมล็ด ทำการย้ายลงในถาดหลุมเพาะกล้าที่มีวัสดุ ปลูกเหมือนเดิม พร้อมด้วยสารละลายน้ำปุ๋ย Modified Hoagland ความเข้มข้น 0.25 เท่า จนชั่น เมื่อ อายุ 21 วันหลังเพาะเมล็ด ทำการย้ายต้นกล้าพิทูเนียมลงในกระถางพลาสติกขนาด 3 นิ้ว (เส้นผ่าศูนย์กลาง 75 mm ความลึก 80 mm) ที่วางอยู่ในถาดสีเหลี่ยมโดยใช้วัสดุปลูกคือ ชุบมะพร้าว พิทอมอส และทรายละเอียด (อัตราส่วน 3:1:1) และให้สารละลายน้ำปุ๋ย Modified Hoagland ความเข้มข้น 1 เท่า ปลูกในสภาพความชื้นสัมพัทธ์ในอากาศ  $50\pm10\%$  เพาะเลี้ยงต่อไปจนกระทั่งต้นพิทูเนียมอายุ 35 วันหลังเพาะเมล็ด แล้วทำการตรวจวัดค่าดัชนีทางสัณฐานวิทยา ได้แก่ มวลน้ำหนักสด และมวลน้ำหนักแห้งโดยทำการตรวจวัดทุกสัปดาห์หลังจาก 14 วันหลังจากเพาะเมล็ด และสรีรวิทยา

การทดลองที่ 2.2 อิทธิพลของช่วงแสงต่อการเจริญเติบโตทางลำต้น ใน ดอก และผลผลิตเมล็ด ของต้นพิทูเนียม

วางแผนการทดลองแบบ CRD จำนวน 5 ชั้้น โดยเตรียมต้นพิทูเนียมเหมือนกับการทดลองที่ 2.1 จนกระทั่งต้นพิทูเนียมอายุ 35 วันหลังเพาะเมล็ด ทำการย้ายต้นพิทูเนียมลงในกระถางพลาสติกขนาด 6 นิ้ว (เส้นผ่าศูนย์กลาง 150 mm ความลึก 150 mm) ที่มีส่วนผสมของวัสดุปลูกเหมือนเดิม ปลูกในสภาพความชื้นสัมพัทธ์เป็น  $50\pm10\%$  ความเข้มแสง  $200 \mu\text{mol}\cdot\text{m}^{-2}\cdot\text{s}^{-1}$  เพาะเลี้ยงภายใต้ ช่วงแสงที่ต่างกัน 3 ชุดการทดลอง เหมือนกับการทดลองที่ 2.1 เพาะเลี้ยงต่อไปจนกระทั่งออกดอก จึงทำการช่วยผสมเกสรโดยใช้พู่กันปัดคลองเรณูเพศผู้มาผสมกับเกรสรเพศเมียเป็นประจำทุกวันตั้งแต่ พบรการออกดอกแรก จนกระทั่งครบ 1 เดือน จึงหยุดทำการช่วยผสมเกสร จากนั้นเพาะเลี้ยงต่อไป เป็นเวลา 1 เดือน เพื่อให้ดอกที่ถูกผสมเป็นวันสุดท้าย มีการพัฒนาไปเป็นฝักจนกระทั่งเก็บเกี่ยวได้ ทำการตรวจวัดค่าทางสัณฐานวิทยา (การเจริญเติบโตทางลำต้น ใน ดอก ผลผลิตฝัก และ คุณภาพเมล็ด) และสรีรวิทยาตลอดการทดลอง

### การทดลองที่ 3 อิทธิพลของคุณภาพ และความเข้มแสงจากหลอด LED ต่อการเจริญเติบโตของต้นพิทูเนีย

การทดลองที่ 3.1 อิทธิพลของความเข้ม และคุณภาพแสง (Light response function) ต่อค่าดัชนีที่เกี่ยวข้องกับการแลกเปลี่ยนกําช

นำต้นพิทูเนียที่มีอายุ 60 วันหลังการเพาะเมล็ด ที่ปลูกภายใต้แสงจากหลอด LED (6500 K : 3200 K อัตราส่วน 1:1) ที่ความเข้มแสง  $150 \mu\text{mol}\cdot\text{m}^{-2}\cdot\text{s}^{-1}$  มาทำการตรวจวัดค่าดัชนีที่เกี่ยวข้องกับการแลกเปลี่ยนกําชภายใต้แสงที่มีคุณภาพแตกต่างกัน 4 ชนิด ดังนี้

1. แสงจากหลอด LED ชนิด 6500 K (Day light)
2. แสงจากหลอด LED ชนิด 3200 K (Warm white)
3. แสงจากหลอด LED ชนิด 6500 K : 3200 K ในอัตราส่วน 1:1
4. แสงจากหลอด LED RB (Red light : Blue light ในอัตราส่วน 2:1)

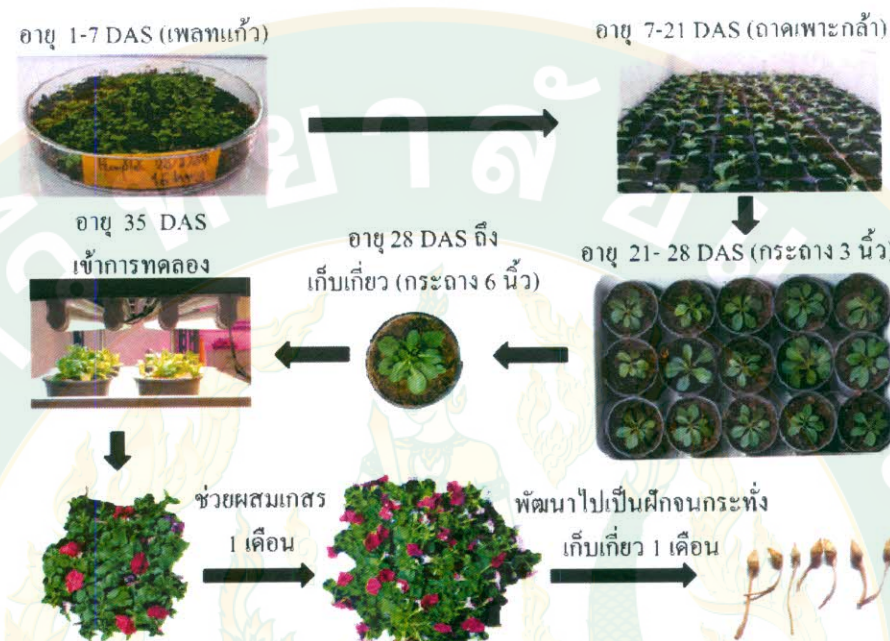
สภาพปลูกมีการควบคุมอุณหภูมิที่  $25\pm2$  องศาเซลเซียส และมีค่าความชื้นสัมพัทธ์ในบรรยากาศที่  $50\pm10\%$  โดยทำการตรวจวัดค่าดัชนีที่เกี่ยวข้องกับการแลกเปลี่ยนกําชที่ระดับความเข้มแสง 50 100 150 200 400 600 800 และ  $1000 \mu\text{mol}\cdot\text{m}^{-2}\cdot\text{s}^{-1}$  ในแต่ละระดับความเข้มแสงทำการตรวจวัด 4 ชั้้า นำค่าที่ได้มาทำการวิเคราะห์ความสัมพันธ์ระหว่างความเข้มแสงกับค่าดัชนีที่เกี่ยวข้องกับการแลกเปลี่ยนกําชภายใต้คุณภาพแสงที่แตกต่างกัน

การทดลองที่ 3.2 อิทธิพลของคุณภาพแสง และความเข้มแสงต่อการเจริญเติบโตทั้งทางด้านสุริวิทยา และสันฐานวิทยา

นำต้นพิทูเนียที่มีอายุ 35 วันหลังเพาะเมล็ด มาใช้ในการทดลอง โดยวางแผนการทดลองแบบ CRD ให้คุณภาพแสงที่แตกต่างกันทั้งหมด 4 ชุดทดลอง ชุดทดลองละ 8 ชั้้า ในแต่ละชุดการทดลองใช้แสงจาก LED เมื่อนำในการทดลองที่ 3.1 โดยทุกชุดการทดลองให้ความเข้มแสงสองระดับคือ 150 และ  $200 \mu\text{mol}\cdot\text{m}^{-2}\cdot\text{s}^{-1}$  ให้แสงสว่าง 16 ชั่วโมง มืด 8 ชั่วโมง ให้สารละลายปุ๋ยสูตร Hoagland ความเข้มข้น 0.5 เท่า ในปริมาณที่เท่ากันตลอดการทดลอง โดยควบคุมอุณหภูมิที่ 25 องศาเซลเซียส ความชื้นสัมพัทธ์  $50\pm10\%$

เก็บข้อมูล มวลน้ำหนักสดส่วนลำต้น มวลน้ำหนักแห้งส่วนลำต้น และมวลน้ำหนักแห้งส่วนราก โดยตรวจวัดต้นพิทูเนียที่มีอายุ 80 วันหลังเพาะเมล็ด และเก็บข้อมูลดัชนีทางสุริวิทยา ได้แก่ อัตราการสังเคราะห์แสง (Photosynthesis ;  $P_n$ ) ค่าการนำไอลอกของปากใบ (Stomatal conductance ;  $g_s$ ) ค่าประสิทธิภาพการใช้แสงสูงสุดของ PSII (Maximum quantum efficiency ;

$F_v/F_m$ ) และปริมาณมาลอนได-แออลดีไฮด์ (Malondialdehyde content ; MDA) ในเนื้อเยื่อใบ โดยเริ่มตรวจวัดที่อายุ 56 63 70 และ 77 วันหลังเพาะเมล็ด



ภาพที่ 14 แสดงกระบวนการเตรียมต้นกล้าพิทูเนีย และการทดลองจนกระทั่งเก็บเกี่ยวผลผลิต

#### การทดลองที่ 4 อิทธิพลของคุณภาพแสง ต่อการเจริญเติบโต การออกดอก การให้ผลผลิต และคุณภาพเมล็ดพันธุ์ของต้นพิทูเนีย

นำต้นพิทูเนียที่มีอายุ 35 วันหลังเพาะเมล็ด มาใช้ในการทดลอง วางแผนการทดลองแบบ CRD ให้แสงในการทดลองทั้งหมด 4 ชุดการทดลอง ชุดการทดลองละ 16 ชั้้า โดยแต่ละชุดการทดลองใช้แสงจาก LED เมื่อ้อนในการทดลองที่ 3.1 โดยให้ความเข้มแสง  $200 \mu\text{mol} \cdot \text{m}^{-2} \cdot \text{s}^{-1}$  ให้แสงสว่าง 16 ชั่วโมง มีด 8 ชั่วโมง ให้สารละลายน้ำปุ๋ยสูตร Hoagland ความเข้มข้น 0.5 เท่า ในปริมาณที่เท่ากันตลอดการทดลอง ควบคุมอุณหภูมิที่ 25 องศาเซลเซียส ความชื้นสัมพัทธ์  $50 \pm 10\%$  โดยเพาะเลี้ยงต่อไปจนกระทั่งออกดอก จึงทำการช่วยผสมโดยใช้พู่กันปัดละอองเรณูเพศผู้มาผสมกับเพาะเป็นประจำทุกวันตั้งแต่พักการออกดอกแรก จนกระทั่งครบ 1 เดือน จึงหยุดทำการช่วยผสม จากนั้นเพาะเลี้ยงต่อไปเป็นเวลา 1 เดือน เพื่อให้ดอกที่ถูกผสมเป็นวันสุดท้ายมีการพัฒนาไปเป็นฝักจนกระทั่งเก็บเกี่ยวได้ทำการบันทึกข้อมูลที่เกี่ยวข้องกับการออกดอก การให้ผลผลิต ตรวจวัดความมีชีวิตของละอองเรณู และเปอร์เซ็นต์ความคงของละอองเรณู จากนั้นเก็บเมล็ดพิทูเนีย

ในแต่ละตัวรับที่มีอายุหลังการผสมเกสร 25 ถึง 30 วัน เพื่อใช้ในการ ตรวจสอบคุณภาพเมล็ด และ ตรวจวัดมวลน้ำหนักสด และมวลน้ำหนักแห้งส่วนลำต้น

#### การวัดระดับมาลอนไดอะล์ดไฮด์ (Malondialdehyde content; MDA)

การวัดปริมาณ MDA (Malondialdehyde) ดัดแปลงจากวิธีของ Velikova & Loreto (2005) โดยนำตัวอย่างใบมาทำการตัดเป็นแผ่นวงกลมระหว่างเส้นใบให้ได้ขนาดเส้นผ่าศูนย์กลาง 0.5 cm และนำไปซึมน้ำหนักให้ได้ประมาณ 0.05 กรัม บดให้ละเอียดด้วย 0.5 มิลลิลิตร ของสารละลาย Trichloroacetic acid 0.1% (W/V) จากนั้นเติม Trichloroacetic acid 0.1% (W/V) 0.5 มิลลิลิตรทำการปั่นเหวี่ยงที่ 12,000 รอบต่อนาที เป็นเวลา 15 นาที ที่อุณหภูมิห้อง นำสารละลายส่วนใส (Supernatant) 0.5 มิลลิลิตร มาผสมกับ Thiobarbituric acid (0.5% ผสมใน 20% (W/V) Trichloroacetic acid) 1 มิลลิลิตร แล้วนำสารผสมที่ได้ไปต้มที่ 80 องศาเซลเซียส เป็นเวลา 25 นาที จากนั้นรอให้เย็น แล้วปั่นเหวี่ยงที่ 7,500 รอบต่อนาที เป็นเวลา 5 นาที นำสารละลายที่ได้ไปวัดค่าการดูดกลืนแสง (Absorbance) ที่ความยาวคลื่น 3 ระดับ ได้แก่ 440, 532, 600 nm ตามลำดับ แล้วนำค่าที่ได้มาคำนวณหาปริมาณ MDA โดยใช้สูตร ดังนี้

$$\text{MDA} (\mu\text{mol/g FW}) = \frac{(A532 - A600) - [(A440 - A600) \times (8.4/147)] \times 1,000,000}{157,000}$$

ภาพที่ 15 แสดงสมการคำนวณปริมาณ MDA

#### การวัดปริมาณคลอโรฟิลล์

วัดปริมาณคลอโรฟิลล์โดยทำการเจาะใบเป็นวงกลมขนาดเส้นผ่าศูนย์กลาง 0.5 cm จำนวน 5 ชิ้น ใส่ในหลอดไมโครทิวป์ (Micro tube) ทำการซึมน้ำหนักใบสด แล้วเติมไดเมทิลซัลฟอกไซด์ (Dimethyl sulfoxide; DMSO) 1 ml จากนั้นนำไปบ่มในอ่างน้ำควบคุมอุณหภูมิ 60 องศาเซลเซียส เป็นเวลา 30 นาที ทั้งหลอดໄว้ที่อุณหภูมิห้อง 30 นาที แล้วนำสารละลายไปวัดค่าการดูดกลืนแสงที่ความยาวคลื่น 645 และ 663 nm ทำการคำนวณหาปริมาณคลอโรฟิลล์โดยใช้สูตร ดังนี้ (Hiscox and Israelstam, 1979)

$$\text{Chlorophyll a (g/l)} = 0.0127A 663 - 0.00269 A645$$

$$\text{Chlorophyll b (g/l)} = 0.0229A 645 - 0.00468 A663$$

$$\text{Total chlorophyll content} = \text{Chlorophyll a} + \text{Chlorophyll b}$$

## การวัดเปอร์เซ็นต์ความอกร และความมีชีวิตของเรณู

การวัดเปอร์เซ็นต์ความอกรของเรณูของพิทูเนียทำโดยนำเรณูจากเกรสรตัวผู้ที่แตกออกเต็มที่ มาทดสอบความอกรด้วยวิธี Hanging Drop โดยใช้สารละลายตัวกลางจากสูตรของ Brewbaker and Kwack (1963) ซึ่งมีส่วนประกอบดังนี้

Sucrose	10 %
$H_3BO_3$	100 ppm
$Ca(NO_3)_2 \cdot 4H_2O$	300 ppm
$MgSO_4 \cdot 7H_2O$	200 ppm
$KNO_3$	100 ppm

โดยเตรียมสารละลาย Sucrose 10 % แยกออกจากสารอื่น ๆ (สารละลาย Sucrose) ส่วนที่เหลือ เตรียมไว้ในขวดเดียวกัน (สารละลายธาตุอาหาร) จากนั้นนำเรณูกระจายลงบนสไลด์ แล้วทำการหยดสารละลาย Sucrose และสารละลายธาตุอาหาร อย่างละ 20  $\mu l$  ลงบนเรณู แล้วทำการผสมให้เข้ากัน จากนั้นคั่วสไลด์เพื่อให้เกิดหยดแขวนของสารละลายที่มีเรณู นำไปปะรำในงานแก้วที่มีกระดาษกรองชุ่มด้วยน้ำเพื่อรักษาความชื้น ตั้งทิ้งไว้เป็นเวลา 2 ชั่วโมง แล้วนำมาตรวจสอบความอกรภายในได้กล้องจุลทรรศน์ที่กำลังขยาย 40 เท่า เป็นจำนวน 5 จุด โดยนับเรณูที่มี ความเยาว์ของห่อเรณูมากกว่าเส้นผ่าศูนย์กลางของเรณู แล้วนำไปคำนวณหาเปอร์เซ็นต์ความอกรของเรณู (Kapyla, 1991)

การวัดเปอร์เซ็นต์ความมีชีวิตของเรณู เตรียมเรณูลงบนสไลด์ แล้วทำการหยดสารละลายสีแดงของอะซีโตเคมีนความเข้มข้น 1 % ปริมาณ 40  $\mu l$  ลงบนเรณู ผสมให้เข้ากัน ตั้งทิ้งไว้เป็นเวลา 2 ชั่วโมง ในงานแก้วที่มีกระดาษกรองชุ่มด้วยน้ำเพื่อรักษาความชื้น แล้วนำมาตรวจสอบความอกรภายในได้กล้องจุลทรรศน์ที่กำลังขยาย 40 เท่า เป็นจำนวน 5 จุด โดยนับเรณูที่มีลักษณะกลมไม่บิดเบี้ยว และติดสีแดงอย่างชัดเจน แล้วนำไปคำนวณหาเปอร์เซ็นต์ความอกรของเรณู (Calic et al., 2013)

## การวัดเปอร์เซ็นต์ความอกรของเมล็ด และค่าเฉลี่ยจำนวนวันที่ใช้ในการอกร

เตรียมเมล็ดพิทูเนีย 200 เมล็ด ที่ผ่านการเก็บรักษาไว้ในอุณหภูมิ 5-10 องศาเซลเซียส เป็นเวลา 1 วัน โดยแบ่งออกเป็น 4 ชั้า ๆ ละ 50 เมล็ด ทำการกระจายเมล็ดลงบนแผ่นกระดาษเพาะเมล็ดที่ชุ่มไปด้วย 0.2 % (W/W)  $KNO_3$  ในเพลทที่มีฝาปิด แล้วนำไปปะรำให้หลอดไฟ 6500 K : 3200 K ที่ความเข้มแสง  $100 \mu\text{mol} \cdot \text{m}^{-2} \cdot \text{s}^{-1}$  ทำการตรวจนับการเพิ่มขึ้นของเมล็ดที่มีความเยาว์รากประมาณ 2 mm ทุกวัน จนกระทั่งครบ 14 วัน ทำการตรวจนับเมล็ดที่งอก และพัฒนาเป็นใบเลี้ยงที่สมบูรณ์

และคำนวณเปอร์เซ็นต์ความงอก (McDonald and Kwong, 2005) และ ค่าเฉลี่ยจำนวนวันที่ใช้ในการงอก (Mean germination time ; MGT) (Demir et al., 2008) ดังสูตรต่อไปนี้

$$\text{เปอร์เซ็นต์ความงอก} = \frac{\text{จำนวนเมล็ดที่งอก} \times 100}{\text{จำนวนเมล็ดทั้งหมด}}$$

$$\text{MGT} = \frac{\sum(nT)}{\sum n}$$

$n$  = จำนวนต้นกล้าปกติที่งอกในวันที่ตรวจนับ

$T$  = อายุวันที่ตรวจนับ

$\sum n$  = จำนวนต้นกล้าปกติที่งอกทั้งหมด

#### การวัดความแข็งแรง และความชื้นของเมล็ด

เตรียมเมล็ดพิทูเนีย 400 เมล็ด แบ่งออกเป็น 2 ชุด ๆ ละ 200 เมล็ด แต่ละชุดทำการแบ่งออกเป็น 4 ชั้น ๆ ละ 50 เมล็ด นำเมล็ดแต่ละชุดห่อด้วยผ้าขาวบาง แล้วนำไปบ่มในกล่องพลาสติกที่มีฝาปิดสนิท และสภาพอากาศที่อิ่มตัวด้วยน้ำเปล่า ที่อุณหภูมิ 42 องศาเซลเซียส เป็นเวลา 72 ชั่วโมง หลังจากนั้นนำเมล็ดชุดที่ 1 มากระจายเมล็ดลงบนแผ่นกระดาษเพาะเมล็ดที่ชุ่มไปด้วย 0.2 % (W/W)  $\text{KNO}_3$  ในเพลทที่มีฝาปิด (Rodo et al., 2003) แล้วนำไปวางให้หลอดไฟ 6500 K : 3200 K ที่ความเข้มแสง  $100 \mu\text{mol}\cdot\text{m}^{-2}\cdot\text{s}^{-1}$  ทำการตรวจนับการเพิ่มชื้นของเมล็ดที่มีความยาวรากประมาณ 2 mm ทุกวัน จนกระทั่งครบ 14 วัน ทำการตรวจนับเมล็ดที่งอก และพัฒนาเป็นใบเลี้ยงที่สมบูรณ์ และคำนวณเปอร์เซ็นต์ความงอก และ MGT ส่วนเมล็ดอีกชุดหนึ่งนำไปตรวจความชื้นเมล็ด โดยนำเมล็ดมาซั่งน้ำหนักสด จากนั้นทำการอบด้วยอุณหภูมิ 105 องศาเซลเซียสเป็นเวลา 24 ชั่วโมง แล้วนำมาซั่งน้ำหนักอีกครั้ง นำค่าที่ได้ไปคำนวณเปอร์เซ็นต์ความชื้นในเมล็ด ดังสูตรต่อไปนี้

$$\text{เปอร์เซ็นต์ความชื้นเมล็ด} = \frac{\text{น้ำหนักสด}-\text{น้ำหนักแห้ง}}{\text{น้ำหนักสด}} \times 100$$

## การวัดปริมาณโปรตีนในเมล็ด

ทำการเตรียมกราฟมาตรฐานโดยใช้โปรตีนมาตรฐาน คือ BSA (Bovine Serum Albumin) ความเข้มข้น 0.1 0.2 0.3 0.4 และ 0.5 mg/ml โดยแต่ละความเข้มข้นมีปริมาตรรวม 100  $\mu$ l แล้วทำการเติมสารละลาย Bradford (เตรียมโดยซั่ง Coomasic brilliant blue G-250 ปริมาณ 0.05 g ละลายใน Ethanol ความเข้มข้น 95% ปริมาตร 50 ml จากนั้นเติม Ortho-Phosphoric acid ความเข้มข้น 85% ปริมาตร 100 ml แล้วปรับปริมาตรด้วยน้ำเปล่าจนครบ 1000 ml) 3 ml เขย่าให้เข้ากัน ตั้งทิ้งไว้เป็นเวลา 5 นาที แล้วทำการวัดค่าการดูดกลืนแสงที่ความยาวคลื่น 595 nm จากนั้นนำค่าที่ได้มาสร้างกราฟมาตรฐานและสมการความสัมพันธ์เพื่อใช้ในการคำนวณหาโปรตีนในเมล็ดพิทูเนีย

ทำการเตรียมเมล็ดพิทูเนีย 0.01 g และนำไปบดให้ละเอียดด้วยแท่งแก้วในหลอดไมโครทิวป์ขนาด 1.5 ml และเติมสารละลายโซเดียมฟอสเฟตบัฟเฟอร์ 50 mmol/l (pH 7.8) ปริมาตร 1 ml ที่ผสมด้วย EDTA (Ethylenediamine tetraacetic acid) 1 mmol/l และPVP (Polyvinylpyrrolidone) 2 % และนำไปปั่นเหวี่ยงที่ความเร็ว 13000 rpm เป็นเวลา 20 นาที จากนั้นมาส่วนใสมา 10  $\mu$ l ผสมกับน้ำ 90  $\mu$ l และทำการเติมสารละลาย Bradford 3 ml เขย่าให้เข้ากัน ตั้งทิ้งไว้เป็นเวลา 5 นาที แล้วทำการวัดค่าการดูดกลืนแสงที่ความยาวคลื่น 595 nm จากนั้นนำค่าที่ได้มาแทนในสมการมาตรฐานเพื่อคำนวณหาปริมาณโปรตีนทั้งหมด (Zhang et al., 2007)

## การวัดดัชนีที่เกี่ยวข้องกับกระบวนการแลกเปลี่ยนก๊าซ

ทำการตรวจวัดอัตราการสังเคราะห์แสง (Net photosynthetic rate; A) อัตราการนำไอลของปากใบ (Stomata conductance;  $g_s$ ) และอัตราการหายใจของน้ำ (Transpiration rate; E) โดยเลือกเก็บข้อมูลในใบอ่อนที่มีขนาดใหญ่ที่สุด ในช่วงเวลา 9.00-12.00 นาฬิกา และช่วงเวลา 13.00-16.00 นาฬิกา โดยใช้เครื่อง LCi-SD (BioScientific Ltd., Hertfordshire, UK)

## การวัดค่าดัชนีที่เกี่ยวข้องกับการเรืองแสงของคลอโรฟิลล์

ทำการตรวจวัดประสิทธิภาพการใช้แสงสูงสุดของระบบแสงที่สอง (Maximum quantum efficiency of PSII หรือ  $F_v/F_m$ ) โดยเลือกเก็บข้อมูลในใบอ่อนที่เจริญเต็มที่ ในช่วงเวลา 9.00-12.00 นาฬิกา และช่วงเวลา 13.00-16.00 นาฬิกาโดยใช้เครื่อง Fluorescence Monitoring System

FMS2 (Hansatech Instruments Ltd., UK) และทำการคำนวณหาค่าอัตราการเคลื่อนย้ายอิเล็กตรอน (Electron Transport Rate; ETR) โดยใช้สูตร ดังนี้

$$\text{อัตราการเคลื่อนย้ายอิเล็กตรอน (ETR)} = I \times \Phi_{\text{PSII}} \times 0.85 \times 0.5 \quad (\text{Rakic et al., 2105})$$

$I$  = ความเข้มแสง ( $\mu\text{mol}\cdot\text{m}^{-2}\cdot\text{s}^{-1}$ )

$\Phi_{\text{PSII}}$  = ประสิทธิภาพการใช้แสงสูงสุดของระบบแสงที่สอง (Maximum quantum efficiency of PSII)

0.85 = ค่าการดูดกลืนพลังงานแสงของใบ

0.5 = สัดส่วนของพลังงานแสงที่ถูกดูดกลืนโดยระบบ PSII พีช C3

การวัดประสิทธิภาพการใช้พลังงานแสง (Energy use efficiency; EUE)

แบ่งการวัดประสิทธิภาพการใช้พลังงานแสงออกเป็น 2 ส่วน ดังนี้

1. ประสิทธิภาพการใช้พลังงานแสงเพื่อการเจริญเติบโตทางลำต้น และใบ (EUE for plant growth) (Fan et al., 2013) โดยคำนวณดังสูตรต่อไปนี้

$$\text{EUE for plant growth (gDW/kw)} = \frac{\text{มวลน้ำหนักแห้งส่วนลำต้น (gDW)}}{\text{ผลรวมของกำลังไฟ LED (กิโลวัตต์)}}$$

2. ประสิทธิภาพการใช้พลังงานแสงเพื่อผลิตเมล็ดพันธุ์ (EUE for seeds production) (ดัดแปลงจาก Fan et al., 2013) โดยคำนวณดังสูตรต่อไปนี้

$$\text{EUE for seeds production (seeds/kw)} = \frac{\text{จำนวนเมล็ดต่อตัน}}{\text{ผลรวมของกำลังไฟ LED (กิโลวัตต์)}}$$

### การวิเคราะห์ผลการทดลองทางสถิติ

วิเคราะห์ความแปรปรวนแบบทั้งทางเดียว สองทาง สามทาง (One-Way, Two-Way and Three-Way Analysis of Variance, ANOVA) การวิเคราะห์สหสัมพันธ์แบบ Pearson และการวิเคราะห์การทดถอย (Regression Analysis) ของพารามิเตอร์ที่ได้จากการศึกษา เปรียบเทียบ

ค่าเฉลี่ย และตรวจสอบความแตกต่างของเฉลี่ยโดยวิธี Duncan's New Multiple Range Test (DMRT) ที่ระดับนัยสำคัญ 0.05 ด้วยโปรแกรม SPSS เวอร์ชัน 16 ผลิตโดยบริษัท SPSS Inc.



## บทที่ 4

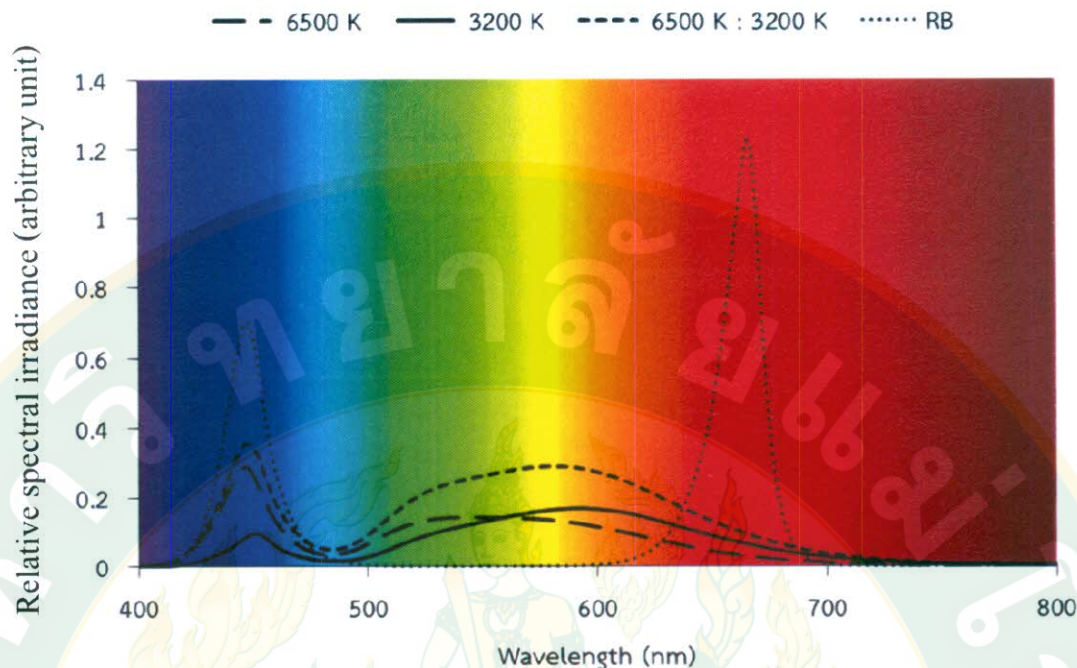
### ผลการทดลอง

#### การทดลองที่ 1 การตรวจวัดคุณภาพแสงเชิงสเปกตรัมของหลอด LED

จากการตรวจวัดสเปกตรัมของแสงหลอดแอลอีดีทั้ง 4 ตัวรับ พบว่า เส้นกราฟมีลักษณะเป็นลูกคลื่น 2 ลูก โดยตัวรับที่ 1 เป็นแสงขาวของ 6500 K 3200 K และ 6500 K : 3200 K มีลูกคลื่นที่ 1 อยู่ในช่วงแสงสีน้ำเงิน (400-500 nm) และลูกคลื่นที่ 2 อยู่ในช่วงแสงตั้งแต่สีเขียวไปถึงสีแดงไกล (500-800 nm) ส่วนตัวรับ RB มีลูกคลื่นที่ 1 อยู่ในช่วงแสงสีน้ำเงินเหมือนกับตัวรับแสงขาว ในขณะที่ลูกคลื่นที่ 2 จะพบเฉพาะช่วงแสงสีแดงเท่านั้น (600-700 nm) (ภาพที่ 16)

รูปแบบของเส้นกราฟของลูกคลื่นที่ 1 ทั้ง 4 ตัวรับ พบว่า มีลักษณะคล้ายคลึงกัน ในขณะที่ลูกคลื่นที่ 2 มีรูปแบบของเส้นกราฟที่แตกต่างกัน โดยตัวรับ 6500 K มีลักษณะเส้นโค้งของกราฟค่อนมาทางแสงสีเขียวเป็นส่วนมาก ในทางกลับกันตัวรับ 3200 K มีลักษณะเส้นโค้งของกราฟค่อนไปทางแสงสีฟ้า และแดงเป็นส่วนมาก ส่วนตัวรับที่มีการผสมแสงระหว่าง 6500 K กับ 3200 K มีเส้นโค้งของกราฟค่อนไปทางแสงสีเขียวเหมือนกับตัวรับ 6500 K และค่อนไปทางแสงสีแดงเหมือนกับตัวรับ 3200 K ในขณะที่ตัวรับ RB จะพบเส้นโค้งของกราฟเฉพาะแสงสีน้ำเงิน กับแสงสีแดงเท่านั้น (ภาพที่ 16) นอกจากนี้แสงจาก LED ทุกตัวรับไม่พบรอยสีในช่วงรังสีญี่วี แต่พบรอยสีในช่วงแดงไกล (Far-red) ในช่วงความยาวคลื่น 700 – 800 nm เล็กน้อย (ภาพที่ 16 ภาพที่ 17 และตารางที่ 3)

จากการวิเคราะห์จุดสูงสุด (Peak wavelength) ของเส้นกราฟในแต่ละตัวรับ พบว่า ลูกคลื่นที่ 1 ของ 6500 K 3200 K 6500 K : 3200 K และ RB มีค่าใกล้เคียงกันคือ 446.44 450.64 447.28 และ 446.88 โดยตัวรับ 3200 K มีจุดสูงสุดของเส้นกราฟที่มีความยาวคลื่นมากกว่าในตัวรับอื่น ๆ อย่างมีนัยสำคัญทางสถิติ คือ 450.64 nm ส่วนลูกคลื่นที่ 2 พบรอยสูงสุดที่ค่อนข้างแตกต่างกันซึ่งตัวรับที่เป็นแสงขาวจะพบรอยสูงสุดอยู่ในช่วงความยาวคลื่นที่ 500 – 600 nm โดยตัวรับ 6500 K 3200 K และ 6500 K : 3200 K มีจุดสูงสุดของเส้นกราฟที่แตกต่างกันอย่างมีนัยสำคัญทางสถิติ คือ 544.69 591.17 และ 580.70 nm ตามลำดับ จะเห็นได้ว่า ตัวรับ 6500 K มีจุดสูงสุดของลูกคลื่นที่ 2 อยู่ในช่วงแสงสีเขียว ในขณะที่ตัวรับ 3200 K และ 6500 K : 3200 K มีจุดสูงสุดของลูกคลื่นที่ 2 อยู่ในช่วงแสงสีเหลือง และส้ม ส่วนตัวรับ RB มีจุดสูงสุดของลูกคลื่นที่ส่องเฉพาะในช่วงแสงสีแดงที่ความยาวคลื่น 664.89 nm เท่านั้น (ภาพที่ 16 และตารางที่ 2)



ภาพที่ 16 แสดงลักษณะเส้นกราฟของแสงจากหลอด LED ทั้ง 4 ตัวรับ ( $n=20$ )

หมายเหตุ	400–450 nm	คือ แสงสีม่วง
	450–500 nm	คือ แสงสีน้ำเงิน
	500–570 nm	คือ แสงสีเขียว
	570–590 nm	คือ แสงสีเหลือง
	590–610 nm	คือ แสงสีส้ม
	610–760 nm	คือ แสงสีแดง
	760–1000 nm	คือ แสงแดงไก่

ที่มา: Gupta and Jatothu (2013; Singh et al., 2015)

การวิเคราะห์พื้นที่ใต้กราฟของแสง LED ทั้ง 4 ตัวรับ แสดงให้เห็นว่า ช่วงความยาวคลื่น 400-500 nm ของตัวรับ RB มีค่าร้อยละของพื้นที่ใต้กราฟสูงสุดอย่างมีนัยสำคัญทางสถิติ และค่าร้อยละของพื้นที่ใต้กราฟจะลดต่ำลงมาเป็นลำดับอย่างมีนัยสำคัญทางสถิติตั้งแต่ตัวรับ 6500 K 6500 K : 3200 K และ 3200 K นอกจากนี้ ตัวรับที่เป็นแสงขาว 6500 K 3200 K และ 6500 K : 3200 K มีค่าร้อยละของพื้นที่ใต้กราฟในช่วงความยาวคลื่น 500-600 nm ใกล้เคียงกัน คือ 47.32, 47.72 และ 47.77 % ตามลำดับ ในขณะที่ตัวรับ RB ไม่มีช่วงความยาวคลื่น 500-600 nm เป็นส่วนประกอบ

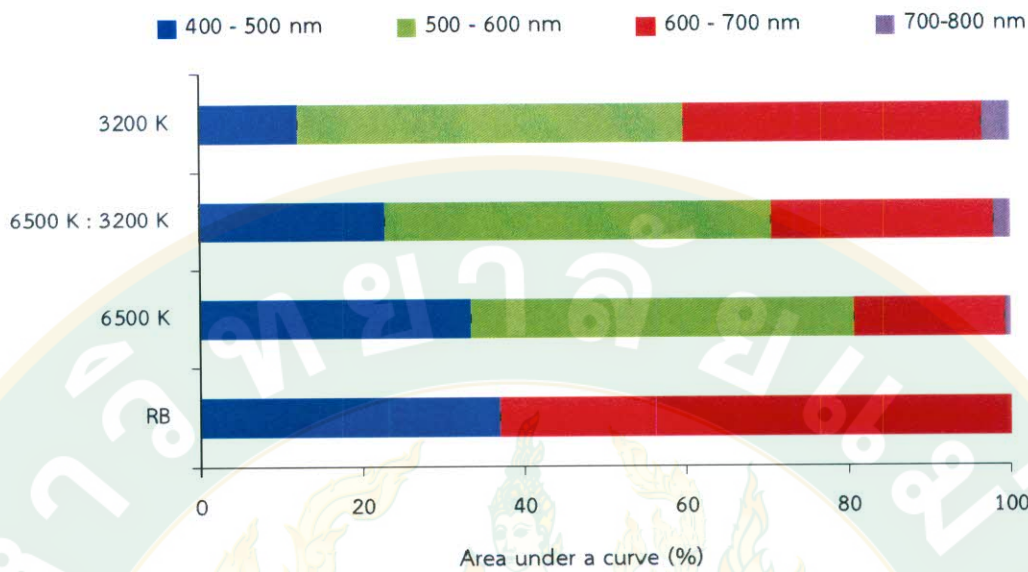
ส่วนช่วงความยาวคลื่น 600-700 nm พบร้า ดำรับ RB มีค่าร้อยละของพื้นที่ใต้กราฟสูงสุดอย่างมีนัยสำคัญทางสถิติ และค่าร้อยละของพื้นที่ใต้กราฟจะลดต่ำลงมาเป็นลำดับอย่างมีนัยสำคัญทางสถิติตั้งแต่ดำรับ 3200 K 6500 K : 3200 K และ 6500 K นอกจากนี้ ดำรับแสงขาวนั้น พบร้า ความยาวคลื่น 700-800 nm เป็นส่วนประกอบด้วย โดยดำรับ 3200 K มีค่าร้อยละของพื้นที่ใต้กราฟสูงสุดอย่างมีนัยสำคัญทางสถิติ (ตารางที่ 2 และภาพที่ 17)

ตารางที่ 2 การวิเคราะห์ความแปรปรวนแบบจำแนกทางเดียวของค่าจุดสูงสุดเส้นกราฟของแสง LED ในลูกคลื่นที่ 1 และ 2 ของทั้ง 4 ดำรับ เปรียบเทียบความแตกต่างของค่าเฉลี่ย  $\pm$  SE ( $n=20$ ) ด้วยวิธี Duncan's New Multiple Range Test (DMRT) ในแต่ละคอลัมน์ ค่าเฉลี่ยที่ระบุด้วยอักษรเดียวกันไม่มีความแตกต่างอย่างมีนัยสำคัญทางสถิติ ( $P \leq 0.05$ )

Treatment	Peak wavelength (nm)
6500 K	446.44 $\pm$ 0.29 d
3200 K	450.64 $\pm$ 0.36 a
6500 K : 3200 K	447.28 $\pm$ 0.25 b
RB	446.88 $\pm$ 0.48 c

ตารางที่ 3 การวิเคราะห์ความแปรปรวนแบบจำแนกทางเดียวของค่าร้อยละของพื้นที่ใต้กราฟในแต่ละช่วงความยาวคลื่นของแสง LED ทั้ง 4 ดำรับ เปรียบเทียบความแตกต่างของค่าเฉลี่ย  $\pm$  SE ( $n=20$ ) ด้วยวิธี Duncan's New Multiple Range Test (DMRT) ในแต่ละคอลัมน์ ค่าเฉลี่ยที่ระบุด้วยอักษรเดียวกันไม่มีความแตกต่างอย่างมีนัยสำคัญทางสถิติ ( $P \leq 0.05$ )

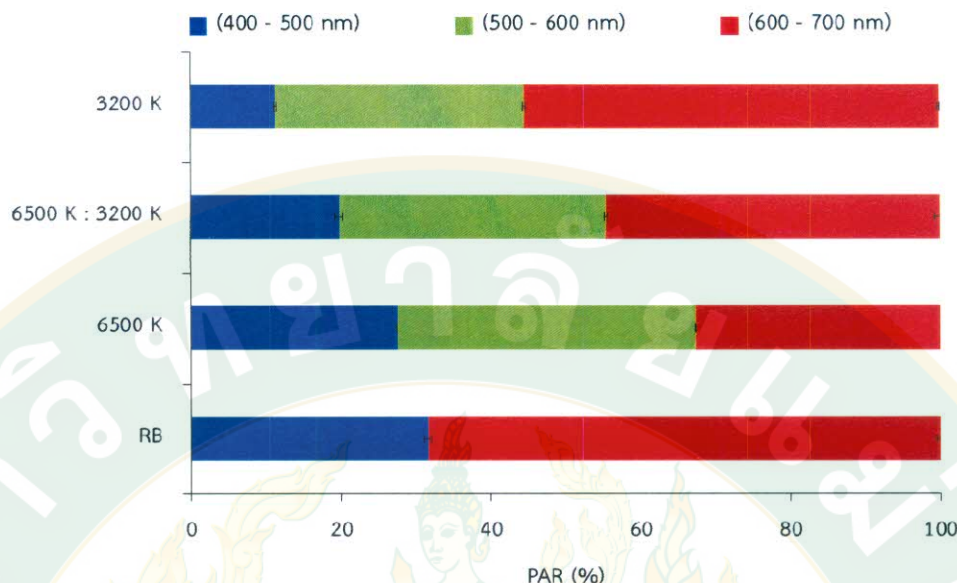
Treatment	Area under a curve (%)			
	(400-500 nm)	(500-600 nm)	(600-700 nm)	(700-800 nm)
3200 K	12.10 $\pm$ 0.02 d	47.72 $\pm$ 0.01 b	36.82 $\pm$ 0.01 b	3.36 $\pm$ 0.01 a
6500 K : 3200 K	22.79 $\pm$ 0.01 c	47.77 $\pm$ 0.02 a	27.36 $\pm$ 0.00 c	2.07 $\pm$ 0.00 b
6500 K	33.39 $\pm$ 0.01 b	47.32 $\pm$ 0.02 c	18.55 $\pm$ 0.00 d	0.74 $\pm$ 0.00 c
RB	36.95 $\pm$ 0.08 a	0.00	63.05 $\pm$ 0.08 a	0.00



ภาพที่ 17 การเปรียบเทียบค่าร้อยละของพื้นที่ใต้กราฟของแสงในช่วงความยาวคลื่นแสงสีน้ำเงิน (400-500 nm) ช่วงความยาวคลื่นแสงสีเขียว (500-600 nm) ช่วงความยาวคลื่นแสงสีแดง (600-700 nm) และช่วงความยาวคลื่นแสงแดงแก่กล (700-800 nm) ของแสง LED  
ทั้ง 4 ตัวรับ ( $n=20$ )

ตารางที่ 4 การวิเคราะห์ความแปรปรวนแบบจำแนกทางเดียวของค่าร้อยละของ PAR ทั้ง 4 ตัวรับ  
เปรียบเทียบความแตกต่างของค่าเฉลี่ย  $\pm$  SE ( $n=10$ ) ด้วยวิธี Duncan's New  
Multiple Range Test (DMRT) ในแต่ละคอลัมน์ค่าเฉลี่ยที่ระบุด้วยอักษรเดียวกันไม่มี  
ความแตกต่างอย่างมีนัยสำคัญทางสถิติ ( $P \leq 0.05$ )

Treatment	PAR (%)		
	(400-500 nm)	(500-600 nm)	(600-700 nm)
3200 K	$11.27 \pm 0.09$ d	$33.19 \pm 0.14$ c	$55.34 \pm 0.17$ b
6500 K : 3200 K	$19.28 \pm 0.14$ c	$35.56 \pm 0.15$ b	$44.49 \pm 0.18$ c
6500 K	$27.43 \pm 0.01$ b	$39.92 \pm 0.01$ a	$32.64 \pm 0.01$ d
RB	$31.65 \pm 0.47$ a	0.00	$68.30 \pm 0.37$ a



**ภาพที่ 18 การเปรียบเทียบค่าร้อยละของ PAR ในช่วงความยาวคลื่นแสงสีน้ำเงิน (400-500 nm) ช่วงความยาวคลื่นแสงสีเขียว (500-600 nm) และช่วงความยาวคลื่นแสงสีแดง (600-700 nm) ของแสง LED ทั้ง 4 ตัวรับ ( $n=10$ )**

จากการวิเคราะห์ค่า PAR ในช่วงความยาวคลื่นแสงสีน้ำเงิน เขียว และแดง พบร้าว LED ทั้ง 4 ตัวรับ มีค่าร้อยละของ RAR (ภาพที่ 17) เป็นไปในทิศทางเดียวกันกับค่าร้อยละของพื้นที่ใต้กราฟ (ภาพที่ 18) โดยตัวรับ RB มีค่าร้อยละของ PAR ในช่วงแสงสีน้ำเงิน (400-500nm) สูงสุด และตัวรับ 3200K มีค่าร้อยละของ PAR ต่ำสุดอย่างมีนัยสำคัญทางสถิติ ส่วนช่วงแสงสีเขียว (500-600nm) ในตัวรับที่เป็นแสงขาวจะมีค่าร้อยละของ PAR ใกล้เคียงกัน และช่วงแสงสีแดง (600-700 nm) พบร้าวค่าร้อยละของ PAR ในตัวรับ RB สูงสุด ส่วนตัวรับที่เป็นแสงขาว จะมีค่าร้อยละของ PAR ในตัวรับ 3200 K สูงสุด และจะมีค่าร้อยละของ PAR ต่ำสุดอย่างมีนัยสำคัญทางสถิติ ในตัวรับ 6500 K (ตารางที่ 4 และภาพที่ 18)

## การทดลองที่ 2 อิทธิพลของช่วงแสงจากหลอด LED ต่อการเจริญเติบโตของต้นพิทูเนีย

### การทดลองที่ 2.1 อิทธิพลของช่วงแสงต่อการเจริญเติบโตทางลำต้น และใบของต้นพิทูเนียในระยะต้นกล้า (ช่วงอายุ 30 วันหลังจากเพาะเมล็ด)

ในการศึกษาต้นพิทูเนียที่ได้รับช่วงแสงแตกต่างกันทั้ง 3 ช่วง เป็นเวลา 35 วันหลังเพาะเมล็ด พบร้าว พิทูเนียได้รับช่วงแสง 16 h มีความกว้าง และความสูงของทรงพุ่ม จำนวนใบ พื้นที่ใบ และจำนวนยอดสูงกว่าการได้รับช่วงแสง 12 h และ 8 h อย่างมีนัยสำคัญทางสถิติ (ตารางที่ 5 ภาพที่ 19)

และภาพที่ 20) นอกจากนี้พบว่า มวลน้ำหนักสด และมวลน้ำหนักแห้งส่วนลำต้น (ภาพที่ 21) และ มวลน้ำหนักแห้งส่วนราก (ภาพที่ 22a) ของต้นที่ได้รับช่วงแสง 16 h ที่ช่วงอายุ 42 วันหลังจากเพาะ เมล็ดสูงกว่าการได้รับช่วงแสง 12 h และ 8 h อย่างมีนัยสำคัญทางสถิติ ในขณะที่สัดส่วนมวลน้ำหนัก แห้งส่วนลำต้นต่อมวลน้ำหนักแห้งส่วนรากของทุกช่วงแสงไม่มีความแตกต่างกันทางสถิติ (ภาพที่ 22b) เมื่อทำการวิเคราะห์ปฏิสัมพันธ์ระหว่างช่วงแสงกับอายุต่อมวลน้ำหนักสด และมวลน้ำหนักแห้ง ส่วนลำต้น พบว่า ช่วงแสงส่งผลให้มวลน้ำหนักสด และมวลน้ำหนักแห้งส่วนลำต้นในแต่ละช่วงอายุพืช มีความแตกต่างกันอย่างมีนัยสำคัญอย่างยิ่งขาด (ตารางที่ 6)



ภาพที่ 19 ลักษณะต้น และรากของพิทูเนียที่มีอายุ 35 วันหลังจากเพาะเมล็ด โดยได้รับช่วงแสง ที่แตกต่างกัน 3 ช่วง คือ 8 12 และ 16 ชั่วโมงต่อวัน



ภาพที่ 20 ลักษณะใบของพิทูเนียที่มีอายุ 35 วันหลังจากเพาะเมล็ด โดยได้รับช่วงแสงที่แตกต่างกัน 3 ช่วง คือ 8 12 และ 16 ชั่วโมงต่อวัน ซึ่งในแต่ละช่วงแสงแสดงตัวอย่างใบที่ได้มาจากการตัดพิทูเนีย 3 ต้น (Petunia 1 2 และ 3) ในแต่ละต้นถูกเก็บตัวอย่างมา 5 ใบ โดยใบแรก คือ ใบลำดับที่ 4 จากยอดบนสุดของต้นพิทูเนีย

ตารางที่ 5 การวิเคราะห์ความแปรปรวนแบบจำแนกทางเดียวของความกว้าง และความสูงของ ทรงพุ่ม จำนวนใบ พื้นที่ใบ และจำนวนยอดของต้นพิทูเนียที่ได้รับช่วงแสงแตกต่างกัน เป็นเวลา 35 วันหลังเพาะเมล็ด เปรียบเทียบความแตกต่างของค่าเฉลี่ย  $\pm$  SE ด้วยวิธี Duncan's New Multiple Range Test (DMRT) ในแต่ละคอลัมน์ค่าเฉลี่ยที่ระบุด้วย อักษรเดียวกันไม่มีความแตกต่างอย่างมีนัยสำคัญทางสถิติ ( $P \leq 0.05$ )

Photoperiods	Canopy height (cm) (n=6)	Canopy width (cm) (n=6)	Leaf number (n=3)	Leaf area (cm <sup>2</sup> ) (n=4)	Side shoots number (n=3)
8 h	8.22 $\pm$ 0.03 c	8.22 $\pm$ 0.15 c	9.5 $\pm$ 0.33 c	4.82 $\pm$ 0.36 c	4.5 $\pm$ 0.33 c
12 h	11.95 $\pm$ 0.13 b	11.95 $\pm$ 0.22 b	15.5 $\pm$ 0.88 b	6.63 $\pm$ 0.33 b	7.0 $\pm$ 0.33 b
16 h	12.60 $\pm$ 0.16 a	12.60 $\pm$ 0.13 a	21.5 $\pm$ 0.88 a	7.52 $\pm$ 0.33 a	9.5 $\pm$ 0.33 a

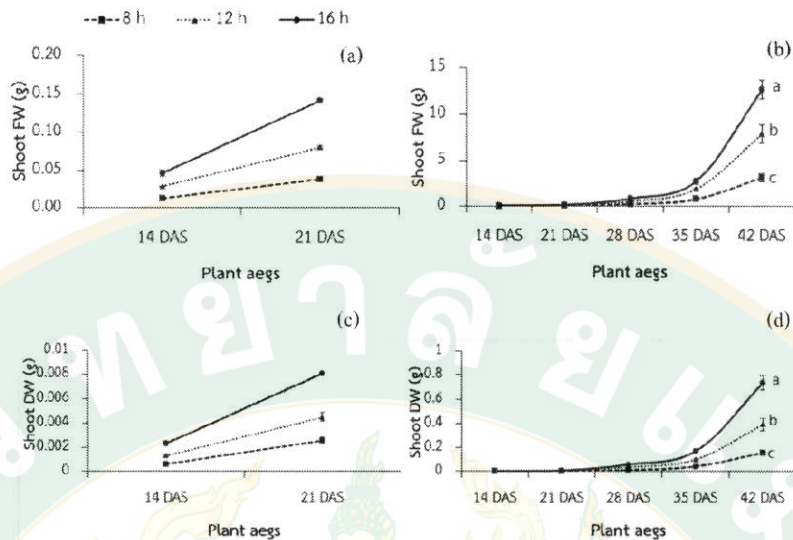
ตารางที่ 6 การวิเคราะห์ความแปรปรวนแบบจำแนกทางเดียวของช่วงแสง (A) อายุพืช (B) และการ วิเคราะห์ความแปรปรวนแบบจำแนกสองทางของช่วงแสงกับอายุพืช (A x B) ที่มีผลต่อ มวลน้ำหนักสด และมวลน้ำหนักแห้งส่วนลำต้น ( $n=4$ ) ตัวเลขในตารางแสดงค่า P (p-value)

Dependent variables	Independent variables		
	Photoperiods (A)	Time (B)	A x B
FW	>0.01**	>0.01**	>0.01**
DW	>0.01**	>0.01**	>0.01**

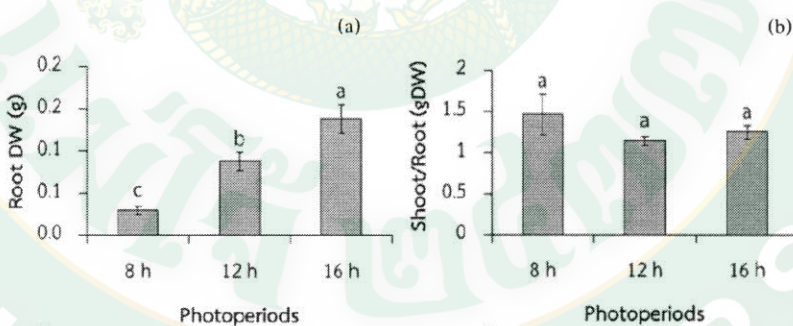
หมายเหตุ \*\*แสดงอิทธิพลของตัวแปรต้นต่อตัวแปรตามอย่างมีนัยสำคัญยิ่ง

\*แสดงอิทธิพลของตัวแปรต้นต่อตัวแปรตามอย่างมีนัยสำคัญ

NS (Non-significant) หมายถึง ตัวแปรต้นไม่มีอิทธิพลต่อตัวแปรตาม



ภาพที่ 21 การเจริญเติบโตของต้นพิทูเนียในแต่ละช่วงอายุ ภายใต้การได้รับช่วงแสงที่แตกต่างกัน 3 ช่วง คือ 8 12 และ 16 ชั่วโมงต่อวัน a และ c คือ มวลน้ำหนักสด และมวลน้ำหนักแห้งส่วนลำต้น ตามลำดับ ของช่วงอายุ 14 และ 21 วันหลังเพาะเมล็ด b และ d คือ มวลน้ำหนักสด และมวลน้ำหนักแห้งส่วนลำต้นตามลำดับ ตั้งแต่ช่วงอายุ 14 ถึง 42 วันหลังเพาะเมล็ด เปรียบเทียบ ความแตกต่างของค่าเฉลี่ยที่อายุ 42 วันหลังเพาะเมล็ด  $\pm$  SE ( $n=4$ ) ด้วยวิธี Duncan's New Multiple Range Test (DMRT) ค่าเฉลี่ยที่ระบุด้วยอักษรเดียวกันไม่มีความแตกต่างอย่างมีนัยสำคัญทางสถิติ ( $P \leq 0.05$ )

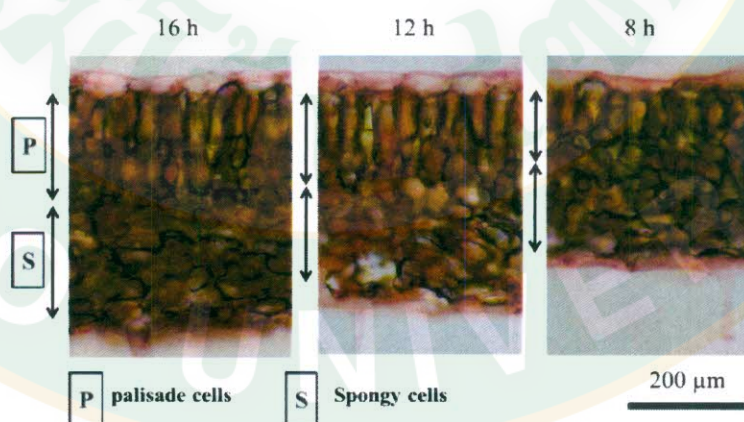


ภาพที่ 22 น้ำหนักแห้งส่วนราก (a) และสัดส่วนมวลน้ำหนักแห้งส่วนลำต้นต่อมวลน้ำหนักแห้ง ส่วนราก (b) ของต้นพิทูเนียที่ได้รับช่วงแสงแตกต่างกันเป็นเวลา 35 วันหลังเพาะเมล็ด เปรียบเทียบความแตกต่างของค่าเฉลี่ย  $\pm$  SE ( $n=4$ ) ด้วยวิธี Duncan's New Multiple Range Test (DMRT) ค่าเฉลี่ยที่ระบุด้วยอักษรเดียวกันไม่มีความแตกต่างอย่างมีนัยสำคัญทางสถิติ ( $P \leq 0.05$ )

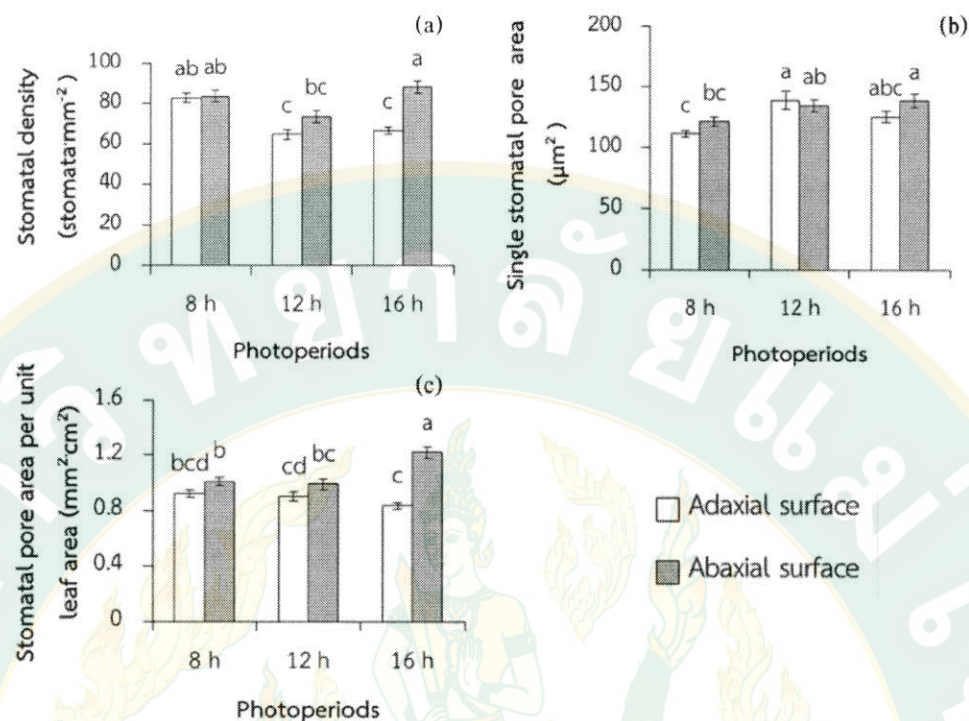
ตารางที่ 7 ความหนาใน และความยาวของเซลล์พอลิสต์ และสปันจ์ของใบพิทูเนียที่ได้รับช่วงแสงแตกต่างกันเป็นเวลา 35 วันหลังเพาะเมล็ด เปรียบเทียบความแตกต่างของค่าเฉลี่ย  $\pm$  SE ( $n=50$ ) ด้วยวิธี Duncan's New Multiple Range Test (DMRT) ในแต่ละคอลัมน์ค่าเฉลี่ยที่ระบุด้วยอักษรเดียวกันไม่มีความแตกต่างอย่างมีนัยสำคัญทางสถิติ ( $P \leq 0.05$ )

Photoperiods	Leaf thickness ( $\mu\text{m}$ )	Palisade cells Length ( $\mu\text{m}$ )	Spongy cells Length ( $\mu\text{m}$ )
8 h	451.71 $\pm$ 2.84 c	150.96 $\pm$ 1.53 c	261.64 $\pm$ 1.00 b
12 h	466.16 $\pm$ 3.43 b	169.55 $\pm$ 1.82 b	254.28 $\pm$ 0.88 c
16 h	512.48 $\pm$ 2.06 a	197.30 $\pm$ 1.20 a	266.51 $\pm$ 0.27 a

ในส่วนของความหนาของใบพิทูเนียที่ได้รับช่วงแสงแตกต่างกันพบว่า การได้รับช่วงแสง 16 h ส่งผลให้มีความหนาในมากกว่าการได้รับช่วงแสง 12 h และ 8 h อย่างมีนัยสำคัญทางสถิติ เมื่อทำการตรวจวัดความยาวของเซลล์พอลิสต์ (Palisade cell) พบว่า การได้รับช่วงแสง 16 h ส่งผลให้มีความยาวของเซลล์พอลิสต์มากที่สุด ในขณะที่การได้รับช่วงแสง 8 h จะมีความยาวของเซลล์พอลิสต์ สั้นที่สุดอย่างมีนัยสำคัญทางสถิติ ส่วนเซลล์สปันจ์ (Spongy cell) พบว่า การได้รับช่วงแสง 16 h ส่งผลให้มีความยาวของเซลล์สปันจ์มากที่สุด และการได้รับช่วงแสง 12 h จะมีความยาวของเซลล์สปันจ์สั้นที่สุดอย่างมีนัยสำคัญทางสถิติ (ตารางที่ 7 และภาพที่ 23)



ภาพที่ 23 แสดงความหนาของใบ ความยาวของเซลล์พอลิสต์ และสปันจ์ของต้นพิทูเนียที่ได้รับช่วงแสงแตกต่างกันเป็นเวลา 35 วันหลังเพาะเมล็ด



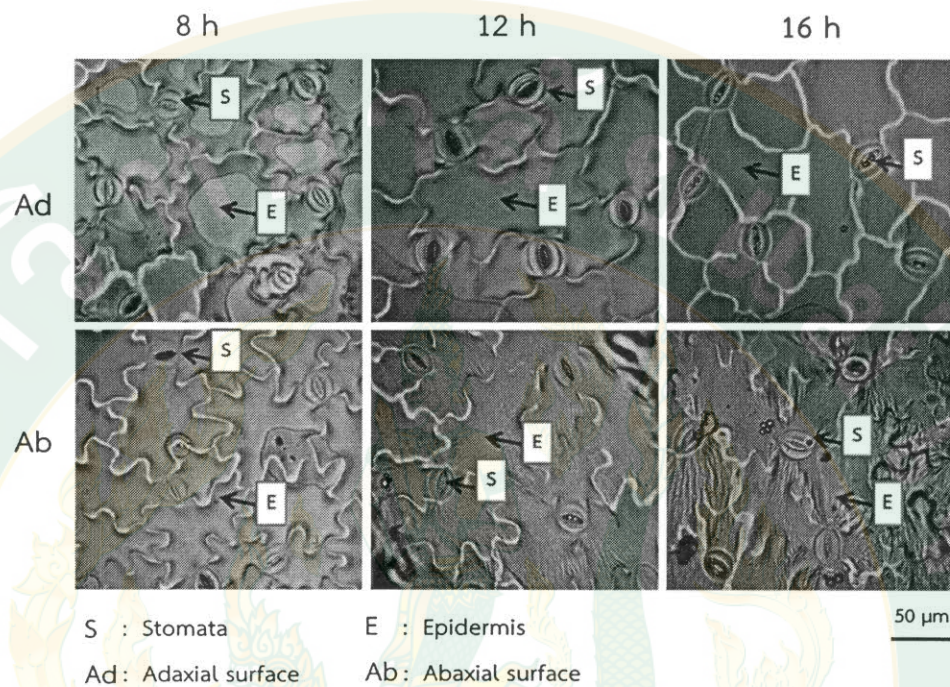
ภาพที่ 24 ความหนาแน่นของปากใบ ขนาดพื้นที่ของรูปปากใบ และขนาดพื้นที่รูปปากใบต่อพื้นที่ของใบพิธุเนียที่ได้รับช่วงแสงแตกต่างกันเป็นเวลา 35 วันหลังเพาะเมล็ด เปรียบเทียบความแตกต่างของค่าเฉลี่ย  $\pm$  SE ( $n=16$ ) ด้วยวิธี Duncan's New Multiple Range Test (DMRT) ค่าเฉลี่ยที่ระบุด้วยอักษรเดียวกันไม่มีความแตกต่างอย่างมีนัยสำคัญทางสถิติ ( $P \leq 0.05$ )

จากการศึกษาความหนาแน่นของปากใบพิธุเนียที่ได้รับช่วงแสงแตกต่างกันพบว่า ต้นที่ได้รับช่วงแสง 8 h มีความหนาแน่นของปากใบด้านบน และด้านล่างไม่แตกต่างกันอย่างมีนัยสำคัญทางสถิติ ในขณะที่การได้รับช่วงแสง 12 h และ 16 h ทำให้ความหนาแน่นของปากใบด้านบนกับด้านล่างแตกต่างกัน โดยปากใบด้านล่างของการได้รับช่วงแสง 16 h มีความหนาแน่นมากที่สุด (ภาพที่ 24a และภาพที่ 25)

ในการศึกษาขนาดพื้นที่ของรูปปากใบพิธุเนียที่ได้รับช่วงแสงแตกต่างกัน พบร่วมกันว่า การได้รับช่วงแสง 12 h ส่งผลให้ปากใบด้านบนมีขนาดพื้นที่ของรูปปากใบมากที่สุด ส่วนปากใบด้านล่าง เมื่อได้รับช่วงแสง 16 h ส่งผลให้มีขนาดพื้นที่รูปปากใบมากที่สุด ในขณะที่ การได้รับช่วงแสง 8 h ส่งผลให้ขนาดของพื้นที่รูของปากใบทั้งด้านบน และด้านล่างมีค่าต่ำสุด (ภาพที่ 24b)

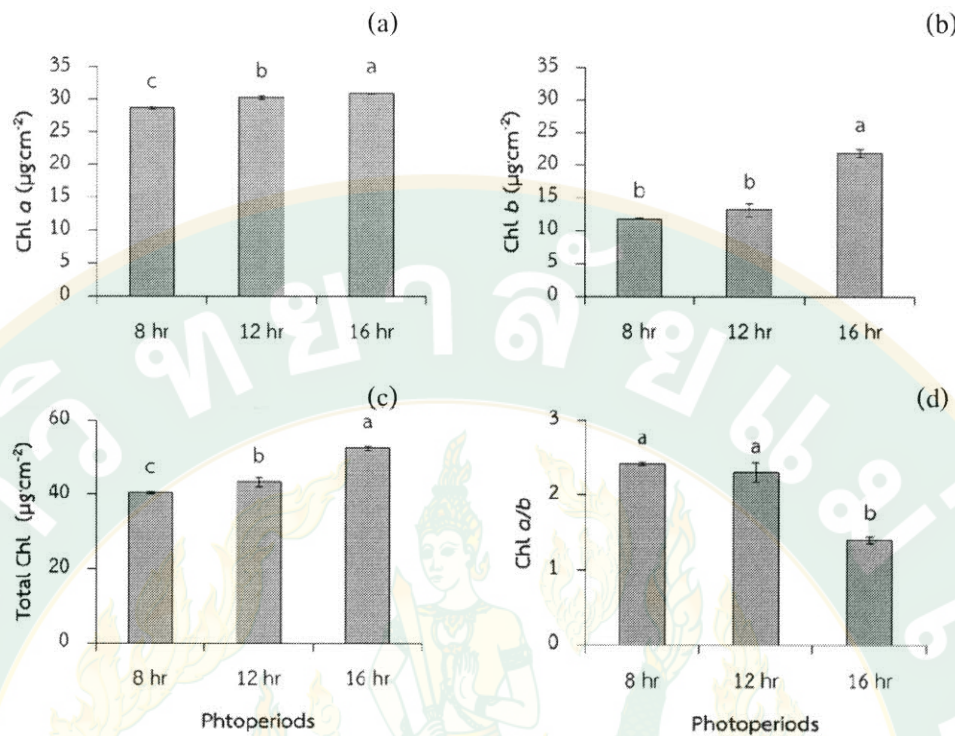
ในส่วนของขนาดพื้นที่รูของปากใบต่อพื้นที่ใบพิธุเนียที่ได้รับช่วงแสงแตกต่างกัน พบร่วมกันว่า การได้รับช่วงแสง 16 h ส่งผลให้ปากใบด้านล่างมีขนาดพื้นที่รูของปากใบต่อพื้นที่ใบมากที่สุดอย่างมี

นัยสำคัญทางสถิติ ในขณะที่การได้รับช่วงแสงอื่น ๆ นั้น ขนาดพื้นที่รูของปากใบต่อพื้นที่ใบไม่มีความแตกต่างกันอย่างมีนัยสำคัญทางสถิติ (ภาพที่ 24c)



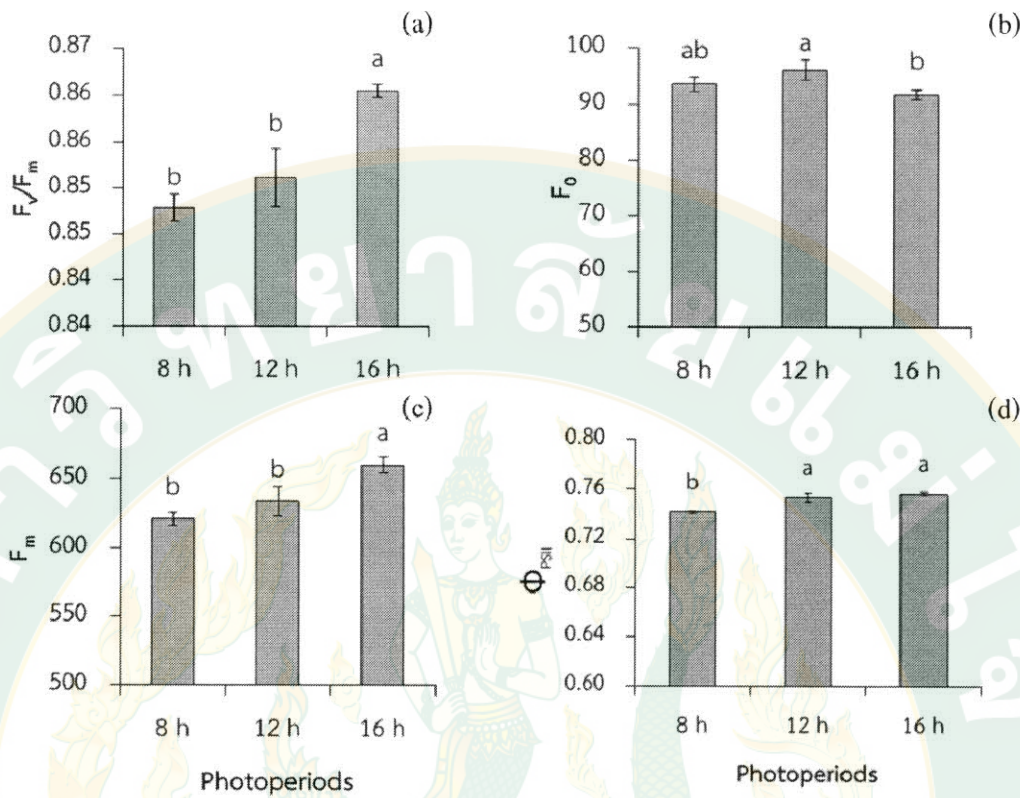
ภาพที่ 25 ลักษณะของปากใบด้านบน (Adaxial surface) และด้านล่าง (Abaxial surface) ของใบพิธุเนยที่ได้รับช่วงแสงแตกต่างกันเป็นเวลา 35 วันหลังเพาะเมล็ด

การศึกษาปริมาณคลอโรฟิลล์ของใบพิธุเนยที่ได้รับช่วงแสงแตกต่างกัน พบว่า การได้รับช่วงแสง 16 h ส่งผลให้ปริมาณ คลอโรฟิลล์ a b และคลอโรฟิลล์ทั้งหมด มีค่าสูงกว่าการได้รับช่วงแสงอื่น ๆ อย่างมีนัยสำคัญทางสถิติ ในขณะที่การได้รับช่วงแสง 8 h ทำให้ปริมาณคลอโรฟิลล์ a b และคลอโรฟิลล์ทั้งหมดต่ำที่สุด (ภาพที่ 26a 26b และ 26c) นอกจากนี้ยังพบว่า สัดส่วนของคลอโรฟิลล์ a ต่อ b ของการได้รับช่วงแสง 16 h มีค่าต่ำสุดอย่างมีนัยสำคัญทางสถิติ (ภาพที่ 26d)



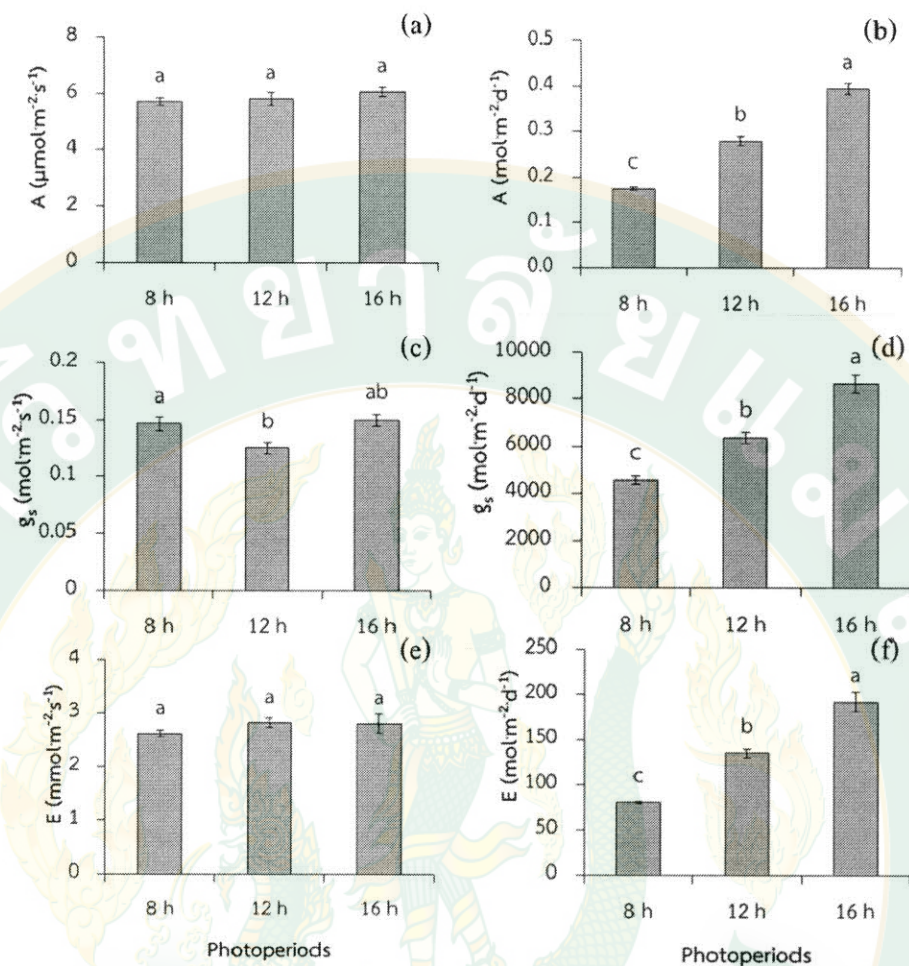
ภาพที่ 26 แสดงปริมาณคลอโรฟิลล์ a และ b คลอโรฟิลล์ทั้งหมด และสัดส่วนของคลอโรฟิลล์ a ต่อ b ของใบพิทูเนียที่ได้รับช่วงแสงแตกต่างกันเป็นเวลา 35 วันหลังเพาะเมล็ด เปรียบเทียบความแตกต่างของค่าเฉลี่ย  $\pm$  SE ( $n=3$ ) ด้วยวิธี Duncan's New Multiple Range Test (DMRT) ค่าเฉลี่ยที่ระบุด้วยอักษรเดียวกันไม่มีความแตกต่างอย่างมีนัยสำคัญทางสถิติ ( $P \leq 0.05$ )

การศึกษาประสิทธิภาพการใช้แสงสูงสุดของ PSII (maximum quantum efficiency of PSII;  $F_v/F_m$ ) ของใบพิทูเนียที่ได้รับช่วงแสงแตกต่างกัน พบว่า การได้รับแสง 16 h มีผลทำให้ค่า  $F_v/F_m$  สูงกว่าการได้รับช่วงแสงอื่น ๆ อย่างมีนัยสำคัญทางสถิติ (ภาพที่ 27a) เมื่อทำการวิเคราะห์ค่า  $F_0$  (Minimal fluorescence in dark-adapted leaf) และ  $F_m$  (Maximal fluorescence in dark-adapted leaf) พบว่า การได้รับช่วงแสง 16 h มีค่า  $F_0$  ต่ำสุด ในขณะที่  $F_m$  มีค่าสูงสุดอย่างมีนัยสำคัญทางสถิติ (ภาพที่ 27b และ 27c) ส่วนค่าประสิทธิภาพการใช้แสงของระบบ PSII ในสภาพสว่าง (Quantum efficiency of PSII electron transport in illuminated leaf;  $\Phi_{PSII}$ ) พบว่า ต้นที่ได้รับช่วงแสง 16 h และ 12 h มีค่า  $\Phi_{PSII}$  ไม่แตกต่างกัน ในขณะที่ต้นที่ได้รับช่วงแสง 8 h มีค่า  $\Phi_{PSII}$  ต่ำกว่าอีกสองตัวรับอย่างมีนัยสำคัญทางสถิติ (ภาพที่ 27d)

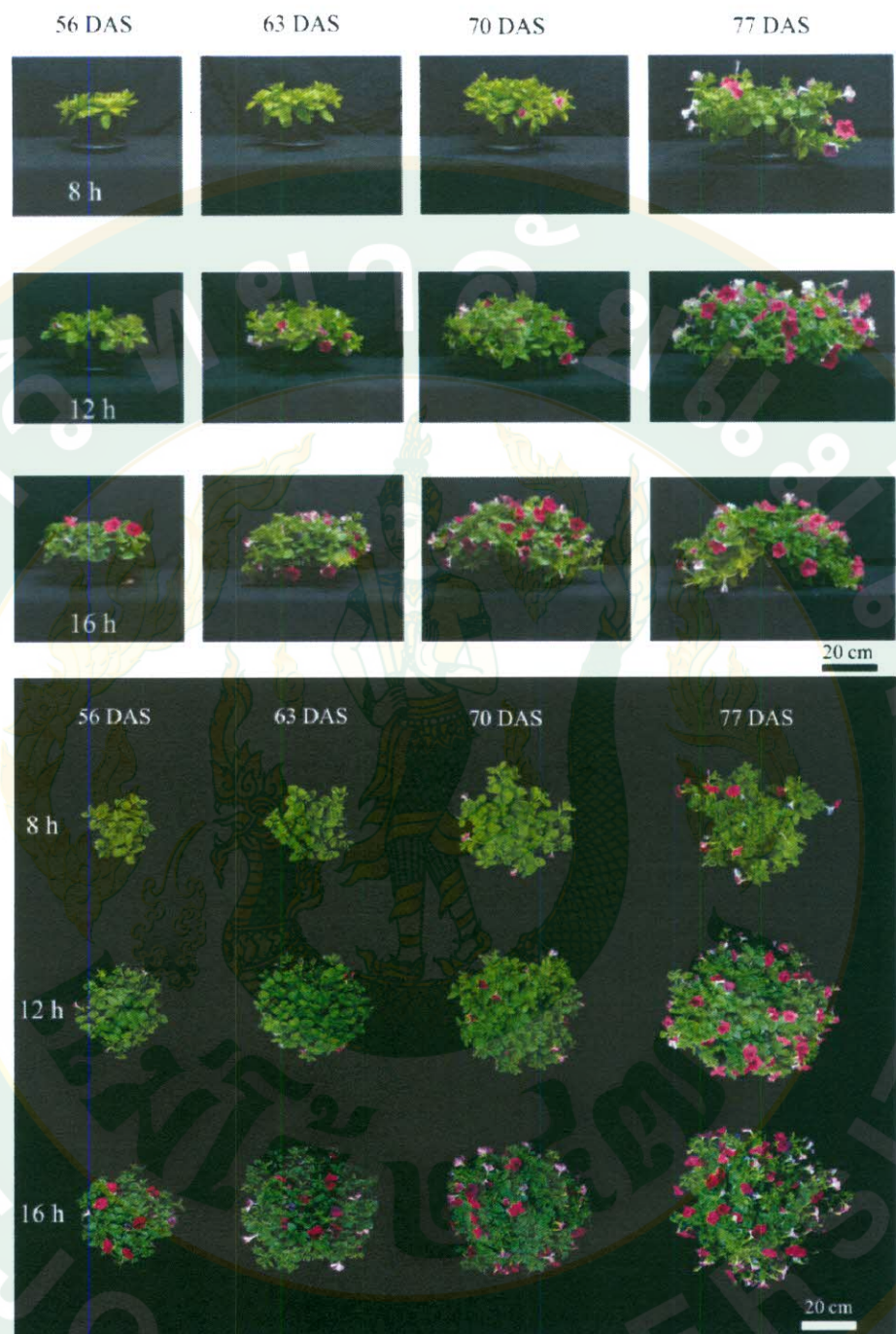


ภาพที่ 27 แสดงค่า  $F_v/F_m$  (a)  $F_0$  (b)  $F_m$  (c) และ  $\Phi_{PSII}$  (d) ของใบพิทูเนียที่ได้รับช่วงแสงแตกต่างกันเป็นเวลา 35 วันหลังเพาะเมล็ด เปรียบเทียบความแตกต่างของค่าเฉลี่ย  $\pm$  SE ( $n=6$ ) ด้วยวิธี Duncan's New Multiple Range Test (DMRT) ค่าเฉลี่ยที่ระบุด้วยอักษรเดียวกันไม่มีความแตกต่างอย่างมีนัยสำคัญทางสถิติ ( $P \leq 0.05$ )

จากการศึกษาค่าดัชนีที่เกี่ยวข้องกับการแลกเปลี่ยนกําชของใบพิทูเนียที่อายุ 35 วัน หลังเพาะเมล็ด โดยทำการตรวจเป็นค่าต่อหนึ่งหน่วยพื้นที่ใบต่อหนึ่งหน่วยเวลา ( $\mu\text{mol} \cdot \text{m}^{-2} \cdot \text{s}^{-1}$ ) เมื่อได้รับช่วงแสง 16 h 12 h และ 8 h พบว่า ทั้งค่าอัตราการสังเคราะห์แสง อัตราการนำไนโตรเจน ของปากใบ และอัตราการคายระเหยของน้ำ ไม่มีความแตกต่างอย่างมีนัยสำคัญทางสถิติที่ชัดเจน (ภาพที่ 28a 28c และ 28e) เมื่อทำการคำนวณค่าดัชนีที่เกี่ยวข้องกับการแลกเปลี่ยนกําชตั้งกล่าว เป็นค่าผลรวมต่อวัน ( $\mu\text{mol} \cdot \text{m}^{-2} \cdot \text{s}^{-1}$ ) พบว่า การได้รับช่วงแสง 16 h มีค่าดัชนีที่เกี่ยวข้องกับการแลกเปลี่ยนกําชทั้งอัตราการสังเคราะห์แสง อัตราการนำไนโตรเจนของปากใบ และอัตราการคายระเหยของน้ำ สูงกว่าการได้รับช่วงแสงอื่น ๆ อย่างมีนัยสำคัญทางสถิติ ในขณะที่การได้รับช่วงแสง 8 h มีค่าดัชนีที่เกี่ยวข้องกับการแลกเปลี่ยนกําชต่ำสุดอย่างมีนัยสำคัญทางสถิติ (ภาพที่ 28b 28d และ 28f)



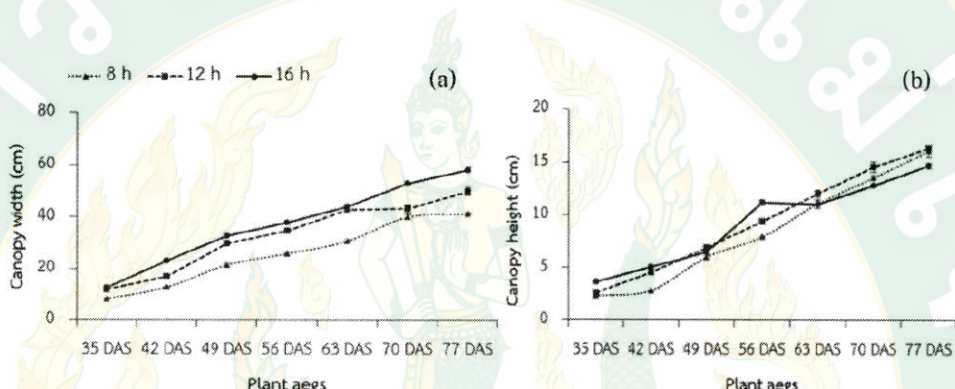
ภาพที่ 28 แสดงค่าดัชนีที่เกี่ยวข้องกับการแลกเปลี่ยนกําช ได้แก่ ค่า A คือ อัตราการสังเคราะห์แสง (a และ b) ค่า  $g_s$  คือ อัตราการนำไนโตรเจนจากใน (c และ d) ค่า E คือ อัตราการหายใจของน้ำ (e และ f) โดย a c และ e คือ ทำการตรวจเป็นค่าต่อหนึ่งหน่วยพื้นที่ในต่อหนึ่งหน่วยเวลา ( $\mu\text{mol}\cdot\text{m}^{-2}\cdot\text{s}^{-1}$ ) ส่วน b d และ f คือ ทำการตรวจเป็นค่าผลรวมต่อวัน ( $\text{mol}\cdot\text{m}^{-2}\cdot\text{s}^{-1}$ ) ของใบพิทูเนียที่ได้รับช่วงแสงแตกต่างกันเป็นเวลา 35 วันหลังเพาะเมล็ด เปรียบเทียบความแตกต่างของค่าเฉลี่ย  $\pm \text{SE}$  ( $n=6$ ) ด้วยวิธี Duncan's New Multiple Range Test (DMRT) ค่าเฉลี่ยที่ระบุด้วยอักษรเดียวกันไม่มีความแตกต่างอย่างมีนัยสำคัญทางสถิติ ( $P \leq 0.05$ )



ภาพที่ 29 แสดงลักษณะของต้นพิทูเนียที่ได้รับช่วงแสงแตกต่างกัน 3 ช่วง คือ 8 12 และ 16 ชั่วโมง ต่อวัน เป็นเวลา 77 วันหลังเพาะเมล็ด ภาพด้านซ้ายคือลักษณะต้นพิทูเนียที่ได้รับช่วงแสง ที่แตกต่างกันเป็นเวลา 56 วันหลังเพาะเมล็ด และด้านขวาคือ ลักษณะต้นพิทูเนีย ที่ได้รับช่วงแสง 63 70 และ 77 วันหลังเพาะเมล็ด

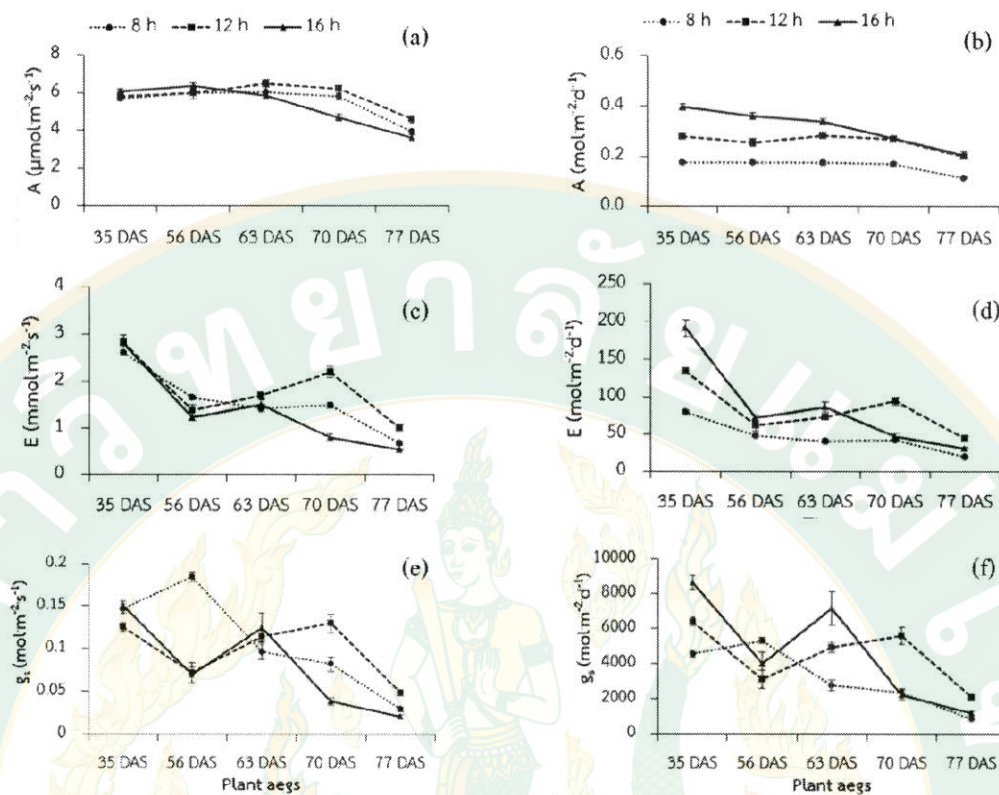
## การทดลองที่ 2.2 อิทธิพลของช่วงแสงต่อการเจริญเติบโตทางลำต้น ใน ดอก และผลผลิตเมล็ด ของต้นพิทูเนีย

จากการศึกษาต้นพิทูเนียที่ได้รับช่วงแสงแตกต่างกันทั้ง 3 ช่วงเป็นเวลา 77 วันหลังเพาะเมล็ด พบว่า พิทูเนียที่ได้รับช่วงแสง 16 h มีความกว้างของทรงพุ่มในทุกช่วงอายุสูงกว่าการได้รับช่วงแสง 12 h และ 8 h ส่วนความสูงนั้น ต้นที่ได้รับช่วงแสง 16 h ค่อนข้างมีความแปรปรวนของค่าเฉลี่ย ที่แตกต่างกันในแต่ละช่วงอายุ ในขณะที่ต้นที่ได้รับช่วงแสง 12 h ในแต่ละช่วงอายุมีความสูง ของทรงพุ่มมากกว่าการได้รับช่วงแสง 8 h (ภาพที่ 29 และภาพที่ 30)



ภาพที่ 30 แสดงความกว้าง (a) และความสูง (b) ของทรงพุ่มต้นพิทูเนียที่ได้รับช่วงแสง แตกต่างกันเป็นเวลา 77 วันหลังเพาะเมล็ด ( $n=6$ )

ในการศึกษาค่าดัชนีที่เกี่ยวข้องกับการแลกเปลี่ยนกําชของใบพิทูเนียตั้งแต่อายุ 35 – 77 วัน หลังเพาะเมล็ด โดยทำการตรวจวัดเป็นค่าต่อหนึ่งหน่วยพื้นที่ใบต่อหนึ่งหน่วยเวลา ( $\mu\text{mol}\cdot\text{m}^{-2}\cdot\text{s}^{-1}$ ) เมื่อได้รับช่วงแสง 16 h 12 h และ 8 h พบว่า ค่าอัตราการสังเคราะห์แสง ค่าอัตราการนำไฟล ของปากใบ และค่าอัตราการคายระเหยของน้ำของต้นพิทูเนียที่ได้รับช่วงแสงทั้ง 3 ช่วงนั้น มีค่า ผันแปรกับช่วงอายุพืชที่เพิ่มขึ้น โดยอัตราการสังเคราะห์แสงจะลดลงเมื่ออายุพืชเพิ่มขึ้น ซึ่งการได้รับ ช่วงแสง 16 h เริ่มมีค่าลดต่ำลงที่ช่วงอายุ 56 วันหลังเพาะเมล็ดเป็นต้นไป ในขณะที่การได้รับช่วงแสง 12 h เริ่มมีค่าลดต่ำลงที่อายุ 63 วันหลังเพาะเมล็ด และการได้รับช่วงแสง 8 h เริ่มมีค่าลดต่ำลงที่อายุ 70 วันหลังเพาะเมล็ด ส่วนค่าอัตราการนำไฟลของปากใบ และอัตราการคายระเหยของน้ำนั้นมี แนวโน้มลดลงอย่างต่อเนื่องตั้งแต่ช่วงอายุ 35 – 77 วันหลังเพาะเมล็ด โดยการได้รับช่วงแสง 16 h มีค่าลดลงต่ำกว่าการได้รับช่วงแสงอื่น ๆ ตามช่วงเวลาที่เพิ่มขึ้น (ภาพที่ 31a 31c และ 31e)



ภาพที่ 31 แสดงค่าดัชนีที่เกี่ยวข้องกับการแลกเปลี่ยนกําช a c และ e คือ ตรวจวัดเป็นค่าต่อหนึ่งหน่วยพื้นที่ใบต่อหนึ่งหน่วยเวลา ( $\mu\text{mol}\cdot\text{m}^{-2}\cdot\text{s}^{-1}$ ) ส่วน b d และ f คือ ตรวจวัดเป็นค่าผลรวมต่อวัน ( $\mu\text{mol}\cdot\text{m}^{-2}\cdot\text{s}^{-1}$ ) ของใบพิทูเนียที่ตั้งแต่อายุ 35 – 77 วัน

หลังเพาะเมล็ด ( $n=16$ )

เมื่อทำการคำนวณค่าดัชนีที่เกี่ยวข้องกับการแลกเปลี่ยนกําชดังกล่าวเป็นค่าผลรวมต่อวัน ( $\mu\text{mol}\cdot\text{m}^{-2}\cdot\text{s}^{-1}$ ) พบว่า การได้รับช่วงแสง 16 h ส่งผลให้ค่าผลรวมของคาร์บอนที่พืชได้รับต่อหนึ่งวันลดลงอย่างต่อเนื่องตามช่วงเวลาการเจริญเติบโตที่เพิ่มขึ้น ในขณะที่การได้รับช่วงแสง 12 h และ 8 h ค่าผลรวมของคาร์บอนที่พืชได้รับต่อหนึ่งวันค่อนข้างคงที่ตลอดช่วงอายุของการเจริญเติบโตที่เพิ่มขึ้นจนกระทั่งเริ่มลดต่ำลงที่อายุ 63 วันหลังเพาะเมล็ด อย่างไรก็ตามการค่าผลรวมของคาร์บอนที่พืชได้รับต่อหนึ่งวันของการได้รับช่วงแสง 8 h ต่ำกว่าการได้รับช่วงแสงอื่น ๆ ตลอดช่วงอายุของการเจริญเติบโต ส่วนค่าผลรวมของการนำไหลงของปากใบ และการคายระเหยของน้ำของการได้รับช่วงแสงทั้ง 3 ช่วง พบว่า มีค่าลดต่ำลงไปในทิศทางเดียวกันตลอดช่วงอายุของการเจริญเติบโตที่เพิ่มขึ้นโดยการได้รับช่วงแสง 8 h มีค่าค่อนข้างต่ำกว่าการได้รับช่วงแสงอื่น ๆ (ภาพที่ 31b 31d และ 31)

ตารางที่ 8 การวิเคราะห์ความแปรปรวนแบบจำแนกทางเดียวของช่วงแสง (A) และอายุพืช (B) และการวิเคราะห์ความแปรปรวนแบบจำแนกสองทางของปฏิสัมพันธ์ระหว่างช่วงแสง กับอายุพืช ( $A \times B$ ) ที่มีผลต่อความกว้าง ความสูง และค่าดัชนีที่เกี่ยวข้องกับการแลกเปลี่ยนกําชั้งทั้งที่ทำการตรวจวัดเป็นค่าต่อหนึ่งหน่วยพื้นที่ใบต่อหนึ่งหน่วยเวลา ( $\mu\text{mol} \cdot \text{m}^{-2} \cdot \text{s}^{-1}$ ) และค่าผลรวมต่อวัน ( $\mu\text{mol} \cdot \text{m}^{-2} \cdot \text{d}^{-1}$ )

Dependent variables	Independent variables		
	Photoperiods (A)	Plant ages	
		(B)	$A \times B$
Canopy width (n=6)	>0.01**	>0.01**	>0.01**
Canopy height (n=6)	>0.01**	>0.01**	>0.01**
$A (\mu\text{mol} \cdot \text{m}^{-2} \cdot \text{s}^{-1})$ (n=16)	>0.01**	>0.01**	>0.01**
$E (\text{mmol} \cdot \text{m}^{-2} \cdot \text{s}^{-1})$ (n=16)	>0.01**	>0.01**	>0.01**
$g_S (\text{mol} \cdot \text{m}^{-2} \cdot \text{s}^{-1})$ (n=16)	>0.01**	>0.01**	>0.01**
$A (\text{mol} \cdot \text{m}^{-2} \cdot \text{d}^{-1})$ (n=16)	>0.01**	>0.01**	>0.01**
$E (\text{mol} \cdot \text{m}^{-2} \cdot \text{d}^{-1})$ (n=16)	>0.01**	>0.01**	>0.01**
$g_S (\text{mol} \cdot \text{m}^{-2} \cdot \text{d}^{-1})$ (n=16)	>0.01**	>0.01**	>0.01**

หมายเหตุ ตัวเลขที่ระบุในตารางแสดงค่า P (p-value) โดย  $P < 0.01 = (**)$  มีความแตกต่างกันทางสถิติอย่างมีนัยสำคัญยิ่ง  $P < 0.05 = (*)$  มีความแตกต่างกันทางสถิติอย่างมีนัยสำคัญ  $P \geq 0.05 = (\text{NS})$  ไม่มีความแตกต่างกันทางสถิติ

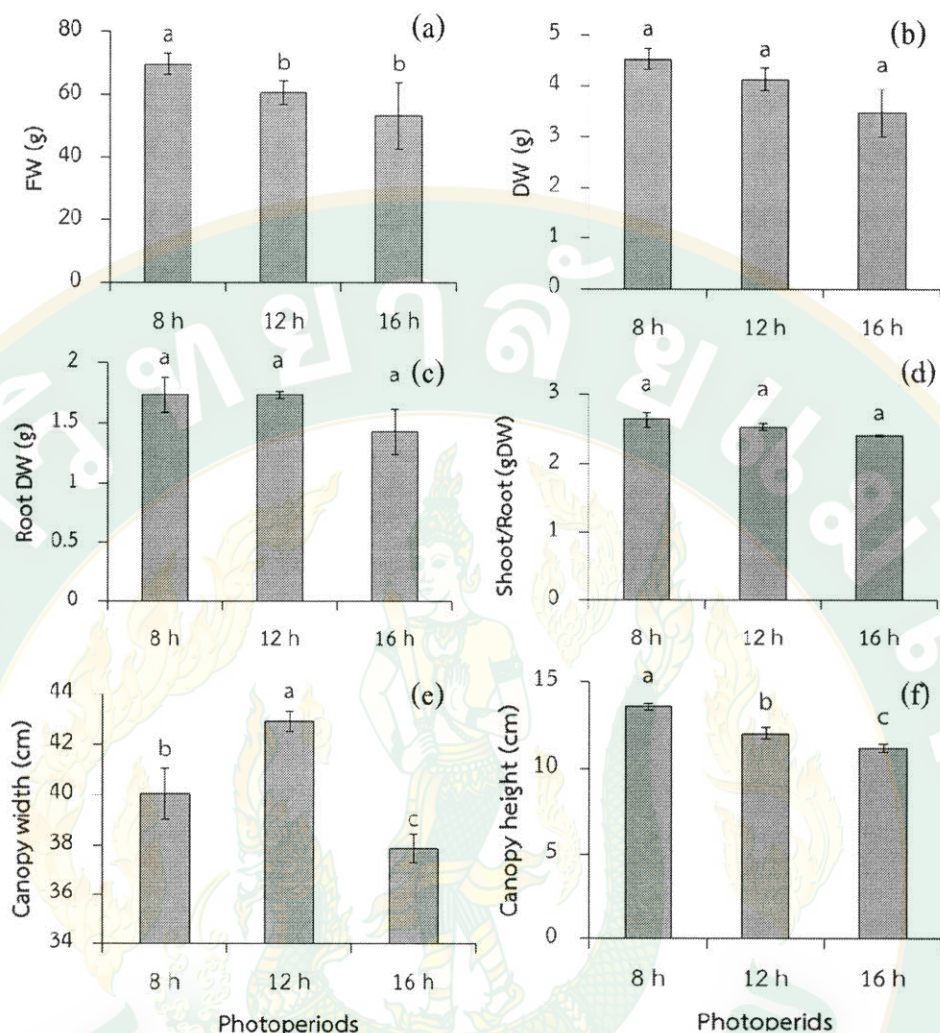
จากการวิเคราะห์ความแปรปรวนของช่วงแสง อายุพืช และปฏิสัมพันธ์ระหว่างช่วงแสงกับอายุพืชต่อค่า ความกว้าง ความสูง และค่าดัชนีที่เกี่ยวข้องกับการแลกเปลี่ยนกําชั้งการตรวจวัดเป็นค่าต่อหนึ่งหน่วยพื้นที่ใบต่อหนึ่งหน่วยเวลา ( $\mu\text{mol} \cdot \text{m}^{-2} \cdot \text{s}^{-1}$ ) และค่าผลรวมต่อวัน ( $\mu\text{mol} \cdot \text{m}^{-2} \cdot \text{d}^{-1}$ ) พบว่า ช่วงแสง และอายุพืช ส่งผลต่อค่าของพารามิเตอร์ทั้งหมดที่ตรวจวัดอย่างมีนัยสำคัญยิ่ง นอกจากนี้ยังพบว่า ช่วงแสงส่งผลต่อค่าของพารามิเตอร์ทั้งหมดแตกต่างกันอย่างมีนัยสำคัญทางสถิติอย่างยิ่งของแต่ละช่วงอายุพืช (ตารางที่ 8)

จากการศึกษาการเจริญเติบโตในช่วงระยะเวลาแรกๆ ของต้นพิทูเนียที่ได้รับช่วงแสงทั้ง 3 ช่วง พบร้า การได้รับช่วงแสง 8 h ส่งผลให้มวลน้ำหนักสดของส่วนลำต้นมีค่าสูงกว่าการได้รับช่วงแสง

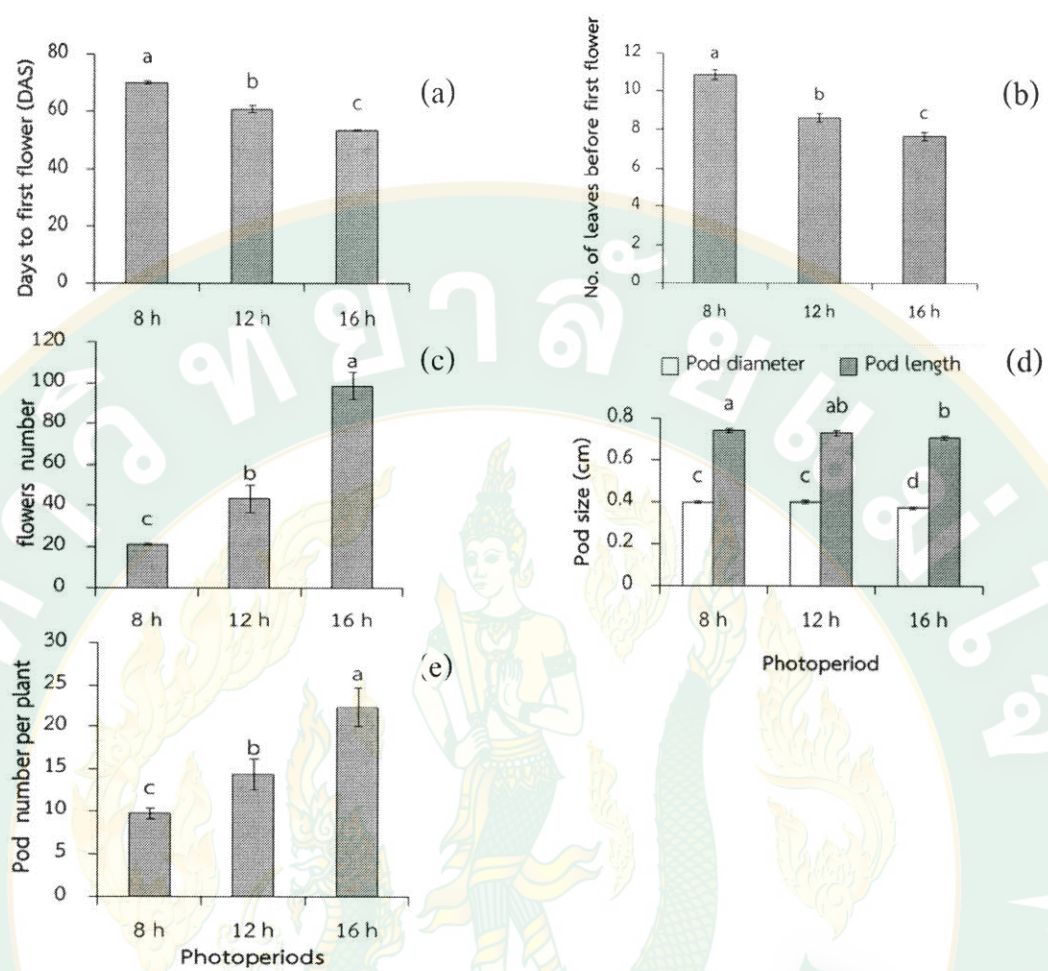
อื่น ๆ อย่างมีนัยสำคัญทางสถิติ ในขณะที่ มวลน้ำหนักแห้งส่วนลำต้น มวลน้ำหนักแห้งส่วนราก และ สัดส่วนมวลน้ำหนักแห้งส่วนลำต้นต่อมวลน้ำหนักแห้งส่วนรากของต้นพิทูเนียที่ได้รับช่วงแสง ห้า 3 ช่วง ไม่มีความแตกต่างกันอย่างมีนัยสำคัญทางสถิติ ในขณะที่ลักษณะของทรงพุ่มในช่วงระยะเวลา แรกบาน พบร้าต้นที่ได้รับช่วงแสง 12 h มีความกว้างของทรงพุ่มสูงสุดอย่างมีนัยสำคัญทางสถิติ ในขณะที่การได้รับช่วงแสง 8 h มีความสูงของทรงพุ่มสูงสุดอย่างมีนัยสำคัญทางสถิติ (ภาพที่ 32)

ในการศึกษาจำนวนวันก่อนดอกแรกบาน หลังจากการเพาะเมล็ด พบร้า การได้รับช่วงแสง 8 h ส่งผลให้มีจำนวนวันก่อนดอกแรกบาน และจำนวนใบของกิงก้อนการพับการออกดอกแรก มากที่สุดอย่างมีนัยสำคัญทางสถิติ ในขณะที่การได้รับช่วงแสง 16 h มีจำนวนวันก่อนดอกแรกบาน สั้นที่สุด (ภาพที่ 33a 33b 33d และ ภาพที่ 34) และมีขนาดฝักเล็กที่สุดด้วย ส่วนจำนวนดอก และ จำนวนฝัก พบร้า การได้รับช่วงแสง 16 h มีจำนวนดอก และฝักมากกว่าการได้รับช่วงแสงอื่น ๆ อย่างมีนัยสำคัญทางสถิติ (ภาพที่ 33c และ 33e)

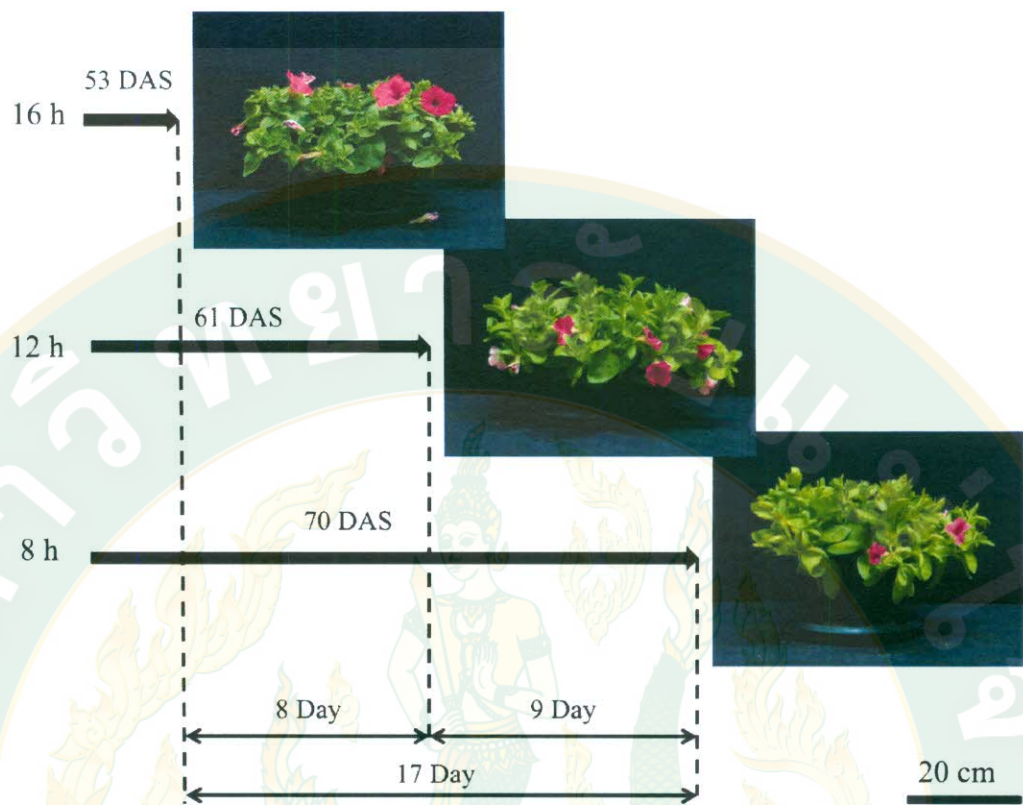
ในการศึกษาจำนวนเมล็ดต่อฝัก พบร้า การได้รับช่วงแสงห้า 3 ช่วง ไม่มีผลทำให้จำนวนเมล็ด ต่อฝักแตกต่างกัน ในขณะที่ต้นที่ได้รับช่วงแสง 16 h มีจำนวนเมล็ดต่อต้นมากที่สุด (ภาพที่ 35a และ 35b) ส่วนมวลน้ำหนักสดของเมล็ดพบร้า ต้นที่ได้รับช่วงแสงห้า 3 ช่วง มีมวลน้ำหนักสดของเมล็ด ไม่แตกต่างกัน ในขณะที่มวลน้ำหนักแห้งของเมล็ดจากต้นที่ได้รับช่วงแสง 8 h มีค่ามากที่สุด (ภาพที่ 35c และ 35d)



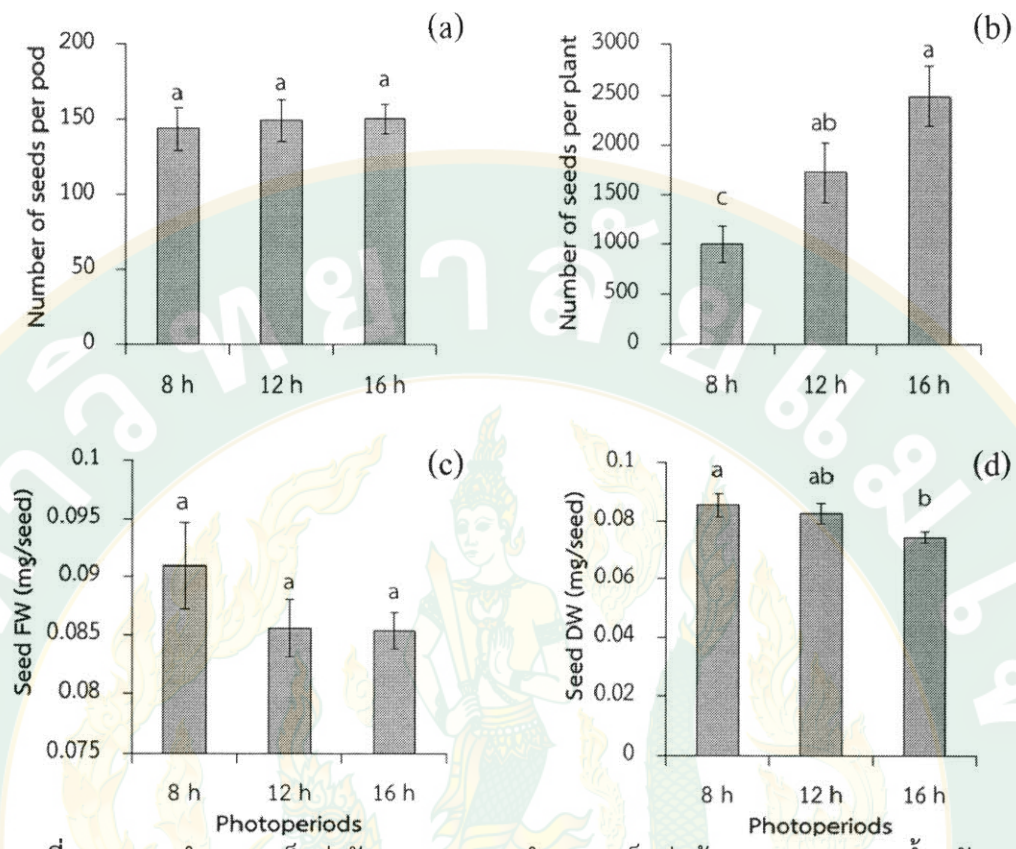
ภาพที่ 32 แสดงมวลน้ำหนักสดส่วนลำต้น ( $n=3$ ) (a) มวลน้ำหนักแห้งส่วนลำต้น ( $n=3$ ) (b) มวลน้ำหนักแห้งส่วนราก ( $n=3$ ) (c) สัดส่วนมวลน้ำหนักแห้งส่วนลำต้นต่อมวลน้ำหนักแห้งส่วนราก ( $n=3$ ) (d) ความกว้างทรงพุ่ม ( $n=6$ ) (e) และความสูงทรงพุ่ม ( $n=6$ ) (f) ของต้นพิทูเนียในระยะที่พบดอกแรกบาน ของการได้รับช่วงแสงที่แตกต่างกัน เปรียบเทียบความแตกต่างของค่าเฉลี่ย  $\pm$  SE ด้วยวิธี Duncan's New Multiple Range Test (DMRT) ค่าเฉลี่ยที่ระบุด้วยอักษรเดียวกันไม่มีความแตกต่างอย่างมีนัยสำคัญทางสถิติ ( $P \leq 0.05$ )



ภาพที่ 33 แสดงจำนวนวันก่อนดอกแรกบาน โดยนับวันแรกหลังจากเพาเมล็ด ( $n=3$ ) (a) จำนวนใบของกิ่งก่อนการpubการออกดอกแรก ( $n=18$ ) (b) จำนวนดอก (n=3) (c) จำนวนฝักต่อต้น ( $n=3$ ) (d) และขนาดฝักในช่วงลำดับฝักที่ 1-10 ( $n=34$ ) (e) ของต้นพิทูเนียที่ได้รับช่วงแสงที่แตกต่างกัน  
และเปรียบเทียบความแตกต่างของค่าเฉลี่ย  $\pm$  SE ด้วยวิธี Duncan's New Multiple Range Test (DMRT) ค่าเฉลี่ยที่ระบุด้วยอักษรเดียวกันไม่มีความแตกต่างอย่างมีนัยสำคัญทางสถิติ ( $P \leq 0.05$ )

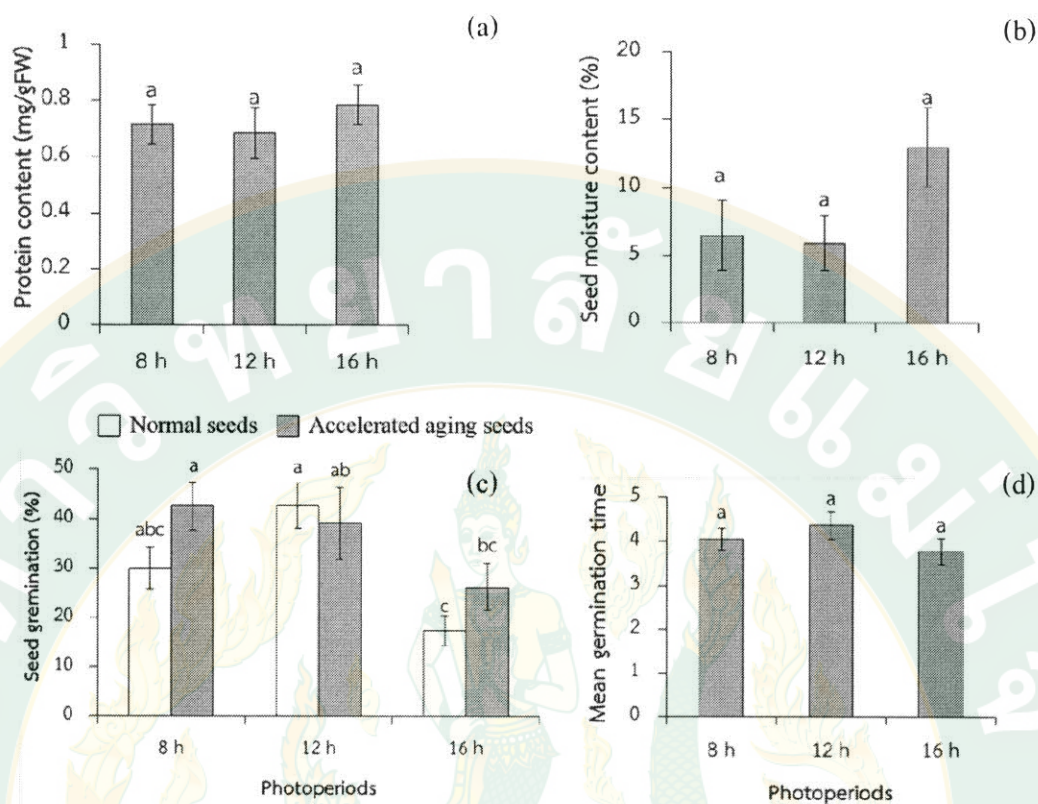


ภาพที่ 34 แสดงลักษณะต้นพิทูเนีย และจำนวนวันที่พบดอกแรกบาน โดยการได้รับช่วงแสง 16 h พบดอกแรกบาน ที่อายุเฉลี่ย 53 วันหลังจากเพาะเมล็ด การได้รับช่วงแสง 12 h พบดอกแรกบาน ที่อายุเฉลี่ย 61 วันหลังจากเพาะเมล็ด และการได้รับช่วงแสง 8 h พบดอกแรกบาน ที่อายุเฉลี่ย 70 วันหลังจากเพาะเมล็ด โดยจำนวนวันก่อนดอกแรกบาน ของการได้รับช่วงแสง 16 h ต่างจากการได้รับช่วงแสง 12 h จำนวน 8 วัน และต่างจากการได้รับช่วงแสง 8 h จำนวน 17 วัน



ภาพที่ 35 แสดงจำนวนเมล็ดต่อฝัก ( $n=12$ ) (a) จำนวนเมล็ดต่อต้น ( $n=3$ ) (b) มวลน้ำหนักสดของเมล็ด ( $n=9$ ) (c) และมวลน้ำหนักแห้งของเมล็ด ( $n=9$ ) (d) ของต้นพิทูเนียที่ได้รับช่วงแสงที่แตกต่างกัน เปรียบเทียบความแตกต่างของค่าเฉลี่ย  $\pm$  SE ด้วยวิธี Duncan's New Multiple Range Test (DMRT) ค่าเฉลี่ยที่ระบุด้วยอักษรเดียวกันไม่มีความแตกต่างอย่างมีนัยสำคัญทางสถิติ ( $P \leq 0.05$ )

การศึกษาปริมาณโปรตีนในเมล็ดพบว่า การได้รับช่วงแสงแตกต่างกันทั้ง 3 ช่วง ไม่มีผลทำให้ปริมาณโปรตีนในเมล็ดแตกต่างกัน(ภาพที่ 36a) เช่นเดียวกับความชื้นของเมล็ด ซึ่งไม่พบความแตกต่าง (ภาพที่ 36b) ส่วนเปอร์เซ็นต์การออกของเมล็ด พบว่า เมล็ดพิทูเนียปกติ (Normal seed) และเมล็ดพิทูเนียที่ผ่านการเร่งอายุ (Accelerated aging of seed) ของการได้รับช่วงแสง 16 h มีเปอร์เซ็นต์การออกค่อนข้างต่ำ อย่างไรก็ตาม เมล็ดที่ได้จากต้นพิทูเนียที่ได้รับช่วงแสงทั้ง 3 ช่วง มีเปอร์เซ็นต์การออกไม่เกิน 50 เปอร์เซ็นต์ (ภาพที่ 36c) นอกจากนี้ค่าเฉลี่ยจำนวนวันที่ใช้ในการออก (Mean Germination Time หรือ MGT) พบว่า ไม่มีความแตกต่างกัน (ภาพที่ 36d)



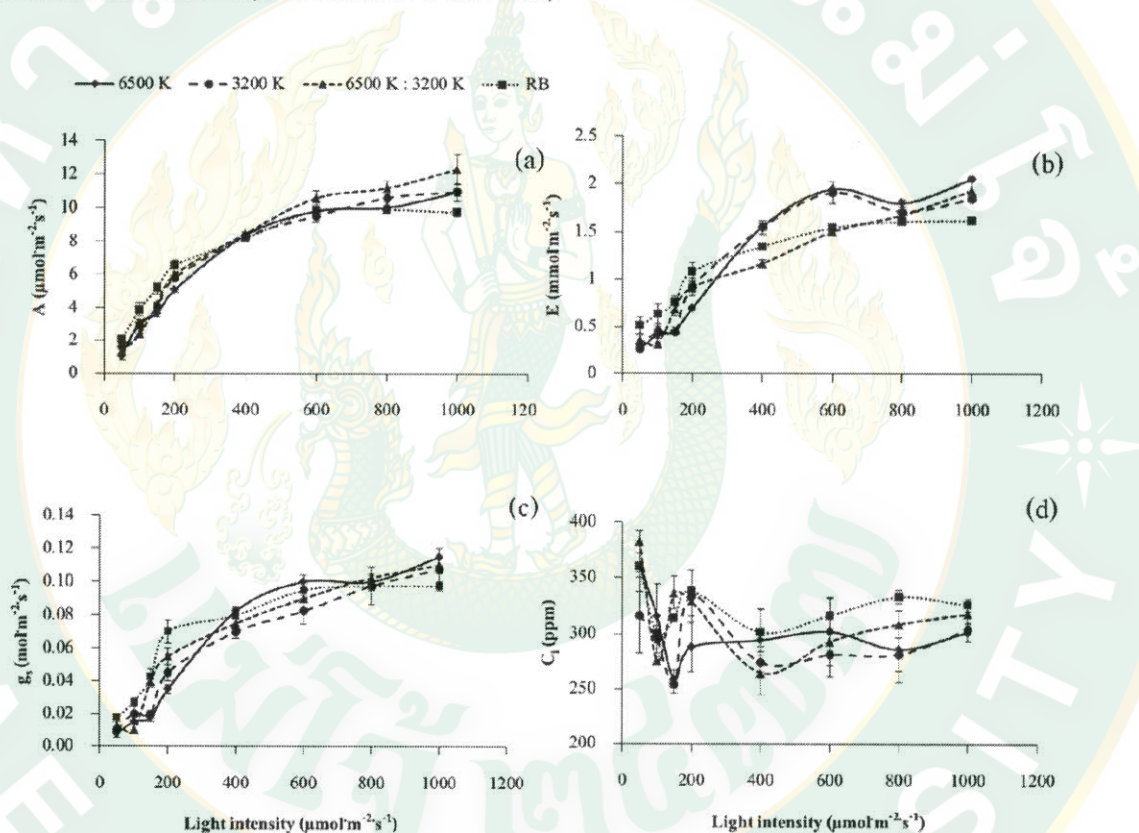
ภาพที่ 36 แสดงปริมาณโปรตีนในเมล็ด ( $n=12$ ) (a) ความชื้นเมล็ด ( $n=9$ ) (b) เปอร์เซ็นต์ความชื้น ( $n=7$ ) (c) และค่าเฉลี่ยจำนวนวันที่ใช้ในการงอก ( $n=7$ ) (d) ของดันพิทูเนียที่ได้รับช่วงแสงที่แตกต่างกัน เปรียบเทียบความแตกต่างของค่าเฉลี่ย  $\pm$  SE ด้วยวิธี Duncan's New Multiple Range Test (DMRT) ค่าเฉลี่ยที่ระบุด้วยอักษรเดียวกันไม่มีความแตกต่างอย่างมั่นยำตามทางสถิติ ( $P \leq 0.05$ )

หมายเหตุ เมล็ดที่ถูกนำมาใช้ในการตรวจสอบนี้ เป็นเมล็ดที่นำมาทดสอบโดยไม่ผ่านกระบวนการทำลายการพักตัวของเมล็ด

### การทดลองที่ 3 อิทธิพลของคุณภาพ และความเข้มแสงจากหลอด LED ต่อการเจริญเติบโตของต้นพิทูเนีย

การทดลองที่ 3.1 อิทธิพลของความเข้ม และคุณภาพแสง (Light response function) ต่อค่าดัชนีที่เกี่ยวข้องกับการแลกเปลี่ยนกําช

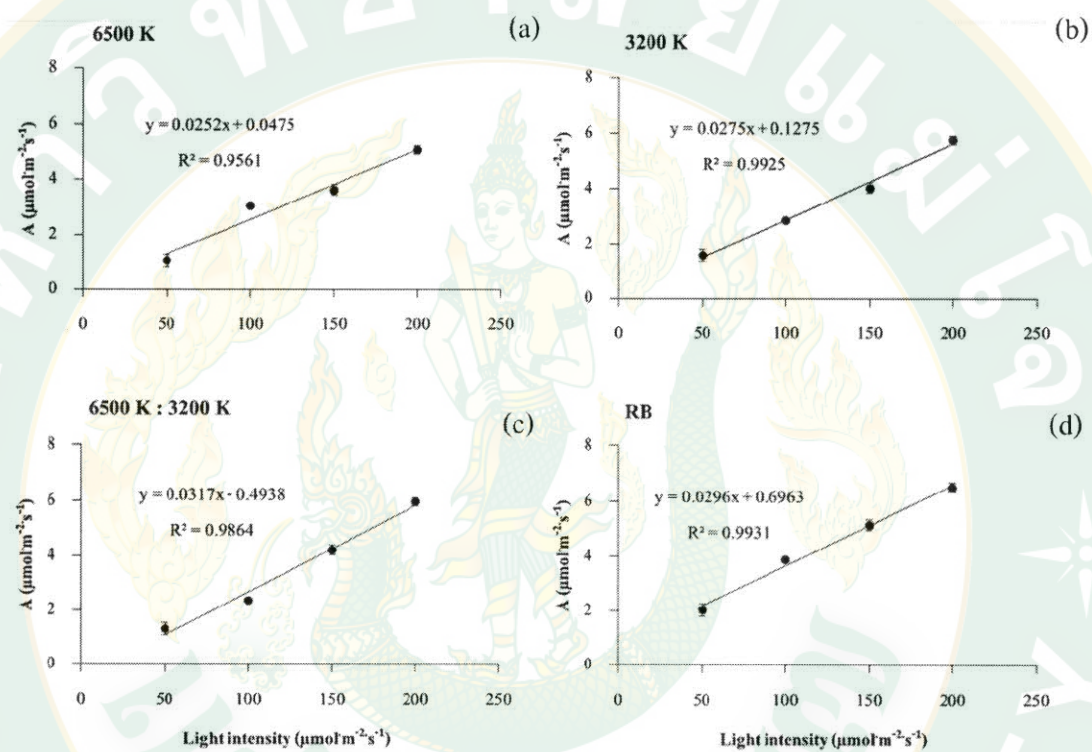
เส้นตอบสนองต่อแสงของคุณภาพแสงทั้ง 4 ตัวรับ พบว่า เส้นกราฟของค่าอัตราการสังเคราะห์แสง ค่าอัตราการคายระเหยของน้ำ และค่าอัตราการนำไหหล่องปากใบ เพิ่มขึ้นตามระดับความเข้มแสงที่เพิ่มขึ้น (ภาพที่ 37a 37b และ 37c)



ภาพที่ 37 แสดงเส้นตอบสนองต่อแสงทั้ง 4 ตัวรับ ได้แก่ 6500 K 3200 K 6500 K : 3200 K และ RB โดยแสดงความสัมพันธ์ระหว่างความเข้มแสงกับค่าดัชนีที่เกี่ยวข้องกับการแลกเปลี่ยนกําช ได้แก่ ค่าอัตราการสังเคราะห์แสง (a) ค่าอัตราการคายระเหยของน้ำ (b) ค่าอัตราการนำไหหล่องปากใบ (c) และปริมาณ  $\text{CO}_2$  ในช่องว่างระหว่างเซลล์ของใบพิทูเนีย (d) ( $n=4$ )

ในขณะที่ปริมาณ  $\text{CO}_2$  ในช่องว่างระหว่างเซลล์ของใบพิทูเนียลดต่ำลงในช่วงระดับความเข้มแสง  $50 - 150 \mu\text{mol}\cdot\text{m}^{-2}\cdot\text{s}^{-1}$  และมีค่าค่อนข้างคงที่ในช่วงระดับความเข้มแสงตั้งแต่  $200 - 1000 \mu\text{mol}\cdot\text{m}^{-2}\cdot\text{s}^{-1}$  (ภาพที่ 37d)

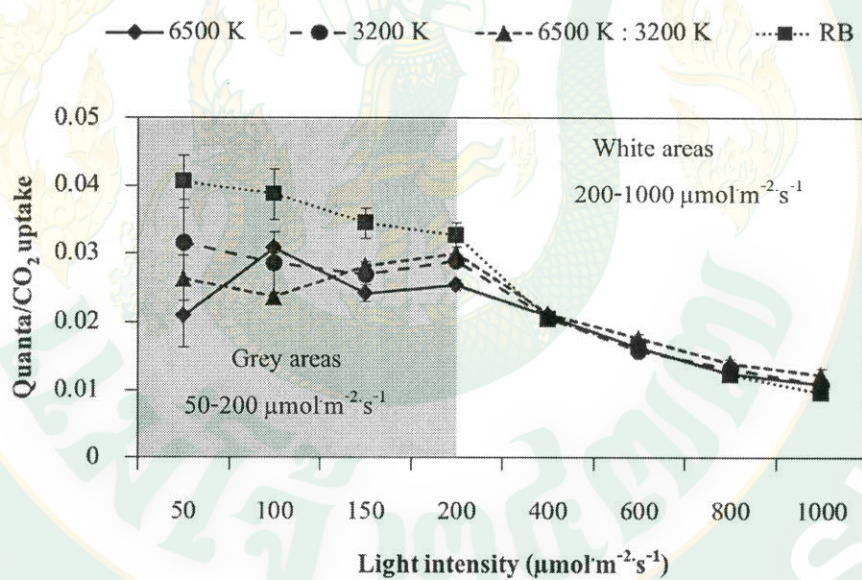
ความสัมพันธ์ระหว่างความเข้มแสงกับค่าอัตราการสังเคราะห์แสงภายใต้คุณภาพแสงทั้ง 4 ตัวรับ (ภาพที่ 38a 38b 38c และ 38d) พบว่า ตัวรับ 3200 K : 3200 K และ RB มีระดับความสัมพันธ์ที่ไม่แตกต่างกัน โดยตัวรับ 6500 K : 3200 K และ RB มีค่าความสัมพันธ์สูงที่สุดอย่างมีนัยสำคัญทางสถิตินอกจากนี้ ค่าความชันของเส้นแนวโน้มที่บ่งชี้ถึงประสิทธิภาพการใช้แสงพบว่า ตัวรับ 6500 K มีค่าต่ำที่สุดอย่างมีนัยสำคัญทางสถิติ (ตารางที่ 9)



ภาพที่ 38 แสดงความสัมพันธ์ระหว่างความเข้มแสง ( $50-200 \mu\text{mol}\cdot\text{m}^{-2}\cdot\text{s}^{-1}$ ) กับค่าอัตราการสังเคราะห์แสงภายใต้คุณภาพแสงทั้ง 4 ตัวรับ ( $n=4$ )

ตารางที่ 9 การวิเคราะห์ความแปรปรวนแบบจำแนกทางเดียวของค่าความชันของเส้นแนวโน้ม และ  $R^2$  ของความสัมพันธ์ระหว่างความเข้มแสง ( $50-200 \mu\text{mol}\cdot\text{m}^{-2}\cdot\text{s}^{-1}$ ) กับค่าอัตราการสังเคราะห์แสงภายใต้คุณภาพแสงทั้ง 4 ตัวรับ เปรียบเทียบความแตกต่างของค่าเฉลี่ย  $\pm$  SE ( $n=4$ ) ด้วยวิธี Duncan's New Multiple Range Test (DMRT) ค่าเฉลี่ยที่ระบุด้วยอักษรเดียวกันไม่มีความแตกต่างอย่างมีนัยสำคัญทางสถิติ ( $P \leq 0.05$ )

Treatment	Initial slope	$R^2$
6500 K	$0.0253 \pm 0.0011$ b	$0.95 \pm 0.0167$ b
3200 K	$0.0275 \pm 0.0013$ ab	$0.98 \pm 0.0029$ ab
6500 K : 3200 K	$0.0317 \pm 0.0015$ a	$0.98 \pm 0.0035$ a
RB	$0.0296 \pm 0.0014$ a	$0.99 \pm 0.0062$ a



ภาพที่ 39 แสดงความสัมพันธ์ระหว่างความเข้มแสงกับประสิทธิภาพการใช้พลังงานแสงในการตระึง  $\text{CO}_2$  (Quanta/ $\text{CO}_2$  uptake) ของใบพิทูเนียภายใต้คุณภาพแสงทั้ง 4 ตัวรับ ( $n=4$ )

ตารางที่ 10 การวิเคราะห์การถดถอยเพื่อเปรียบเทียบอิทธิพลของคุณภาพแสง และความเข้มแสง (พื้นที่สีเทาในภาพที่ 23 ;  $50-200 \mu\text{mol}\cdot\text{m}^{-2}\cdot\text{s}^{-1}$ ) ที่ส่งผลต่อประสิทธิภาพการใช้พลังงานแสงในการตรึง  $\text{CO}_2$  (Quanta/ $\text{CO}_2$  uptake) ( $n=4$ )

Dependent Variable	Unstandardized Coefficients		Standardized Coefficients		
	b	SE.	Bata	t	Sig.
Light quality	0.003	0.001	0.493	4.440	<0.001*
Light Intensity	<0.001	0.001	-0.062	-0.559	NS
$R^2 = 0.222$ ; SE = 0.00639 ; Sig = <0.001*					

หมายเหตุ (\*) คือ มีความแตกต่างกันทางสถิติอย่างมีนัยสำคัญที่ระดับ 0.05

NS คือ ไม่มีความแตกต่างกันทางสถิติ

ตารางที่ 11 การวิเคราะห์การถดถอยเพื่อเปรียบเทียบอิทธิพลของคุณภาพแสง และความเข้มแสง (พื้นที่สีขาวในภาพที่ 23 ;  $200-1000 \mu\text{mol}\cdot\text{m}^{-2}\cdot\text{s}^{-1}$ ) ที่ส่งผลต่อประสิทธิภาพการใช้พลังงานแสงในการตรึง  $\text{CO}_2$  (Quanta/ $\text{CO}_2$  uptake) ( $n=4$ )

Dependent Variable	Unstandardized Coefficients		Standardized Coefficients		
	b	SE.	Bata	t	Sig.
Light quality	<0.001	<0.001	0.073	1.819	NS
Light Intensity	-0.004	<0.001	-0.932	-23.070	<0.001*
$R^2 = 0.871$ ; SE = 0.00242 ; Sig = <0.001*					

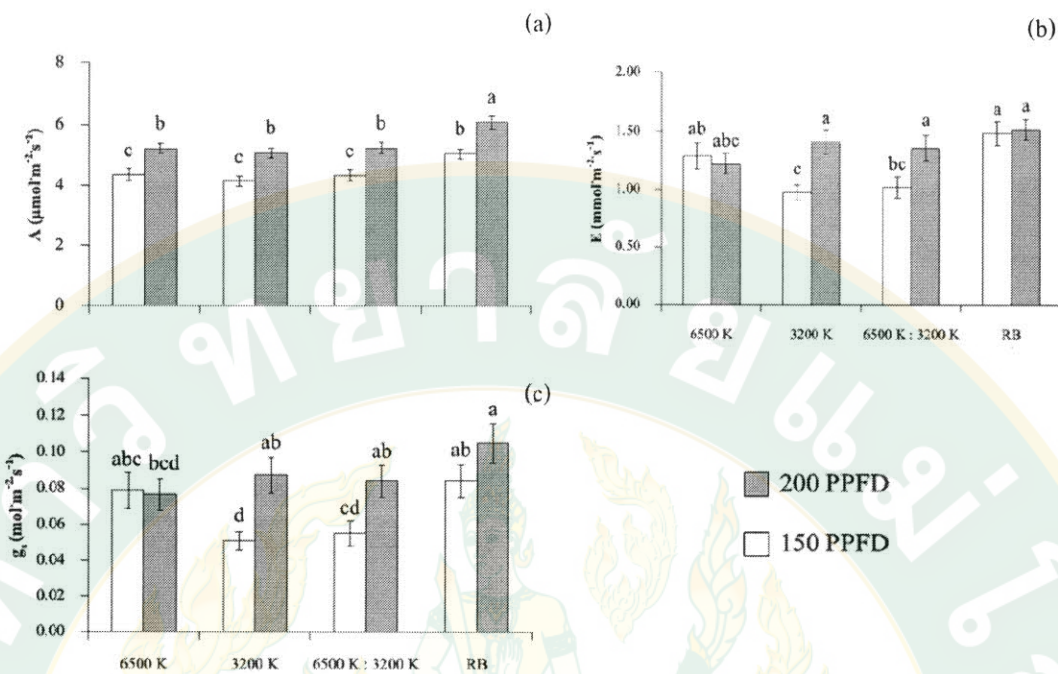
หมายเหตุ (\*) คือ มีความแตกต่างกันทางสถิติอย่างมีนัยสำคัญที่ระดับ 0.05

NS คือ ไม่มีความแตกต่างกันทางสถิติ

ในการวิเคราะห์ความสัมพันธ์ระหว่างความเข้มแสงกับประสิทธิภาพการใช้พลังงานแสงในการตระบ์  $\text{CO}_2$  ภายใต้คุณภาพแสงทั้ง 4 ตัวรับ พบร้า ความเข้มแสงที่แตกต่างกันในระดับ  $50-200 \mu\text{mol}\cdot\text{m}^{-2}\cdot\text{s}^{-1}$  ไม่ส่งผลให้ค่าประสิทธิภาพการใช้พลังงานแสงในการตระบ์  $\text{CO}_2$  เปลี่ยนแปลงอย่างมีนัยสำคัญทางสถิติ ในขณะที่คุณภาพแสงทั้ง 4 ตัวรับเมื่อได้รับความเข้มแสงเหมือนกันของช่วงระดับความเข้มแสงดังกล่าว ส่งผลให้ประสิทธิภาพการใช้พลังงานแสงในการตระบ์  $\text{CO}_2$  มีความแตกต่างกันอย่างมีนัยสำคัญทางสถิติ (ภาพที่ 39 และตารางที่ 10) ส่วนการได้รับความเข้มแสงที่ระดับ  $200-1000 \mu\text{mol}\cdot\text{m}^{-2}\cdot\text{s}^{-1}$  พบร้า ความเข้มแสงที่สูงกว่า  $200 \mu\text{mol}\cdot\text{m}^{-2}\cdot\text{s}^{-1}$  เป็นต้นไป ส่งผลให้ประสิทธิภาพการใช้พลังงานแสงในการตระบ์  $\text{CO}_2$  ลดต่ำลงต่อเนื่อง และแตกต่างกันอย่างมีนัยสำคัญทางสถิติ นอกจากนี้คุณภาพแสงในแต่ละตัวรับนั้น มีพิษทางความสัมพันธ์ไปในทางเดียวกัน ในขณะที่ ประสิทธิภาพการใช้พลังงานแสงในการตระบ์  $\text{CO}_2$  ระหว่างคุณภาพแสงทั้ง 4 ตัวรับ ไม่พบความแตกต่างกันอย่างมีนัยสำคัญทางสถิติ (ภาพที่ 39 และตารางที่ 11)

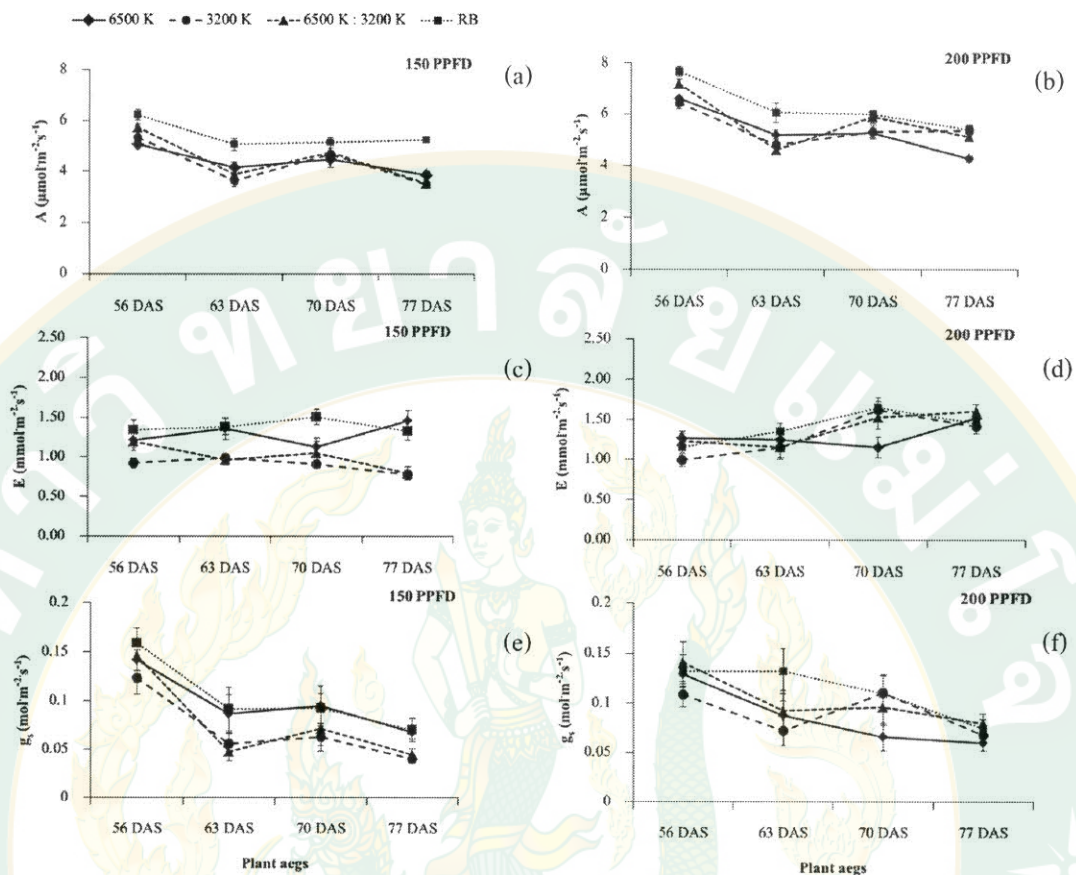
### การทดลองที่ 3.2 อิทธิพลของคุณภาพแสง และความเข้มแสงต่อการเจริญเติบโตทั้งทางด้านสีริวิทยา และสันฐานวิทยา

การศึกษาค่าดัชนีที่เกี่ยวข้องกับการแลกเปลี่ยนกําชภายในใต้คุณภาพแสง และความเข้มแสง ที่แตกต่างกันพบว่า คุณภาพแสงทั้ง 4 ตัวรับ เมื่อได้รับความเข้มแสงที่ระดับ  $200 \mu\text{mol}\cdot\text{m}^{-2}\cdot\text{s}^{-1}$  ส่งผลให้ค่าอัตราการสังเคราะห์มีค่าสูงกว่าการได้รับความเข้มแสง  $150 \mu\text{mol}\cdot\text{m}^{-2}\cdot\text{s}^{-1}$  โดยตัวรับ RB ที่ระดับความเข้มแสง  $200 \mu\text{mol}\cdot\text{m}^{-2}\cdot\text{s}^{-1}$  มีค่าสูงที่สุดอย่างมีนัยสำคัญทางสถิติ นอกจากนี้ยังพบว่าค่าอัตราการสังเคราะห์แสงของตัวรับ  $6500 \text{ K}$   $3200 \text{ K}$  และ  $6500 \text{ K} : 3200 \text{ K}$  ที่ระดับความเข้มแสง  $200 \mu\text{mol}\cdot\text{m}^{-2}\cdot\text{s}^{-1}$  ไม่มีความแตกต่างกันอย่างมีนัยสำคัญทางสถิติ กับตัวรับ RB ที่ระดับความเข้มแสง  $150 \mu\text{mol}\cdot\text{m}^{-2}\cdot\text{s}^{-1}$  (ภาพที่ 40a) ส่วนค่าอัตราการคายระเหยของน้ำ และค่าอัตราการนำไหหล่องปากใบ พบร้า ตัวรับ  $3200 \text{ K}$  และ  $6500 \text{ K} : 3200 \text{ K}$  มีค่าอัตราการคายระเหยของน้ำ และค่าอัตราการนำไหหล่องปากใบที่สอดคล้องกับค่าอัตราการสังเคราะห์แสง โดยทั้งสองตัวรับนี้เมื่อได้รับความเข้มแสงที่ระดับ  $200 \mu\text{mol}\cdot\text{m}^{-2}\cdot\text{s}^{-1}$  มีค่าดัชนีที่เกี่ยวข้องกับการแลกเปลี่ยนกําชที่ไม่แตกต่างกัน และมีค่าสูงกว่าการได้รับความเข้มแสงที่ระดับ  $150 \mu\text{mol}\cdot\text{m}^{-2}\cdot\text{s}^{-1}$  อย่างมีนัยสำคัญทางสถิติ ในขณะที่ตัวรับ  $6500 \text{ K}$  และ RB พบร้าการได้รับความเข้มแสงที่ระดับ  $200 \mu\text{mol}\cdot\text{m}^{-2}\cdot\text{s}^{-1}$  มีค่าอัตราการคายระเหยของน้ำ และค่าอัตราการนำไหหล่องปากใบ ไม่แตกต่างกันอย่างมีนัยสำคัญทางสถิติกับการได้รับความเข้มแสงที่ระดับ  $150 \mu\text{mol}\cdot\text{m}^{-2}\cdot\text{s}^{-1}$  และไม่สอดคล้องกับค่าอัตราการสังเคราะห์แสง (ภาพที่ 40a และ 40b)

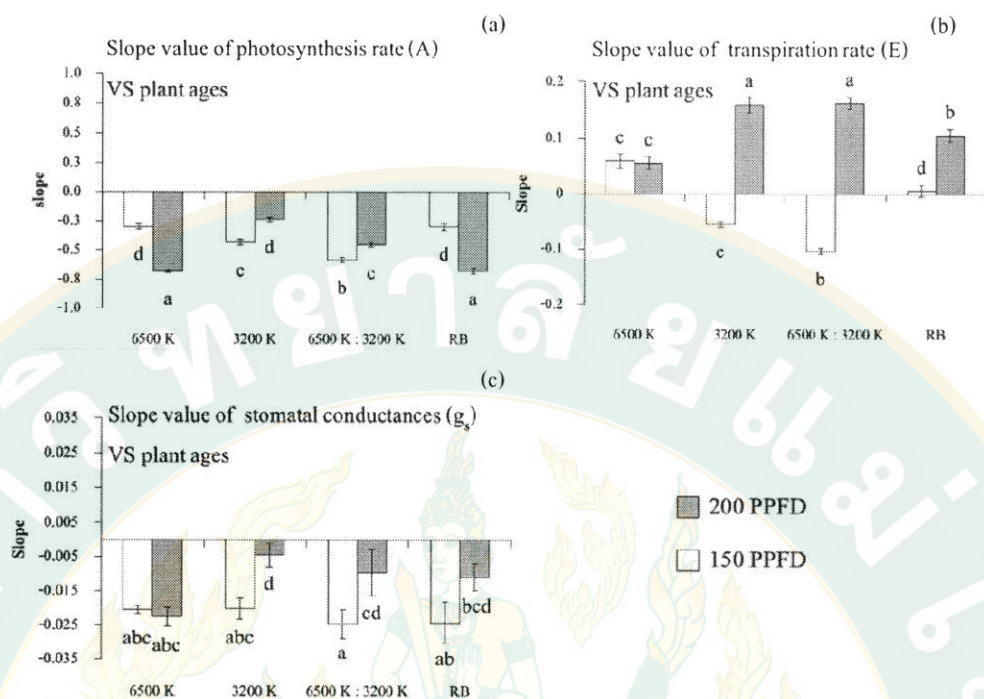


ภาพที่ 40 แสดงค่าดัชนีที่เกี่ยวข้องกับการแลกเปลี่ยนกําช ได้แก่ ค่าอัตราการสังเคราะห์แสง (a) ค่าอัตราการหายใจของน้ำ (b) และค่าอัตราการนำไหหลอกปากใบ (c) ของใบพิทูเนียในช่วงอายุ 63-70 วันหลังเพาะเมล็ด โดยได้รับคุณภาพแสงที่แตกต่างกัน 4 ตัวรับ ได้แก่ 6500 K 3200 K 6500 K : 3200 K และ RB และได้รับความเข้มแสง 2 ระดับ คือ 200 และ  $150 \mu\text{mol}\cdot\text{m}^{-2}\cdot\text{s}^{-1}$  เปรียบเทียบความแตกต่างของค่าเฉลี่ย  $\pm \text{SE}$  ( $n=28$ ) ด้วยวิธี Duncan's New Multiple Range Test (DMRT) ค่าเฉลี่ยที่ระบุด้วยอักษรเดียวกันไม่มีความแตกต่างอย่างมีนัยสำคัญทางสถิติ ( $P \leq 0.05$ )

การศึกษาความสัมพันธ์ของค่าดัชนีที่เกี่ยวข้องกับการแลกเปลี่ยนกําชกับอายุพืชภายใต้คุณภาพแสง และความเข้มแสงที่แตกต่างกัน พบว่า ตัวรับ 3200 K และ 6500 K : 3200 K มีลักษณะความสัมพันธ์ไปในทิศทางเดียวกัน โดยอายุพืชที่เพิ่มขึ้นส่งผลให้ค่าการนำไหหลอกปากใบลดต่ำลง ซึ่งการได้รับความเข้มแสง  $150 \mu\text{mol}\cdot\text{m}^{-2}\cdot\text{s}^{-1}$  มีความชันของเส้นแนวโน้มหรืออัตราการลดลงมากกว่าการได้รับความเข้มแสง  $200 \mu\text{mol}\cdot\text{m}^{-2}\cdot\text{s}^{-1}$  อย่างมีนัยสำคัญทางสถิติ ส่วนค่าการหายใจเพิ่มขึ้นตามอายุพืชที่เพิ่มขึ้น ในขณะที่ ตัวรับ 6500 K และ RB มีลักษณะความสัมพันธ์ทั้งค่าอัตราการสังเคราะห์แสง และค่าการนำไหหลอกปากใบกับอายุพืชของความเข้มแสงทั้ง 2 ระดับไปในทิศทางเดียวกัน (ภาพที่ 41 และภาพที่ 42)

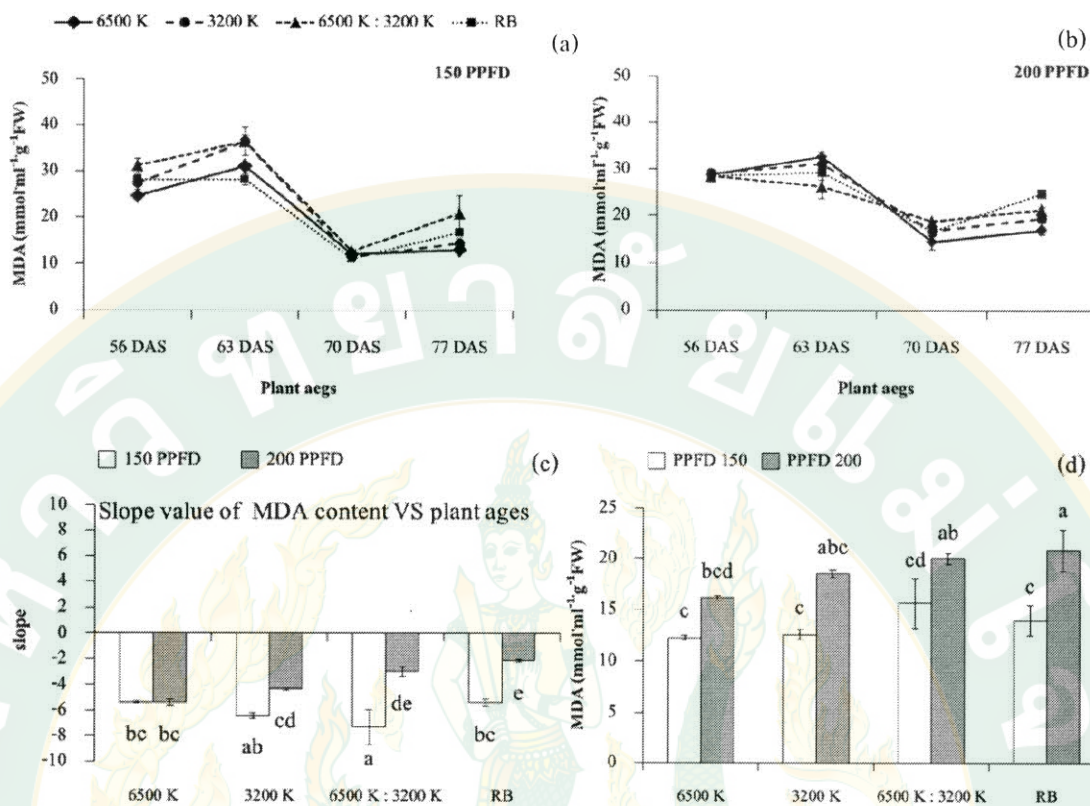


ภาพที่ 41 แสดงค่าดัชนีที่เกี่ยวข้องกับการแลกเปลี่ยนกําช ได้แก่ ค่าอัตราการสังเคราะห์แสง (a และ b) ค่าอัตราการหายใจของน้ำ (c และ d) และค่าอัตราการนำไหลงของปากใบ (e และ f) ของใบพิทูเนียตั้งแต่อายุ 56-77 วันหลังเพาะเมล็ด โดยได้รับคุณภาพแสงที่แตกต่างกัน 4 ตำแหน่ง ได้แก่ 6500 K 3200 K 6500 K : 3200 K และ RB และได้รับความเข้มแสง 2 ระดับ คือ  $200 \mu\text{mol}\cdot\text{m}^{-2}\cdot\text{s}^{-1}$  (b d และ f) และ  $150 \mu\text{mol}\cdot\text{m}^{-2}\cdot\text{s}^{-1}$  (a c และ e) ( $n=12$ )



ภาพที่ 42 แสดงค่าความชันของเส้นแนวโน้ม และทิศทางความสัมพันธ์ (ค่าความชันของเส้นแนวโน้มที่ติดลบ หมายถึง อายุพืชที่เพิ่มขึ้นส่งผลให้ค่าดัชนีที่เกี่ยวข้องกับการแลกเปลี่ยนกําชลดลง ค่าความชันของเส้นแนวโน้มที่เป็นบวก หมายถึง อายุพืชที่เพิ่มขึ้นส่งผลให้ค่าดัชนีที่เกี่ยวข้อง กับการแลกเปลี่ยนกําชเพิ่มขึ้น) ระหว่างค่าดัชนีที่เกี่ยวข้องกับการแลกเปลี่ยนกําชกับ อายุพืช เปรียบเทียบความแตกต่างของค่าเฉลี่ย  $\pm$  SE ( $n=12$ ) ด้วยวิธี Duncan's New Multiple Range Test (DMRT) ค่าเฉลี่ยที่ระบุด้วยอักษรเดียวกัน ไม่มีความแตกต่างอย่างมีนัยสำคัญทางสถิติ ( $P \leq 0.05$ )

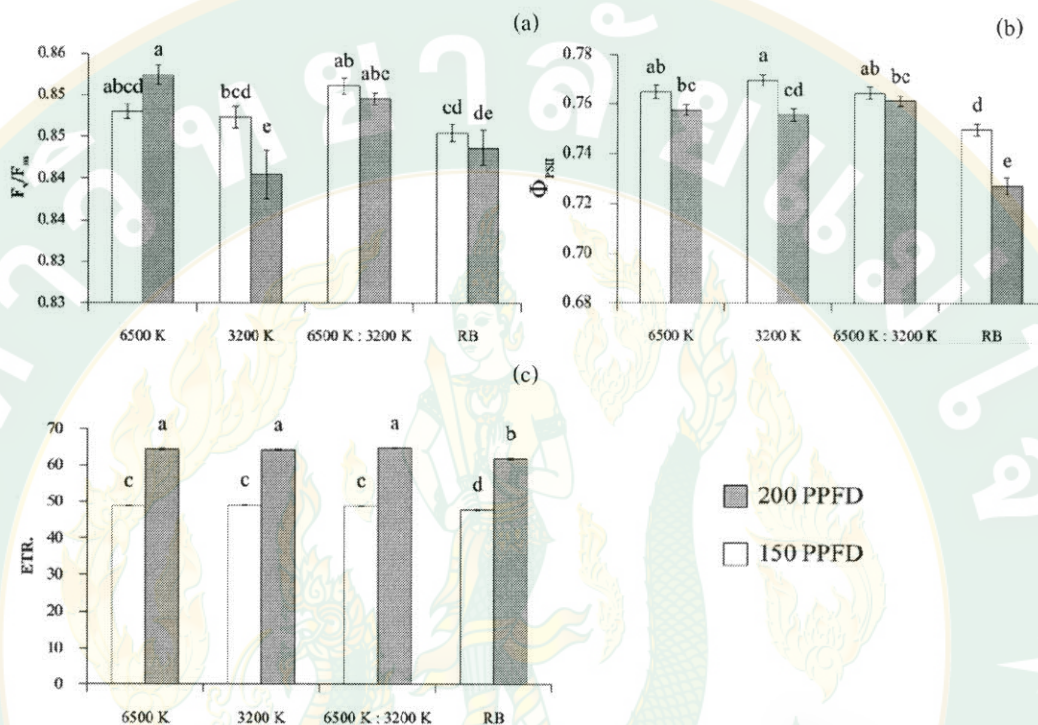
การศึกษาปริมาณ MDA ภายใต้คุณภาพแสง และความเข้มแสงที่แตกต่างกันพบว่า พิทูเนีย ที่ได้รับแสงหั้ง 4 ตำรับ ที่ระดับความเข้มแสง  $200 \mu\text{mol}\cdot\text{m}^{-2}\cdot\text{s}^{-1}$  มีปริมาณ MDA ในใบสูงกว่าการ ได้รับความเข้มแสง  $150 \mu\text{mol}\cdot\text{m}^{-2}\cdot\text{s}^{-1}$  อย่างมีนัยสำคัญทางสถิติ นอกจากนี้ต้นที่ได้รับความเข้มแสง  $150 \mu\text{mol}\cdot\text{m}^{-2}\cdot\text{s}^{-1}$  ทุกตำรับมีปริมาณ MDA ในใบไม่แตกต่างกันอย่างมีนัยสำคัญ ในขณะที่การได้รับ ความเข้มแสง  $200 \mu\text{mol}\cdot\text{m}^{-2}\cdot\text{s}^{-1}$  พบรากต้นที่ได้รับแสง RB มีปริมาณ MDA ในใบสูงกว่า ตำรับ 6500 K อย่างมีนัยสำคัญทางสถิติ (ภาพที่ 43d)



ภาพที่ 43 แสดงปริมาณ MDA ในใบพิทูเนียตั้งแต่อายุ 56-77 วันหลังเพาะเมล็ด โดยได้รับคุณภาพแสงที่แตกต่างกัน 4 ตัวรับ ได้แก่ 6500 K 3200 K 6500 K : 3200 K และ RB และได้รับความเข้มแสง 2 ระดับ คือ  $150 \mu\text{mol}\cdot\text{m}^{-2}\cdot\text{s}^{-1}$  ( $n=3$ ) (a) และ  $200 \mu\text{mol}\cdot\text{m}^{-2}\cdot\text{s}^{-1}$  ( $n=3$ ) (b) แสดงค่าความชันของเส้นแนวโน้ม และทิศทางความสัมพันธ์ (ค่าความชันของเส้นแนวโน้มด้านลบคือ อายุพืชที่เพิ่มขึ้นส่งผลให้ปริมาณ MDA ลดลง ค่าความชันของเส้นแนวโน้มด้านบวกคือ อายุพืชที่เพิ่มขึ้นส่งผลให้ปริมาณ MDA เพิ่มขึ้น) ปริมาณ MDA กับอายุพืช ( $n=3$ ) (c) และเปรียบเทียบปริมาณ MDA ระหว่างความเข้มแสง 2 ระดับ ภายใต้คุณภาพแสงทั้ง 4 ตัวรับของใบพิทูเนียในช่วงอายุ 70-77 วันหลังเพาะเมล็ด (d) ( $n=4$ )  
เปรียบเทียบความแตกต่างของค่าเฉลี่ย  $\pm \text{SE}$  ด้วยวิธี Duncan's New Multiple Range Test (DMRT) ค่าเฉลี่ยที่ระบุด้วยอักษรเดียวกันไม่มีความแตกต่างอย่างมีนัยสำคัญทางสถิติ ( $P \leq 0.05$ )

การศึกษาความสัมพันธ์ของปริมาณ MDA ในใบกับอายุพืชภายใต้คุณภาพแสง และความเข้มแสงที่แตกต่างกัน พบร่วม อายุพืชที่เพิ่มขึ้นส่งผลให้ปริมาณ MDA ในใบลดต่ำลงเมื่อเทียบกันในทุกตัวรับแสง ซึ่งการได้รับความเข้มแสง  $150 \mu\text{mol}\cdot\text{m}^{-2}\cdot\text{s}^{-1}$  ของตัวรับ 3200 K 6500 K : 3200 K และ RB มีค่าความชันของเส้นแนวโน้มหรืออัตราการลดลงของปริมาณ MDA มากกว่าการได้รับ

ความเข้มแสง 200 อย่างมีนัยสำคัญทางสถิติ โดยตัวรับ RB ที่ระดับความเข้มแสง  $200 \mu\text{mol}\cdot\text{m}^{-2}\cdot\text{s}^{-1}$  มีค่าความชันของเส้นแนวโน้มหรืออัตราการลดลงของปริมาณ MDA ต่ำที่สุด (ภาพที่ 43a 43b และ 43c)

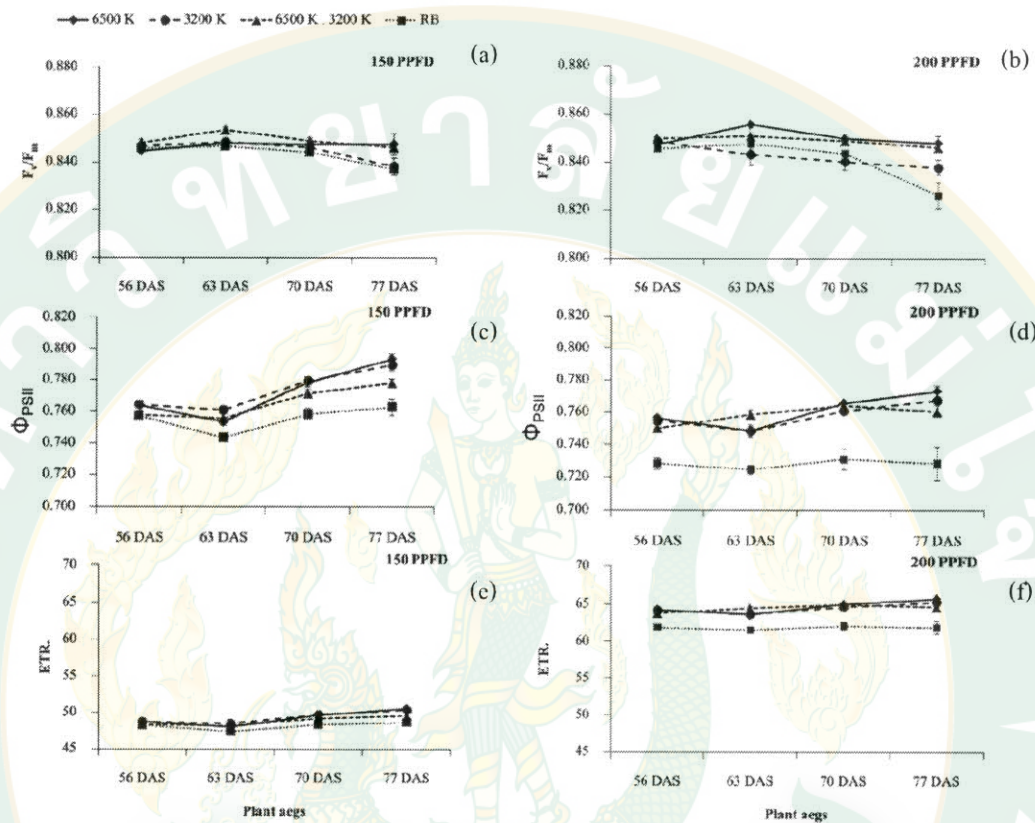


ภาพที่ 44 แสดงค่า  $F_v/F_m$  (a)  $\Phi_{PSII}$  (b) และ ETR (Electron Transport Rate) (d) ของใบพิทูเนียในช่วงอายุ 63-70 วันหลังเพาะเมล็ด โดยได้รับคุณภาพแสงที่แตกต่างกัน 4 ตัวรับได้แก่ 6500 K 3200 K 6500 K : 3200 K และ RB และได้รับความเข้มแสง 2 ระดับ คือ 200 และ  $150 \mu\text{mol}\cdot\text{m}^{-2}\cdot\text{s}^{-1}$  เปรียบเทียบความแตกต่างของค่าเฉลี่ย  $\pm$  SE ( $n=28$ )

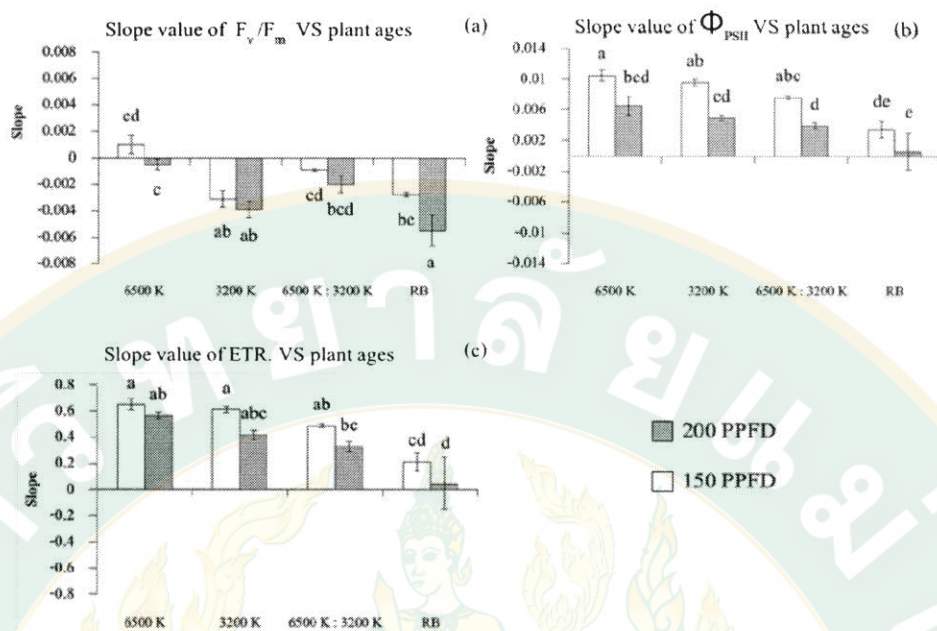
ด้วยวิธี Duncan's New Multiple Range Test (DMRT) ค่าเฉลี่ยที่ระบุด้วยอักษรเดียวกันไม่มีความแตกต่างอย่างมีนัยสำคัญทางสถิติ ( $P \leq 0.05$ )

การศึกษาประสิทธิภาพการใช้แสงสูงสุดของ PSII ( $F_v/F_m$ ) ภายใต้คุณภาพแสง และความเข้มแสงที่แตกต่างของใบพิทูเนีย พบว่า ทุกตัวรับมีค่า  $F_v/F_m$  อยู่ในช่วง 0.84-0.86 โดย ตัวรับ 3200 K ที่ระดับความเข้มแสง  $200 \mu\text{mol}\cdot\text{m}^{-2}\cdot\text{s}^{-1}$  มีค่า  $F_v/F_m$  ต่ำที่สุด (ภาพที่ 44a) ส่วนค่าประสิทธิภาพการใช้แสงของระบบ PSII ในสภาพสว่าง ( $\Phi_{PSII}$ ) และค่าอัตราการเคลื่อนย้ายอิเล็กตรอน (Electron Transport Rate หรือ ETR) พบว่า ตัวรับ RB ที่ระดับความเข้มแสงเดียวกัน มีค่า  $\Phi_{PSII}$  และ ETR ต่ำกว่าตัวรับอื่น ๆ อย่างมีนัยสำคัญทางสถิติ นอกจากนี้อัตราการเคลื่อนย้าย

อิเล็กตรอนภายในได้ความเข้มแสง  $200 \mu\text{mol}\cdot\text{m}^{-2}\cdot\text{s}^{-1}$  ของคุณภาพแสงทั้ง 4 ตัวรับ ก็มีค่าสูงกว่า การได้รับความเข้มแสง  $150 \mu\text{mol}\cdot\text{m}^{-2}\cdot\text{s}^{-1}$  อย่างมีนัยสำคัญทางสถิติ (ภาพที่ 44b และ 44c)



ภาพที่ 45 แสดงประสิทธิภาพการใช้แสงสูงสุดของ PSII (maximum quantum efficiency) ได้แก่  $F_v/F_m$  (a และ b)  $\Phi_{PSII}$  (c และ d) และ ETR (e และ f) ของใบพิทูเนียตั้งแต่อายุ 56-77 วันหลังเพาะเมล็ด โดยได้รับคุณภาพแสงที่แตกต่างกัน 4 ตัวรับได้แก่ 6500 K, 3200 K, 6500 K : 3200 K และ RB ได้รับความเข้มแสง 2 ระดับ คือ  $150 \mu\text{mol}\cdot\text{m}^{-2}\cdot\text{s}^{-1}$  (a, c และ e) และ  $200 \mu\text{mol}\cdot\text{m}^{-2}\cdot\text{s}^{-1}$  (b, d และ f) ( $n=12$ )



ภาพที่ 46 แสดงค่าความชันของเส้นแนวโน้ม และทิศทางความสัมพันธ์ (ค่าความชันของเส้นแนวโน้มด้านลบ คือ อายุพืชที่เพิ่มขึ้นส่งผลให้ประสิทธิภาพการใช้แสงสูงสุดของ PSII ลดลง ค่าความชันของเส้นแนวโน้มด้านบวก คือ อายุพืชที่เพิ่มขึ้นส่งผลให้ประสิทธิภาพการใช้แสงสูงสุดของ PSII เพิ่มขึ้น) ระหว่างประสิทธิภาพการใช้แสงสูงสุดของ PSII กับอายุพืช เปรียบเทียบ ความแตกต่างของค่าเฉลี่ย  $\pm$  SE ( $n=12$ ) ด้วยวิธี Duncan's New Multiple Range Test (DMRT) ค่าเฉลี่ยที่ระบุด้วยอักษรเดียวกันไม่มีความแตกต่างอย่างมีนัยสำคัญทางสถิติ ( $P \leq 0.05$ )

ในการศึกษาความสัมพันธ์ระหว่างค่าประสิทธิภาพการใช้แสงสูงสุดของ PSII กับอายุพืช ภายใต้คุณภาพแสง และความเข้มแสงที่แตกต่างกัน พบร่วม อายุพืชที่เพิ่มขึ้นของต้นพิทูเนียภายใต้ คำรับ 6500 K และ 6500 K : 3200 K ที่ระดับความเข้มแสงทั้งสองระดับ ส่งผลต่อค่า  $F_v/F_m$  น้อยกว่าคำรับ 3200 K และ RB อย่างมีนัยสำคัญทางสถิติ (ภาพที่ 45a และ 45b และภาพที่ 46a) ส่วนค่า  $\Phi_{PSII}$  และ ETR มีความสัมพันธ์ไปในทิศทางเดียวกัน โดยอายุพืชที่เพิ่มขึ้นส่งผลให้ค่า  $\Phi_{PSII}$  และ ETR เพิ่มขึ้น ซึ่งอัตราการเพิ่มขึ้นของ  $\Phi_{PSII}$  และ ETR ภายใต้ความเข้มแสง 200  $\mu\text{mol}\cdot\text{m}^{-2}\cdot\text{s}^{-1}$  ของคุณภาพแสงทุกคำรับ ต่ำกว่าการได้รับความเข้มแสง 150  $\mu\text{mol}\cdot\text{m}^{-2}\cdot\text{s}^{-1}$  อย่างมีนัยสำคัญทางสถิติ นอกจากนี้ คำรับ RB มีอัตราการเปลี่ยนแปลงของ  $\Phi_{PSII}$  และ ETR ต่ำที่สุด (ภาพที่ 45d และ 45e และภาพที่ 46b และ 46c)

ตารางที่ 12 การวิเคราะห์ความแปรปรวนแบบจำแนกทางเดียว สองทาง และสามทางของอายุพีช  
 (A) คุณภาพแสง (B) และความเข้มแสง (C) ที่มีผลต่อค่าพารามิเตอร์ต่าง ๆ ของค่าดัชนีที่เกี่ยวข้องกับการแลกเปลี่ยนกําช และประสิทธิภาพการใช้แสงสูงสุดของ PSII

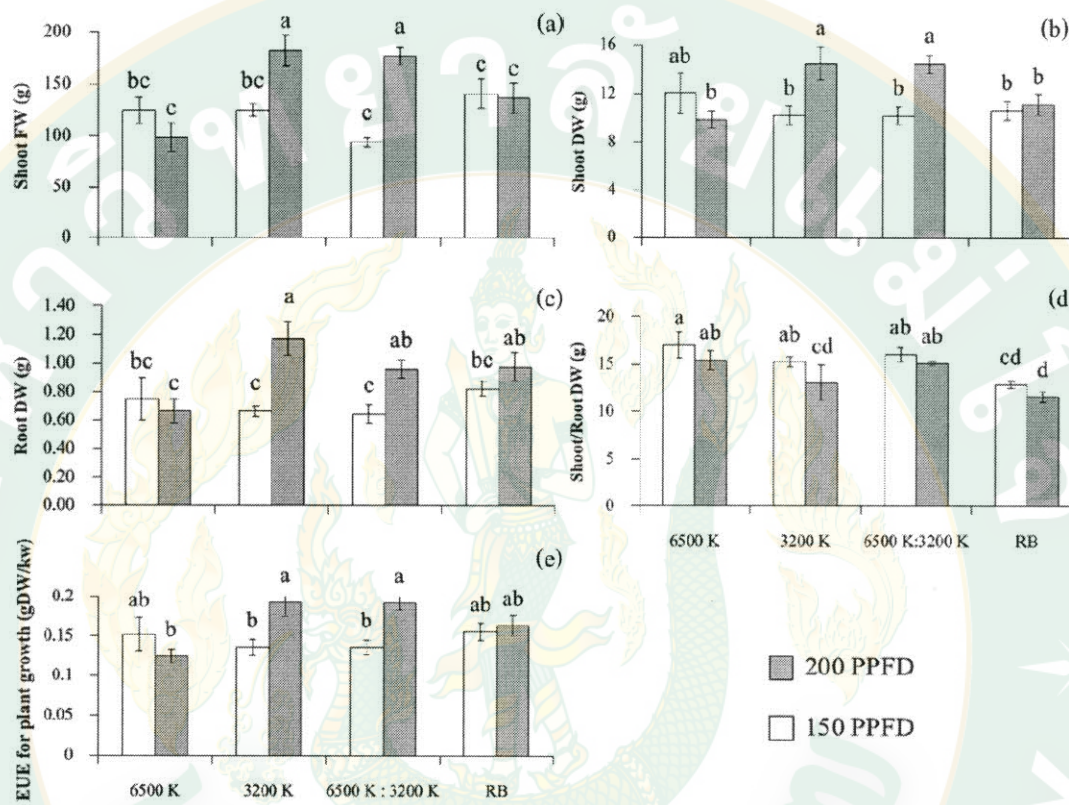
Dependent variables	Independent variables						
	A	B	C	A × B	A × C	B × C	A × B × C
A (n=12)	>0.01**	>0.01**	>0.01**	>0.01**	NS	NS	0.01*
E (n=12)	>0.01**	>0.01**	>0.01**	>0.01**	>0.01**	>0.01**	NS
g <sub>s</sub> (n=12)	>0.01**	0.01*	NS	NS	0.048*	NS	NS
MDA. (n=3)	>0.01**	0.01*	>0.01**	0.01*	>0.01**	0.01*	>0.01**
F <sub>v</sub> /F <sub>m</sub> (n=12)	>0.01**	>0.01**	NS	>0.01**	NS	0.028*	NS
Φ <sub>PSII</sub> (n=12)	>0.01**	>0.01**	>0.01**	>0.01**	>0.01**	>0.01**	NS
ETR. (n=12)	>0.01**	>0.01**	>0.01**	>0.01**	NS	>0.01**	NS

หมายเหตุ ตัวเลขที่ระบุในตารางแสดงค่า P (p-value) โดย P < 0.01 = (\*\*) มีความแตกต่างกันทางสถิติอย่างมีนัยสำคัญยิ่ง P < 0.05 = (\*) มีความแตกต่างกันทางสถิติอย่างมีนัยสำคัญ P ≥ 0.05 = (NS) ไม่มีความแตกต่างกันทางสถิติ

จากการวิเคราะห์ความแปรปรวนแบบจำแนกทางเดียว พบร่วม อายุพีช และคุณภาพแสง ส่งผลให้ค่าพารามิเตอร์ที่ทำการตรวจวัดทั้งหมดมีความแตกต่างกันอย่างมีนัยสำคัญทางสถิติ ในขณะที่ความเข้มแสงไม่มีผลต่อค่าการนำไฟลของปากใบ และ F<sub>v</sub>/F<sub>m</sub> แตกต่างอย่างมีนัยสำคัญทางสถิติ (ตารางที่ 12)

การวิเคราะห์ความแปรปรวนแบบจำแนกสองทางของปฏิสัมพันธ์ระหว่างอายุพีชกับคุณภาพแสง พบร่วม อายุพีชที่ส่งผลต่อค่าการนำไฟลของปากใบเหมือนกันภายใต้คุณภาพแสงทั้ง 4 ตำรับ ส่วนปฏิสัมพันธ์ระหว่างอายุพีชกับความเข้มแสง พบร่วม อายุพีชที่แตกต่างกันส่งผลต่ออัตราการอัตราการสังเคราะห์แสง (A) F<sub>v</sub>/F<sub>m</sub> และ ETR เมื่อกันในทุกความเข้มแสง ในส่วนของการวิเคราะห์ปฏิสัมพันธ์ระหว่างคุณภาพแสงกับความเข้มแสง พบร่วม คุณภาพแสงส่งผลต่ออัตราการสังเคราะห์แสง และค่าการนำไฟลของปากใบเหมือนกันในทุกความเข้มแสง (ตารางที่ 12)

การวิเคราะห์ความแปรปรวนแบบจำแนกสามทางของอายุพืช คุณภาพแสง และความเข้มแสง พบร่วมกันในตัวแปรทั้ง 3 ไม่มีปฏิสัมพันธ์ต่อกันในการทำให้เกิดความแปรปรวนของค่าดังนี้ ที่ทำการวัดทั้งหมด ยกเว้นเพียงค่าอัตราการสังเคราะห์แสง และปริมาณ MDA (ตารางที่ 12)



ภาพที่ 47 แสดงมวลน้ำหนักสต (a) และมวลน้ำหนักแห้งส่วนลำต้น (b) มวลน้ำหนักแห้งส่วนราก (c) สัดส่วนของมวลน้ำหนักแห้งส่วนลำต้นต่อมวลน้ำหนักแห้งส่วนราก (d) และประสิทธิภาพการเปลี่ยนพลังงานเป็นมวลสารแห้ง (e) เปรียบเทียบความแตกต่างของค่าเฉลี่ย  $\pm$  SE ( $n=6$ )

ด้วยวิธี Duncan's New Multiple Range Test (DMRT) ค่าเฉลี่ยที่ระบุด้วยอักษร

เดียวกันไม่มีความแตกต่างอย่างมีนัยสำคัญทางสถิติ ( $P \leq 0.05$ )

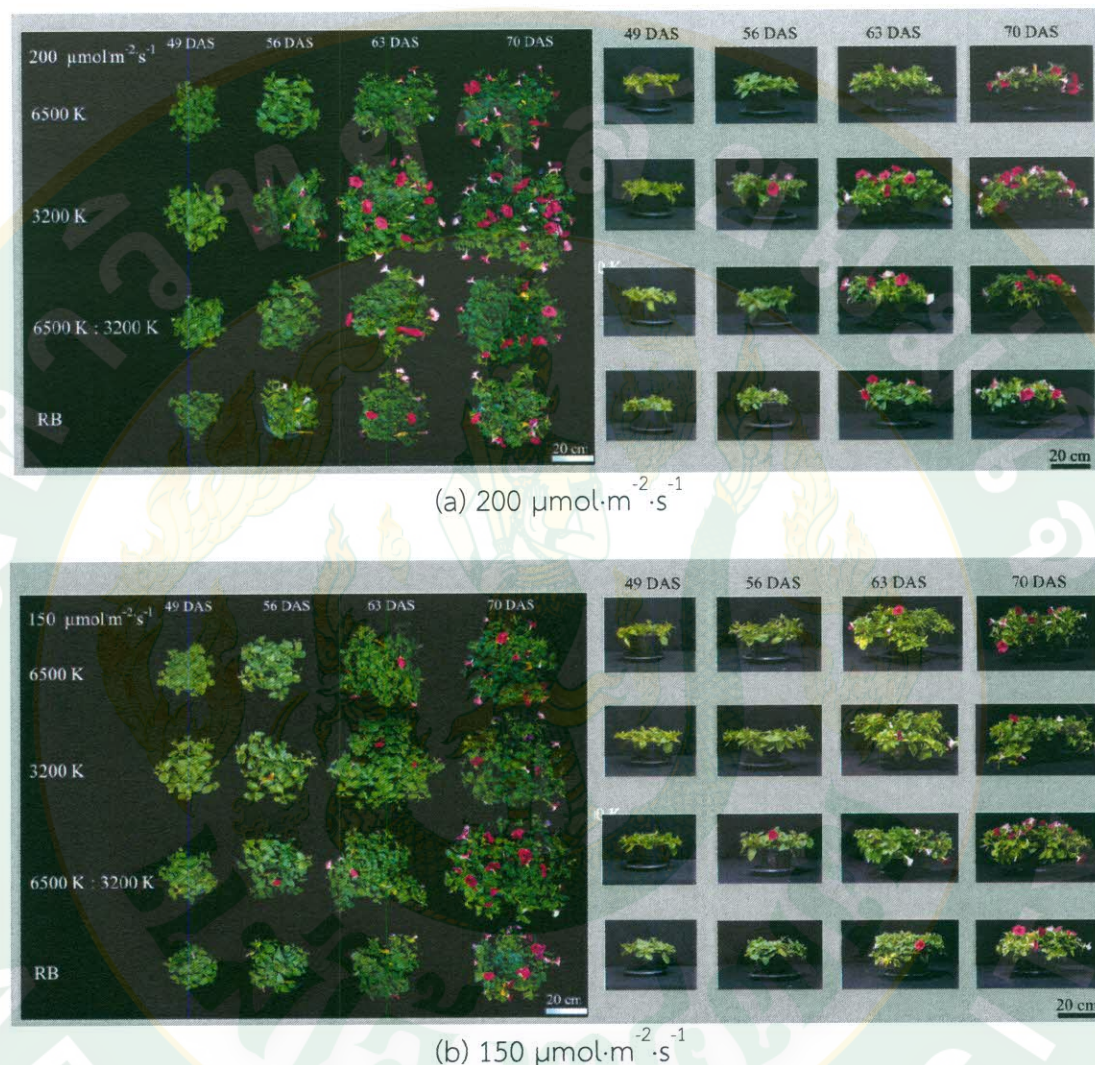
ตารางที่ 13 การวิเคราะห์ความแปรปรวนแบบจำแนกทางเดียว และสองทางของคุณภาพแสง(A) และความเข้มแสง (B) ที่มีผลต่อมวลน้ำหนักสด และมวลน้ำหนักแห้งส่วนลำต้น มวลน้ำหนักแห้งราก สัดส่วนมวลน้ำหนักแห้งส่วนลำต้นต่อมวลน้ำหนักแห้งส่วนราก และประสิทธิภาพการใช้พลังงานแสงเพื่อการเจริญเติบโตทางลำต้น และใบ (EUE for plant growth) ( $n=6$ )

Dependent variables	Independent variables		
	Light quality (A)	Light Intensity (B)	A × B
Shoot FW	0.01*	>0.01**	>0.01**
Shoot DW	NS	0.021*	>0.01**
Root DW	NS	>0.01**	0.017*
Shoot/Root DW	>0.01**	0.039*	NS
EUE for plant growth	NS	0.017*	>0.01**

หมายเหตุ ตัวเลขที่ระบุในตารางแสดงค่า P (p-value) โดย  $P < 0.01 = (**)$  มีความแตกต่างกันทางสถิติอย่างมีนัยสำคัญ  $P < 0.05 = (*)$  มีความแตกต่างกันทางสถิติอย่างมีนัยสำคัญ  $P \geq 0.05 = (NS)$  ไม่มีความแตกต่างกันทางสถิติ

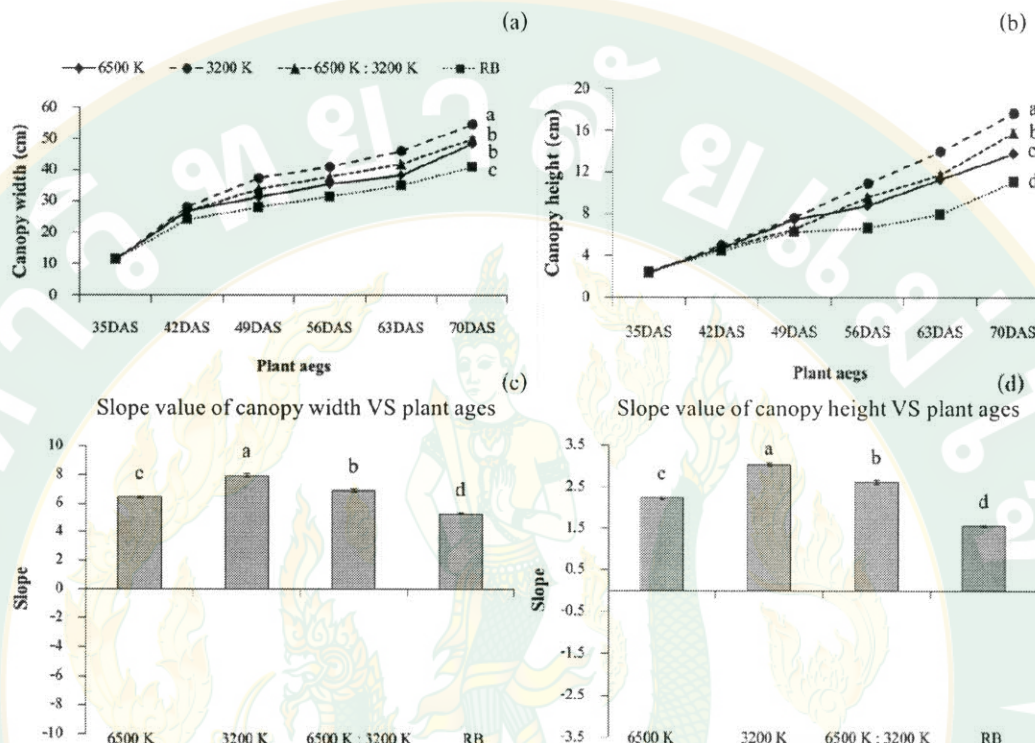
การศึกษามวลน้ำหนักสด และมวลน้ำหนักแห้งส่วนลำต้น มวลน้ำหนักแห้งส่วนราก และประสิทธิภาพการเปลี่ยนพลังงานเป็นมวลสารแห้งของต้นพิทูเนียภายใต้คุณภาพแสง และความเข้มแสงที่แตกต่างกัน พบร้า พิทูเนียที่ได้รับความเข้มแสง  $150 \text{ } \mu\text{mol} \cdot \text{m}^{-2} \cdot \text{s}^{-1}$  ภายใต้คุณภาพแสงทั้ง 4 ตัวรับนั้นมีค่าดัชนีทั้งหมดที่กล่าวมาไม่แตกต่างกันอย่างมีนัยสำคัญทางสถิติ ในขณะที่พิทูเนียที่ได้รับความเข้มแสง  $200 \text{ } \mu\text{mol} \cdot \text{m}^{-2} \cdot \text{s}^{-1}$  ภายใต้คุณภาพแสง 3200 K และ 6500 K : 3200 K มีมวลน้ำหนักสด และมวลน้ำหนักแห้งส่วนลำต้น มวลน้ำหนักแห้งส่วนราก และประสิทธิภาพการใช้พลังงานแสงเพื่อการเจริญเติบโตทางลำต้น และใบ สูงกว่าตัวรับอื่น ๆ อย่างมีนัยสำคัญทางสถิติ (ภาพที่ 47) อีกทั้งมีลักษณะทรงพุ่มที่ใหญ่กว่าตัวรับ 6500 K และ RB (ภาพที่ 48a และ 48b) นอกจากนี้ยังพบว่า คุณภาพแสงมีปฏิสัมพันธ์กับความเข้มแสง โดยอิทธิพลของคุณภาพแสงที่ส่งผลต่อมวลน้ำหนักสด และมวลน้ำหนักแห้งส่วนลำต้น มวลน้ำหนักแห้งส่วนราก และประสิทธิภาพการใช้

พัลส์งานแสงเพื่อการเจริญเติบโตทางลำต้น และใบ นั้นมีความแตกต่างกันขึ้นอยู่กับความเข้มแสง  
(ตารางที่ 13)



ภาพที่ 48 แสดงลักษณะต้นพิทูเนีย (ภาพชุดด้านซ้ายมือแสดงลักษณะมุ่งด้านบน และภาพชุดด้านขวา มือแสดงมุ่งด้านข้าง) ที่ได้รับคุณภาพแสงที่แตกต่างกัน 4 ตำแหน่ง ได้แก่ 6500 K 3200 K 6500 K : 3200 K และ RB และได้รับความเข้มแสง 2 ระดับ คือ  $200 \mu\text{mol}\cdot\text{m}^{-2}\cdot\text{s}^{-1}$  (a) และ  $150 \mu\text{mol}\cdot\text{m}^{-2}\cdot\text{s}^{-1}$  (b)

การทดลองที่ 4 อิทธิพลของคุณภาพแสง ต่อการเจริญเติบโต การอุดอกราก  
การให้ผลผลิต และคุณภาพเมล็ดพันธุ์ของต้นพิทูเนีย



ภาพที่ 4 แสดงความกว้าง (a) และความสูง (b) ของต้นพิทูเนียตั้งแต่อายุ 35-70 วันหลังเพาะเมล็ด โดยได้รับคุณภาพแสงที่แตกต่างกัน 4 ตำรับ ได้แก่ 6500 K 3200 K 6500 K : 3200 K และ RB และแสดงค่าความชันของเส้นแนวโน้ม และทิศทางความสัมพันธ์ (ค่าความชันของเส้นแนวโน้มด้านขวา คือ อายุพืชที่เพิ่มขึ้นส่งผลให้ขนาดทรงพุ่มลดลง ค่าความชันของเส้นแนวโน้มด้านขวา คือ อายุพืชที่เพิ่มขึ้นส่งผลให้ขนาดทรงพุ่มเพิ่มขึ้น) ของความกว้าง (c) และความสูง (d) กับอายุพืช เปรียบเทียบความแตกต่างของค่าเฉลี่ย  $\pm$  SE ( $n=12$ ) ด้วยวิธี Duncan's New Multiple Range Test (DMRT) ค่าเฉลี่ยที่ระบุด้วยอักษรเดียวกันไม่มีความแตกต่างอย่างมีนัยสำคัญทางสถิติ ( $P \leq 0.05$ )

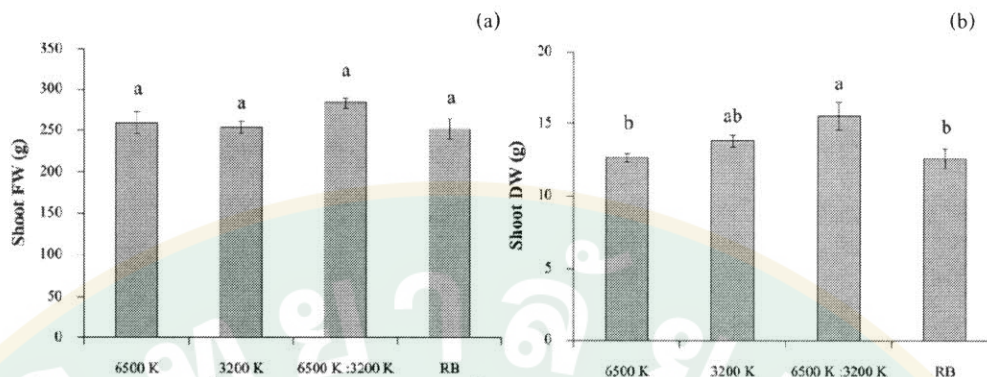
เมื่อศึกษาความกว้าง และความสูงของทรงพุ่มภายใต้คุณภาพแสงที่แตกต่างกัน พบร้า แสงในตำรับ 3200 K ส่งผลให้ทั้งความกว้าง และความสูงของต้นพิทูเนียที่มีอายุ 70 วันหลังเพาะเมล็ด มีค่ามากกว่าตำรับอื่น ๆ อีกทั้งมีค่าความชันของเส้นแนวโน้มหรืออัตราการขยายทรงพุ่มที่เร็วกว่า

捺รับอื่น ๆ อย่างมีนัยสำคัญทางสถิติ ในขณะที่捺รับ RB ส่งผลให้ต้นมีความกว้าง ความสูง และอัตราการขยายทรงพุ่มที่ต่ำที่สุด (ภาพที่ 49) เมื่อพิจารณาจากภาพของต้นพิทูเนียที่มีอายุ 77 วัน (ภาพที่ 50) จะเห็นได้ว่า ต้นพิทูเนียที่ได้รับแสงใน捺รับ 3200 K มีลักษณะทรงพุ่มที่ใหญ่ และกิ่งด้านข้าง มีลักษณะเลี้ยงมาแตะกับพื้นที่วางกระถางของต้นพิทูเนีย จนไม่สามารถมองเห็นกระถางได้



ภาพที่ 50 แสดงลักษณะด้านข้างของต้นพิทูเนียที่มีอายุ 70 และ 77 วันหลังเพาะเมล็ด ที่ได้รับคุณภาพแสงที่แตกต่างกัน 4 捺รับ ได้แก่ 6500 K 3200 K 6500 K : 3200 K และ RB

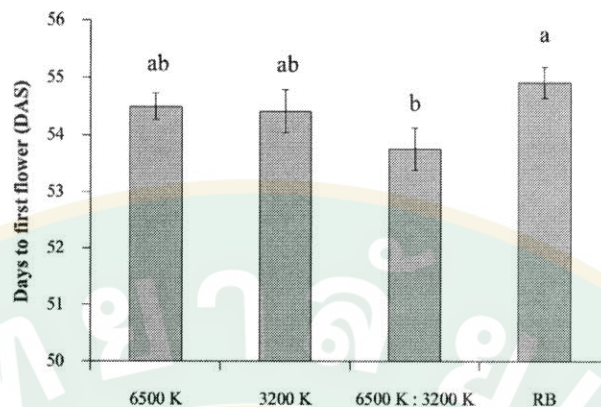
การศึกษามวลน้ำหนักสด และมวลน้ำหนักแห้งภายในตัวต้นพิทูเนียที่ได้รับคุณภาพแสงที่แตกต่างกัน พบว่า มวลน้ำหนักสดภายในตัวต้นพิทูเนียที่ได้รับ 6500 K : 3200 K มีค่ามากที่สุดอย่างมีนัยสำคัญทางสถิติ (ภาพที่ 51b)



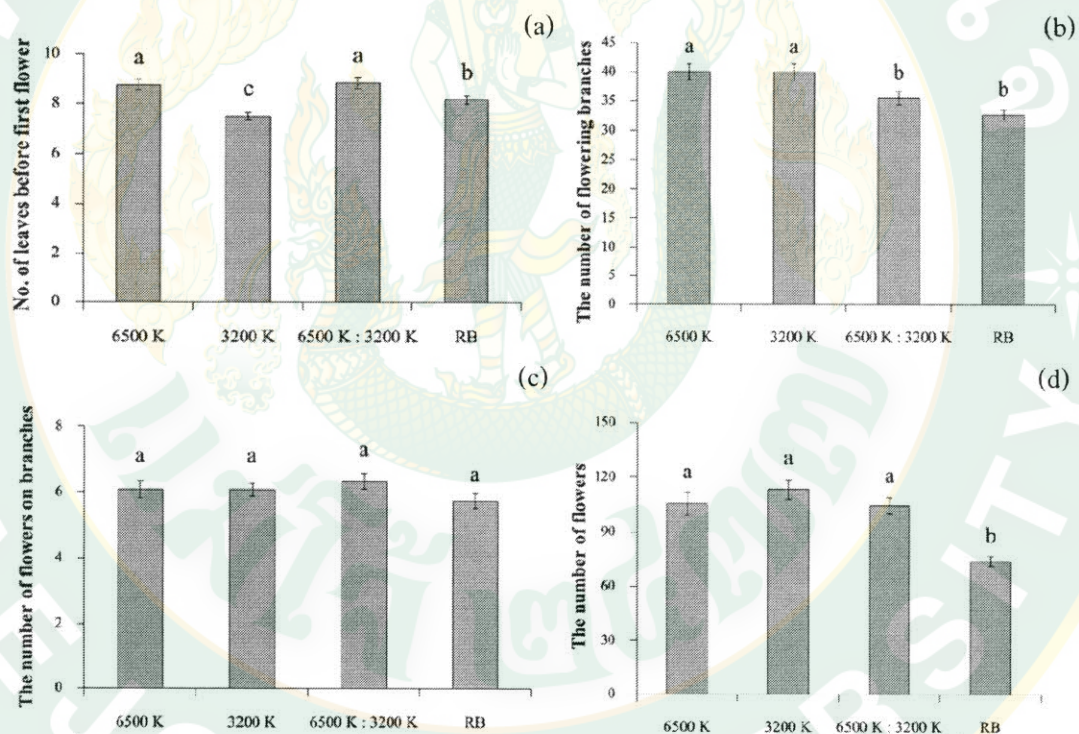
ภาพที่ 51 แสดงมวลน้ำหนักสด (a) และมวลน้ำหนักแห้งส่วนลำต้น (b) ของต้นพิชูเนียมีอายุ 80 วันหลังเพาะเมล็ด เปรียบเทียบความแตกต่างของค่าเฉลี่ย  $\pm$  SE ( $n=6$ ) ด้วยวิธี Duncan's New Multiple Range Test (DMRT) ค่าเฉลี่ยที่ระบุด้วยอักษรเดียวกันไม่มีความแตกต่างอย่างมีนัยสำคัญทางสถิติ ( $P \leq 0.05$ )

จากการเก็บข้อมูลจำนวนวันก่อนการบานของดอกแรกหลังจากการเพาะเมล็ด พบร้า ต้นพิชูเนียมีได้รับแสงดำรับ 6500 K 3200 K และ 6500 K : 3200 K มีจำนวนวันที่พบการบานของดอกแรกไม่แตกต่างกัน ในขณะที่ ดำรับ RB มีจำนวนวันก่อนการบานของดอกแรกมากกว่า ดำรับ 6500 K : 3200 K อย่างมีนัยสำคัญทางสถิติ (ภาพที่ 52)

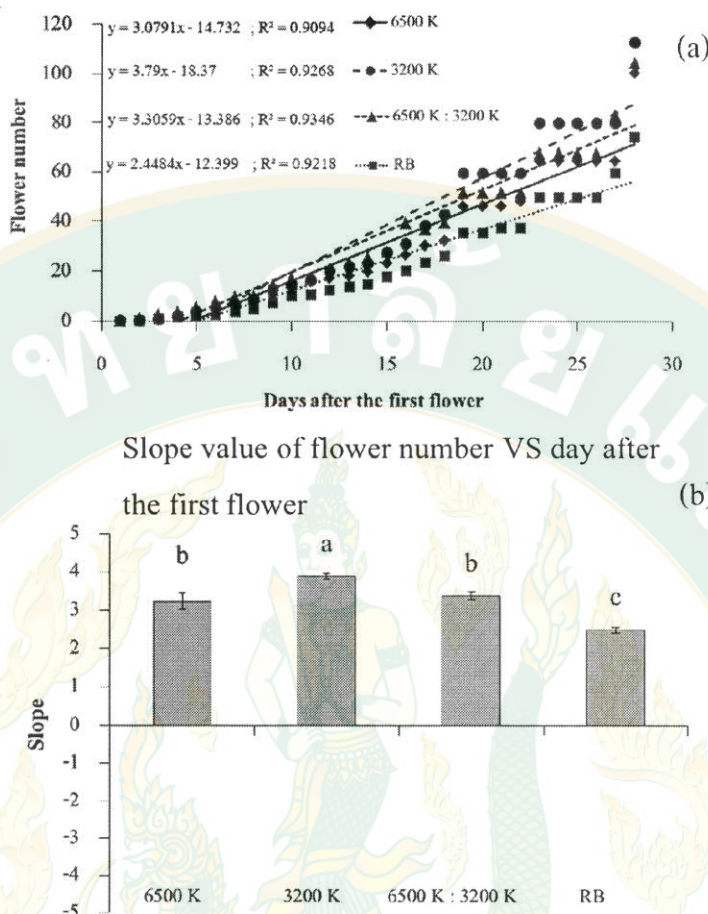
ในส่วนของจำนวนใบของกิ่งก่อนการบานของดอกแรก ภายใต้คุณภาพแสงที่แตกต่างกัน พบร้า ดำรับ 3200 K ส่งผลให้มีจำนวนใบของกิ่งก่อนการพบการบานของดอกแรกต่ำที่สุดอย่างมีนัยสำคัญทางสถิติ (ภาพที่ 53a) ส่วนจำนวนกิ่งที่ออกดอก พบร้า ดำรับ 6500 K และ 3200 K ไม่มีความแตกต่างกัน อีกทั้งมีค่ามากกว่า ดำรับ 6500 K : 3200 K และ RB อย่างมีนัยสำคัญทางสถิติ (ภาพที่ 53b) ส่วนจำนวนดอกต่อ กิ่งพบร้า ต้นพิชูเนียมีปลูกภายในตัวตั้ง 4 ตัว ไม่ต้องต่อ กิ่งไม่แตกต่างกัน (ภาพที่ 53c) ในขณะที่จำนวนดอกต่อต้นของ ดำรับ RB มีค่าต่ำที่สุดอย่างมีนัยสำคัญทางสถิติ (ภาพที่ 53d)



ภาพที่ 52 แสดงจำนวนวันก่อนดอกแรกบาน โดยนับวันแรกหลังจากเพาะเมล็ด เปรียบเทียบความแตกต่างของค่าเฉลี่ย  $\pm$  SE ( $n=14$ ) ด้วยวิธี Duncan's New Multiple Range Test (DMRT) ค่าเฉลี่ยที่ระบุด้วยอักษรเดียวกันไม่มีความแตกต่างอย่างมีนัยสำคัญทางสถิติ ( $P \leq 0.05$ )

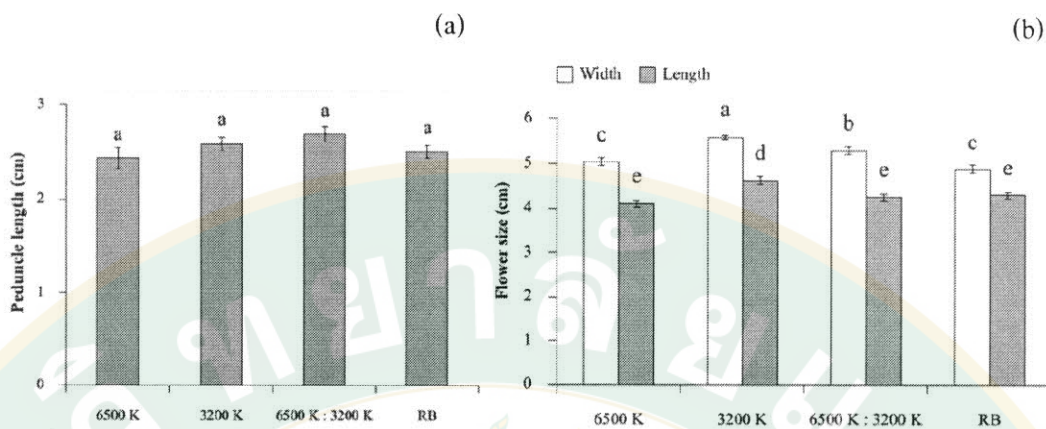


ภาพที่ 53 แสดงจำนวนใบของกิ่งก่อนการพบรากออกดอก ( $n=12$ ) (a) จำนวนกิ่งที่ออกดอก ( $n=8$ ) (b) จำนวนดอกต่อ กิ่ง ( $n=9$ ) (d) และจำนวนดอกต่อ ต้น ( $n=8$ ) ของต้นพิทูเนียที่มีอายุ 79 วันหลังเพาะเมล็ด เปรียบเทียบความแตกต่างของค่าเฉลี่ย  $\pm$  SE ด้วยวิธี Duncan's New Multiple Range Test (DMRT) ค่าเฉลี่ยที่ระบุด้วยอักษรเดียวกันไม่มีความแตกต่างอย่างมีนัยสำคัญทางสถิติ ( $P \leq 0.05$ )



ภาพที่ 54 แสดงจำนวนดอกในแต่ละวันต่อเนื่องเป็นเวลา 1 เดือน (ตั้งแต่อายุพืช 50-80 วันหลังเพาะเมล็ด) (a) และแสดงค่าความชันของเส้นแนวโน้ม (b) โดยได้รับคุณภาพแสงที่แตกต่างกัน 4 ตัวรับได้แก่ 6500 K 3200 K 6500 K : 3200 K และ RB เปรียบเทียบความแตกต่างของค่าเฉลี่ย  $\pm SE$  ( $n=8$ ) ด้วยวิธี Duncan's New Multiple Range Test (DMRT) ค่าเฉลี่ยที่ระบุด้วยอักษรเดียวกันมีความแตกต่างอย่างมีนัยสำคัญทางสถิติ ( $P \leq 0.05$ )

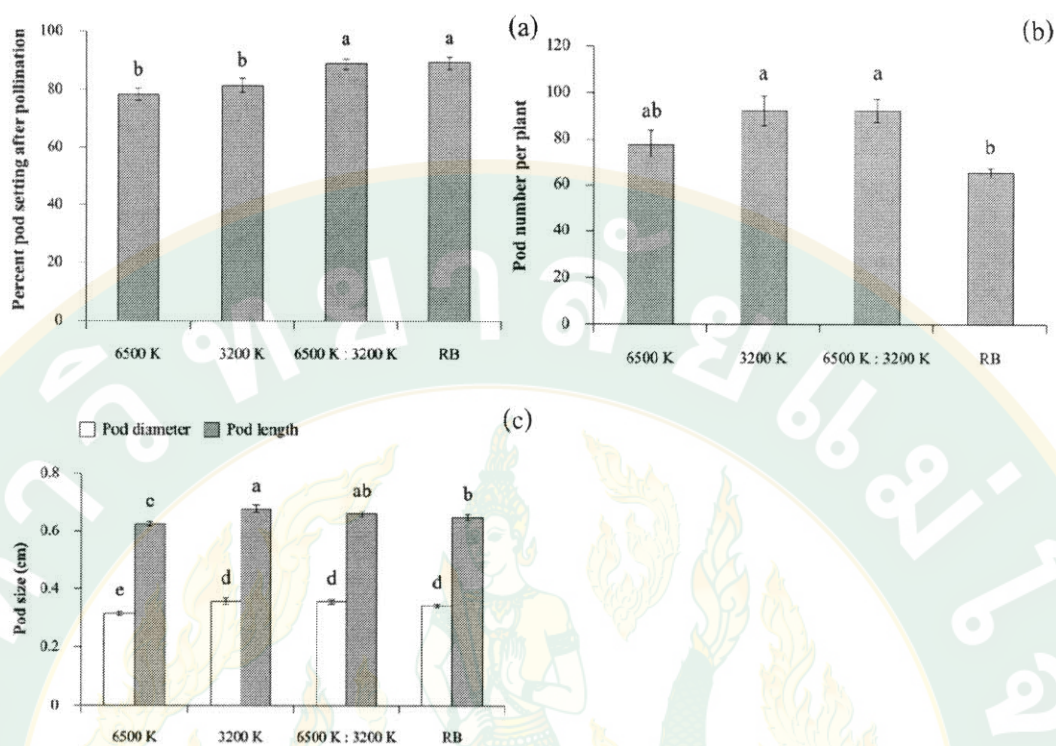
การศึกษาอัตราการออกดอก ภายใต้คุณภาพแสงที่แตกต่างกัน พบร่วม ต้นพิทูเนียที่ได้รับแสง ตัวรับ 3200 K มีอัตราการออกดอกสูงกว่าตัวรับอื่น ๆ อย่างมีนัยสำคัญทางสถิติ ส่วนตัวรับ 6500 K และ 6500 K : 3200 K มีอัตราการออกดอกไม่แตกต่างกัน ในขณะที่ ตัวรับ RB มีอัตราการออกดอกต่ำที่สุดอย่างมีนัยสำคัญทางสถิติ (ภาพที่ 54)



ภาพที่ 55 แสดงความยาวก้านดอก (a) และขนาดดอก (b) ของต้นพิทูเนียที่ปลูกภายใต้แสง 4 ตำรับ ได้แก่ 6500 K 3200 K 6500 K : 3200 K และ RB เปรียบเทียบความแตกต่างของค่าเฉลี่ย  $\pm$  SE ( $n=12$ ) ด้วยวิธี Duncan's New Multiple Range Test (DMRT) ค่าเฉลี่ยที่ระบุด้วย อักษรเดียวกันไม่มีความแตกต่างอย่างมีนัยสำคัญทางสถิติ ( $P \leq 0.05$ )

การศึกษาความยาวก้านดอก และขนาดดอก ภายใต้คุณภาพแสงที่แตกต่างกัน พบว่า คุณภาพแสงทั้ง 4 ตำรับไม่ส่งผลให้ความยาวก้านดอกมีความแตกต่างกัน (ภาพที่ 55a) ในขณะที่ ขนาดดอกมีความกว้าง และความยาวมากที่สุดภายใต้ตำรับแสง 3200 K อย่างมีนัยสำคัญทางสถิติ (ภาพที่ 55b)

ส่วนเปอร์เซ็นต์การติดฝักหลังจากการผสมเกสรภายในและทุกตำรับมีเปอร์เซ็นต์การติดฝักสูงกว่า 70 % โดย ตำรับ 6500 K : 3200 K และ RB มีเปอร์เซ็นต์การติดฝักที่ไม่แตกต่างกัน และมีค่าสูงกว่า ตำรับ 6500 K และ 3200 K อย่างมีนัยสำคัญทางสถิติ (ภาพที่ 56a) ในขณะที่จำนวนฝักต่อต้นพบว่า ต้นที่ปลูกในตำรับ RB มีค่าต่ำที่สุด อย่างมีนัยสำคัญทางสถิติ ในขณะที่ ตำรับ 6500 K 3200 K และ 6500 K : 3200 K ไม่มีความแตกต่างกัน (ภาพที่ 56b) ส่วนขนาดของฝัก พบว่า ตำรับ 3200 K ส่งผลให้มีขนาดฝักทั้งความกว้าง และความยาวของฝักมากที่สุด ในขณะที่ ตำรับ 6500 K ส่งผลให้มีขนาดฝักทั้งความกว้าง และความยาวน้อยที่สุดอย่างมีนัยสำคัญทางสถิติ (ภาพที่ 57c)



ภาพที่ 56 แสดงเปอร์เซ็นต์การติดฝักหลังจากการผสมเกสร ( $n=8$ ) (a) จำนวนฝักต่อต้น ( $n=8$ ) (b)

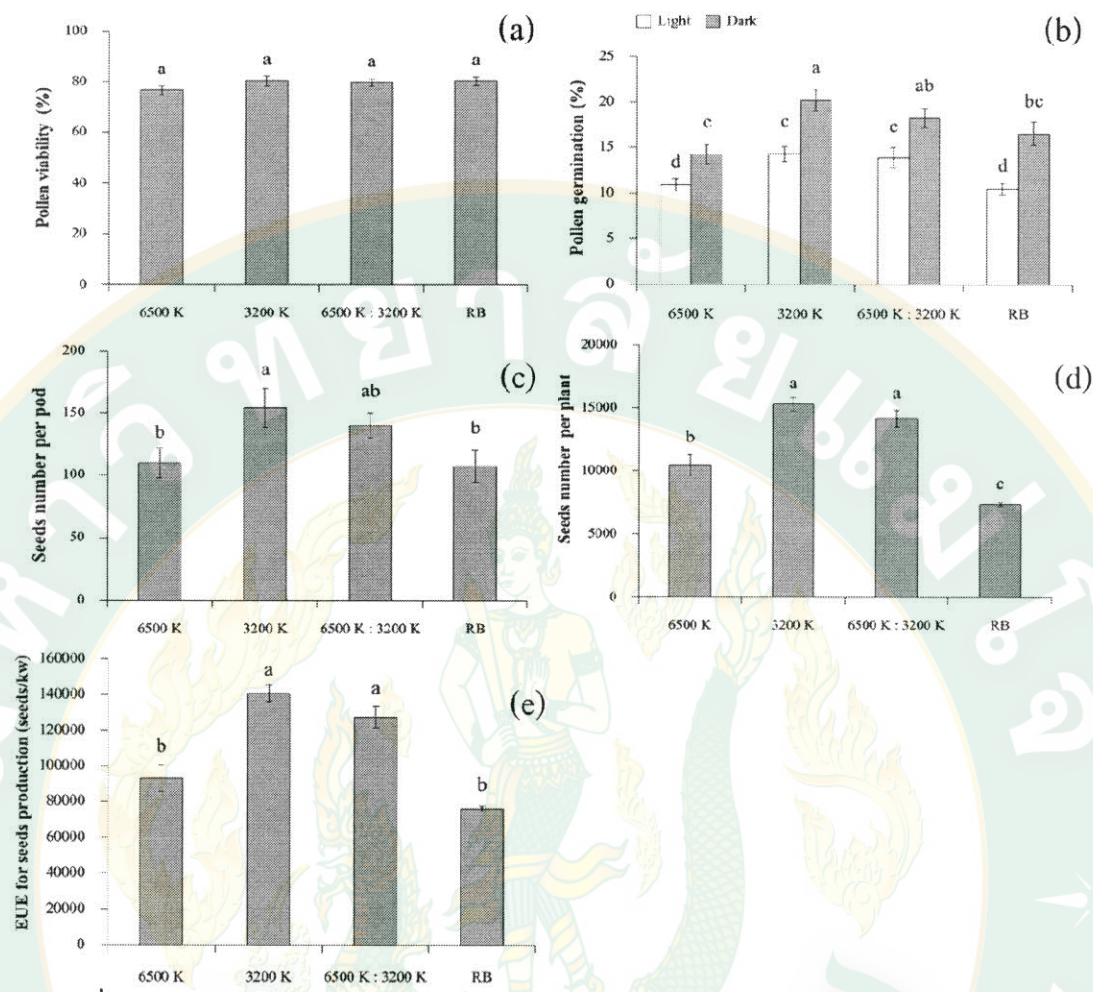
และขนาดฝัก ( $n=20$ ) (c) ของต้นพิทูเนียที่ปลูกภายนอกได้แสง 4 ตำรับ ได้แก่ 6500 K 3200 K

6500 K : 3200 K และ RB เปรียบเทียบความแตกต่างของค่าเฉลี่ย  $\pm$  SE ด้วยวิธี

Duncan's New Multiple Range Test (DMRT) ค่าเฉลี่ยที่ระบุด้วยอักษร

เดียวกันไม่มีความแตกต่างอย่างมีนัยสำคัญทางสถิติ ( $P \leq 0.05$ )

จากการศึกษาเบอร์เช่นนี้ความมีชีวิตของละองเรณูภายนอกได้คุณภาพแสลงที่แตกต่างกัน พบว่า ละองเรณูมีเบอร์เช่นนี้ความมีชีวิตไม่แตกต่างกัน (ภาพที่ 57a) ในขณะที่เบอร์เช่นนี้ความออกของละองเรณู จำนวนเมล็ดต่อฝัก และจำนวนเมล็ดต่อต้น มีลักษณะของข้อมูลที่สอดคล้องกัน คือ ตำรับ 3200 K ส่งผลให้มีเบอร์เช่นนี้ความออกของละองเรณู จำนวนเมล็ดต่อฝัก จำนวนเมล็ด และประสิทธิภาพการใช้พลังงานแสงเพื่อผลิตเมล็ดพันธุ์ต่อต้นที่ไม่แตกต่างกับตำรับ 6500 K : 3200 K แต่มีค่าสูงกว่า ตำรับ 6500 K และ RB อย่างมีนัยสำคัญทางสถิติ (ภาพที่ 57b 57c 57d และ 57e)



ภาพที่ 57 แสดงเปอร์เซ็นต์ความมีชีวิตของละอองเรณู ( $n=8$ ) (a) เปอร์เซ็นต์ความคงของละอองเรณู ( $n=30$ ) (b) จำนวนเมล็ดต่อฝัก ( $n=5$ ) (c) จำนวนเมล็ดต่อต้น ( $n=3$ ) (d) และประสิทธิภาพการใช้พลังงานแสงเพื่อผลิตเมล็ดพันธุ์ ( $n=3$ ) (e) ของต้นพิทูเนียที่ปลูกภายใต้แสง 4 ตำรับได้แก่ 6500 K 3200 K 6500 K : 3200 K และ RB เปรียบเทียบความแตกต่างของ

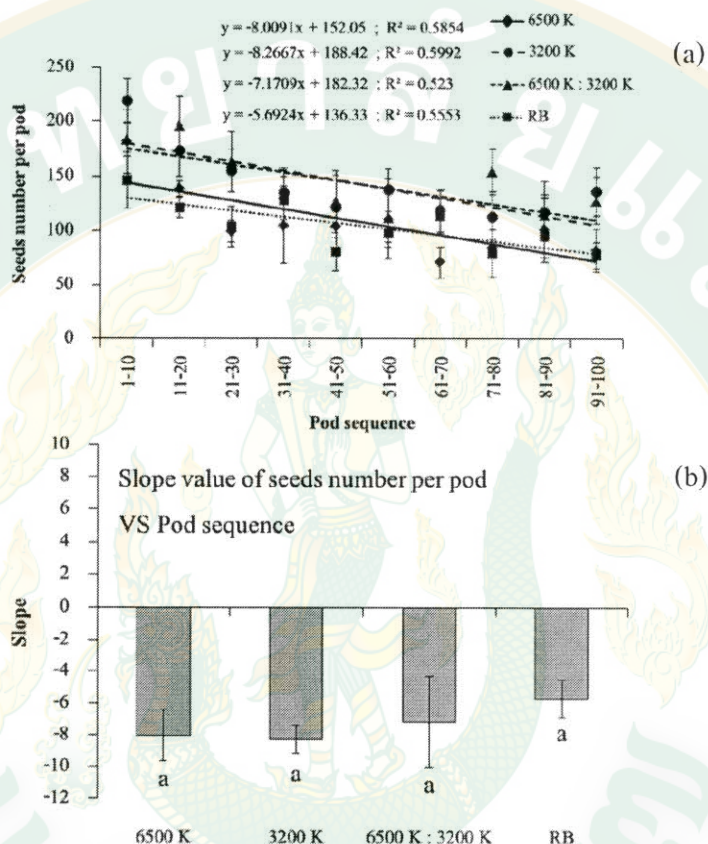
ค่าเฉลี่ย  $\pm$  SE ด้วยวิธี Duncan's New Multiple Range Test (DMRT)

ค่าเฉลี่ยที่ระบุด้วยอักษรเดียวกันไม่มีความแตกต่างอย่างมีนัยสำคัญ

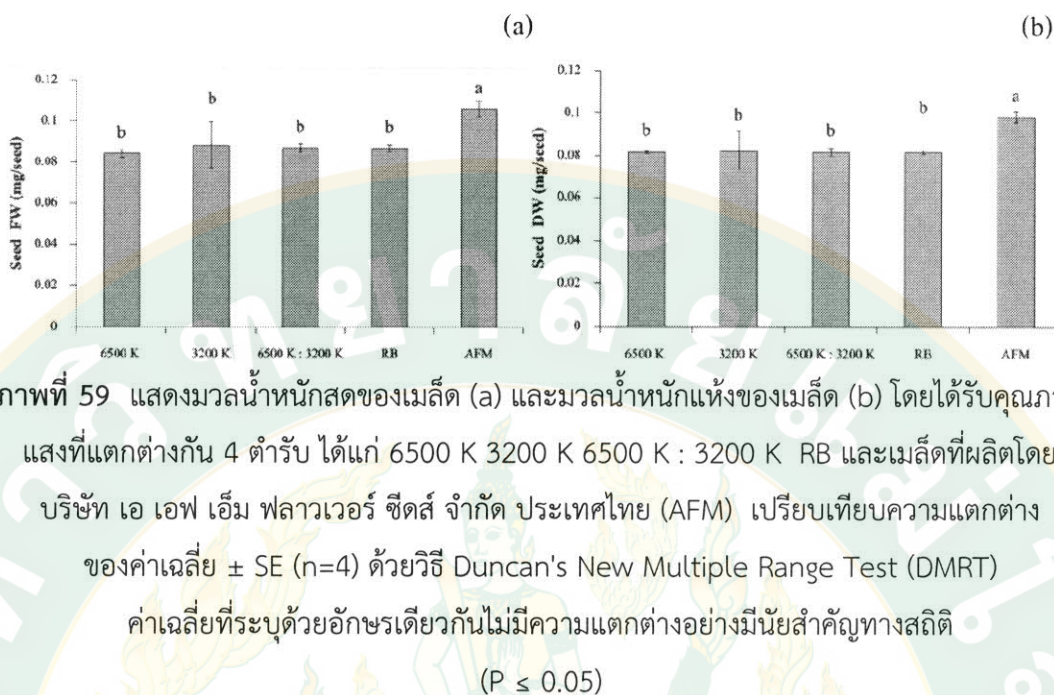
ทางสถิติ ( $P \leq 0.05$ )

การศึกษาจำนวนเมล็ดต่อฝักของต้นพิทูเนียที่ปลูกภายใต้คุณภาพแสงที่แตกต่างกัน พบร่วมกันเพิ่มมากขึ้นจำนวนเมล็ดต่อฝักภายใต้คุณภาพแสงทุกตำรับมีค่าลดลง (ภาพที่ 58a) อย่างไรก็ตาม อัตราการลดลงของจำนวนเมล็ดต่อฝักภายใต้แสงทั้ง 4 ตำรับ ไม่มีความแตกต่างกัน (ภาพที่ 58b)

ในการศึกษามะลัน้ำหนักสด และมะลัน้ำหนักแห้งของเมล็ดภายในต่อกุณภาพแสงที่แตกต่างกัน พบว่า คุณภาพแสงทั้ง 4 ตัวรับ ไม่ส่งผลให้มีมะลัน้ำหนักสด และมะลัน้ำหนักแห้งแตกต่างกัน แต่มีค่าน้อยกว่าเมล็ดที่ผลิตในแปลงโดยบริษัท AFM (ภาพที่ 59a และ 59b)



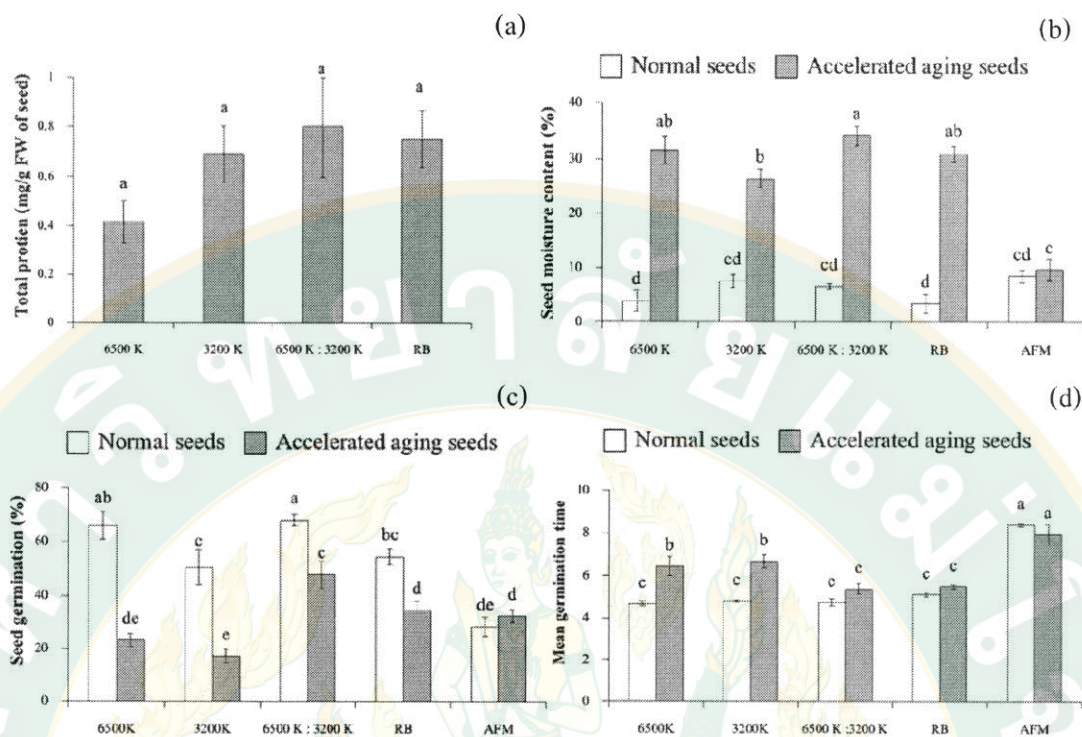
ภาพที่ 58 แสดงจำนวนเมล็ดต่อฝัก (ตั้งแต่ฝักที่ 1-ฝักที่ 100) (a) และแสดงค่าความชันของเส้นแนวโน้ม (b) ของต้นพิทูเนียที่ได้รับคุณภาพแสงที่แตกต่างกัน 4 ตัวรับ ได้แก่ 6500 K 3200 K 6500 K : 3200 K และ RB เปรียบเทียบความแตกต่างของค่าเฉลี่ย  $\pm$  SE ( $n=4$ ) ด้วยวิธี Duncan's New Multiple Range Test (DMRT) ค่าเฉลี่ยที่ระบุด้วยอักษรเดียวกัน ไม่มีความแตกต่างอย่างมีนัยสำคัญทางสถิติ ( $P \leq 0.05$ )



ภาพที่ 59 แสดงมวลน้ำหนักสดของเมล็ด (a) และมวลน้ำหนักแห้งของเมล็ด (b) โดยได้รับคุณภาพแสงที่แตกต่างกัน 4 ตัวรับ ได้แก่ 6500 K 3200 K 6500 K : 3200 K RB และเมล็ดที่ผลิตโดยบริษัท เอ เอฟ เอ็ม พลาร์เวอร์ ซีดส์ จำกัด ประเทศไทย (AFM) เปรียบเทียบความแตกต่างของค่าเฉลี่ย  $\pm$  SE ( $n=4$ ) ด้วยวิธี Duncan's New Multiple Range Test (DMRT) ค่าเฉลี่ยที่ระบุด้วยอักษรเดียวกันไม่มีความแตกต่างอย่างมีนัยสำคัญทางสถิติ

$(P \leq 0.05)$

การศึกษาปริมาณโปรตีนในเมล็ดภายใต้คุณภาพแสงที่แตกต่างกัน พบว่า คุณภาพแสงทั้ง 4 ตัวรับ ไม่ส่งผลให้มีปริมาณโปรตีนในเมล็ดแตกต่างกัน (ภาพที่ 60a) ส่วนความชื้นเมล็ด พบว่า เมล็ดพิทูเนียปกติทั้ง 4 ตัวรับ รวมทั้งเมล็ดจากบริษัท AFM มีความชื้นไม่เกิน 10 % และไม่มีความแตกต่างกัน ในขณะที่เมล็ดพิทูเนียที่ผ่านการเร่งอายุ มีความชื้นเพิ่มขึ้นเป็นประมาณ 30 % ยกเว้น เมล็ดของบริษัท AFM ที่มีความชื้นเท่ากับเมล็ดปกติ (ภาพที่ 60b) เมื่อทำการทดสอบเบอร์เช็นต์ ความคง พบร้า ทั้งเมล็ดปกติ และเมล็ดที่ผ่านการเร่งอายุของตัวรับ 6500 K : 3200 K มีเบอร์เช็นต์ ความคงสูงกว่าตัวรับอื่น ๆ อย่างมีนัยสำคัญทางสถิติ (ภาพที่ 60c) นอกจากนี้ค่าเฉลี่ยจำนวนวันที่ใช้ในการออก พบร้า ทั้งเมล็ดปกติ และเมล็ดที่ผ่านการเร่งอายุ เมล็ดจากบริษัท AFM มีจำนวนวันที่ใช้ในการออกมากที่สุด หรือมีการออกช้าที่สุดอย่างมีนัยสำคัญทางสถิติ ในขณะที่เมล็ดปกติที่ผลิตภายใต้คุณภาพแสงทั้ง 4 ตัวรับ มีจำนวนวันที่ใช้ในการออกไม่แตกต่างกัน (ภาพที่ 60d)



ภาพที่ 60 แสดงปริมาณโปรตีนในเมล็ด (a) ความชื้นเมล็ด (b) เปอร์เซ็นต์ความอกร (c) และค่าเฉลี่ยจำนวนวันที่ใช้ในการอกร (d) ของต้นพิพูเนียที่ได้รับช่วงแสงที่แตกต่างกัน เปรียบเทียบความแตกต่างของค่าเฉลี่ย  $\pm$  SE ( $n=3$ ) ด้วยวิธี Duncan's New Multiple Range Test (DMRT) ค่าเฉลี่ยที่ระบุด้วยอักษรเดียวกันไม่มีความแตกต่างอย่างมีนัยสำคัญทางสถิติ ( $P \leq 0.05$ )

การวิเคราะห์สหสัมพันธ์แบบ Pearson ระหว่างคุณภาพแสงกับค่าพารามิเตอร์ที่เกี่ยวข้องกับการเจริญเติบโต การออกดอก และการติดฝัก พบว่า ความกว้าง และความสูงของทรงพุ่ม มีความสัมพันธ์กับคุณภาพแสงในช่วง 500-600 nm และ 700-800 nm ในทิศทางบวก โดยเมื่อแสงมีส่วนประกอบของช่วงความยาวคลื่นดังกล่าวมากขึ้นเรื่อยๆ จะส่งผลให้ความกว้าง และความสูงของทรงพุ่มเพิ่มมากขึ้นอย่างมีนัยสำคัญทางสถิติ ในขณะที่ช่วงความยาวคลื่น 400-500 nm และ 600-700 nm มีความสัมพันธ์กับ ความกว้าง และความสูง ในทิศทางลบโดยเมื่อแสงที่มีส่วนประกอบของช่วงความยาวคลื่นดังกล่าวมากขึ้นเรื่อยๆ จะส่งผลให้ความกว้าง และความสูงของทรงพุ่มลดลงอย่างมีนัยสำคัญทางสถิติ ส่วนความสัมพันธ์กับการออกดอกพบว่า ช่วงความยาวคลื่น 700-800 nm มีความสัมพันธ์ในทิศทางลบกับจำนวนวันก่อนดอกแรกบาน และจำนวนใบบนกิ่งก่อนพbudอกแรกบาน โดยแสงที่มีส่วนประกอบของช่วงความยาวคลื่นดังกล่าวมากขึ้นส่งผลให้

ตารางที่ 14 สรุปผลการวิเคราะห์สหสัมพันธ์แบบ Pearson ระหว่างคุณภาพแสงกับค่าพารามิเตอร์ที่เกี่ยวข้องกับการเจริญเติบโต การออกดอก และการติดฝัก The number of LBBA คือ จำนวนใบบนกิ่งก่อนพับดอกแรกบน (The number of leaves on a branch before anthesis) The number of FBPP คือ จำนวนกิ่งที่พึ่งการออกดอกต่อต้น (The number of flowering branches per plant) The number of FPB คือ จำนวนดอกต่อ กิ่ง (The number of flowers per branch) และ The number of FPP คือ จำนวนดอกต่อต้น (The number of flowers per plant)

Parameters	Light wavelength			
	400-500 nm	500-600 nm	600-700 nm	700-800 nm
Shoot FW	NS	NS	NS	NS
Shoot DW	NS	NS	NS	NS
Canopy width (cm)	-0.811**	0.781**	-0.558**	0.835**
Canopy height (cm)	-0.879**	0.763**	-500**	0.898**
Days to first flower (DAS)	0.391**	-0.345*	0.230	-0.401**
The number of LBBA	0.340*	NS	-0.295*	-0.304*
The number of FBPP	NS	0.557**	-0.515**	0.379*
The number of FPB	NS	NS	NS	NS
The number of FPP	-0.579**	0.742**	-0.629**	0.616**
Peduncle length (cm)	NS	NS	NS	NS
Petal length (cm)	-0.489**	NS	NS	0.458**
Petal width (cm)	-0.696**	0.483**	NS	0.697**
% of pod yield after pollination	NS	-0.370*	0.401*	NS
Pod number per plant	-0.569**	0.546**	-0.389*	0.589**
Pod width (cm)	-0.440**	NS	NS	0.427**
Pod Length (cm)	NS	NS	NS	NS

หมายเหตุ (NS) ไม่มีความแตกต่างทางสถิติ

(\*) มีความแตกต่างกันทางสถิติอย่างมีนัยสำคัญที่  $P < 0.05$

(\*\*) มีความแตกต่างกันทางสถิติอย่างมีนัยสำคัญยิ่งที่  $P < 0.01$

ค่าพารามิเตอร์ดังกล่าวลดลงอย่างมีนัยสำคัญทางสถิติ ในขณะเดียวกันซึ่งความยาวคลื่น 700-800 nm มีความสัมพันธ์ในทิศทางบวกกับจำนวนกิ่งที่พบรากอตออก จำนวนดอกต่อต้น ความกว้างดอก ความยาวดอก จำนวนฝักต่อต้น และความกว้างฝัก โดยเมื่อแสงมีส่วนประกอบของซึ่งความยาวคลื่น ดังกล่าวมากขึ้นจะส่งผลให้ค่าพารามิเตอร์ดังกล่าวเพิ่มขึ้นอย่างมีนัยสำคัญทางสถิติ ในขณะที่ซึ่งความยาวคลื่น 400-500 nm มีความสัมพันธ์ในทิศทางลบกับจำนวนดอกต่อต้น ความกว้างดอก ความยาวดอก จำนวนฝักต่อต้น และความกว้างฝัก โดยเมื่อแสงมีส่วนประกอบของซึ่งความยาวคลื่น ดังกล่าวมากขึ้นจะส่งผลให้ค่าพารามิเตอร์ดังกล่าวลดลงอย่างมีนัยสำคัญทางสถิติ (ตารางที่ 14)

ตารางที่ 15 สรุปผลการวิเคราะห์สหสัมพันธ์แบบ Pearson ระหว่างคุณภาพแสงกับค่าพารามิเตอร์ ที่เกี่ยวข้องกับผลผลิตเมล็ด และคุณภาพเมล็ด MGT คือ ค่าเฉลี่ยจำนวนวันที่ใช้ในการงอก (Mean germination time; MGT)

Parameters	Light wavelength			
	400-500 nm	500-600 nm	600-700 nm	700-800 nm
Pollen viability (%)	NS	NS	NS	NS
Pollen germination (%)	-0.545**	0.333**	-0.240*	0.549**
Seeds number per pod	-0.609**	NS	NS	0.607**
Seeds number per plant	-0.909**	0.798**	NS	0.930**
Seed FW (mg/seed)	NS	NS	NS	NS
Seed DW (mg/seed)	NS	NS	NS	NS
Protein content in seed	NS	NS	NS	NS
Seed germination (%)	NS	NS	NS	NS
MGT	NS	-0.692*	0.719**	NS

หมายเหตุ (NS) ไม่มีความแตกต่างทางสถิติ

(\*) มีความแตกต่างกันทางสถิติอย่างมีนัยสำคัญที่  $P < 0.05$

(\*\*) มีความแตกต่างกันทางสถิติอย่างมีนัยสำคัญยิ่งที่  $P < 0.01$

การวิเคราะห์สหสัมพันธ์แบบ Pearson ระหว่างคุณภาพแสงกับค่าพารามิเตอร์ที่เกี่ยวข้องกับผลผลิตเมล็ด และคุณภาพเมล็ด พบว่า คุณภาพแสงในช่วงความยาวคลื่น 700-800 nm มีความสัมพันธ์ในทิศทางบวกกับ เปอร์เซ็นต์ความคงของละอองเรณู จำนวนเมล็ดต่อฝัก และจำนวนเมล็ดต่อก้อน โดยเมื่อแสงมีส่วนประกอบของช่วงความยาวคลื่นดังกล่าวมากขึ้นจะส่งผลให้ค่าพารามิเตอร์ดังกล่าวเพิ่มขึ้นอย่างมีนัยสำคัญทางสถิติ ในขณะที่ช่วงความยาวคลื่น 400-500 nm มีความสัมพันธ์ในทิศทางลบกับเปอร์เซ็นต์ความคงของละอองเรณู จำนวนเมล็ดต่อฝัก และจำนวนเมล็ดต่อก้อน โดยเมื่อแสงมีส่วนประกอบของช่วงความยาวคลื่นดังกล่าวมากขึ้นจะส่งผลให้ค่าพารามิเตอร์ดังกล่าวลดลงอย่างมีนัยสำคัญทางสถิติ นอกจากนี้ช่วงความยาวคลื่น 600-700 nm มีความสัมพันธ์ในทิศทางบวกกับค่าเฉลี่ยจำนวนวันที่ใช้ในการออก โดยเมื่อแสงมีส่วนประกอบของช่วงความยาวคลื่นดังกล่าวมากขึ้นจะส่งผลให้เมล็ดที่ผลิตได้มีค่าเฉลี่ยจำนวนวันที่ใช้ในการออกเพิ่มมากขึ้น หรือมีอัตราการออกซ้ำลงอย่างมีนัยสำคัญทางสถิติ (ตารางที่ 15)

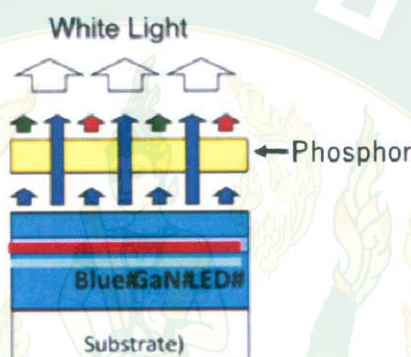
## บทที่ 5

### วิจารณ์ และสรุปผลการทดลอง

#### คุณภาพแสงเชิงสเปกตรัมของหลอดแอลอีดี

แสงเป็นปัจจัยที่สำคัญต่อการเจริญเติบโตของพืช พลังงานแสงจะถูกเปลี่ยนให้เป็นพลังงานเคมี สำหรับนำไปใช้ในกระบวนการการตีง CO<sub>2</sub> และสร้างน้ำตาล ซึ่งจะถูกนำไปใช้ในกระบวนการเจริญเติบโตของพืช (สมบูรณ์, 2548) พืชโดยทั่วไปมีกระบวนการเก็บเกี่ยวพลังงานแสงคล้ายคลึงกัน โดยมีรังควัตถุคลอร็อกซิล์เอและคลอร็อกซิล์บี ที่มีความสามารถในการดูดกลืนแสงสีน้ำเงินได้ดี เป็นพิเศษที่ความยาวคลื่น 428 and 453 nm ตามลำดับ และช่วงแสงสีแดงที่ความยาวคลื่น 661 and 642 nm ตามลำดับ (Lichtenthaler and Buschmann, 2001) จากการตรวจวัด สเปกตรัมของแสงหลอด LED ทั้ง 4 ตัวรับ ได้แก่ 6500 K 3200 K 6500 K : 3200 K และ RB (Red and Blue) พบร้า เส้นกราฟสเปกตรัมมีลักษณะเป็นลูกคลื่น 2 ลูก (ภาพที่ 16) โดยมีจุดสูงสุด ของเส้นกราฟในลูกคลื่นที่ 1 คือ 446 450 447 และ 446 nm ตามลำดับ และจุดสูงสุดของเส้นกราฟ ในลูกคลื่นที่ 2 ที่ 544 591 580 และ 664 nm ตามลำดับ (ตารางที่ 2) โดยจุดสูงสุดของเส้นกราฟ ในลูกคลื่นที่ 1 ของตัวรับ 6500 K 3200 K 6500 K : 3200 K ซึ่งเป็น LED ที่เปล่งแสงสีขาว มีความ ใกล้เคียงกันกับ ของตัวรับ RB ซึ่งเปล่งแสงเฉพาะสีน้ำเงิน และสีแดงเท่านั้น อาจเนื่องจากชิปของ LED ที่เปล่งแสงสีขาวเป็นชิปชนิดเดียวกันกับแสงในตัวรับ RB ที่ประกอบด้วยสารกึ่งตัวนำของ Gallium nitride (GaN) ซึ่งมีคุณสมบัติในการเปล่งแสงสีน้ำเงิน แต่ในหลอด LED สีขาวนั้น ตัวชิป ถูกเคลือบด้วยฟอสฟอร์ (Phosphor) ส่งผลให้เปล่งแสงสีน้ำเงิน สีเขียว และสีแดงออกมากสมกัน จนเกิดเป็นแสงสีขาวอ่อนๆ (Denbaars et al., 2013) (ภาพที่ 61) อย่างไรก็ตาม จุดสูงสุดของ เส้นกราฟในลูกคลื่นที่ 1 ของทุกตัวรับมีความใกล้เคียงกับความสามารถในการดูดกลืนแสงสีน้ำเงินได้ดี เป็นพิเศษของคลอร็อกซิล์เอ และคลอร็อกซิล์บี ส่วนจุดสูงสุดของเส้นกราฟในลูกคลื่นที่ 2 ของ LED ที่เปล่งแสงสีขาว ในตัวรับ 6500 K มีจุดสูงสุดของเส้นกราฟอยู่ในช่วงแสงสีเขียว ส่วน 3200 K และ 6500 K : 3200 K มีจุดสูงสุดของเส้นกราฟอยู่ในช่วงแสงสีเหลือง และส้ม ตามลำดับ ซึ่งมีความ แตกต่างกับตัวรับ RB ที่มีจุดสูงสุดของเส้นกราฟในลูกคลื่นที่ 2 อยู่ในช่วงแสงสีแดง (ตารางที่ 2) ที่มี ความใกล้เคียงกับความสามารถในการดูดกลืนแสงสีแดงได้ดีเป็นพิเศษของคลอร็อกซิล์เอ และ คลอร็อกซิล์บี อย่างไรก็ตาม LED ที่เปล่งแสงสีขาวทั้ง 3 ตัวรับ นั้นยังมีส่วนประของแสงสีแดงในช่วง ความยาวคลื่น 600 -700 nm อยู่ด้วยโดยตัวรับ 6500 K พบร้า มีเปอร์เซ็นต์ของช่วงความยาวคลื่น แสงสีแดงต่ำกว่าตัวรับ 3200 K อาจเนื่องจากคุณสมบัติของฟอสฟอร์ที่ใช้ในการเคลือบมีความ

แตกต่างกันส่งผลให้ปริมาณ และสัดส่วนของคุณภาพแสงมีความแตกต่างกันไปด้วย (Liu et al., 2009) ในขณะที่สำหรับ RB มีเปอร์เซ็นต์ของช่วงความยาวคลื่นแสงสีแดงมากที่สุด เนื่องจากการเปล่งแสงสีแดงมาจากการกึ่งตัวนำที่เปล่งแสงเฉพาะสีแดงเท่านั้น ซึ่งมีความแตกต่างจากการที่สำหรับ 6500 K : 3200 K และ 6500 K : 3200 K ที่ใช้สารกึ่งตัวนำที่ให้แสงสีน้ำเงินเป็นแสงตั้งต้น แล้วเคลือบด้วยพอสฟอร์จนเกิดเป็นแสงสีขาวที่มีแสงสีแดงเป็นส่วนประกอบอยู่ด้วย (Denbaars et al., 2013)



ภาพที่ 61 แสดงหลักการเปล่งแสงสีขาวจากแหล่งกำเนิดแสง  
ของสารกึ่งตัวนำชนิด Gallium nitride

ที่มา: Denbaars et al. (2013)

#### อิทธิพลของช่วงแสงจากหลอดแอลอีดีต่อการเจริญเติบโตของต้นพิทูเนีย

1. อิทธิพลของช่วงแสงต่อการเจริญเติบโตทางลำต้น และใบของต้นพิทูเนียในระยะต้นกล้า (ช่วงอายุ 30 วันหลังจากเพาะเมล็ด)

ที่เป็นเช่นนี้อาจเนื่องมาจากต้นพิทูเนียที่ปลูกภายใต้ช่วงแสง 16 ชั่วโมง มีลักษณะโครงสร้างของใบที่มีความหนามากที่สุด (ตารางที่ 7 และภาพที่ 23) ซึ่งส่งผลให้รังควัตถุที่เกี่ยวข้องกับการเก็บเกี่ยวพลังงานแสงต่อพื้นที่ หรือต่อปริมาตรของใบมีค่ามากกว่าการได้รับช่วงแสงอื่น ๆ (ภาพที่ 26c) นอกจากนี้ยังเห็นได้จากค่า  $F_m$  (ภาพที่ 27c) ที่มีค่าสูงที่สุด ซึ่งอาจบ่งชี้ถึงคลอโรฟิลล์ที่มีปริมาณมาก เมื่อทำการตรวจประสีทิปภาพการใช้แสงสูงสุดของ PSII ทั้ง  $F_v/F_m$  และ  $\Phi_{PSII}$  จึงมีค่าสูงไปด้วย (ภาพที่ 27a และ 27d) ดังนั้นลักษณะของใบพิทูเนียที่พัฒนาการมาจากการได้รับช่วงแสง 16 ชั่วโมง จึงมีประสิทธิภาพในการเก็บเกี่ยวพลังงานแสง และการนำแสงไปใช้ในกระบวนการตระผง  $CO_2$  สูงกว่าใบของต้นที่ได้รับช่วงแสงในตำรับอื่น ๆ นอกจากนี้ การได้รับช่วงแสง 16 ชั่วโมงต่อวันทำให้ต้นพืชมีระยะเวลาในการใช้พลังงานแสงเพื่อตระผง  $CO_2$  มากกว่าการได้รับช่วงแสง 8 และ 12

ชั่วโมงต่อวัน ซึ่งเห็นได้จากค่าผลรวมต่อหนึ่งหน่วยพื้นที่ใบต่อช่วงแสงที่ได้รับในหนึ่งวัน ของการได้รับช่วงแสง 16 h ที่มีค่าดัชนีที่เกี่ยวข้องกับการแลกเปลี่ยนกําชั้ห้อตราชารสั่งเคราะห์ สูงกว่าการได้รับช่วงแสงอื่น ๆ อย่างมีนัยสำคัญทางสถิติ (ภาพที่ 28b 28d และ 28f)

ที่เป็นเช่นนี้อาจเนื่องมาจากต้นพิทูเนียที่ปลูกภายใต้ช่วงแสง 16 ชั่วโมง มีลักษณะโครงสร้างของใบที่มีความหนามากที่สุด (ตารางที่ 7 และภาพที่ 23) ซึ่งส่งผลให้รังควัตถุที่เกี่ยวข้องกับการเก็บเกี่ยวพลังงานแสงต่อพื้นที่ หรือต่อปริมาตรของใบมีค่ามากกว่าการได้รับช่วงแสงอื่น ๆ (ภาพที่ 26c) นอกจากนี้ยังเห็นได้จากค่า  $F_m$  (ภาพที่ 27c) ที่มีค่าสูงที่สุด ซึ่งบ่งชี้ถึงคลอรอฟิลล์ที่มีปริมาณมาก เมื่อทำการตรวจวัดประสิทธิภาพการใช้แสงสูงสุดของ PSII ทั้ง  $F_v/F_m$  และ  $\Phi_{PSII}$  จึงมีค่าสูงไปด้วย (ภาพที่ 27a และ 27d) ดังนั้nlักษณะของใบพิทูเนียที่พัฒนาการมาจากการได้รับช่วงแสง 16 ชั่วโมง จึงมีประสิทธิภาพสูงกว่าการได้รับช่วงแสงในตัวรับอื่น ๆ ใน การเก็บเกี่ยวพลังงานแสง และประสิทธิภาพการนำแสงไปใช้ในกระบวนการตรึง  $CO_2$  ต่อไป นอกจากนี้ การได้รับช่วงแสง 16 ชั่วโมง ต่อวัน มีระยะเวลาในการใช้พลังงานแสงเพื่อตรึง  $CO_2$  มากกว่าการได้รับช่วงแสง 8 และ 12 ชั่วโมง ต่อวัน ซึ่งเห็นได้จากค่าผลรวมต่อหนึ่งหน่วยพื้นที่ใบต่อช่วงแสงที่ได้รับในหนึ่งวัน ของการได้รับช่วงแสง 16 h มีค่าดัชนีที่เกี่ยวข้องกับการแลกเปลี่ยนกําชั้ห้อตราชารสั่งเคราะห์ สูงกว่าการได้รับช่วงแสงอื่น ๆ อย่างมีนัยสำคัญทางสถิติ (ภาพที่ 28b 28d และ 28f)

## 2. อิทธิพลของช่วงแสงต่อการเจริญเติบโตทางลำต้น ใบ ดอก และผลผลิตเมล็ดของต้นพิทูเนีย

ปัจจัยทางสภาพแวดล้อมมีอิทธิพลต่อการออกดอกของต้นพิทูเนีย โดยจะออกดอกได้มาก เมื่อได้รับปัจจัยบางอย่างมากเป็นพิเศษ เช่น ได้รับช่วงแสงวันยาว ความเข้มแสงสูง หรืออุณหภูมิต่ำ เป็นต้น (Adams et al. 1999) จากการทดลองพบว่า การให้ช่วงแสง 16 ชั่วโมงต่อวัน ส่งผลให้ต้นพิทูเนียออกดอกไว (ภาพที่ 33a) มีจำนวนดอก (ภาพที่ 33c) มากกว่าการได้รับช่วงแสง 8 และ 12 ชั่วโมง และส่งผลให้ผลผลิตฝัก (ภาพที่ 33e) และจำนวนเมล็ดต่อต้น (ภาพที่ 35b) สูงตามไปด้วย ทั้งนี้การได้รับช่วงแสง 8 และ 12 ชั่วโมงต่อวัน จะส่งเสริมการเจริญทางลำต้นมากกว่าการออกดอก โดยมีแนวโน้มของมวลน้ำหนักสด และมวลน้ำหนักแห้งสูงในช่วงที่มีการออกดอก อีกทั้งจำนวนข้อใบบนกิ่งก่อนที่พับการออกดอกแรกมากกว่าต้นพิทูเนียที่ได้รับช่วงแสง 16 ชั่วโมงต่อวัน (ภาพที่ 32b และ 32b)

เมล็ดที่ได้จากต้นพิทูเนียที่เจริญเติบโตภายใต้แสง 16 ชั่วโมงต่อวัน มีแนวโน้มของเบอร์เช็นต์ ความคงตัวกว่าเมล็ดที่ได้จากต้นพิทูเนียที่เจริญเติบโตภายใต้แสง 8 และ 12 ชั่วโมงต่อวัน (ภาพที่ 36c) ทั้งนี้อาจเป็นผลมาจากการจำนวนดอก จำนวนฝัก (ภาพที่ 33c และ 33e) และจำนวนเมล็ดต่อต้นที่มีปริมาณมาก (ภาพที่ 35b) ทำให้ต้นพิทูเนียมีภาระในการหล่อเลี้ยงดอก ฝัก และเมล็ดมากขึ้น จึงส่งผลให้เมล็ดมีการสะสมอาหารไว้ได้น้อย ซึ่งจะเห็นได้จากมวลน้ำหนักแห้งของเมล็ด ที่มีค่าต่ำ

กว่าตัวรับอื่น ๆ (ภาพที่ 35d) ในขณะที่ต้นพิทูเนียที่เจริญเติบโตภายใต้แสง 8 และ 12 ชั่วโมงต่อวัน มีจำนวนดอก จำนวนฝัก และจำนวนเมล็ดต่อต้นที่ต่ำกว่าต้นพิทูเนียที่เจริญเติบโตภายใต้แสง 16 ชั่วโมงต่อวัน อย่างไรก็ตามเปอร์เซ็นต์ความออกของเมล็ดจากต้นพิทูเนียที่เจริญเติบโตภายใต้ช่วงแสงทั้ง 3 ตัวรับ มีเปอร์เซ็นต์ความออกต่ำกว่า 50 เปอร์เซ็นต์ ซึ่งอาจจะเป็นผลมาจากการนำเมล็ดสดที่เก็บมาจากต้นพิทูเนีย แล้วนำมายัดสอดเปอร์เซ็นต์ความออกทันที โดยไม่ผ่านกระบวนการทำลายการพักตัวของเมล็ดพิทูเนีย (Sink, 1984)

### อิทธิพลของคุณภาพ และความเข้มแสงจากหลอดแอลอีดี ต่อการเจริญเติบโตของต้นพิทูเนีย

#### 1. อิทธิพลของความเข้ม และคุณภาพแสง (Light response function) ต่อค่าดัชนีที่เกี่ยวข้องกับการแลกเปลี่ยนกําช

คุณภาพ และความเข้มแสง มีอิทธิพลต่อกระบวนการทางสรีรวิทยา และสันฐานวิทยาของพืชโดยตรง (Cope and Bugbee, 2013) โดยปกติ ระดับความเข้มของแสงที่เพิ่มขึ้นจากจุดขาดแสง (Light compensation point) ไปเรื่อย ๆ นั้น จะทำให้อัตราการสังเคราะห์แสงเพิ่มขึ้นตามไปด้วย จนกระทั่งถึงจุดอิ่มตัวของความเข้มแสง (Light saturation point) (Wang et al., 2016; Xiaoying et al., 2012) ซึ่ง ณ จุดนี้การเพิ่มความเข้มแสงจะไม่ส่งผลให้อัตราการสังเคราะห์แสงเพิ่มสูงขึ้นต่อไปอีก เนื่องจากมีปัจจัยอื่น ๆ ที่จำกัดอัตราการสังเคราะห์แสง เช่น ปริมาณคาร์บอนไดออกไซด์ การนำไปของปากใบ และคุณภาพแสง เป็นต้น (Xiaoying et al., 2012) จากการทดลอง พบว่า ค่าอัตราการสังเคราะห์แสง ค่าอัตราการหายใจของน้ำ และค่าอัตราการนำไปของปากใบ เพิ่มขึ้นตามระดับความเข้มแสงที่เพิ่มขึ้น (ภาพที่ 37a 37b และ 37c) โดยค่าความชันของเส้นกราฟในช่วงความเข้มแสง  $50-200 \mu\text{mol}\cdot\text{m}^{-2}\cdot\text{s}^{-1}$  ของตัวรับ 6500 K : 3200 K และ RB มีค่าสูงที่สุด ในขณะที่ 6500 K (ภาพที่ 38a 38c และ 38d และตารางที่ 9) มีค่าต่ำสุด เมื่อความเข้มแสงของคุณภาพแสงทั้ง 4 ตัวรับเพิ่มขึ้นสูงกว่า  $200 \mu\text{mol}\cdot\text{m}^{-2}\cdot\text{s}^{-1}$  จะเห็นได้ว่าประสิทธิภาพการใช้พลังงานแสงในการตรึง  $\text{CO}_2$  ลดต่ำลงอย่างมีนัยสำคัญทางสถิติ (ภาพที่ 39) อาจเนื่องจากปริมาณ  $\text{CO}_2$  มีจำกัด จะเห็นได้จากปริมาณ  $\text{CO}_2$  ในช่องว่างระหว่างเซลล์ของใบพิทูเนียซึ่งลดต่ำลงในช่วงระดับความเข้มแสง  $50 - 150 \mu\text{mol}\cdot\text{m}^{-2}\cdot\text{s}^{-1}$  และมีค่าค่อนข้างคงที่เมื่อเพิ่มระดับความเข้มแสงตั้งแต่  $200 - 1000 \mu\text{mol}\cdot\text{m}^{-2}\cdot\text{s}^{-1}$  (ภาพที่ 37d) ดังนั้นการปลูกพิทูเนียภายใต้ความเข้มแสงที่สูงกว่า  $200 \mu\text{mol}\cdot\text{m}^{-2}\cdot\text{s}^{-1}$  ของตัวรับ 6500 K : 3200 K และ RB ในสภาวะที่มี  $\text{CO}_2$  มีจำกัด อาจก่อให้เกิดความสิ้นเปลืองพลังงานโดยแหล่งกำเนิดแสง LED เนื่องจากความเข้มแสงที่เพิ่มสูงขึ้นนี้ไม่ได้ถูกใช้ในการสังเคราะห์แสงอย่างมีประสิทธิภาพสูงสุด

## 2. อิทธิพลของคุณภาพแสง และความเข้มแสงต่อการเจริญเติบโตทั้งทางด้านสรีรวิทยา และสันฐานวิทยา

มีการศึกษาในอดีตที่ผ่านมาที่แสดงให้เห็นว่าความเข้มแสงมีอิทธิพลต่อค่าดัชนีที่เกี่ยวข้องกับการแลกเปลี่ยนกําชของต้นพิพูเนีย เช่น Haliapas et al. (2008) พบว่า เมื่อให้ความเข้มแสง  $360 \mu\text{mol}\cdot\text{m}^{-2}\cdot\text{s}^{-1}$  ด้วยหลอดไฟความดันไอลูสูง (Hyper Intensity Discharge; HID) พบว่าต้นพิพูเนีย มีค่าอัตราการสังเคราะห์แสงสูงกว่าการได้รับความเข้มแสง 40 และ  $120 \mu\text{mol}\cdot\text{m}^{-2}\cdot\text{s}^{-1}$  ซึ่งมีความสอดคล้องกับการทดลองนี้ โดยความเข้มแสง  $200 \mu\text{mol}\cdot\text{m}^{-2}\cdot\text{s}^{-1}$  ของคุณภาพแสงทั้ง 4 ตำรับ มีค่าอัตราการสังเคราะห์แสงสูงกว่าการได้รับความเข้มแสง  $150 \mu\text{mol}\cdot\text{m}^{-2}\cdot\text{s}^{-1}$  (ภาพที่ 40a) อย่างไรก็ตาม ประสิทธิภาพการใช้พลังงานแสงในการตรึง  $\text{CO}_2$  ของการได้รับแสงที่ความเข้มข้น 150 และ  $200 \mu\text{mol}\cdot\text{m}^{-2}\cdot\text{s}^{-1}$  ไม่มีความแตกต่างกัน (ภาพที่ 39 และตารางที่ 10) ในขณะที่ความเข้มแสงที่  $200 \mu\text{mol}\cdot\text{m}^{-2}\cdot\text{s}^{-1}$  มีอัตราการเคลื่อนย้ายอิเล็กตรอนที่สูงกว่าการได้รับแสงที่ความเข้ม  $150 \mu\text{mol}\cdot\text{m}^{-2}\cdot\text{s}^{-1}$  (ภาพที่ 44c) จึงน่าจะส่งผลให้อัตราการนำพลังงานแสงไปใช้ในการตรึง  $\text{CO}_2$  ของใบพิพูเนียที่อยู่ภายใต้ความเข้มแสง  $200 \mu\text{mol}\cdot\text{m}^{-2}\cdot\text{s}^{-1}$  เร็วกว่าการได้รับความเข้มแสง  $150 \mu\text{mol}\cdot\text{m}^{-2}\cdot\text{s}^{-1}$

อัตราการสังเคราะห์แสงของตำรับ RB ทั้งความเข้มแสง 150 และ  $200 \mu\text{mol}\cdot\text{m}^{-2}\cdot\text{s}^{-1}$  มีค่าสูงกว่าตำรับอื่น ๆ ตลอดการทดลอง (ภาพที่ 41a และ 41b) อาจเนื่องจากแสงในตำรับ RB นั้น มีปริมาณแสงสีน้ำเงิน และแดงที่มีช่วงคลื่นตรงกับช่วงคลื่นการดูดกลืนแสงของคลอโรฟิลล์มากที่สุด (ภาพที่ 17 และภาพที่ 18) จากการศึกษาของ Sakhonwasee et al. (2017) พบว่า ต้นพิพูเนียพันธุ์ Purple ที่เจริญเติบโตภายใต้แสง RB มีความหนาแน่นของปากใบสูงซึ่งอาจเป็นสาเหตุหนึ่งที่ทำให้อัตราการสังเคราะห์แสงต่อน้ำหน่วยพื้นที่ใบสูง นอกจากนี้ยังมีรายงานอื่น ๆ แสดงให้เห็นว่าแสงที่มีสัดส่วนของสีน้ำเงินมาก ส่งผลให้มีความหนาแน่นของปากใบสูงด้วย และกระตุ้นให้มีการแสดงออกของยีนที่ควบคุมการสังเคราะห์เอนไซม์รูบิสโก (RubisCo) ซึ่งเป็นเอนไซม์สำคัญในกระบวนการตรึง  $\text{CO}_2$  เพิ่มมากขึ้น (Wang et al., 2009; Muneer et al., 2014; Juwei et al., 2016; Wang et al., 2016) อีกทั้งแสงสีน้ำเงินยังส่งผลให้ปากใบเปิดกว้างมาก (Frechilla et al., 2000; Talbott et al., 2002) ดังนั้นการตรวจวัดค่าดัชนีในการแลกเปลี่ยนกําชของใบที่อยู่ด้านนอกของทรงพุ่มด้วยแสงในตำรับ RB จึงพบว่ามีอัตราการตรึง  $\text{CO}_2$  มากกว่าค่าอัตราการสังเคราะห์ที่วัดภายใต้แสงในตำรับอื่น ๆ ในขณะที่ มวลน้ำหนักสด และมวลน้ำหนักแห้ง ไม่สอดคล้องกับค่าอัตราการสังเคราะห์แสงโดยตำรับ 3200 K และ  $6500 : 3200$  K ที่ความเข้มแสง  $200 \mu\text{mol}\cdot\text{m}^{-2}\cdot\text{s}^{-1}$  มีค่ามวลน้ำหนักสดและมวลน้ำหนักแห้งสูงกว่าตำรับ RB อาจเป็นเพราะ แสงในตำรับ RB ซึ่งประกอบด้วยช่วงความยาวคลื่นสีน้ำเงิน (446 nm) และสีแดง (664 nm) (ตารางที่ 2) ที่คลอโรฟิลล์มีความสามารถดูดกลืนได้เป็นพิเศษ (Lichtenthaler and Buschmann, 2001) ส่งผลให้ใบพิพูเนียที่อยู่ด้านนอกของทรงพุ่ม

ดูดกลืนแสงสีน้ำเงิน และสีแดงดังกล่าวไว้เกือบทั้งหมด และมีเพียงพลังงานแสงเพียงเล็กน้อยที่จะส่องทะลุเข้าไปในทรงพุ่มได้ ในขณะที่แสงใน temper 3200 K และ 6500 K : 3200 K นั้น ซึ่งมีส่วนประกอบของแสงทั้งในช่วงความยาวคลื่นแสงสีน้ำเงิน เขียว และแดง โดยแสงสีเขียวมีความสามารถในการทะลุผ่านใบด้านนอกของทรงพุ่มได้มากกว่าแสงสีน้ำเงิน และแดง อีกทั้งใบพืชที่มีความหนามาก เนื้อยื่น เป็นจุดที่รับแสงสีเขียวมากกว่าแสงสีน้ำเงิน และแดงอีกด้วย (Sun et al., 1998; Nishio, 2000) ส่งผลให้ใบทั้งหมดที่อยู่ทั้งใน และนอกทรงพุ่มได้รับพลังงานจากแสงสีเขียว ดังนั้นกระบวนการตระหง่าน CO<sub>2</sub> และการเจริญเติบโตโดยรวมของทรงพุ่มก็จะเพิ่มมากขึ้นเมื่อมีการให้แสงสีเขียวผสมกับแสงสีแดง และน้ำเงิน (Kim et al., 2004; Terashima et al., 2009) นอกจากนี้แสงที่มีส่วนประกอบของแสงแดงไกลยังส่งเสริมการเจริญเติบโตได้มากกว่าแสงที่ไม่มีแสงแดงไกลเป็นส่วนประกอบ (Lee et al., 2016; Bae et al., 2017) ดังนั้น ต้นพิทูเนียใน temper 3200 K และ 6500 K : 3200 K ซึ่งมีแสงแดงไกลเป็นส่วนประกอบ จึงมีการเจริญเติบโตมากกว่าต้นที่ปลูกภายใต้แสง RB และมีความคุ้มค่ามากที่สุดในการใช้เป็นแหล่งกำเนิดแสงเพื่อส่งเสริมการเจริญเติบโตของต้นพิทูเนีย ซึ่งจะเห็นได้จากค่าประสิทธิภาพการใช้พลังงานแสงเพื่อการเจริญเติบโตทางลำต้น และใบ ที่สูงที่สุด (ภาพที่ 47e)

#### อิทธิพลของคุณภาพแสง ต่อการเจริญเติบโต การออดออก การให้ผลผลิต และคุณภาพเมล็ดพันธุ์ของต้นพิทูเนีย

ที่ผ่านมา มีการศึกษาอิทธิพลของแสงที่มีแสงแดงไกลเป็นส่วนประกอบอยู่มาก ต่อต้นถั่วเล็นทิล 18 ชนิด โดยพบว่าแสงแสงแดงไกลส่งผลให้ลำต้นถั่วอีดทุกชนิด นอกจากนี้ในต้นถั่วบางชนิด มีการเจริญเติบโตสูงขึ้น และให้ผลผลิตเมล็ดถั่วสูงอีกด้วย (Yuan et al., 2017) ซึ่งสอดคล้องกับงานวิจัยนี้ โดยแสงใน temper 3200 K นั้น มีแสงแดงไกลเป็นส่วนประกอบมากกว่าแสงใน temper อื่น ๆ (ภาพที่ 17 และตารางที่ 3) และยังพบความสัมพันธ์ของแสงแดงไกลที่เพิ่มมากขึ้น สอดคล้องไปในทิศทางเดียวกับการขยายของทรงพุ่มที่เพิ่มมากขึ้นอีกด้วย (ตารางที่ 15) ดังนั้นทรงพุ่มของต้นพิทูเนีย ที่ได้รับแสงใน temper 3200 K จึงมีการขยายความกว้าง และความสูงมากกว่าใน temper อื่น ๆ (ภาพที่ 49 และ ภาพที่ 50)

แสงที่มีส่วนประกอบของแสงแดงไกล สามารถซักนำให้พืชหลายชนิดออดออกได้ดีขึ้น เช่น เบญจมาศ (Craig et al., 2013) พิทูเนีย (Kohyama et al., 2014; Park et al., 2016) ถั่วเล็นทิล (Yuan et al., 2017) สตรอว์เบอร์รี่ (Takeda & Glenn, 2008) เป็นต้น จากการทดลองแสดงให้เห็น ความสัมพันธ์ของแสงแดงไกลที่เพิ่มมากขึ้น มีความสอดคล้องไปในทิศทางเดียวกันกับ จำนวนดอก จำนวนฝัก เปอร์เซ็นต์การออกของเรณู จำนวนเมล็ดต่อฝัก และจำนวนเมล็ดต่อต้นที่เพิ่มมากขึ้น (ตารางที่ 14 และตารางที่ 15) ดังนั้น แสงใน temper 3200 K ซึ่งมีแสงแดงไกลเป็นส่วนประกอบ

มากกว่าแสงในต่ำรับอื่น ๆ จึงส่งผลให้ต้นพิทูเนียมีปริมาณการออกดอกต่อวัน (ภาพที่ 54) จำนวนดอก (ภาพที่ 53d) จำนวนฝัก (ภาพที่ 56b) เปอร์เซ็นต์การออกของเรณู จำนวนเมล็ดต่อฝัก และจำนวนเมล็ดต่อต้นสูงกว่าในต่ำรับอื่น ๆ (ภาพที่ 57b 57c และ 57d) ในขณะที่ต่ำรับ RB ซึ่งไม่มีแสงแดดใกล้เป็นส่วนประกอบ จะเห็นได้ว่ามีปริมาณการออกดอกต่อวัน และจำนวนดอกต่อต้นต่ำที่สุด (ภาพที่ 53d และภาพที่ 54) และส่งผลต่อจำนวนฝัก (ภาพที่ 56b) และจำนวนเมล็ดต่อต้นที่ต่ำที่สุด อีกด้วย (ภาพที่ 57d) ดังนั้น แสง LED ในต่ำรับแสงขาวทั้ง 3 ต่ำรับที่มีส่วนประกอบของแสงแดงไกล มีความสามารถชักนำการติดดอก และผลได้ดีกว่าการใช้แสงในต่ำรับ RB อย่างไรก็ตาม แสงในต่ำรับ 3200 K และ 6500 : 3200 K มีความคุ้มค่ามากที่สุดในการใช้เป็นแหล่งกำเนิดแสงเพื่อผลิตเมล็ดพันธุ์ที่สูงที่สุด พันธุ์พิทูเนียม ซึ่งจะเห็นได้จากค่าประสิทธิภาพการใช้พลังงานแสงเพื่อผลิตเมล็ดพันธุ์ที่สูงที่สุด

ผลการทดสอบคุณภาพเมล็ดพิทูเนียมีผลิตได้จากการทดลองในแต่ละต่ำรับ แสดงให้เห็นว่า เมล็ดที่ผลิตจากต้นพิทูเนียวยได้ต่ำรับแสงที่ต่างกันมีมวลน้ำหนักสด และมวลน้ำหนักแห้ง ไม่แตกต่างกัน ในขณะที่เมล็ดพิทูเนียมีผลิตโดยบริษัท AFM มีมวลน้ำหนักสด และน้ำหนักแห้งสูงกว่า เมล็ดที่ผลิตได้จากการทดลองนี้ทุกต่ำรับ (ภาพที่ 59) เมื่อนำเมล็ดเมล็ดพิทูเนียมีผลิตจากการทดลองของทุกต่ำรับ และที่ผลิตโดยบริษัท AFM มาทำการเร่งอายุในสภาวะอากาศที่อิ่มตัวด้วยน้ำ แล้ว ทำการวัดปริมาณความชื้น พบว่า ความชื้นของเมล็ดจากบริษัท AFM ไม่มีความแตกต่างกับเมล็ดปกติ ในขณะที่เมล็ดที่ได้จากการทดลองของทุกต่ำรับมีความชื้นในเมล็ดเพิ่มขึ้นจากเมล็ดปกติอย่างมีนัยสำคัญทางสถิติ นอกจากนี้เมล็ดที่ผลิตโดยบริษัท AFM มีเปอร์เซ็นต์การออกต่ำ และเวลาที่ใช้ในการออกที่ยาวนานกว่าเมล็ดที่ได้จากการทดลองของทุกต่ำรับ (ภาพที่ 60) โดยปกติเมล็ดพิทูเนียมีระยะการพักตัวของเมล็ด โดยส่วนหนึ่งเกิดจากลักษณะทางกายวิภาคของเมล็ด ที่ไม่สามารถแตกเปลี่ยนรูป และน้ำร้าห่วงภายในกับภายนอกของเมล็ดได้ (Sink, 1984) อาจมีความเป็นไปได้ว่า เมล็ดที่ผลิตโดยบริษัท AFM ภายใต้สภาพโรงเรือนมีขนาด และเปลือกผิวนอกของเมล็ดที่ใหญ่ และหากว่าเมล็ดที่ได้จากการทดลองของทุกต่ำรับ จึงส่งผลให้มีมวลน้ำหนักสด และมวลน้ำหนักแห้งสูง อีกทั้งความหนานี้อาจเป็นเหตุผลให้ความชื้นของเมล็ดทั้งที่ผ่านการเร่งอายุในสภาวะอากาศที่อิ่มตัวด้วยน้ำ และเมล็ดปกติของบริษัท AFM ไม่มีความแตกต่างกัน เพราะไม่เลกุลของน้ำจะซึมผ่านเปลือกผิวนอกที่มีความหนาได้ยาก และซักก่อนเปลือกผิวนอกที่มีความบาง ดังนั้นมีความชื้นไม่สามารถซึมผ่านเข้าไปในเมล็ดได้ง่าย จึงส่งผลต่อเปอร์เซ็นต์ความออกต่ำ และใช้เวลาในการออกนาน

## สรุปผลการทดลอง

ผลการทดลองนี้แสดงให้เห็นว่าหลอดไฟ LED ทุกตัวรับ มีช่วงความยาวคลื่นแสงสีน้ำเงิน ที่เหมือนกัน ในขณะที่ช่วงความยาวคลื่นแสงอื่น ๆ จะมีความแตกต่างกันตามอุณหภูมิสีของแสง หรือ ชนิดของชิปเปล่งแสง นอกจากนี้การทดสอบ LED ที่มีอุณหภูมิสี หรือชิปเปล่งแสงในช่วง ความยาวคลื่นที่แตกต่างกันสามารถปรับแต่งให้คุณภาพของผลรวมแสงมีการเปลี่ยนแปลงไปได้

การให้ช่วงแสง 16 ชั่วโมงต่อวัน ส่งผลให้ต้นพิทูเนียทั้งในระยะต้นกล้า และระยะออกดอกมี การเจริญเติบโตของใบ ดอก และผลผลิตเมล็ด มากที่สุด โดยต้นกล้ามีการเจริญเติบโตเร็ว และมี คุณสมบัติทางสัณฐานวิทยา และสรีรวิทยาที่ดี ส่วนในระยะการสืบพันธุ์สามารถออกดอกได้ไว มีการ ติดฝัก และเมล็ดต่อต้นสูง

การให้ความเข้มแสง  $200 \mu\text{mol}\cdot\text{m}^{-2}\cdot\text{s}^{-1}$  ส่งผลให้ต้นพิทูเนียมีประสิทธิภาพในการนำพลังงาน แสงไปใช้ในกระบวนการสังเคราะห์แสงได้ดีที่สุด โดยทำให้ค่าอัตราการสังเคราะห์แสงสูงกว่าการได้รับ ความเข้มแสงที่ต่ำกว่า  $200 \mu\text{mol}\cdot\text{m}^{-2}\cdot\text{s}^{-1}$  และเมื่อให้ความเข้มแสงที่สูงกว่า  $200 \mu\text{mol}\cdot\text{m}^{-2}\cdot\text{s}^{-1}$  จะทำให้ประสิทธิภาพการใช้พลังงานแสงในการตรึง  $\text{CO}_2$  ลดต่ำลง

ตัวรับ 3200 K และ 6500 K : 3200 K ที่ระดับความเข้มแสง  $200 \mu\text{mol}\cdot\text{m}^{-2}\cdot\text{s}^{-1}$  ส่งผลให้ ต้นพิทูเนียมีการเจริญเติบโตทั้งทางด้านสัณฐานวิทยา และสรีรวิทยาได้ดีกว่าแสงในตัวรับอื่นๆ อย่างไร ก็ตาม แสงในตัวรับ 3200 K จะมีลักษณะทรงพุ่มที่ยืดขยายกว่าแสงในตัวรับ 6500 K : 3200 K ซึ่ง ลักษณะยึดของทรงพุ่มดังกล่าวส่งผลให้การจัดการในระบบปลูกมีความยากต่อการเคลื่อนย้าย ดังนั้น การใช้แสงตัวรับ 6500 K : 3200 K จึงมีความเหมาะสมในการใช้เป็นแหล่งกำเนิดแสงเพื่อปลูก ต้นพิทูเนีย

ตัวรับ 3200 K และ 6500 K : 3200 K ที่ระดับความเข้มแสง  $200 \mu\text{mol}\cdot\text{m}^{-2}\cdot\text{s}^{-1}$  เป็น แหล่งกำเนิดแสงที่ให้ความคุ้มค่ามากที่สุดในการใช้พลังงานแสงเพื่อการเจริญเติบโต การออกดอก การติดฝัก และผลผลิตเมล็ดพันธุ์ต่อต้นสูง และเมล็ดยังมีคุณภาพที่สูงกว่าตัวรับอื่นๆ อย่างไรก็ตาม เมล็ดจากต้นพิทูเนียที่ปลูกภายใต้แสงไฟในตัวรับ 6500 K : 3200 K มีปอร์เช่นต์ความคงอก และความ เชื้งแรงของเมล็ดสูงที่สุด

### ข้อเสนอแนะ

การทดลองในครั้งนี้มุ่งเน้นในการศึกษาอิทธิพลของแสงจากหลอดแอลอีดีต่อการเจริญเติบโต และการผลิตเมล็ดพันธุ์ของต้นพิทูเนียในระบบกึ่งปิด ซึ่งข้อมูลการเจริญเติบโตของต้นพิทูเนีย และ ผลผลิตเมล็ดพันธุ์ที่ได้นั้น ไม่ได้ถูกนำมาเปรียบเทียบกับการเจริญเติบโตของต้นพิทูเนีย และผลผลิต

เมล็ดพันธุ์ที่อยู่ในสภาวะการปลูกในโรงเรือนแบบดั้งเดิม จึงยังไม่สามารถวิเคราะห์การแตกต่างของระบบปลูกทั้งสองรูปแบบได้อย่างชัดเจน ดังนั้น ควรศึกษาเปรียบเทียบการเจริญเติบโต และการผลิตเมล็ดพันธุ์ของต้นพิทูเนียในระบบกึ่งปิด และในสภาวะปลูกในโรงเรือนแบบดั้งเดิม เพื่อให้เห็นความแตกต่างกันอย่างชัดเจนยิ่งขึ้นต่อไป



## บรรณานุกรม

- ชวนพิศ แดงสวัสดิ์. 2544. สรีวิทยาของพืช. พิมพ์ครั้งที่ 2. กรุงเทพฯ: พัฒนาศึกษา.
- นันทิยา สมานนท์. 2535. คู่มือการปลูกไม้ดอก. กรุงเทพฯ: โอดี้ียนสโตร์.
- นงลักษณ์ สุวรรณพินิจ และ ปรีชา สุวรรณพินิจ. 2554. จุลชีววิทยาทั่วไป. พิมพ์ครั้งที่ 9. กรุงเทพฯ: จุฬาลงกรณ์มหาวิทยาลัย.
- ราชบัณฑิตยสถาน. 2541. ศัพท์พฤกษาศาสตร์ อังกฤษ-ไทย ฉบับราชบัณฑิตยสถาน. กรุงเทพฯ: อรุณการพิมพ์.
- ลิลี่ กาวิตะ. 2546. การเปลี่ยนแปลงทางสัณฐาน และพัฒนาการของพืช. กรุงเทพฯ: มหาวิทยาลัยเกษตรศาสตร์.
- วันเพ็ญ ภูติจันทร์. 2547. พฤกษาศาสตร์. กรุงเทพฯ: โอ เอส.พรินติ้ง เอ้าส์.
- วนุช แจ้งสว่าง. 2553. พลังงานหมุนเวียน. พิมพ์ครั้งที่ 2. กรุงเทพฯ: แอกทีฟ พรินท์.
- สมาคมเมล็ดพันธุ์แห่งประเทศไทย. 2550. ข่าวสารเมล็ดพันธุ์พืช. [ระบบออนไลน์]. แหล่งที่มา <http://seed.or.th/documents/seedmags/july&august07.pdf> (23 พฤษภาคม 2558).
- สมบุญ เตชะภิญญาวัฒน์. 2548ก. ชีววิทยาพืช. กรุงเทพฯ: จามจุรีโปรดักท์.
- \_\_\_\_\_. 2548ข. สรีวิทยาของพืช. พิมพ์ครั้งที่ 4. กรุงเทพฯ: จามจุรีโปรดักท์.
- สมเพียร เกษมทรัพย์. 2526. ไม้ดอกกระถาง. กรุงเทพฯ: อักษรพิทยา.
- สัมฤทธิ์ เพื่องจันทร์. 2544. สรีวิทยาการพัฒนาการพืช. กรุงเทพฯ: คลังนานาวิทยา.
- อรุคเดช ศรีบุตรตะ และ พัชรี แสนจันทร์. 2554. การเปลี่ยนแปลงสภาพภูมิอากาศโลกและแนวโน้มในอนาคต. วารสารวิชาการพระจอมเกล้าพระนครเหนือ, 12, 60-64.
- Adams, S. R., Pearson, S., Hadley, P., & Patefield, W. M. 1999. The effects of temperature and light integral on the phases of photoperiod sensitivity in *Petunia x hybrida*. *Annals of Botany*, 83, (3), 263-269.
- Akbarian, B., Matloobi, M., & Mahna, N. 2016. Effects of LED Light on Seed Emergence and Seedling Quality of Four Bedding Flowers. *Journal of Ornamental & Horticultural Plants*, 6, (2), 115-123.
- Aphalo, P. J. 2006. Light signals and the growth and development of plants—a gentle introduction. *The plant photobiology notes*, 1, 39.

- Bae, J. H., Park, S. Y. & Oh, M. M. 2017. Supplemental Irradiation with Far-red Light-emitting Diodes Improves Growth and Phenolic Contents in *Crepidiastrum denticulatum* in a Plant Factory with Artificial Lighting. *Hortic. Environ. Biotechnol.*, 58, (4), 357-366.
- Blanchard, M. G., Runkle, E. S., & Fisher, P. R. 2011. Modeling plant morphology and development of petunia in response to temperature and photosynthetic daily light integral. *Scientia horticulturae*, 129, (2), 313-320.
- Borthwick, H. A., Hendricks, S. B., Parker, M. W., Toole, E. H., & Toole, V. K. 1952. A reversible photoreaction controlling seed germination. *Proceedings of the National Academy of Sciences*, 38, (8), 662-666.
- Bourget, C. M. 2008. An introduction to light-emitting diodes. *HortScience*, 43, (7), 1944-1946.
- Brewbaker, J.L. & Kwack B.H. 1963. The essential role of calcium ion in pollen germination and pollen tube growth. *Amer.Jour.Bot*, 50, (9), 859-865.
- Burdett, A. N. 1972. Two effects of prolonged far red light on the response of lettuce seeds to exogenous gibberellin. *Plant physiology*, 49, (4), 531-534.
- Calic, D. Devrnja, N. Kostic, I. & M. Kostic. 2013. Pollen morphology, viability, and germination of *Prunus domestica* cv. Pozega ca. *Scientia Horticulturae*, 155, 118–122.
- Chang, M. H., Das, D., Varde, P. V., & Pecht, M. 2012. Light emitting diodes reliability review. *Microelectronics Reliability*, 52, (5), 762-782.
- Cope, K. R., & Bugbee, B. 2013. Spectral effects of three types of white light-emitting diodes on plant growth and development: absolute versus relative amounts of blue light. *HortScience*, 48, (4), 504-509.
- Craig, D. S., & Runkle, E. S. 2013. A moderate to high red to far-red light ratio from light-emitting diodes controls flowering of short-day plants. *Journal of the American Society for Horticultural Science*, 138, (3), 167-172.
- DenBaars, S. P., Feezell, D., Kelchner, K., Pimputkar, S., Pan, C. C., Yen, C. C., ... & Iza, M. 2013. Development of gallium-nitride-based light-emitting diodes (LEDs) and laser diodes for energy-efficient lighting and displays. *Acta Materialia*, 61, (3), 945-951.

- Demir, I., Ermis, S., Mavi, K., & Matthews, S. 2008. Mean germination time of pepper seed lots (*Capsicum annuum L.*) predicts size and uniformity of seedlings in germination tests and transplant modules. *Seed Science and Technology*, 36, (1), 21-30.
- Dong, C., Shao, L., Fu, Y., Wang, M., Xie, B., Yu, J., & Liu, H. 2015. Evaluation of wheat growth, morphological characteristics, biomass yield and quality in Lunar Palace-1, plant factory, green house and field systems. *Acta astronautica*, 111, 102-109.
- Downs, R. J., & Thomas, J. F. 1982. Phytochrome regulation of flowering in the long-day plant, *Hyoscyamus niger*. *Plant physiology*, 70, (3), 898-900.
- Epstein, E., & Bloom, A. J. 2005. *Mineral Nutrition of Plants: Principles and Perspectives*. 2<sup>nd</sup> ed. Sunderland: Sinauer Associates.
- Fan, X. X., Xu, Z. G., Liu, X. Y., Tang, C. M., Wang, L. W., & Han, X. L. 2013. Effects of light intensity on the growth and leaf development of young tomato plants grown under a combination of red and blue light. *Scientia Horticulturae*, 153, 50-55.
- Faust, J. E., Holcombe, V., Rajapakse, N. C., & Layne, D. R. 2005. The effect of daily light integral on bedding plant growth and flowering. *HortScience*, 40, (3), 645-649.
- Frechilla, S., Talbott, L. D., Bogomolni, R. A., & Zeiger, E. 2000. Reversal of blue light-stimulated stomatal opening by green light. *Plant and Cell Physiology*, 41, (2), 171-176.
- Fukuda, N., Ishii, Y., Ezura, H., & Olsen, J. E. 2009. Effects of light quality under red and blue light emitting diodes on growth and expression of FBP28 in Petunia. pp. 361-366. In VI International Symposium on Light in Horticulture, 907.
- Fukuda, N. 2013. Advanced light control technologies in protected horticulture: A review of morphological and physiological responses in plants to light quality and its application. *Journal of Developments in Sustainable Agriculture*, 8, (1), 32-40.

- Fukuda, N., Ajima, C., Yukawa, T., & Olsen, J. E. 2016. Antagonistic action of blue and red light on shoot elongation in petunia depends on gibberellin, but the effects on flowering are not generally linked to gibberellin. *Environmental and Experimental Botany*, 121, 102-111.
- Gautam, P., Terfa, M. T., Olsen, J. E., & Torre, S. 2015. Red and blue light effects on morphology and flowering of Petunia x hybrida. *Scientia Horticulturae*, 184, 171-178.
- Gunn, C. R. 1974. Seed characteristics of 42 economically important species of Solanaceae in the United States (No. 1471). Maryland: US Department of Agriculture.
- Gupta, S. D., & Jatohu, B. 2013. Fundamentals and applications of light-emitting diodes (LEDs) in in vitro plant growth and morphogenesis. *Plant Biotechnology Reports*, 7, (3), 211-220.
- Haliapas, S., Yupsanis, T. A., Syros, T. D., Kofidis, G., & Economou, A. S. 2008. Petunia x hybrida during transition to flowering as affected by light intensity and quality treatments. *Acta Physiologiae Plantarum*, 30, (6), 807.
- Haque, M. S., Kjaer, K. H., Rosenqvist, E., & Ottosen, C. O. 2015. Continuous light increases growth, daily carbon gain, antioxidants, and alters carbohydrate metabolism in a cultivated and a wild tomato species. *Frontiers in plant science*, 6, 1-11.
- Hiscox, J. T., & Israelstam, G. F. 1979. A method for the extraction of chlorophyll from leaf tissue without maceration. *Canadian journal of botany*, 57, (12), 1332-1334.
- Hong, C. H., Kwon, S.L., Kim, K.K., Chae,M.J., Jung,G.B., & So, k. S. (2013). Flowering control by using red light of Chrysanthemum. *Korean Journal of Environmental Agriculture*, 32, (2), 123-127.
- ITo, H., & Saito, T. 1962. Studies on the flower formation in the strawberry plants. *Tohoku journal of agricultural research*, 13, 191-203.
- Johkan, M., Shoji, K., Goto, F., Hashida, S. N., & Yoshihara, T. 2010. Blue light-emitting diode light irradiation of seedlings improves seedling quality and growth after transplanting in red leaf lettuce. *HortScience*, 45, (12), 1809-1814.

- Johkan, M., Shoji, K., Goto, F., Hahida, S. N., & Yoshihara, T. 2012. Effect of green light wavelength and intensity on photomorphogenesis and photosynthesis in *Lactuca sativa*. *Environmental and Experimental Botany*, 75, 128-133.
- Juwei, H. U., Xin, D. A. I., & Guangyu, S. U. N. 2016. Morphological and Physiological Responses of *Morus alba* Seedlings under Different Light Qualities. *Notulae Botanicae Horti Agrobotanici Cluj-Napoca*, 44, (2), 382-392.
- Kasai, M. 2008. Effect of growing soybean plants under continuous light on leaf photosynthetic rate and other characteristics concerning biomass production. *J. Agron*, 7, 156-162.
- Kami, C., Lorrain, S., Hornitschek, P., & Fankhauser, C. 2010. Chapter two-light-regulated plant growth and development. *Current topics in developmental biology*, 91, 29-66.
- Kapyla, M. 1991. Testing the age and viability of airborne pollen. *Grana*, 30(2), 430-433.
- Kim, H. H., Goins, G. D., Wheeler, R. M., & Sager, J. C. 2004. Green-light supplementation for enhanced lettuce growth under red-and blue-light-emitting diodes. *HortScience*, 39, (7), 1617-1622.
- Kohyama, F., Whitman, C., & Runkle, E. S. 2014. Comparing flowering responses of long-day plants under incandescent and two commercial light-emitting diode lamps. *HortTechnology*, 24, (4), 490-495.
- Kozai, T. 2007. Propagation, grafting and transplant production in closed systems with artificial lighting for commercialization in Japan. *Propagation of Ornamental Plants*, 7, (3), 145-149.
- Kozai, T., Niu, G., & Takagaki, M. (Eds.). 2015. *Plant factory: An indoor vertical farming system for efficient quality food production*. London: Academic Press.
- Lee, M. J., Son, K. H. & Oh, M. M. 2016. Increase in Biomass and Bioactive Compounds in Lettuce under Various Ratios of Red to Far-red LED Light Supplemented with Blue LED Light. *Hortic. Environ. Biotechnol*, 57, (2), 139-147.

- Lefsrud, M. G., Kopsell, D. A., Augé, R. M., & Both, A. J. 2006. Biomass production and pigment accumulation in kale grown under increasing photoperiods. *HortScience*, 41, (3), 603-606.
- Lichtenthaler, H. K., & Buschmann, C. 2001. Chlorophylls and carotenoids: Measurement and characterization by UV-VIS spectroscopy. pp. 4.3.1-F4.3.8. In Wrolstad, R. E., Acree, T. E., An, H., Decker, E. A., Penner, M. H., Reid, D. S., Schwartz, S. J., Shoemaker, C. F. and Sporns, P. (Eds.). *Current Protocols in Food Analytical Chemistry (CPFA)*. New York: John Wiley and Sons.
- Lin, K. H., Huang, M. Y., Huang, W. D., Hsu, M. H., Yang, Z. W., & Yang, C. M. 2013. The effects of red, blue, and white light-emitting diodes on the growth, development, and edible quality of hydroponically grown lettuce (*Lactuca sativa L. var. capitata*). *Scientia Horticulturae*, 150, 86-91.
- Liu, Z., Liu, S., Wang, K., & Luo, X. 2009. Status and prospects for phosphor-based white LED packaging. *Frontiers of Optoelectronics in China*, 2, (2), 119-140.
- Ma, X., Song, L., Yu, W., Hu, Y., Liu, Y., Wu, J., & Ying, Y. 2015. Growth, physiological, and biochemical responses of *Camptotheca acuminata* seedlings to different light environments. *Frontiers in plant science*, 6, 2-11.
- Matsuda, R., Ozawa, N., & Fujiwara, K. 2014. Leaf photosynthesis, plant growth, and carbohydrate accumulation of tomato under different photoperiods and diurnal temperature differences. *Scientia Horticulturae*, 170, 150-158.
- McDonald, M. B. & Kwong, F. Y. 2005. *Flower seeds: biology and technology*. Columbus, Ohio: Department of Horticulture and Crop Science, Ohio State University.
- Muneer, S., Kim, E. J., Park, J. S., & Lee, J. H. 2014. Influence of green, red and blue light emitting diodes on multiprotein complex proteins and photosynthetic activity under different light intensities in lettuce leaves (*Lactuca sativa L.*). *International journal of molecular sciences*, 15, (3), 4657-4670.

- Murage, E. N., Watashiro, N., & Masuda, M. 1996. Leaf chlorosis and carbon metabolism of eggplant in response to continuous light and carbon dioxide. *Scientia horticulturae*, 67, (1-2), 27-37.
- Nelson, J. A., & Bugbee, B. 2014. Economic analysis of greenhouse lighting: light emitting diodes vs. high intensity discharge fixtures. *PLoS One*, 9, (6), e99010.
- Nhut, D. T., Takamura, T., Watanabe, H., Okamoto, K., & Tanaka, M. 2003. Responses of strawberry plantlets cultured in vitro under superbright red and blue light-emitting diodes (LEDs). *Plant Cell, Tissue and Organ Culture*, 73, (1), 43-52.
- Nishio, J. N. 2000. Why are higher plants green? Evolution of the higher plant photosynthetic pigment complement. *Plant, Cell & Environment*, 23, (6), 539-548.
- Park, I. S., Cho, K. J., Kim, J., Cho, J. Y., Lim, T. J., & Oh, W. 2016. Growth and flowering responses of petunia to various artificial light sources with different light qualities. *Korean Journal of Horticultural Science & Technology*, 34, (1), 55-66.
- Peri, P. L., Pastur, G. M., & Lencinas, M. V. 2009. Photosynthetic response to different light intensities and water status of two main Nothofagus species of southern Patagonian forest, Argentina. *J. For. Sci.*, 55, 101-111.
- Piskurewicz, U., Tureckva, V., Lacombe, E., and Lopez-Molina, L., 2009. Far-red light inhibits germination through DELLA-dependent stimulation of ABA synthesis and ABI3 activity. *The EMBO Journal*, 28, 2259–2271.
- Rakic, T., Gajic, G., Lazarevic, M., & Stevanovic, B. 2015. Effects of different light intensities, CO<sub>2</sub> concentrations, temperatures and drought stress on photosynthetic activity in two paleoendemic resurrection plant species *Ramonda serbica* and *R. nathaliae*. *Environmental and experimental botany*, 109, 63-72.
- Rijpkema, A., Gerats, T., & Vandenbussche, M. 2006. Genetics of floral development in Petunia. *Advances in botanical research*, 44, 237-278.
- Rodo, A. B., & Marcos-Filho, J. 2003. Onion seed vigor in relation to plant growth and yield. *Horticultura Brasileira*, 21, (2), 220-226.

- Sakhonwasee, S., Tummachai, K., & Nimnoy, N. 2017. Influences of LED Light Quality and Intensity on Stomatal Behavior of Three Petunia Cultivars Grown in a Semi-closed System. *Environmental Control in Biology*, 55, (2), 93-103.
- Shen, Y. Z., Guo, S. S., Ai, W. D., & Tang, Y. K. 2014. Effects of illuminants and illumination time on lettuce growth, yield and nutritional quality in a controlled environment. *Life Sciences in Space Research*, 2, 38-42.
- Shimizu, H., Saito, Y., Nakashima, H., Miyasaka, J., & Ohdoi, K. 2011. Light environment optimization for lettuce growth in plant factory. *IFAC Proceedings Volumes*, 44, (1), 605-609.
- Shimokawa, A., Tonooka, Y., Matsumoto, M., Ara, H., Suzuki, H., Yamauchi, N., & Shigyo, M. 2014. Effect of alternating red and blue light irradiation generated by light emitting diodes on the growth of leaf lettuce. *bioRxiv*, 003103.
- Singh, D., Basu, C., Meinhardt-Wollweber, M., & Roth, B. 2015. LEDs for energy efficient greenhouse lighting. *Renewable and Sustainable Energy Reviews*, 49, 139-147.
- Sink, K.C. 1984. *Petunia*. Berlin Heidelberg: Springer-Verlag.
- Sullivan, J. A., & Deng, X. W. 2003. From seed to seed: the role of photoreceptors in *Arabidopsis* development. *Developmental biology*, 260, (2), 289-297.
- Sun, J., Nishio, J. N., & Vogelmann, T. C. 1998. Green light drives CO<sub>2</sub> fixation deep within leaves. *Plant and Cell Physiology*, 39, (10), 1020-1026.
- Takeda, F., Glenn, D. M., & Stutte, G. W. 2008. Red light affects flowering under long days in a short-day strawberry cultivar. *HortScience*, 43, (7), 2245-2247.
- Talbott, L. D., Nikolova, G., Ortiz, A., Shmayevich, I., & Zeiger, E. (2002). Green light reversal of blue-light-stimulated stomatal opening is found in a diversity of plant species. *American Journal of Botany*, 89, (2), 366-368.
- Terashima, I., Fujita, T., Inoue, T., Chow, W. S., & Oguchi, R. 2009. Green light drives leaf photosynthesis more efficiently than red light in strong white light: revisiting the enigmatic question of why leaves are green. *Plant and cell physiology*, 50, (4), 684-697.

- Ubukawa, M., Fukuda, N., Oyama-Okubo, N., Koshioka, M., Mander, L. N., Sase, S., & Nishimura, S. 2004. Effect of light source and quality on endogenous gibberellin level and GA<sub>3</sub> response of petunia (*Petunia x hybrida* Vilm.). *Journal of the Japanese Society for Horticultural Science*, 73, (5), 441-446.
- Van, T. K., Haller, W. T., Bowes, G., & Garrard, L. A. 1977. Effects of light quality on growth and chlorophyll composition in *Hydrilla*. *J. Aquat. Plant Manage*, 15, 29-31.
- Vanninen, I., Pinto, D. M., Nissinen, A. I., Johansen, N. S., & Shipp, L. 2010. In the light of new greenhouse technologies: 1. Plant-mediated effects of artificial lighting on arthropods and tritrophic interactions. *Annals of applied biology*, 157, (3), 393-414.
- Velikova V., & Loreto, F. 2005. On the relationship between isoprene emission and thermotolerance in *Phragmites australis* leaves exposed to high temperatures and during the recovery from a heat stress. *Plant, Cell & Environment*, 28, 318–327.
- Wang, H., Gu, M., Cui, J., Shi, K., Zhou, Y., & Yu, J. 2009. Effects of light quality on CO<sub>2</sub> assimilation, chlorophyll-fluorescence quenching, expression of Calvin cycle genes and carbohydrate accumulation in *Cucumis sativus*. *Journal of Photochemistry and Photobiology B: Biology*, 96, (1), 30-37.
- Wang, X. Y., Xu, X. M., & Cui, J. 2015. The importance of blue light for leaf area expansion, development of photosynthetic apparatus, and chloroplast ultrastructure of *Cucumis sativus* grown under weak light. *Photosynthetica*, 53, (2), 213-222.
- Wang, J., Lu, W., Tong, Y., & Yang, Q. 2016. Leaf morphology, photosynthetic performance, chlorophyll fluorescence, stomatal development of lettuce (*Lactuca sativa* L.) exposed to different ratios of red light to blue light. *Frontiers in plant science*, 7, 1-10.

- Xiaoying, L., Shirong, G., Taotao, C., Zhigang, X., & Tezuka, T. 2012. Regulation of the growth and photosynthesis of cherry tomato seedlings by different light irradiations of light emitting diodes (LED). *African Journal of Biotechnology*, 11, (22), 6169-6177.
- Yeh, N., & Chung, J. P. 2009. High-brightness LEDs—Energy efficient lighting sources and their potential in indoor plant cultivation. *Renewable and Sustainable Energy Reviews*, 13, 8), 2175-2180.
- Yorio, N. C., Goins, G. D., Kagie, H. R., Wheeler, R. M., & Sager, J. C. 2001. Improving spinach, radish, and lettuce growth under red light-emitting diodes (LEDs) with blue light supplementation. *HortScience*, 36, (2), 380-383.
- Yuan, H. Y., Saha, S., Vandenberg, A., & Bett, K. E. 2017. Flowering and Growth Responses of Cultivated Lentil and Wild Lens Germplasm toward the Differences in Red to Far-Red Ratio and Photosynthetically Active Radiation. *Frontiers in plant science*, 8, 1-10.
- Zhang, F. Q., Wang, Y. S., Lou, Z. P., & Dong, J. D. 2007. Effect of heavy metal stress on antioxidative enzymes and lipid peroxidation in leaves and roots of two mangrove plant seedlings (*Kandelia candel* and *Bruguiera gymnorhiza*). *Chemosphere*, 67, (1), 44-50.





### ประวัตินักศึกษา

ชื่อ-สกุล

นายทิวา จำมะรี

เกิดเมื่อ

30 มกราคม 2534

ประวัติการศึกษา

พ.ศ. 2553-2557 บริณูณารี มหาวิทยาลัยแม่โจ้-แพร่ เนลิมพระเกียรติ  
จังหวัดแพร่

พ.ศ. 2550-2553 มัธยมศึกษาตอนปลาย โรงเรียนประชาสงเคราะห์

จังหวัดกาญจนบุรี

อีเมล

Va\_advanced@hotmail.co.th